

INSTITUTUL POLITEHNIC "TRAIAN VUIA" TIMIȘOARA

Facultatea de Tehnologie Chimică

Ing. Valentin Medeleanu

CONTRIBUȚII PRIVIND DEPOLUAREA
ATMOSFEREI DE OXIZI DE AZOT REZIDUALI

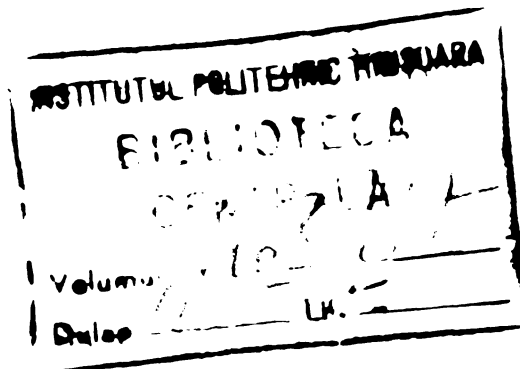
Teză de doctorat

BIBLIOTECA CENTRALĂ
UNIVERSITATEA "POLITEHNICA"
TIMIȘOARA

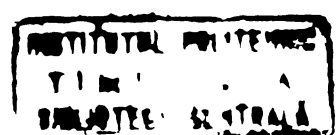
Conducător științific :

Prof. Dr. ing. Vasile Cocheoi

- 1983 -



**Un respectuos omagiu memoriei
Academicianului CORIOLAN DRAGULESCU,
sub îndrumarea căruia a fost inițiată
prezenta cerere.**



BUPT

INTRODUCERE

Tehnica a sporit și sporește cu mult bogăția produsă de muncă omului, asigurîndu-i o creștere continuă a bunăstării. Acest fapt a întărit convingerea fermă că tehnica nu are decît însușiri bune.

Există însă acum un motiv serios pentru a pune la îndoială această afirmație, și anume fenomenul, care a început să capteze din ce în ce mai mult, o tot mai mare atenție a opiniei publice: poluarea mediului înconjurător. Începe să devină tot mai clar că poluarea, ca etat împotriva integrității mediului ambient, este prețul care se plătește pentru multe din beneficiile aduse de tehnica modernă. Tările lumii, și în special cele puternic dezvoltate, nu sunt numai beneficiarele directe ale efectelor pozitive ale tehnicii, ci sunt și primele victime de pe urma degradării mediului înconjurător, produsă de tehnică. În trecut, efectele asupra mediului înconjurător, care însă erau progresele tehnicii, erau limitate la o mică suprafață și la un timp relativ scurt. Acele degradări nu sunt nici locale și nici scurte, constituind astfel o problemă de mare importanță socială, economică și tehnică.

Experiența ultimelor 2-3 decenii demonstrează că principala cauză a poluării mediului o reprezintă specificul și, mai ales, amplierea tehnologiilor. A proteja mediul nu înseamnă însă, oprirea dezvoltării tehnice. Aceasta ar fi în totală contrazicere cu dorința de progres a omenirii. Protejarea mediului înseamnă a conduce desfășurarea proceselor tehnologice astfel că ele, prin efectele lor finale, să nu dăuneze mediului ambient.

În ultimii 25 de ani, în țara noastră au apărut și s-au dezvoltat importante ramuri industriale. În special industria chimică și energetică au înregistrat creșteri considerabile. Aceste creșteri, care au adus însemnate bogății țării, nu s-au realizat însă totdeauna cu considerarea atentă a corelațiilor dintre tehnologiile folosite și mediul ambient. Părtarea ușor tehnologică că, în țara noastră, poluarea mediului nu ar fi încă o problemă de luptă în stenție, este tot mai mult infirmată de rezultatele unor studii realizate pînă în prezent. Astfel mariile combinate și întreprinderi chimice evacuează în atmosferă cantități însemnante de dioxid de sulf, oxizi de azot, amoniac,

elor și compuși ai acestuia, diferite pulberi toxice și agresive. Toate aceste emanații de noxe poluează puternic mediul ambient și în special atmosfera, și prin aceasta degradă instalațiile electrice de înaltă tensiune, instalațiile electromagnetice și de automatizare, influențează nefast asupra florei și faunei din jur, și asupra organismului uman și în general sunt răspunzătoare de toate implicațiile ecologice asupra colectivităților umane /1-4/. O simplă evidențiere a unor astfel de stări de fapt nu este suficientă. De mare importanță este desfășurarea unor acțiuni concrete, în vederea reducerii și eliminării poluării, acolo unde ea s-a produs și prevenirea ei acolo unde încă nu se manifestă. Intrarea în vigoare a legii nr. 9/1973, privind protecția mediului ambient constituie cadrul juridic pentru desfășurarea unor astfel de acțiuni în țara noastră.

Unul din cei mai agresivi și periculoși poluanți atmosferici pentru ecologia naturală sunt oxizii de azot. Sursele acestor poluanți sunt numeroase, de unde și multitudinea de procedee pentru eliminarea lor /5/. Se consideră că, peste 98% din oxizii de azot poluanți ai aerului, provin din arderea carburanților în motoare cu combustie internă și a combustibililor în uzine termoenergetice. Mai puțin de 2% din oxizii de azot poluanți provin de la fabricarea acidului azotic /6/. Totuși, în cazul acestora din urmă, concentrațiile locale de oxizi de azot în atmosferă, pot deveni foarte ridicate și extrem de dăunătoare în zona fabricilor de acid azotic. Această zonă este destul de vastă, ea extinzându-se la distanțe de 10-15 km de sură.

In ultimii 15-20 de ani, depoluările atmosferice de oxizii de azot i se acordă o atenție tot mai mare în multe țări ale lumii. Si la noi în țară, în special cu anii 1970-72 am demarat astfel de cercetări, marea lor majoritate efectuându-se la Centrul de Chimie din Timișoara. În cadrul colaborării tehnico-științifice dintre țările membre CAER, funcționând o subcomisie, din care face parte și țara noastră prin delegații de la Centrul de Chimie din Timișoara, și care își consacră eforturile în vederea elaborării și perfectionării metodelor de reducere a emisiiei oxizilor de azot în gazele industriale reziduale.

In lucrarea de față sunt prezentate principalele rezultate experimentale ale unor astfel de cercetări, menite să constituie

contribuții la elaborarea unor tehnologii privind depoluarea atmosferei de oxizii de azot reziduali. Experimentările au fost efectuate pe baza unor contracte de cercetare științifică, beneficiarii lor fiind combinatele de îngrășăminte chimice din Tîrgu-Mureș și Piatra-Neamț, precum și Consiliul Național pentru Știință și Tehnologie.

Obiectivul principal al cercetărilor a fost eliminarea oxizilor de azot din gazele reziduale de la fabricarea acidului azotic pe de o parte, iar pe de altă parte, eliminarea sau valorificarea oxizilor de azot din gazele de ardere, provenite de la o centrală experimental-industrială cu generator magneto-hidrodinamic (M.H.D.), ce urmează să fie construită la noi în țară.

În funcție de surse de emisie a oxizilor de azot, cît și de condițiile locale și cerințele beneficiarilor cercetărilor, în experimentările efectuate am abordat mai multe căi posibile de eliminare a oxizilor de azot din gazele reziduale și anume: reducerea catalitică, reducerea termică, precum și recuperarea și valorificarea oxizilor de azot. În elaborarea unui procedeu tehnologic s-a acordat o atenție deosebită, atât eficienței procesului, cît și economicității sale. Lucările experimentale au fost realizate, atât în instalații de laborator, cît și, pentru unele tehnologii, într-o instalație pilot, amplasată pe platforma combinatului de îngrășăminte chimice de la Tîrgu-Mureș. Pe această instalație s-a putut opera cu un debit de $200 \text{Nm}^3/\text{h}$ de gaze nitroase, în condiții specifice industriale.

Paralel cu realizarea scopului practic, celi al elaborării unui procedeu tehnologic, s-a urmărit, pe baza datelor experimentale, să aducem unele contribuții privind cinetica și mecanismul unor reacții studiate. Reacțiile desfășurîndu-se în fază gazoasă, am urmărit, în special, influența gazului de diluție asupra desfășurării reacțiilor.

În elaborarea procedeelor tehnologice pentru eliminarea oxizilor de azot din gazele reziduale, s-a acordat o mare atenție și controlului depoluării acestor gaze. În acest scop s-a realizat o instalație simplă, pentru preluarea și prelucrarea gazelor nitroase în vederea dozării, ulterior, a NO și NO_2 , printr-o metodă spectrofotometrică. Această instalație s-a dovedit de mare utilitate, atât pentru cercetările de laborator, cît și cele în instalația pilot.

P A R T E A I

Capitolul 1.

**OXIZII DE AZOT - POLUANTI
AI ATMOSFEREI**

**1.1. Oxizii de azot din
atmosferă - surse de
emisie.**

Cantitatea totală de oxizi de azot emisi în atmosferă, ca urmare a circuitului natural al azotului, se apreciază /7/ la aproximativ $500 \cdot 10^6$ tone/an. De asemenea s-a apreciat /8/ că în anul 1970, acestei cantități i s-au adăugat $50 \cdot 10^6$ tone oxizi de azot, ca rezultat al activității umane, în special industriale. Această cantitate, de zece ori mai mică decât cantitatea globală de oxizi de azot emisi anual în atmosferă, ar putea fi neglijată în bilanțul general al oxizilor de azot. Totuși, anumiți factori, în special neuniformitatea surseilor de emisie a oxizilor de azot pe suprafața globului, schimbă radical datele unui astfel de calcul. Astfel, H.C.Perkins, în lucrarea sa cîtată mai sus /7/, arată că 95% din oxizii de azot din atmosferă, ca urmare a diferitelor activități, se regăsesc în emisfera nordică a pământului, în special în preajma marilor aglomerării urbane și industriale, unde aceste cantități sunt de zeci și chiar de sute de ori mai mari, decât cantitățile medii.

Mai alarmant este, însă, faptul că astfel de emisii crește într-un mod accelerat, în fiecare an. În datele publicate /9/ de Environmental Protection Agency, cu referire numai la teritoriul SUA, dinamica creșterii cantității oxizilor de azot emisi în atmosferă se prezintă în felul următor (Tabelă I) :

Tabelă I

Anii	1940	1950	1960	1970	1980	2000
Emisie NO _x (mil.t/an)	7,0	10,0	14,0	23,0	28,0	40,0

Conform aceleiași surse, se apreciază că la nivelul anului 2000, cantitatea de oxizi de azot emisă pe întregul glob pămîn-

tese, poate atinge 90 mil.tone/an, ceea ce poate perturba, în mare măsură, echilibrul ecologic în sistemul circuitului natural al azotului.

Ca surse de bază pentru producerea oxizilor de azot poluanți, sunt, în primul rînd, procesele ce au loc la temperaturi finale, iar apoi, tehnologiile în care se produce oxizii de azot ca rezultat al unor reacții chimice.

În prima categorie aparțin : industria energetică, în special centralele cu generator MHD, industria siderurgică, transporturile. În cea de a doua categorie de surse fac parte procesele din industria chimică, pe primul loc situindu-se fabricarea acidului azotic, precum și producerea sărurilor acestuia prin dissolvarea în acid azotic a diferitelor metale. Alte surse importante de oxizi de azot poluanți sunt unele tehnologii de sinteză chimică organică, sau de prelucrarea finală a unor piese metalice în vederea pasivării lor.

W.Bartok și colaboratorii, în lucrarea /10/ arată că 85-90% din totalul oxizilor de azot emisi în atmosferă revin industriei energetice, 8-10% transporturilor precum și altor surse mai puțin importante, și numai aproximativ 2% industriei chimice. Totuși, în acest din urmă caz, oxizii de azot emisi în atmosferă ating concentrații relativ mari și, în general, la un grad de oxidare superior, ceea ce le conferă o toxicitate sporită. Aceasta explică, de altfel, și faptul că primele cercetări privind eliminarea oxizilor de azot din gazele reziduale s-au făcut asupra gazelor nitroase, provenite din industria chimică, respectiv de la fabricarea acidului azotic.

Și la noi în țară cercetările, în acest domeniu, au urmat aceleasi curs /5/.

1.2. Acțiunea toxică și corozivă a oxizilor de azot.

Oxizii de azot, prezentați în aerul atmosferic, peste o anumită concentrație, datorită toxicității lor ridicate, constituie un real pericol, atât pentru om și animale, cât și pentru vegetație. Ca urmare a unor reacții fotochimice ce pot avea loc în atmosferă, între oxizii de azot și unele impurități din aer, în special organice, apar noi substanțe cu o toxicitate și mai mare.

În anumite condiții meteorologice, oxizii de azot în prezență și a altor impurități din aer, pot provoca schimbări climatice nefavorabile, care, deși locale, sunt extrem de periculoase, în special, pentru regnul animal /11/.

Toxicitatea oxizilor de azot crește foarte mult prin synergism cu alte substanțe toxice. Astfel /12/, expunind frunze de diferite plante într-o atmosferă de NO_2 (în concentrație de 2,0 ppm) și separat într-o atmosferă cu SO_2 (în concentrație de 0,7 ppm), după patru ore nu s-a observat nici o schimbare morfologică în structura frunzelor. Expunind însă, aceleasi frunze într-o atmosferă cu ambele gaze, și într-o concentrație mult mai mică (de numai 0,1 ppm fiecare) s-a observat o continuă modificare a țesutului frunzelor.

Prin egresivitatea și toxicitatea lor, oxizii de azot sunt extrem de periculoși pentru organismul uman. El atacă căile respiratorii, succesele, transformă oxihemoglobina în metahemoglobină care poate duce la paralizii. O expunere mai îndelungată la acțiunea oxizilor de azot, chiar la concentrații foarte mici de numai 0,5 ppm, slăbește organismul uman, sensibilizându-l foarte mult față de infecțiile bacteriene /13/. Această influență este mai evidentă, în special, asupra sănătății copiilor.

În noi fiză, un colectiv de medici și chimici de la Pietro-Neamț, timp de 2 ani a ținut sub observare un număr de 500 copii sub vîrstă de 6 ani, din zona platformei industriale de la Roznov. Concluziile la care a ajuns acest colectiv /3/, relevă faptul că influența negativă asupra sănătății copiilor și în special asupra compozitiei singelui acestora, s-a resimțit chiar la o depărtare de 30 km de sursă.

Oxizii de azot, în prezența vaporilor de apă din atmosferă, formează acid azotic, care cauzează apariția a tot felul de procese de coroziune. Acidul azotic atacă construcțiile metalice, provocând distrugerea lor. Cu diferenții cationi, prezenti în atmosferă, acidul azotic formează azotați care au o acțiune corozivă asupra cuprului, alamei, aluminiului, nichelului,, distrugând rețelele electrice, telefonice, etc. Astfel de procese pot avea loc chiar la concentrații foarte mici de oxizi de azot în atmosferă (0,08 ppm). Caracterul puternic oxidant și nitrurant al oxizilor de azot și acidului azotic este principala cauză a

distrugerii, de către aceştia, a maselor plastice, lacurilor, vopselelor, utilizate ca materiale de protecție la instalații și construcții industriale /14/.

Este dovedită acțiunea agresivă a oxizilor de azot asupra unor materiale de construcție, în special din grupa carbonaților (marmoră). Oxizi de azot pătrund prin microfisurile din aceste materiale, formează nitrati care prin cristalizare măresc fisurile, provocând distrugerea construcțiilor /15/.

Proprietățile toxice și corozive ale oxizilor de azot, emisi în atmosferă, constituie cauze ale înrăutățirii condițiilor sanitare ale colectivităților umane, degradării mediului ambient, provocăd imense pierderi materiale, reprezentă un permanent pericol pentru integritatea construcțiilor și monumentelor istorice, buzuri inestimabile pentru cultura națională.

Iată de ce, în foarte multe țări ale lumii, și în special în cele puternic industrializate în ultimii 20 de ani, se duce o activitate intensă pentru protejarea mediului ambient împotriva acțiunii oxizilor de azot. Se elaborează legislații restrictive privind limitele concentrațiilor oxizilor de azot evacuate în atmosferă, legislații care an de an se îmbunătățesc, coborînd continuu aceste limite. Așa de exemplu /16/, în țări ca SUA, RFG, Japonia, în anul 1971 normele sanitare permit evacuarea în atmosferă a unor gaze reziduale cu un conținut maxim de 500 ppm oxizi de azot. În 1980 limitele concentrațiilor de oxizi de azot au coborit la 200 ppm, și se preconizează ca pînă în anul 2000 ele să coboare la 100 ppm.

Astfel se tendințe legislative au obligat pe cei interesăti să pornească o campanie asiduă în a găsi cele mai eficiente metode tehnologice în vederea zicătorii gradului de poluare a atmosferei cu oxizi de azot.

Normele sanitare din țara noastră /17/ prevăd o concentrație maximă admisă de oxizi de azot (exprimată în NO_2), în atmosferă ambientă, de $0,1 \text{ mg/m}^3$. Această concentrație reprezintă media de 24 ore, ea momentană neputînd depăși $0,3 \text{ mg/m}^3$.

Pentru respectarea unor astfel de norme, valorile concentrațiilor maxime de oxizi de azot din gazele reziduale de la fabricarea acidului azotic, în funcție de capacitatea fabricii

și înălțimea coșului de evacuare a acestor gaze, nu trebuie să depășească pe cele arătate în tabela II.

Tabela II.

Capacitatea fabricii, exprimată în mii tone HNO_3 monohidrat/m	100	300	500
NO_2 în % vol., pentru un coș da 2 100 m înălțime.	0,023	0,010	0,007
Idem, pentru un coș de 180 m înălțime.	0,063	0,024	0,016

Valorile din tabelă corespund unei viteze a curentului de aer de 1 m/sec, la o înălțime de 10 m deasupra solului /18/.

În realitate aceste valori, pentru instalațiile în funcțiune, sunt cu mult mai mari. Astfel, în cazul unor instalații de acid azotic care funcționează sub presiune în sistemul de absorbție și au un coș de evacuare a gazelor reziduale de 100 m înălțime, conținutul de NO_2 în gaze, este de 0,12 - 0,30% vol., iar pentru instalații care funcționează la presiunea atmosferică, concentrația crește la 0,30 - 0,50% vol. de NO_2 . Înălțimea coșului de evacuare a gazelor nu influențează sensibil concentrația poluantă. Utilizarea unor ejettoare pe coșul de evacuare al gazelor, în vederea diluării lor cu aerul, nu s-a dovedit a fi eficientă. În consecință rezultă necesitatea aplicării unor măsuri de funcționare intențivă a instalației pentru absorbtia oxizilor de azot, sau a utilizării unor metode speciale de purificare a gazelor reziduale.

În ceea ce privește celelalte surse de oxizi de azot poluanți (în afara fabricilor de acid azotic), și în special instalațiile care lucrează la temperaturi finale (termo și electrocentralele, motoarele cu combustie internă, etc.), depoluarea gazelor reziduale evacuate de aceste instalații se poate face numai prin aplicarea unor procedee de depoluare direct asupra gazelor reziduale. Modificarea tehnologiilor sau chiar a unor componente ale instalațiilor respective, în vederea micșorării

emisiei de oxizi de azot, duce la scăderea randamentelor de funcționare ale acestor instalații, ceea ce, din punct de vedere economic, este total dezavantajos.

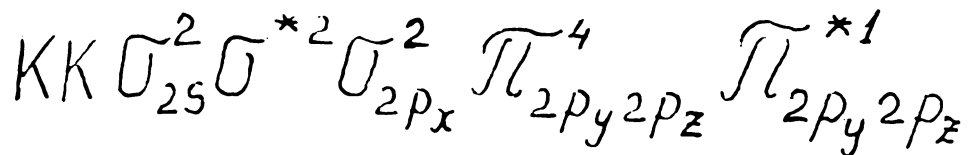
In elaborarea unui procedeu de depoluare a gazelor reziduale, eficient și economic, trebuie ținut cont, pe de o parte, de proprietățile oxidului și a oxiidului de azot rezultate în primul rînd structurii lor, cît și de cinetica de formare a acestor oxizi, iar pe de altă parte, de condițiile și posibilitățile tehnologice existente pe platformele surselor de emisie a oxizilor de azot. Acestea din urmă determină, în primul rînd, economicitatea procedeului.

1.3. Structura oxizilor de azot (NO și NO₂) și cinetica formării lor.

1.3.1. Oxidul de azot.

In moleculea de oxid de azot, distanța N-O este de 1,14 Å. Tînind cont că legătura N-O simplă are 1,36 Å, ceea dublă 1,15 Å, iar cea triplă 1,05 Å, se vede că moleculea liniară de oxid de azot este puternic contractată, aproape nepolară. L.Fauling /19/ admite că în moleculea oxidului de azot apare o legătură trielectronică, cu următoarea distribuție a electronilor: :N=O: ceea ce explică paramagnetismul oxidului de azot.

Teoria orbitalilor moleculari admite, pentru oxidul de azot formularea :



Moleculea de NO conținând un număr impar de electroni (11 electroni de valență, ar fi de așteptat tendința ei spre dimerizare. Utilizând calcule aproximative cu orbitali atomici slătător, s-a găsit că geometrie optimă a dimerului oxidului de azot o reprezintă configurația plană trans, cu distanțele N-O de 1,23 Å, N-N de 1,53 Å și unghiul \widehat{NNO} de 104,6°. Energiea de di-

sociere a dimerului a fost calculată /20/, găsindu-se valoarea de 15,1 KJ/mol. Această valoare mică a energiei de disociere a dimerului $(NO)_2$, reduce, foarte mult, contrar așteptărilor, tendința spre dimerizare a moleculei NO, în stare gazoasă, și-i conferă o stabilitate deosebită /21/.

Reacția de formare a oxidului din elemente :



este puternic influențată de temperatură (tabelă III) /22,23/.

La temperatură obișnuită, NO ar trebui să fie total descompus în N_2 și O_2 . În realitate NO, la această temperatură, este metastabil față de N_2 și O_2 ; adevarata stare de echilibru se instalează abia la temperaturi înalte. Aceste observații sunt esențiale pentru realizarea practică a reacției : amestecul de reacție, cu o temperatură depășind 3000°C , trebuie răcit cît mai repede sub 1000°C , pentru a ajunge la echilibrul metastabil, evitînd descompunerea oxidului de azot.

Tabelă III

Temperatură $^{\circ}\text{C}$	Concentrația NO % val.
1227	0,10
1427	0,23
1627	0,46
1827	0,79
2027	1,23
2227	1,79
2427	2,44
2627	3,18
2827	4,39

Industrial este preferată reacția de formare a oxidului de azot prin oxidarea amoniacului cu aer, reacție avantajoasă energetic :



Pentru a obține randamente ridicate în oxid de azot, trebuie să se lucreze cu un timp de contact foarte mic (de ordinul 10^{-4} sec.). Aceasta presupune realizarea unei viteze de reacție mari, numai în acest fel putindu-se ajunge la randamente finale de 96-98% față de amoniac. În practică reacția de oxidare se realizează la $800-900^\circ\text{C}$.

Conform reacției (2), formarea NO nu este favorizată de presiune. Ierind la 850°C și o suprapresiune de 4 at., gradul de transformare se măsoarează cu aproximativ 5% (fig.1) /22/.

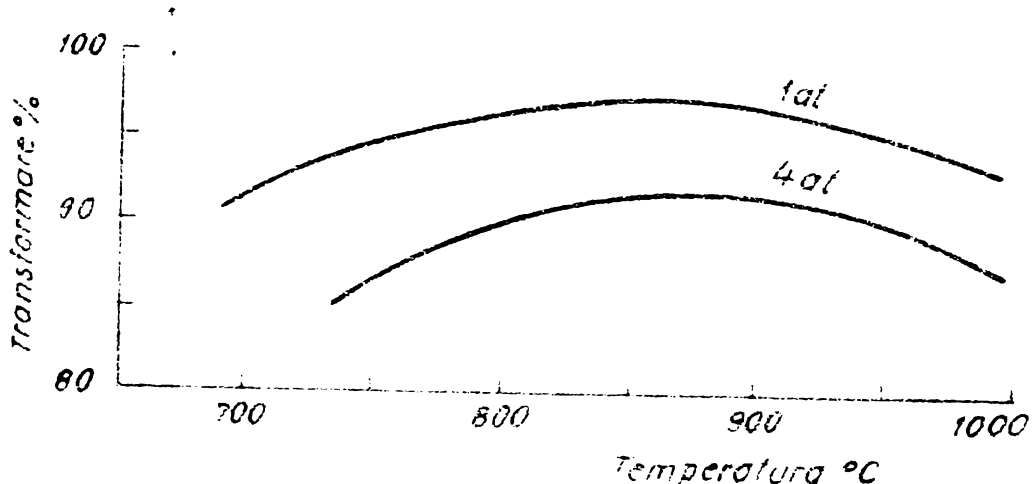
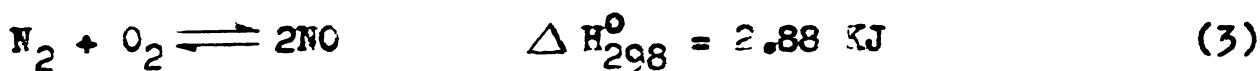


Fig.1. Influența presiunii asupra oxidării amoniacului.

Industrial, extinderea oxidării sub presiune se doarește avantajelor care apar în etapele ulterioare ale procesului de fabricație a HNO_3 .

Împrept catalizator pentru oxidarea amoniacului se folosesc aliaje ale platinei, sub formă de cilete cu ochiuri fine (1024 ochiuri/ cm^2), obținindu-se randamente de 93-98%. Prin adăugarea de $3-10\%$ rodiu, randamentul în oxid de azot este de 97-98%. Acest catalizator este folosit actualmente cu precădere.

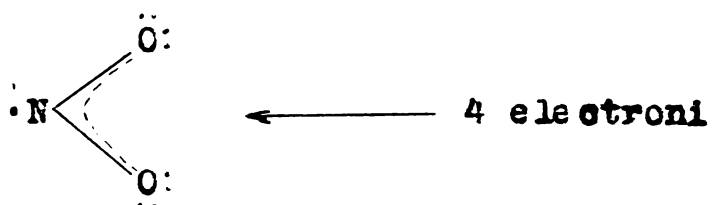
Reacția termică /23/ dintre azot și oxigen conduce la un echilibru independent de presiune :



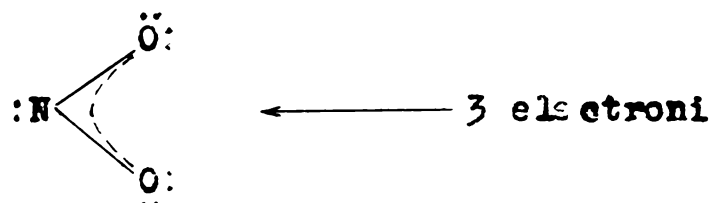
Reacția fiind endotermă este favorizată de ridicarea temperaturii. Presiunea nu influențează reacția, deoarece are loc fără variație de volum.

1.3.2. Dioxidul de azot

În molecule de NO_2 , distanța N-O este de $1,13 \text{ \AA}$ și unghiul ONO de 130° , iar hibridizarea atomilor de azot și oxigen este sp^2 asimetrică. Sistemul de orbitali π , constituit din orbitalii p nehibridizați ai azotului și oxigenului, poate să conțină patru electroni (și un electron necuplat să rămînă pe un orbital hibrid al azotului) :

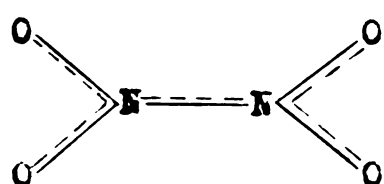


sau doar trei electroni (hibridul azotului fiind ocupat de un dublet) :



În ambele cazuri molecula de NO_2 este paramagnetică, având un electron cu spinul necompensat. În baza structurii dimerului N_2O_4 , se poate presupune că a doua structură este ceea reală /24/.

Dimerul N_2O_4 are o structură planară, cu distanța N-N de $1,75 \text{ \AA}$. Sistemul conține opt electroni



De remarcat că NO_2 , intens colorat și paramagnetic, și N_2O_4 , incolor și diamagnetic, constituie un sistem în echilibru:



ce depinde foarte mult de temperatură. Astfel gradele de disociere, în procente NO_2 , la o presiune de 1 at. și la diferite temperaturi se pot urmări în tabelul IV /21/ :

Tabelă IV

Temperatura $^{\circ}\text{C}$	$-11,2^{\circ}$ (p.t.),	$+21,1^{\circ}$ (p.f.),	27°	64°	100°	140°
% NO_2	0,01	0,1	20	50	89	100

Oxidarea oxidului de azot cu oxigen are loc conform reacției :



Reacția este reversibilă. La 25°C , echilibrul este, practic, complet deplasat spre dreapta. La 150°C începe disocierea în NO și O_2 ; la 620°C , disocierea este completă. Reacția (5) este de ordinul III și experimental s-a constatat că are un coeficient de temperatură negativ (fig.2) /25/.

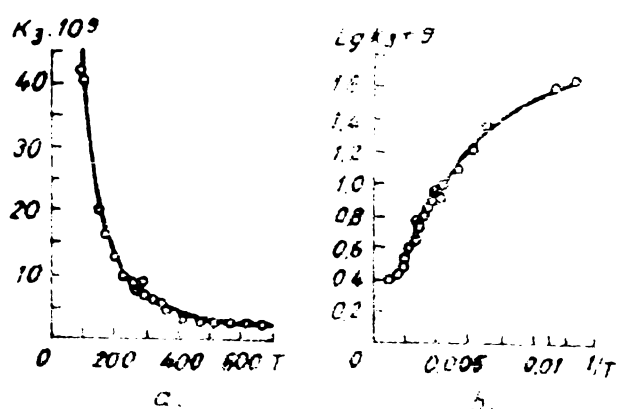


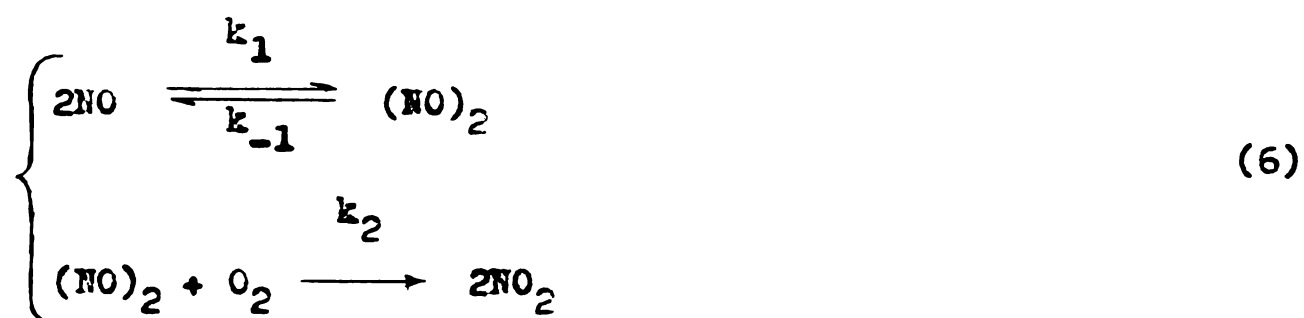
Fig.2. Dependența de temperatură a vitezei reacției de oxidare a NO
a.- $k = f(T)$
b.- $\lg k = f(1/T)$

Această reacție a fost studiată, din punct de vedere cantitativ de Lung și Berl și de alții /22/. Din studiile lor a rezultat mai întâi un fapt surprinzător că, pe măsură ce temperatura crește, nu numai că echilibrul reacției se deplasează spre stînga, dar și că viteza de transformare scade.

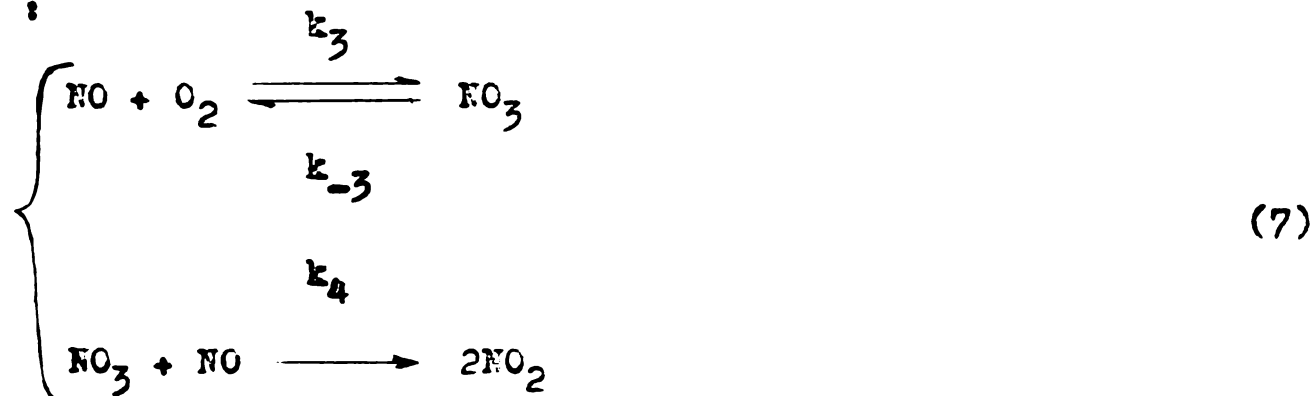
Concepția inițială că reacția de oxidare a oxidului de azot ar fi o reacție trimoleculară este astăzi părăsită. Se admite că reacția deouge printr-un mecanism în două etape, ambele fiind inițiate de cicoeniri bimoleculare.

Molecula de NO, avind un electron necuplat, poate fi considerată ca un radical. Prezența valenței libere duce la mărirea duratei de existență a intermediarului format în urma unei cicoeniri bimoleculare. Timpul de viață mărit al acestui intermediar determină creșterea numărului de cicoeniri dintre aceasta și o a treia moleculă, mărinu-se posibilitatea formării unui complex activat, care în final să se descompună în NO₂.

Mecanismul în două etape presupune formarea intermediarului (NO)₂ sau NO₃:



sau:



Aplicând principiul stării staționare pentru intermediarul (NO)₂, respectiv NO₃, se obțin ecuațiile de viteză:

$$-\frac{d[\text{NO}]}{dt} = \frac{k_1 k_2 [\text{NO}]^2 [\text{O}_2]}{k_{-1} + k_2 [\text{O}_2]} \quad (8)$$

respectiv :

$$-\frac{d[\text{NO}]}{dt} = \frac{k_3 k_4 [\text{NO}]^2 [\text{O}_2]}{k_{-3} + k_4 [\text{NO}]} \quad (9)$$

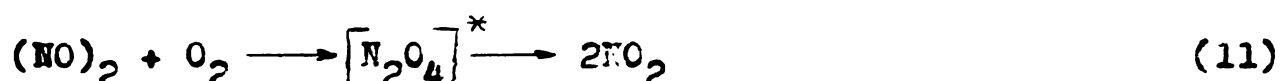
Vacă stabilirea echilibrului inițial are loc destul de înacet, adică $k_{-1} >> k_2 [\text{O}_2]$, respectiv $k_{-3} >> k_4 [\text{NO}]$, se ajunge, în ambele cazuri, la o ecuație de ordinul III :

$$-\frac{d[\text{NO}]}{dt} = k_{\text{exp}} [\text{NO}]^2 [\text{O}_2] \quad (10)$$

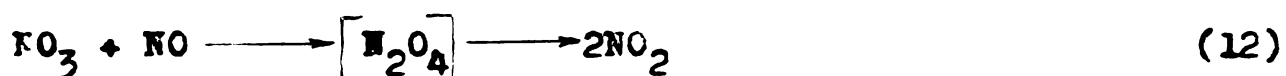
O comportare corespunzînd ecuației de ordinul III s-a observat pe un domeniu larg, însă dovezi în sprijinul uneia sau altuia din mecanisme, sunt dificil de obținut /26/.

Existența dimerului $(\text{NO})_2$ în soluție, nu este convingătoare pentru admiterea mecanismului conform ecuației (6). Unele luerări, sprijină ipoteza formării NO_3 (cu structura peroxy $\text{O}-\text{O}-\text{N}-\text{O}$), însă argumentele nu sunt nici ele convingătoare. Deci, pînă în prezent nu a fost posibil să se stabilească cu certitudine, care din cele două mecanisme este cel real.

Indiferent de mecanismul admis, ultima etapă a reacției este descompunerea intermediarului trimolecular format în urma reacțiilor :



sau



Teoria complexului activat a permis să se obțină valori destul de concordante cu datele experimentale, privind constanta de viteză a reacției de oxidare (tabela V), cu toate că nu există date directe despre structura complexului activat trimolecular /29/.

Tabel V

T, K	$k \times 10^9$	$\text{cm}^6 \cdot \text{mol}^{-2} \cdot \text{sec}^{-1}$	
		calculat (Gherşinovici și Eyring)	experimental (Bodenstein)
80	86,0	41,8	
143	16,2	20,2	
228	5,3	10,1	
300	3,3	7,1	
413	2,2	4,0	
564	2,0	2,8	
613	2,1	2,9	

Reacția (5) de oxidare a NO este favorizată de creșterea presiunii, ea desfășurîndu-se cu contractie de volum ($V = -1$). Timpul de contact al reacțiilor de ordinul III, (cum este cazul reacției de oxidare a NO la NO_2), este invers proporțional cu patratul presiunii /30/.

Ecuția diferențiată a vitezei de oxidare a oxidului de azot cu oxigen, exprimată în funcție de presiunile parțiale ale componentelor la un moment dat, este de formă :

$$\frac{dp_{\text{NO}_2}}{dt} = k_1 \cdot p_{\text{NO}}^2 \cdot p_{\text{O}_2} \quad (13)$$

Notind cu a - concentrația inițială a NO în fracțiuni de unitate, cu b - concentrația inițială a oxigenului în fracțiuni de unitate, cu P - presiunea totală în atmosferă și cu α - gradul de oxidare a NO, după transformare și integrare ecuația (13) devine :

$$k_1 \gamma P = \frac{1}{(b-a)^2} \left[\frac{(b-a)\alpha}{(1-\alpha)a} + 2,3 \lg \frac{1-\alpha}{1-\frac{aa}{b}} \right] \quad (14)$$

Această ecuație servește pentru calculul timpului de oxidare a NO și a stat la baza construirii unei nomograme în același scop /22/, prin înlocuirea lui b cu $\alpha \delta$, unde $\delta = \frac{b}{a}$ obținindu-se ecuația :

$$k_p a^2 \delta P^2 = \frac{\alpha}{(\delta - 1)(1 - \alpha)} + \frac{1}{(\delta - 1)^2} 2,3 \lg \frac{\delta(1 - \alpha)}{\delta - \alpha} \quad (15)$$

Cu referire la influența presiunii asupra oxidării NO la NO_2 trebuie menționat faptul că procesele de fabricație ale acidului azotic, care lucrează la presiune, sunt avantajoase numai în ceea ce privește rândamentul de absorbție, dar și în ceea ce privește viteza de formare a NO_2 .

Prin urmare, pentru accelerarea procesului de oxidare a NO la NO_2 , aceasta trebuie să decurgă la concentrații mari de NO și oxigen în gaze, la temperaturi joase și la presiuni înalte. Considerentele economice limitează întrebuintarea presiunilor mari și a temperaturilor prea joase, întrucât comprimarea gazelor sau obținerea frigului artificial, necesită un consum mare de energie. Industrial se lucrează la presiuni de 3-9 ata și temperaturi de $20-35^\circ\text{C}$.

Pentru a menține în tot timpul absorbției un raport NO/NO_2 favorabil ($\sim 1/1$), se introduce un exces de aer în etapa de oxidare. Această exces influențează compoziția gazelor reziduale, care conțin 3-5% O_2 .

În prezență oxigenului trebuie să se țină seama la elaborarea procedurilor de purificare a gazelor reziduale.

1.4. Oxizii de azot din gazele reziduale de la fabricarea acidului azotic.

Absorbția oxizilor de azot în apă (respectiv în acid azotic), reprezintă ultima fază în producția acidului azotic. În funcție de condițiile tehnologice de lucru, gazele reziduale,

care părăsesecă instalația de absorbție, au o compozitie chimică în limitele arătate în tabela VI, (sunt date culese pe o perioadă de 10 luni, la o instalație tip GIAF, la C.I.C. Tîrgu-Mureș).

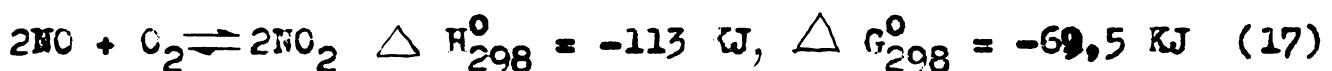
Tabela VI .

$N_2\%$	95 - 98
$O_2\%$	2 - 5
NO_x exprimate în NO_2 -ppm	500 - 5000

De asemenea gazele sunt saturate în vapori de apă, în funcție de presiunea și temperatura existentă. Se consideră /6/, că din totalul oxizilor de azot, 50-75% este NO_2 , iar restul NO .

La ieșirea din coșul de evacuare a gazelor reziduale NO , în contact cu oxigenul atmosferic se transformă în NO_2 , care în continuare dimerizează în N_2O_4 .

Lucă se consideră reacțiile :



Se observă că ambele reacții sunt exotermice și termodinamic posibile. Deși din punct de vedere termodinamic, reacția (16) este mult mai favorabilă, cinetic este foarte lentă. Dacă această reacție ar fi predominantă, nu ar mai exista nici poluarea intensă a aerului. Viteza mare a reacției (17) se datorează existenței de electroni impari și a paramagnetismului, ceea ce în NO cît și în O_2 . Diferența de viteză între aceste două reacții a fost explicată oslitativ prin simetria orbitalilor moleculari /31,32/.

Din cele arătate în 1.3.1 și 1.3.2 rezultă că existența oxizilor N_2O_4 , NO_2 și NO este în primul rînd, determinată de temperatură. Acest lucru poate fi ilustrat foarte sugestiv prin graficul [24] din fig.3, care redă variația cu temperatură a echilibrelor :



Descompunerea termică, în continuare, a NO este mult mai dificilă; ea necesită un arzor caloric mult mai mare, și deci, condiții de lucru mult mai grele.

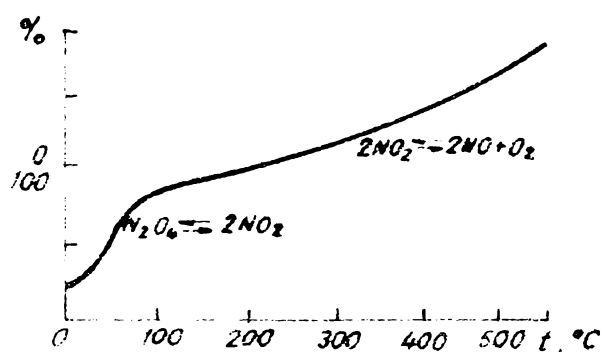


Fig.3. Variatia cu temperatură a echilibrelor (18) și (19).

Echilibrul :



unde

$$K = \frac{[\text{N}_2][\text{O}_2]}{[\text{NO}]^2} \quad \text{iar} \quad \lg K = a - C/T \quad (21)$$

este caracterizat prin valorile /33/ $a = -1,63$ și $C = -9,452$, indicând că acest echilibru este deplasat spre dreapta doar la temperaturi înalte. În plus reacția de descompunere a NO este și foarte lentă. Astfel, la 1000°C , echilibrul, în absența catalizatorilor, se stabilește abia în cîteva zile /34/.

Pe de altă parte, aşa cum s-a arătat în 1.3.1., recombinarea N_2 cu O_2 are loc peste o anumită temperatură, stabilindu-se echilibrul real. Din figura 4, se poate observa dependența echilibrului (20) de temperatură /35/.

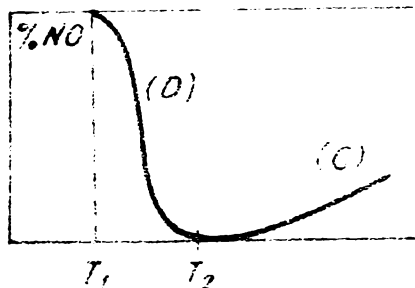


Fig.4. Dependența echilibrului (20) de temperatură.

Astfel, sub temperatura T_1 , NO este stabil. Încălzirea peste temperatura T_1 , produce descompunerea limitată și never-sibilă a NO. La temperatura T_2 această descompunere este completă. La temperaturi mai ridicate se observă o recombinație a N_2 și O_2 , limitată și reversibilă, cu stabilirea echilibrului real.

Ca o consecință a celor arătate pînă acum, rezultă că în elegerea unui procedeu de purificare a gazelor reziduale de oxizii de azot, pe lîngă posibilitățile și condițiile tehnologice existente pe platformă industrială, trebuie luate în considerare, în primul rînd, structura, cinetica de formare, comportarea și proprietățile acestor oxizi. În special pentru elaborarea unui procedeu catalitic, aceasta are o importanță deosebită.

1.5. Oxizii de azot din gazele de ardere de la centrale cu generator magneto-hidrodinamic (MHD).

Industria electro și termoenergetică constituie, în prezent una din cele mai mari surse de poluare a atmosferei, prin emisiile sale de SO_2 , NO_x și particule solide de fierite compozitii. Această poluare este cu atît mai puternică, dacă în respectivele centrale se utilizează combustibil lichid sau cărbunii.

In ultimii 20 de ani, în unele țări puternic industrializate, se fac experimentări serioase în vederea obținerii energiei electrice în centrale cu generator magneto-hidro-dinamic (M.H.D.). Se apreciază /36/ că în astfel de centrale se poate obține energie electrică la un rendament de 50-60% în report cu combustibilul utilizat, fără de maximum 37,3% cît se obține în centralele clasice, în funcțiune.

Incepând cu anii 1977-1978, în cadrul unei colaborări internaționale, și în țara noastră se fac studii și cercetări în acest domeniu, urmând să se realizeze o instalație MHD experimental-industrială, cu o putere de 50 MW.

Specific pentru astfel de instalații este temperatură ridicată din focarele de ardere a combustibilului, care poate ajunge la 3000°K . Gazele de ardere de la astfel de instalații conțin noxe puternic poluante ca SO_2 , NO_x , cenuși cu conținut ridicat de săruri de potasiu, provenite din carbonat de potasiu care se adaugă în combustibil, drept material de ionizare. Dacă concentrația de SO_2 , cenuși și săruri de potasiu depinde de compozitia combustibilului și a materialelor adăugate la combustibil, aceea de NO_x depinde atât de conținutul în azot din combustibil, cît și de regimul de ardere /37,38/. La temperaturi înalte oxizii de azot se pot forma și prin oxidarea azotului atmosferic. Așa cum în focarele de ardere ale instalațiilor MHD se obțin temperaturi de ordinul $2700-3000\text{ K}$, cantitatea de oxizi de azot formați poate fi apropiată de concentrația echilibrului termo-dinamic.

Concentrația de oxizi de azot depinde și de coeficientul , care reprezintă raportul dintre aerul necesar arderei și cantitatea de combustibil /38/. La un exces de aer ($\alpha > 1$) și concentrația NO_x din gaze va fi ridicată. Cu scăderea coeficientului α , scade și concentrația oxizilor de azot din gaze. Graficul din fig.5 reprezintă dependența concentrației de NO de temperatură și coeficientul .

În o ardere incompletă a combustibilului ($\alpha < 1$), în gazele de ardere se află, în anumite cantități CO și H_2 , care, pe traseul de evacuare a acestor gaze, de la temperatura ridicată din focar și pînă la 900°C , reacționează cu NO, micșorînd într-o măsură și mai mare, concentrația finală a oxizilor de azot /39/.

In această situație însă ($\alpha < 1$), și temperatura din focar este mai mică, influențând negativ asupra rendementului în curenț electric, fapt cu totul nedorit. /40/ Ca urmare, pentru depoluare de oxizi de azot a gazelor provenite de la centrale cu generator MHD, se pune problema utilizării unor procedee specifice pentru astfel de instalații. Aceasta cu atât mai mult, cu cît, în gazele de ardere, călători de oxizi de azot se află și alte noxe (ex.: SO_2), precum și particole solide, care condiționează, în mare măsură, alegerea unui proces de depoluare.

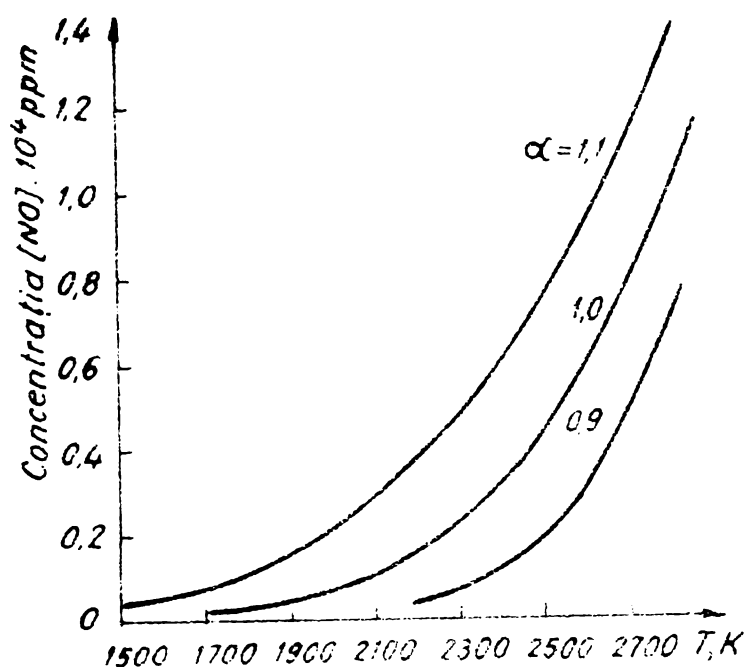


Fig.5. Variatia concentratiei de NO ,
functie de temperatura si
excesul de aer.

Un alt fapt de care trebuie ținut cont la alegerea unui procedeu, eficient și economic, de depoluarea de oxizi de azot a unor astfel de gaze, este debitul orar imens al lor. Astfel, pentru o centrală cu generator MHD de 50 MW, debitul gazelor

de ardere ajunge la 390.000 - 400.000 Nm³/h, avînd următoarea compoziție aproximativă : CO₂ = 25%; H₂O = 20%; SO₂ = 1-4%; O₂ = max. 0,5%; NO_x = 5000 - 12.000 ppm; restul fiind azotul. Se menționat că în aceste gaze se mai găsesc cca 18 g/Nm³ după electrofiltru, săruri de potasiu (KHCO₃, K₂SO₄, K₂CO₃, K₂O, etc.) și cenuși, sub formă de particole submicronice /41/.

Cărțoul 2.

PROCEDEE DE ELIMINARE A OXIZILOR DE AZOT DIN GAZE REZIDUALE.

Poluarea atmosferei cu oxizi de azot constituind un real pericol pentru menținerea echilibrului ecologic, cît și pentru integritatea instalațiilor și construcțiilor industriale și civile, în foarte multe țări, și în special în cele puternic industrializate, se efectuează cercetări într-un ritm de competiție, în vederea găsirii celor mai eficiente procedee de eliminare, sau cel puțin de reducere, a cantităților de oxizi de azot, proveniți de la diferite surse de emisie. În ultimul timp se acordă o atenție tot mai mare protecției atmosferei prin efectuarea unui control permanent asupra concentrațiilor diferitelor noxe din aer. Astfel, în țări ca SUA, Anglia, Japonia, RFG, Cehoslovacia, în preajma surselor de emisie a oxizilor de azot, se instalează zeci de stații care detectează continuu prezența lor în aer, permitând celor interesați să ia măsuri adecvate /42-44/.

Metodele și tehnica eliminării oxizilor de azot devind foarte mult de proveniența gazelor reziduale. Eliminarea oxizilor de azot din gazele de eșapament constituie o problemă, în cadrul preocupărilor de denocivizare a acestor gaze și formează obiectul a numeroase studii și brevete /45-51/. Au existat și există, de asemenea preocupări pentru eliminarea simultană a oxizilor de azot și dioxidului de sulf din gazele de ardere ale la centralele termice /38, 52-56/.

Gazele reziduale din industria acidului azotic conțin ca agenti poluanți, practic, doar NO și NO_2 . Metodele de eliminare a acestor poluanți pot fi clasificate în două categorii: unele necesitând un anexes echimolecular de NO și NO_2 , altele neimpunând o astfel de condiție /57,58/. În prima categorie se remarcă în special metoda de absorbție în alcalii cu formare de nitriți și nitrati. A doua categorie de metode a primit o dezvoltare mult mai mare, cîtătă variațelor posibilități tehnico-șipăriative de realizare, cît și flexibilității cărora în exploatare.

În ceea ce privește devoluarea gazelor de ardere, provenite

de la centrale cu generator NHD, s-a propus o metodă /38/, fără a fi aplicată încă, de absorbție a NO_x în aciu sulfuric, urmată de desorbția și captarea lor în vederea obținerii acizului azotic diluat. Autorii propunerii pretind că, o astfel de valorificare a oxizilor de azot ar reduce costurile de exploatare a unei centrale cu generator NHD cu 10-15%.

Din punct de vedere tehnologic, procedeele de eliminare a oxizilor de azot din gazele reziduale, provenite de la fabricarea acidului azotic se împart în : procese necatalitice și procese catalitice. În rîndul lor procesele necatalitice pot fi de absorbție și procese de adsorbție, iar cele catalitice, procese de descompunere, respectiv de reducere a oxizilor de azot.

Referitor la oxizii de azot din gazele de ardere, provenite de la centrale cu generator NHD, eliminarea lor din aceste gaze nu se poate face prin procese catalitice, deoarece sărurile de potasiu prezente în gaze, sub formă de particole de dimensiuni submicronice, ar acoperi rapid suprafața catalizatorului, dezactivându-l. Singurele procedee explicabile în acest caz, sunt cele de absorbție, adsorbție sau reducere termică a oxizilor de azot.

Se la bun început trebuie remarcat faptul că proceselor necatalitice, exceptind pe cele de reducere termică, le sunt proprii o serie de neajunsuri, care limitează utilizarea lor industrială pe scară largă. Astfel /59/, procesele necatalitice sunt, în mare parte, discontinue, eficiența eliminării nozelor scade în timp, ceea ce duce la scăderea rendementului purificării gazelor. Pentru a asigura o continuitate a procesului sunt necesare cel puțin două linii tehnologice, care să funcționeze alternativ. Dimensiunile instalațiilor pentru un proces necatalitic sunt foarte mari. Materialul absorbant, și în special, cel adsorbant trebuie periodic înlocuit complet sau regenerat. Toate acestea duc la costuri mari de investiții și exploatare, ceea ce face ca procesul necatalitic de eliminare a oxizilor de azot să fie scump, în special în cazul unor fabrici de acid azotic de mare capacitate.

Spre deosebire de procesele necatalitice, procesele catalitice de eliminare a oxizilor de azot din gazele reziduale prezintă o serie de avantaje. În primul rînd procesele catalitice

sint, practic, continue; au loc la viteze volumare mari, fără schimbarea catalizatorului timp îndelungat, asigurîndu-se în același timp un grad mare și constant de purificare. Instalațiile sint de dimensiuni mult mai mici, constructiv simple și ușor de exploatație. Catalizatorii pot fi ușor reactivați, direct în instalații, și reutilizați în 3-4 cicluri. Asemenea avantaje au făcut ca, în special în ultimul deceniu, procesele catalitice de eliminare a oxizilor de azot din gazele reziduale să fie aplicate cu preponderență /18/.

Procedeul de reducere termică a oxizilor de azot, să cum se va vedea în capitolele următoare, este economic și fiabilat numai pentru gazele provenite de la centrale cu generator MHD /60/.

Specific pentru procesele catalitice de purificare a gazelor reziduale, este faptul că ele, spre deosebire de alte procese catalitice heterogene, se desfășoară în condițiile unor concentrații mici de noxe în aceste gaze, deci la diluții mari, iar gradul lor de transformare trebuie să fie foarte înaintat, pentru a asigura o depoluare eficientă /61/.

S-au făcut cercetări /62-67/, fără însă a avea rezultate remarcabile, deși unele au fost și brevetate /68/, de descompunere a NO_x într-un cimp electric dat de o tensiune de 6-50 KV.

Au fost și sint preocupări, privind reducerea emisiilor de NO_x , prin intervenția directă asupra tehnologiei de fabricație sau a instalațiilor de producere a acidului azotic. Astfel, unii autori /15, 69/ remarcă că se poate intensifica procesul de absorbție, plasând coloana de absorbție într-un cimp magnetic. Deși rezultatele par să fi promițătoare, procedeul este, încă, foarte costisitor.

În noi în țară, la Combinatul Chimic din Făgăraș, se experimentează în condiții industriale /70/, o coloană de absorbție cu tolere de o anumită construcție, și care lucrează în regim "spumant". La ieșire din această coloană gazele conțin numai 100 ppm NO_x .

În trecere în revistă a principalelor preocupări din țara noastră, privind depoluarea atmosferei de oxizi de azot, se face în lucrarea /71/.

Astfel, pe lîngă cercetările care constituie obiectul prezentei lucrări, la Combinatul Chimic Craiova, s-au făcut experi-

mentări de absorbție a NO_x în soluții azotice de uree, respectiv de reducerea lor catalitică cu amoniac, utilizând un catalizator pe bază de V_2O_5 .

La Combinatul de Fire și Fibre Sintetice Săvînești este în funcțiune o instalație de recuperare a NO_x proveniți de la fabricarea caprolactamei. Recuperarea NO_x se face printr-o absorbție a NO_2 în apă, (cu formarea acidului azotic diluat), după care gazele nitroase, bogate în NO , trec la o a doua absorbție într-o soluție aproasă de FeCl_2 (la -15°C). Urmează o desorbție (la $20-25^\circ\text{C}$) a NO și utilizarea lui în diverse procese tehnologice din combinat. Soluția de absorbție se trece într-o celulă de electroliză pentru reducerea la FeCl_2 ce s-a format datorită NO_2 neabsorbit, în prima etapă, în apă. Instalația este de dimensiuni reduse, ea trălucind doar un debit de $500 \text{Nm}^3/\text{h}$ de gaze nitroase.

2.1. Procedee necatalitice.

2.1.1. Procedee bazate pe absorbție.

Utilizarea, în fabricarea acidului azotic, a unei trepte finale de absorbție alcalină nu a reușit să rezolve problema purificării gazelor reziduale, concentrația finală în oxizi de azot era cu mult peste normele admise și, în plus, fluidurile de lucru ridicau probleme grele de coroziune. În special după extinderea absorbției sub presiune, interesul pentru trepte finale de absorbție alcalină a scăzut semnificativ. Mai trebuie amintit că pentru o eficiență ridicată a absorbției alcaline este necesar un raport echimolecular de NO și NO_2 .

Performanțe deosebite (concentrații sub 100 ppm) s-au obținut prin absorbția gazelor nitroase în soluție, aproasă de NaOH și NaOCl , în raport de 1/1 (la un $\text{pH} = 13$) /72,73/.

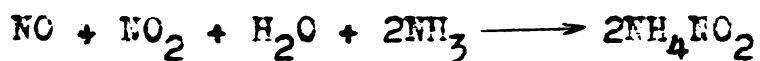
Dezavantajele absorbției alcaline în soluții clasice, pot fi parțial evitate, utilizând soluții alcaline de mercaptani /74/. Folosind Na-dimetiltiouree sau 2-mercaptobenzthiazol se măreste viteza de oxidare a NO la NO_2^- , realizându-se un răndament de transformare la NaNO_2 de peste 90%, pornind de la concentrații initiale de 0,15% NO_x .

Incroziri de eliminare a oxizilor de azot din gazele rezi-

uale au fost făcute și cu soluții conținând grupe amido reactivе. Se amintește astfel utilizarea soluției de 5-15% H_2NSO_3H în acid sulfuric /75/, în apă sau în acid azotic diluat /76-78/, lucrindu-se la $60-80^{\circ}C$ și obținându-se randamente de purificare de 90-95%.

Încercările de a absorbi oxizii de azot într-o suspensie de V_2O_5 în HNO_3 diluat, nu au dat rezultatele secontate, obținindu-se, la ieșire, concentrații peste $0,1\%$ NO_x /79/.

Un proces de absorbție economic și convenabil pentru fabriile de amoniac - acid azotic, pare să fie amestecarea gazelor reziduale cu exces de amoniac, având loc reacție :



urmată de absorbția și oxidarea azotitului la azotat de amoniu /80/.

Pentru obținerea unor concentrații finele de NO_x cît mai reduse, s-a încercat absorbția lor în soluții neconvenționale, ca de exemplu : în soluție de adiție de sodiu (produs rezidual la fabricarea caproleotanei) /81/, sau de sare fercoasă /82/, fără să se ajungă la rezultate optimiste cu privire la ușilitatea practică a acestor procedee. De asemenea se specifică, că ar fi buni adsorbanți, soluțiile spălate de săruri complexe cu amine ale unor metale tranziționale /83/, sau soluțiile spălate de bromură de potasiu (4-7,5%) și acid percloric (2-6%) /84/, sau uree (1%) /85/.

Rezultate promițătoare, în ceea ce privește gradul de purificare, s-au obținut prin reacții gaz-solid: patul de reacție putind fi clorura de var /86/, sau carbonatul de sodiu, carbonatul de calciu sau oxidul de calciu /87/. Concentrațiile reziduale de NO_x pot fi coborite pînă la 250 ppm.

2.1.2. Procedee bazate pe adsorbție.

Între adsorbanții cei mai studiați, în încercările de purificare a gazelor reziduale ce conțin oxizi de azot, se numără cărbunele activ /6, 88-91/. Adsorbția pe silicagel a format o biectul unor eroziuni mai reduse. În ultimii ani însă, a crescut interesul pentru folosirea ca adsorbanți a sitelor moleculare.

Deși pînă în prezent nici o instalație industrială nu funcționează, pe baza adsorbției pe site moleculare, aplicabilitatea, funcționalitatea și economicitatea procedeului este lăsată serios în discuție, pornindu-se de la rezultatele experimentărilor în fază pilot /6, 92/.

Pentru recuperarea oxizilor de azot din gazele reziduale și retrimiterea lor în circuitul de adsorbție, se poate folosi un mordenit sintetic (aluminosilicat cristalin) cu dublul rol de adsorbant și catalizator de oxidare /93/.

Sub aspect teoretic prezintă interes adsorbția, aproape completă, a unor gaze paramagnetic (deci și NO și NO_2), pe cupru fin divizat depus pe β -alumină. Capacitatea de adsorbție crește prin activarea cuprului cu alte metale tranziționale ca : Ag, Pt, Mn, Ni, Co, Cr sau Mo /94/.

Dintre materialele neconvenționale, se pot aminti încercările de laborator asupra adsorbției oxizilor de azot pe lignină /95/, sau pe fibre poliamidice /96/.

Un alt procedeu /97, 98/, utilizează ca adsorbant turba îmbibată cu alcalii. Prin acest procedeu se poate măsura concentrația oxizilor de azot, din gazele reziduale, pînă la 0,06-0,02% vol. NO_2 . Oară cu aceasta se obține și un îngrășămînt chimic ce conține $\text{Ca}(\text{NO}_3)_2$, NH_4NO_2 , NH_4NO_3 s.a. Conținutul total de azot legat, într-un astfel de îngrășămînt, poate ajunge la 6-8%.

Intr-un alt procedeu /99/ se utilizează ca adsorbent oxidul de vanadiu granulat, impregnat cu uree, hidrazină, nitrili, amide sau derivatele lor. Adsorbția are loc în stăt fluidizat.

Un interes, mai mult teoretic, prezintă cercetările /100-103/, privind adsorbția NO pe SnO_2 . Experimentările s-au făcut la $0-85^\circ\text{C}$ și la presiuni de 0,4 - 3,5 atmosfere. S-a stabilit că prezența CO în gaze nitroase duce la scăderea vitezei de adsorbție și măsurarea cantității maxime de NO adsorbit.

Rezultate bune s-au obținut utilizând ca adsorbant Na_2CO_3 sau K_2CO_3 în amestec cu Fe_2O_3 sau MnO_2 /104/. Se asemenea s-au făcut încercări de adsorbție a NO_x pe nămoluri conținând serpentine, dolomită, săruri de fier și calciu /105/, rezultatele nefiind însă satisfăcătoare.

2.1.3. Procedee de reducere termică.

Reducerea termică a oxizilor de azot, este procedeu de denocivizare, și-a extins în special în ultimii zece ani și se aplică, în exclusivitate, la eliminarea NO din gazele de ardere de la centrale termoelectrice. Desfășurindu-se la temperaturi ridicate, reducerea termică, sub aspect energetic, este neeconomic să fie aplicată în cazul gazelor provenite de la alte surse, având în vedere că aceste gaze ar trebui să fie preîncălzite, la cel puțin 750°C , ceea ce ar mări foarte mult costurile de exploatare a unor astfel de procedee.

Utilizând drept agent de reducere pulberea de coacă, la temperaturi de $900\text{--}1000^{\circ}\text{C}$, NO poate fi redus într-o proporție de 85-90% /106, 107/.

Intr-un procedeu /108/ care utilizează ca agent de reducere un gaz ce conține compuși ai azotului ca de exemplu N_2H_4 , la temperaturi de $750\text{--}850^{\circ}\text{C}$, se poate reduce 90-95% din oxidul de azot present în gazele nitroase.

O reducere, practic totală a NO într-un gaz de combustie, poate fi realizată la $880\text{--}950^{\circ}\text{C}$ cu amoniac /109, 110/. Rezultate foarte bune s-au obținut la 750°C având ca agent de reducere un susținător de oxid de carbon, amoniac și hidrogen /111/. De asemenea, o reducere, practic completă, a NO se poate obține la 980°C , amestecând gazele nitroase cu hidrocarburi $\text{C}_1\text{--}\text{C}_4$ /112/.

2.2. Procedee catalitice.

2.2.1. Procedee de descompunere.

S-a arătat (în cap.1) că reacția de descompunere a oxidiului de azot, în absența catalizatorilor, este foarte lentă. De asemenea, dacă se pune problema descompunerii oxidiului de azot, se iau în considerare doar reacțiile catalizate.

B.R.S. inter în lucrarea sa /34/ prezintă un amplu studiu privind descompunerea oxidiului de azot pe o serie de oxizi metalici. În acestă lucrare se admite că reacția de descompunere a NO pe oxizi metalici poate fi descrisă de ecuațiile :





Admitând că etapa determinantă de viteză este reacția (20), E.R.S. Winter ajunge la o ecuație teoretică, pentru viteza de reacție, de tipul :

$$-\frac{d(\text{NO})}{dt} = k \frac{P_{\text{NO}}}{P_{\text{O}_2}} \quad (23)$$

și

$$k = A_0 e^{-E_0/RT} \quad (24)$$

Principală această ecuație a fost verificată experimental, cu precizarea că dependența stabilită teoretic față de $1/P_{\text{O}_2}$ nu s-a observat, datorită reacției rapide între NO și O_2 în părțile reci ale aparaturii experimentale.

Experiențele s-au efectuat pe o serie de peste treizeci de oxizi metalici. În tabela VI sunt prezentate parametrii cinetici ai reacției de descompunere a oxidului de azot pe lăieriți oxizi metalici.

Tabelă VI

Oxidul metalic	Domeniul de temperatură °C	E_0 KJ/mol	$\log_{10} \frac{A_0}{\text{molecule}} \cdot \text{cm}^2 \cdot \text{s}^{-1}$	Dependență față de presiune
			200 torr de NO	
0	1	2	3	4
MgO	590-760	155,0	20,66	1,0
Al ₂ O ₃	430-600	125,2	20,16	1,0
ZnO	680-770	172,0	21,29	1,0
CaO	580-720	117,2	18,74	-
SrO	620-750	62,8	17,38	-
CuO	370-490	37,8	14,81	1,0
Fe ₂ O ₃	650-750	159,0	20,33	-
	520-660	67,0	15,00	1,0

0	1	2	3	4
Cr_2O_3	680-780	96,3	16,50	1,0
Ga_2O_3	610-760	121,5	18,09	1,0
Rh_2O_3	400-560	58,6	16,45	-
CeO_2	640-800	75,5	16,56	-
HfO_2	730-830	75,5	15,71	-
ThO_2	580-840	58,6	15,02	1,0
SnO_2	650-790	79,5	16,00	-
TiC_2	670-870	79,5	15,99	-
IrO_2	330-450	67,0	17,91	1,0
Sc_2O_3	540-710	130,0	20,43	-
Y_2O_3	550-700	100,6	18,23	1,0
La_2O_3	630-830	67,0	16,40	-
Nd_2O_3	580-680	104,8	18,71	-
Sm_2O_3	550-760	58,6	15,85	-
Eu_2O_3	550-720	96,3	17,85	-
Gd_2O_3	470-650	79,5	16,59	-
Dy_2O_3	650-760	104,8	18,69	-
Ho_2O_3	590-760	132,0	20,97	1,0
Er_2O_3	570-700	117,2	18,49	-
Tm_2O_3	600-760	117,2	18,89	-
Yb_2O_3	600-720	121,5	18,62	-

Alături de oxizii prezentate în tabelă, s-a stabilit că FbO , W_2O_3 , BeO și In_2O_3 sunt inactivi, cu excepția unor temperaturi finale. V_2O_5 și MoO_3 sunt inactivi pînă la cca. 30°C sub temperatură lor de topire. MnO_2 este inactiv cu excepția unor temperaturi peste 350°C , cînd are loc o descompunere apreciabilă a oxidului de azot (dar în vid). Observațiile pentru Mn_2O_3 și CdO nu au fost reproductibile.

Studii și experimentări de descompunere catalitică a oxidului de azot au făcut și alți cercetători. Astfel, s-a stabilit /113/ că descompunerea catalitică (pe oxizi metalici) a NO în atmosferă de heliu, la $300-600^{\circ}\text{C}$, este o reacție destul de lentă, încît pornind de la concentrații inițiale de 2000 ppm se obțin viteze în jur de $10^{-12} \text{ mol} \cdot \text{m}^{-2} \cdot \text{min}^{-1}$.

Descompunerea NO atinge viteze apreciabile, fie la temperaturi ridicate ($> 800^{\circ}\text{C}$) /114, 115/, fie la presiuni finale /116/. Descompunerea catalitică a oxidului de azot pe CuO și CeO₂ (pe suporti de alumina), la $300\text{--}500^{\circ}\text{C}$ are loc cu o viteză foarte lentă /117/.

Incercuri de descompunere catalitică s-au mai făcut pe metale (iridiu) /118/, pe carburi de Ti, Cr, Nb, Mo și U /119/, sau pe sulfuri metalice /120/, stabilindu-se că cele mai bune rezultate au dat : BaS, CaS, SrS și FeS.

Rezultate remarcabile s-au obținut, descompunind oxidul de azot pe catalizatori policomponenți. Astfel, un brevet american /121/ prezintă posibilitatea descompunerii NO, pe un anestec de oxizi de Cu, Ni, Fe și Cr, la temperaturi peste 1000°C .

Intr-un alt brevet /122/ se descrie descompunerea NO pe catalizatori de formă $\text{Co}_x^{\text{II}}\text{Fe}_{1-x}^{\text{II}}\text{Fe}_2^{\text{III}}\text{C}_4$ și $\text{Co}_x^{\text{II}}\text{Co}_{3-x}^{\text{III}}\text{Fe}_{3-x}^{\text{III}}\text{O}_4$, unde valoarea lui "x" este : $0 \leq x \leq 1$ pentru primul catalizator și $1 \leq x \leq 3$ pentru al doilea catalizator.

Incercuri de descompunere a oxidului de azot s-au făcut și pe catalizatori de formă : $\text{Cu}_x^{\text{II}}\text{Mg}_{1-x}^{\text{II}}\text{Al}_2\text{O}_4$ /123, 124/.

Metodele de descompunere catalitică a oxidului de azot prezintă interes, în primul rînd, pentru denocivizarea gazelor de eșapament /125/. În industria acidului azotic aplicabilitatea acestor metode este limitată din cauza ineficacității energetice și a vitezelor de reacție relativ reduse, care ar necesita spații de reacție mari.

Ură interes, de ordin teoretic, prezintă lucrările lui G.T. Alhazov și ale colaboratorilor /126, 127/, privind descompunerea catalitică a NO₂ pe TiO. La $150\text{--}600^{\circ}\text{C}$ are loc reacția :



Viteza de reacție crește foarte mult peste 300°C . Autorii lucrărilor mai sus citate, subliniază faptul că termodynamic este posibilă și reacția :



Totuși, în fază gazoasă această reacție nu a fost reacționată.

S-a stabilit că pe NiO se poate face descompunerea dioxidului de azot astfel : din 12,6 moli de NO₂ rezultă (tabela VII):

Tabela VII

Temperatura °C	200	250	300	350	400	450
N ₂ format în moli	0,6	1,1	1,6	2,1	3,0	4,0

Viteza pînă la 450°C crește, apoi scade foarte mult, datorită faptului că are loc reacția (25) cu viteza mare și scade cantitatea de NO₂.

2.2.2. Procedee de reducere.

Reducerea catalitică a oxizilor de azot, cu diferite gaze, a găsit aplicării deosebite la depoluarea gazelor reziduale de la fabricile de acid azotic. Datorită exotermicității reacțiilor de reducere, în multe cazuri procesul propriu-zis de reducere poate fi cuplat cu alte procese (de exemplu: producerea de abur sau expansiunea într-o turbină de gaze), care ridică foarte mult economicitatea procedeului.

Varietatea procedeelor este mare, putîndu-se folosi diferiți catalizatori și diferite gaze de reacție /18,128,129/.

Din prezentarea, în continuare, a celor mai importante sisteme de reducere a NO_x cu hidrogen, amoniac, oxid de carbon, hidrocarburi sau amestecuri de gaze reducătoare, ne putem da seama de amploarea și importanța ce se acordă studiilor și cercetărilor, pentru elaborarea unor procese catalitice de eliminare a NO_x din gaze reziduale. Încercările informațiilor bibliografice existente, și cîtate numai în parte în prezenta lucrare, evidențiază, în același timp, faptul că procesele catalitice sunt cele mai eficiente, deși în unele cazuri scumpe, și că preocuparea oamenilor de a menține mediul ambient într-o stare cît mai curăț, a devenit o necesitate vitală.

2.2.2.1. Reducerea NO_x cu H₂. În absența catalizatorilor, reacția oxidului de azot cu hidrogenul are loc, cu o viteză măsurabilă, la peste 700°C /18/, stoichiometrică reacției fiind dată de ecuația :



La 801°C, viteză este proporțională cu [NO]² și [H₂], fi-

tr-un domeniu extins de concentrații. Însă energia de activare de $105,3 \text{ kJ/mol}$ și factorul preexponential de $5 \cdot 10^{12} \text{ l}^2 \cdot \text{mol}^{-2} \text{sec}^{-1}$ obținuți, admitînd o cinetică de ordinul III, sunt mult prea mari pentru că interpretarea să fie pe deplin satisfăcătoare. Nici ipoteza unui mecanism radicadicic nu este satisfăcător, deoarece ar trebui că în ecuația de viteză, dependență față de hidrogen să fie $[\text{H}_2]^{1/2}$, ceea ce nu s-a observat. Cel mai probabil, reacția decurge după un mecanism în două etape binolecular /130/.

Reducerea catalitică a oxizilor de azot cu hidrogen are loc la temperatură mult mai joasă (aproximativ 300°C) și, evident, cu viteze impresionante.

Catalizatorii pe bază de platină sunt deosebit de activi, reducînd oxidul de azot pînă la amoniac și hidroxilamină, cu rendamente de peste 85% /131, 132/.

Prin găzile reziduale (cu conținut mici de oxizi de azot) și hidrogen peste catalizator de Pt pe suport de Al_2O_3 , reducerea se poate controla astfel că se obțină, în majoritate, azot și doar cantități foarte mici de amoniac /133/.

Reducerea pînă la azot a oxizilor de azot din gazele reziduale, se poate efectua și pe alte sisteme metalice, ca de exemplu pe aliaje Ti-Cr. Iuorindu-se la $300-350^\circ\text{C}$, cu un gaz conținând $0,1-0,2\%$ O_2 și $0,4-0,7\%$ NO_x și folosind un raport H/O de $\sim 1,7$ s-a realizat o eliminare însinată a oxizilor de azot /134/.

O deosebită atenție s-a acordat sistemelor oxidice, capabile să catalizeze reacția de reducere a oxizilor de azot cu hidrogen.

Reacția hidrogenului cu oxidul de azot, în prezența catalizatorului de oxid de nichel-oxid de crôm (II) /135/, are loc la temperaturi între 100°C și 400°C , conform ecuației :



Rendamentul maxim se obține la $250-300^\circ\text{C}$; peste această temperatură devine importantă reacția inversă, iar sub 100°C spa de reacție acoperă suprafața catalizatorului prin condensare capilară. S-a stabilit că reacția este de ordinul 1/2.

În reacția hidrogenului cu NO_x este activ și catalizatorul BETK-II (CuO 30%, ZnO 30%, Cr_2O_3 38% și 2% liant) /136/.

Oxizii de azot din gazele de coaserie pot fi hidrogenați pînă la N_2 sau NH_3 , trecînd gazul la $160-380^\circ\text{C}$, peste un catali-

zator de Co-Mo depus pe silicagel. Catalizatorul s-a dovedit mai eficient și totodată mai rezistent la otrăvirea cu sulf, decât catalizatorul de Pd sau Ru-Pd /137/.

Reducerea oxidului de azot pe mangnite ale pămînturilor rare (ca de exemplu $\text{La}_{1-x}\text{Fe}_x\text{MnO}_3$, unde $0,3 < x < 0,6$) duce la formarea de azot, iar la temperaturi joase produsul secundar este N_2O /138/. Există dovezi /139/, că reducerea catalitică a NO la N_2O , la temperaturi joase, are loc prin formarea compusului intermediar RNO .

Dioxidul de azot s-a fost redus cu hidrogen pe catalizatorul de cromit de cupru activat cu oxid de bariu. Reacția are loc la $160-270^\circ\text{C}$ și la concentrații foarte mici (sub 0,1%) de NO_2 , produsele de reacție fiind N_2 , H_2O și NH_3 . Creșterea vitezei volumare a reactenților determină creșterea procentului de azot și scăderea cantității de amoniac formate /140/.

Rezultate apreciabile, privind reducerea NO_x cu hidrogen, s-au obținut pe catalizatorul Ni-Cr /141/, respectiv Rh/ SiO_2 /142/.

S-au făcut încercări de a reduce NO_x cu hidrogen pe catalizatori pe bază de Co/ Al_2O_3 sau adausuri de oxizi ai metalelor alcaline /143-147/, însă rezultatele nu au fost satisfăcătoare.

Rezultate mai bune s-au obținut, reducând NO_x cu hidrogen pe catalizatori de Fe_2O_3 sau MnO_3 depuși pe diferiți suporti ca: SiO_2 , Al_2O_3 , ZrO_2 , $\text{TiO}_2 - \text{ZrO}_2$, MgO , cărbune activ. Cele mai bune activități au avut $\text{Fe}_2\text{O}_3/\text{SiO}_2$, respectiv $\text{MnO}_3/\text{ZrO}_2$ /148-151/.

2.2.2.2. Reducerea NO_x cu NH_3 . Folosirea amoniacului ca agent reducător, prezintă avantajul reacției selective doar cu oxizii de azot (nu reacționează cu oxigenul prezent în gazele reziduale) și la temperaturi relativ scăzute ($200-280^\circ\text{C}$). Prezintă însă dezavantajul unui preț ridicat și a inconvenientelor ridicate de formarea azotitilor și azotatilor de amoniu, care acoperă suprafața catalizatorului deosebitivindu-l și în același timp prezentând pericolul de explozie /18/.

Un catalizator de paladiu (sub 1% Pd) pe Al_2O_3 /129/, a prezentat o eficiență de 96% la reducerea cu amoniac a unui gaz cu 0,15% vol. NO_x ; raportul NH_3/NO_x a fost de 1-1,4, temperatură de 260°C , iar viteză volumică de $20,000\text{cm}^{-3}\text{s}^{-1}$. În aceste con-

ditii s-au format doar cantități mici de NH_4NO_2 și NH_4NO_3 .

Rezultate similare s-au obținut și cu catalizator Pt/ Al_2O_3 (0,2% Pt). Luerindu-se la presiuni mai mari (pînă la 2,5 ata) s-au putut realiza viteze volumare de pînă la 60.000 h^{-1} /152/.

De asemenea rezultate foarte bune s-au obținut pe catalizatorii de Pt, Pd, Ru și Rh (sub 1% metal) depuși pe TiO_2 /153/, sau pe un catalizator metalic Pt-Rh, raportul Pt/Rh fiind de 2/1 /154/.

În general cercoatările cu catalizatori platinici au urmat reduserea cantității de metal prețios, micșorarea excesului de amoniac și mărirea răndamentului și selectivității /155, 156/.

În scopul realizării unor catalizatori mai ieftini s-a încercat înlocuirea metalelor platinice prin alte metale tranzitionale. Astfel, fierul s-a dovedit foarte selectiv sub 275°C , pentru reacțiile :



Ambele reacții sunt de ordinul I în raport cu amoniacul, iar constanta de viteză variază de la $6,48 \text{ sec}^{-1}$ la 200°C , pînă la $50,16 \text{ sec}^{-1}$ la 325°C /157/.

Conversii însemnante au fost observate pe catalizatori de metale tranzitionale pe suport de alumina, silicegel, diatomită, etc. De exemplu /158/, cu 5,5% Ni pe alumina s-a obținut o conversie de 88% la 215°C , cu 5% Fe pe alumina, 70% la 375°C , iar cu 5% Co pe alumina, 96,2% la 270°C , vitezele volumare optime fiind în jur de 30.000 h^{-1} . Cu un catalizator din fier poros, sub formă de inele Raschig s-a obținut conversii de 90% la 350°C /159/.

În ultimii 4-5 ani se dă o importanță tot mai mare cercoătărilor privind reducerea oxizilor de azot cu amoniac pe catalizatori oxidici. Catalizatorii oxidici, față de cei metalici, au o serie de avantaje și anume : activitate și selectivitate ridicată, ceea ce permite lucrul la viteze volumare mari (deci spații de reacție mici); tehnologie de preparare relativ simplă și ieftină. Având o mare activitate și selectivitate și lucrindu-se la viteze volumare mari, cantitățile de azotii și ero-

teți ce se formează sunt *infime*. Marele dezavantaj al catalizatorilor oxidici constă în faptul că aceștia, din cauza agresivității amoniacului (combinată și cu cea a oxizilor de azot), nu rezistă în timp. Datorită formării diferitelor combinații dintre reactanți și oxizi metalici ai catalizatorilor (prezentă fiind și o mare cantitate de apă formată în reacția de reducere), catalizatorul în scurt timp se dezactivează și se degradează mecanic (devine sfărâmicios) /157/.

Totuși, datorită avantajelor pe care le prezintă catalizatorii oxidici, și în primul rînd selectivitatea și posibilitatea lucrului la viteză volumăre foarte mari, cercetările, pe plan mondial, pentru a găsi un catalizator care să prezinte și o durată de funcționare convenabilă, sunt de mare importanță. Prioritate, în aceste cercetări, o dețin cercetătorii japonezi.

Dintre catalizatorii de tip oxici se remarcă, în primul rînd : oxidul de titan (IV), oxidul de vanadiu (V), oxidul de molibden (VI) și oxidul de wolfram (VI), individual sau în smesec, în multe cazuri și cu alți oxizi, depuși sau nu, pe diferenți suporti /160-163/.

Aștept, catalizatorul de V_2O_5 depus pe suport de Al_2O_3 a dat rezultate bune atât în ceea ce privește selectivitatea și conversia (peste 95%), în schimb durata sa de lucru este mică (cca. 1500 h) /164-166/. Un catalizator pe bază de VO_3 a dat rezultate bune își ceea ce privește durata de funcționare, rendemenele de conversie însă, au fost relativ mici (sub 90%), iar temperatură de lucru a trebui să fie ridicată la $400^{\circ}C$ /167/. Rezultate mai bune s-au obținut pe catalizatori de $TiO_2 - V_2O_5$ fără suport /168-173/ sau pe suport de SiO_2 /174/. Un interes aparte au prezentat catalizatorii pe bază de V_2O_5 în smesc cu oxizi de fier, cobalt, nichel, mangani, cupru, zirooniu, fără suport /175-176/, sau pe suport de Al_2O_3 sau $Al_2O_3 - SiO_2$ /177-181/. Pe acești catalizatori se poate lucra cu viteză volumăre foarte mari (pînă la $100.000 h^{-1}$), în schimb se dezactivează foarte repede.

Au mai fost experimentați catalizatorii pe bază de $V_2O_5 - TiO_2 - WO_3$ /182-184/, sau $V_2O_5 - TiO_2 - O_3 - MoO_3$ /185, 186/, în care s-au adăugat, în unele cazuri, oxizi de crom, mangani, fier, cupru, fără suport /187, 188/, sau pe suport de SiC_2 .

/189/, rezultatele obținute nu au fost însă, pe măsura așteptărilor.

Performanțe mai bune s-au obținut pe catalizatori oxidici pe bază de Ti-V, activați cu oxizi de lantă sau ytriu /190/, sau cu oxizi de gadoliniu și ytriu /191/. De asemenea rezultate notabile au dat catalizatorii de ZrO_2 sau WO_3 activați cu CeO_2 ($\leq 5\%$), pe suporti de Al_2O_3 /192, 193/.

În categoria altor catalizatori oxidici au mai fost studiate sistemele : $TiO_2 - WO_3$ /194, 195/, $TiO_2 - WO_3/ZrO_2$ /196/, $TiO_2 - ZrO_2 - SiO_2$ /197/, $TiO_2 - Fe_2O_3$ /198/, $Fe_2O_3 - Cr_2O_3$ /199/, $Mn_2O_3/SiO_2 - Al_2O_3$ /200/, MnO_2/SiO_2 /201/, Fe/Fe_2O_3 /202/, $Fe_2O_3 - CaSO_4$ /203/.

Necesitatea practică de a găsi catalizatori cu performanțe riunite a condus pe cercetători să experimenteze catalizatori multicomponenți de forma : $(aMnO_bSiO_2)_x \cdot (H_2O)_y \cdot cFe_2(O_4)_z$, unde : $y/x < 1$, $z/x = 1/80 \div 1/4$, $a/b = 5/6 \div 2$, $c/d = 1 \div 5$ /204/, sau $(xCaO_ySiO_2)_a \cdot (H_2O)_b \cdot (TiO_2)_c \cdot (MeO)_d$, unde : MeO este un oxid al metalelor tranzitionale, iar : $b/a \leq 1$, $c/a = 1 \div 10$, $d/a = 0,05 \div 1$, $d \geq 1$ și $x/y = 5/6 \div 2$, /205/.

Cercetări de reducere catalitică a oxizilor de azot cu amoniac s-au făcut și pe catalizatori de altă natură, ca de exemplu: mordenite sintetice (alumino-silicati cristalini) /206/, pulberi, pastilate cu un liant, din limonită naturală /207, 208/, cenușă calcinată, rezultată din arderea hidrocarburilor grele /209/, cărbune activ impregnat cu hidrocarburi aromatice /210/, sau în amestec cu săruri ale unor metale tranzitionale /211, 212/, sau, în fine, zeoliti naturali tip Y /213-215/. Pe astfel de catalizatori însă, consumul de amoniac s-a dovedit exagerat de mare.

În vederea obținerii unor rezultate cât mai eficiente și economice, în afara studierii naturii catalizatorilor, s-au studiat și formele sub care să se utilizeze catalizatorii. Astfel, s-au propus forme de site (pentru catalizatori metaliici) /216/, fagure /217-220/, sau granule de diferite forme și profile /221-225/.

Pentru a proteja cât mai bine rezultatele cercetărilor s-au brevetat tehnologii de prepararea /226, 227/ sau regenerarea /228/ a catalizatorilor. De asemenea s-au brevetat modele de reactoare catalitice /229, 230/.

Paralel cu cercetări cu caracter practic, în vederea găsirii celui mai bun catalizator pentru reducerea oxizilor de azot cu amoniac, au fost efectuate și cercetări de ordin teoretic privind: chemosorția celor doi reactanți pe lăcașii catalizați /231-234/, relația dintre structura și selectivitatea unor catalizatori /235/, sau mecanismul reacției de reducere /236/. Din aceste lucrări, precum de altfel și în cele ale lui K.Otto, N.Schleif și J.P.Kummer, citate anterior /160,161/, rezultă că reacția amoniacului cu oxidul de azot ^{este} de ordinul zero, iar etapa determinantă de viteză este disocierea superficială a amoniacului :

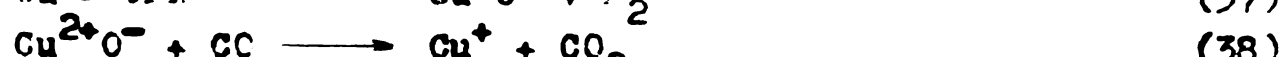


Hidrogenul chemosorbit participă, în continuare, la reacția de reducere a oxidului de azot.

2.2.2.3. Reducerea NO_x cu CO. Studiul reducerii catalitice a oxizilor de azot cu oxid de carbon a fost impulsivat de posibilitatea folosirii directe a gazului de sinteză din industria amoniacului, cît și de posibilitatea reducerii NO din gazele de eșapament, cu oxidul de carbon, de asemenea present în aceste gaze.

Între cei mai activi catalizatori se numără oxidul de cupru, oxidul de orom și cromitul de cupru /237-240/, produsele de reacție fiind doar CO_2 și N_2 pentru temperaturi mari și viteze volumare mici sau medii. La temperaturi joase și viteze volumare mari se formează și N_2O /241, 242/.

In lucrarea /243/, se propune următorul mecanism de reacție, pe oxid de cupru :



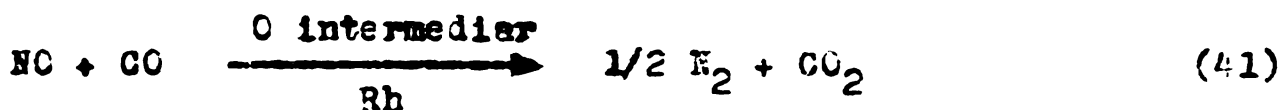
Acest mecanism este capabil să explice apariția protoxiului de azot în produșii de reacție. El a fost confirmat de analiza cinematică a reacției și de studii spectroscopice în infraroșu.

Pe un catalizator de Cromit de cupru /244/ s-a reușit o reducere de la 5.000 ppm la 50 ppm a NO-ului.

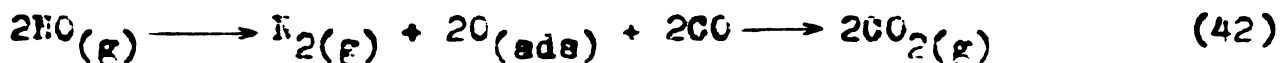
Dăsi reducerea oxizilor de azot cu oxid de carbon decurge aproape complet sub 320°C, pe catalizatori de oxid de cupru sau cromit de cupru, în prezența oxigenului însă, această reducere este mult diminuată /245/. De aici s-a spărut preocuparea pentru elaborarea unor catalizatori selectivi, care să permită ușăsurarea reacției și în prezența oxigenului. În acest scop s-au încercat catalizatori metalici (metale platinice sau alte metale și aliaje) pe suporti de Al_2O_3 sau SiO_2 /246/, sau catalizatori oxidici (înclusiv oxizul de cupru, care îmasează cu oxizi de alte metale), depuși sau nu pe Al_2O_3 sau TiO_2 /247,248/.

Astfel, s-au făcut, cu rezultate bune, încercări de reducere a NO_x cu CO pe catalizatori de platină depusă pe suport de fier Raney /249/ sau aluminiu /250/, respectiv de paladiu depus pe silicagel /251/. De asemenea s-au experimentat catalizatori, simpli sau multicompONENTI, din metale nobile (Pt, Pd, Ru, Ir, Rh), depuse pe un suport ceramic /252/, pe TiO_2 /253/ sau Al_2O_3 /254/.

Prezintă interes, mai ales din punct de vedere teoretic, cercetările /255,256/ privind reducerea NO_x cu CO pe rhodiul metalic. La temperatură de 300 K, NO și CO se adsorb pe fața cristalină /331/ a rhodiului, reacție de reducere desfășurându-se conform schemei :



Se admite că mecanismul reacției este :



Dăsi rezultări obținute pe catalizatori pe bază de metale nobile sunt din ceas mai bune, utilizarea lor practică este limitată din cauză costurilor foarte ridicate. De aceea cercetările au fost orientate spre găsirea unor catalizatori pe bază de metale sau aliaje neplatinice, utilizând, eventual, și metale nobile, dar în cantități foarte mici, ca promotori. S-au încercat

catalizatori ca : Ni - Raney /257/, aliaje Ni-Cu-Fe /258/, sau aliajul Cu-Ni (în raport 1/1) activat cu Ir, Rh sau Ru /259/. În acești catalizatori, la temperaturi de $375\text{--}400^{\circ}\text{C}$ s-a obținut, în general, conversii acceptabile (90-95%).

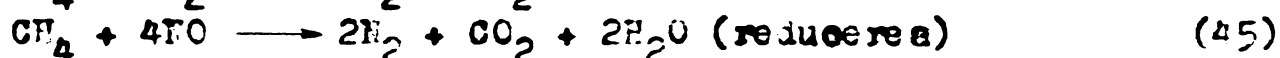
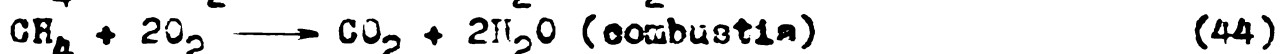
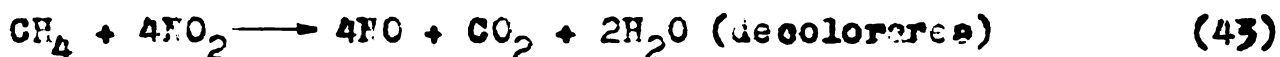
Între sistemele oxidice s-au experimentat: NiO , fără suport sau pe suport de Al_2O_3 /260-262/, $\text{Fe}_2\text{O}_3/\text{Al}_2\text{O}_3$ /263-264/, Fe_2O_3 în amestec cu oxizi ³⁺ ai altor metale tranziționale /265/, sau alcătuiți din oxizi și hidroxiuri de metale /266/. Acești catalizatori prezintă o importanță practică pentru temperaturi de lucru de $350\text{--}400^{\circ}\text{C}$ și viteze volumare mici sau medii ($5000\text{--}20,000 \text{ h}^{-1}$).

Un catalizator foarte bun, din punct de vedere al rezistenței la variații termice, este Cr_2O_3 . Față de alți catalizatori oxidici, și în mod deosebit față de cei pe bază de CuO , Co_3O_4 și MnO_2 , își păstrează rezistența mecanică și o activitate constantă chiar la temperaturi de $600\text{--}650^{\circ}\text{C}$. În schimb permite lucrul numai la viteze volumare mici de $5000\text{--}7500 \text{ h}^{-1}$ /248, 268-270/.

Experimentări, dar fără rezultate deosebite, s-au efectuat pe un catalizator format din granule de semiconducător sau pat fluidizat /271/.

Interes, cel puțin teoretic, prezintă încercările de reducere a NO cu CO pe un catalizator lichid, pe baza unui complex acetat de Co(II). Deși catalizatorul are o bună activitate, reducerea NO nu se face pînă la N_2 ci doar pînă la N_2O /277/.

2.2.2.4. Reducerea NO_x cu hidrocarburi. Procedeul de tratare catalitică a gazelor nitrosoase cu hidrocarburi, pe catalizatori platinici a fost descrisă pentru prima dată de Andersen și colaboratorii /273/. Pentru reducerea NO_x cu CH_4 , etapele procesului au fost formulate astfel :



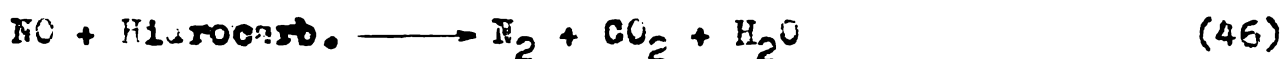
Reacția (43) de reducere a dioxizului de azot la monoxid, are loc foarte ușor prin adăugarea unui exces de hidrocarbură față de cantitatea stoichiometrică. Înținarea completă a oxidilor de azot din gazele reziduale, conform reacției (45), este mult mai dificilă, decât simpla decolorare, fiind necesară, ori

întii, consumarea completă a oxigenului (reacția 44); și în cazu eliminării totale a oxizilor de azot este necesară folosirea unui exces de hidrocarbură, fără de oxigenul total din gaze. Condițiile de lucru pentru catalizatori sunt mult diferite. Astfel o serie de catalizatori adecuați pentru reacția de decolorare, sunt nesatisfători în reacția de reducere.

Pentru început s-a acordat o atenție mare catalizatorilor platinici, pe suport sau fără suport /274-279/. În lucrări mai recente se încearcă, tot mai mult, reducerea oxizilor de azot cu hidrocarburi, folosind catalizatori neplatinici, ca de exemplu: cronomit de cupru activat cu zinc sau beriu /280/, CuO/Al₂O₃ /281/, TiO₂/SiO₂, sau oxizi ai altor metale tranziționale depuși pe Al₂O₃ /282,283/. Ca agenți de reducere se utilizează CH₄ (cel mai frecvent) sau amestecuri de hidrocarburi C₁ - C₄ (saturate și nesaturate), temperaturile de lucru fiind de 400-650°C.

Datele din literatura consultată, asupra reducerii oxizilor de azot cu hidrocarburi, permit desprindererea următoarelor concluzii :

1.- Indiferent de hidrocarbura folosită, reacție este :



În cazul temperaturi sub 300°C s-a observat formarea protoxidului de azot /241,284/. În cazul folosirii unui exces foarte mare de hidrocarbură, se poate forma și oxidul de carbon.

2.- Arderea hidrocarburii, datorită prezenței oxigenului, mărește mult temperatură în patul catalitic. Această fapt favorizează viteza reacției de reducere și operarea reactorului în condiții adiabatice. În același timp însă, se pune problema stabilității termice a catalizatorului.

Temperatura ridicată a gazelor, la ieșirea lor din reactor, poate fi folosită avantajos, de exemplu, prin recuperarea energiei într-o turbină de expansiune și (sau) recuperarea căldurii într-un eazan de aburi.

3.- Creșterea numărului de atomi de carbon ai hidrocarburii scade temperatura de reacție, necesară pentru atingerea unui anumit grad de conversie. Sub acest aspect, gazul metan este cel mai dezavantajos, însă utilizarea lui industrială în instalațiile de reducere poate fi justificată prin costul său mai redus,

dacăt al celorlalte hidrocarburi, și prin posibilitatea de a opera instalația independent de celelalte unități de pe o platformă industrială /285, 286/.

4.- Gradul de nesaturare al hidrocarburii determină micșorarea temperaturii de reacție, necesară atingerii rendamentului optim. Folosirea gazelor de facilă, cu un procent ridicat de alchene, ar spori eficiența proceseului de reducere cu hidrocarburi /280/.

5.- La o serie de catalizatori apar fenomene pronunțate de dezactivare. Astfel, catalizatorul de platină, lepus pe material ceramic, prezintă o scădere a activității specifice datorită sintetizării suportului și ocluziei metalului depus /275/.

Catalizatorul de cromit de cupru promovat cu bariu prezintă o dezactivare prin efecte combinate de adsorbție și oxidație /283/.

6.- Deși activitatea catalizatorilor platinici este foarte bună, fără de cei neplatinici, utilizarea lor în practică este limitată, atât de prețul lor ridicat, cât, mai cu seamă, de faptul că sunt necesare temperaturi relativ mari ($600-650^{\circ}\text{C}$) pentru preîncălzirea gazelor, în vederea desfășurării reacției. Or, având în vedere că reducerea oxizilor de azot cu hidrocarburi nu este selectivă, iar reacțiile sunt puternic exotermice – în special reacția de combustie /44/ – temperatura din patul catalitic poate atinge valori de $900-1000^{\circ}\text{C}$, ceea ce îngreunează, pe de o parte, desfășurarea procesului tehnologic, iar pe de altă parte produce dezactivarea și chiar distrugerea catalizatorului. De aceea, în cele mai multe cazuri, se preferă utilizarea catalizatorilor neplatinici, iar pentru a mări rendamentele de conversie, procesul se operează în reactoare cu două trepte de reducere /157, 287, 288/.

2.2.2.5. Reducerea NO_x cu amestecuri de gaze reducătoare.

Problema reducerii oxizilor de azot cu amestecuri de gaze reducătoare, prezintă interes, în primul rînd, pentru denocivizarea gazelor de eșapament. Folosirea amestecului de gaze reducătoare pentru depoluarea gazelor reziduale de la fabricile de acid azotic, sau centralele termoelectrice a fost mai puțin studiată, în

primul rînd, din cauze lipsei unor surse sigure și suficiente de astfel de gaze. În industria acidului azotic, intră în discuție doar gazul de sinteză, singurul disponibil pe o platformă de fabricare a amoniacului și acidului azotic. Catalizatorii folosiți săt atât metale platinice pe diferiți suporti, cît și oxizi și metalelor tranziționale sau alcălino-pămîntoase, pe suport sau fără suport.

Astfel, pentru depoluarea de NO_x a gazelor ne eșapament, s-au folosit ca și catalizatori platinici : Pt/ Al_2O_3 /289-292/, Pt-Rh/ Al_2O_3 /293/ sau Pd/ Al_2O_3 /294/. Drept catalizatori oxidici s-au utilizat : Fe_2O_3 - CuO /295-297/, Fe_2O_3 -CaO /298/, SrO/ Al_2O_3 /299/, NiO/ Al_2O_3 /300/, sau un catalizator de tip spinelic, MgAl_2O_4 , activat cu V_2O_5 , VO_3 sau MoO_3 /301,302/. În toate cazurile, ca agent de reducere s-a utilizat un amestec de hidrogen și diverse hidrocarburi.

Pentru depoluarea gazelor de ardere de la centralele termoelectrice, agentul de reducere utilizat a fost un amestec, în care, componenta principală a fost amoniacul. Pe catalizatori platinici Pt/ Al_2O_3 /303-305/ agentul de reducere a fost $\text{NH}_3 + \text{H}_2$, iar pe Pd/ Al_2O_3 /306/ reducerea s-a făcut cu un amestec format din amoniac și etanol în proporție de 30% față de amoniac. Utilizând drept reducător un amestec de $\text{NH}_3 + \text{CO}$, s-au încercat catalizatorii Co/SiO₂ /307/ sau un zeolit tip Y, impregnat cu $\text{CaCl}_2 \cdot 2\text{NH}_4\text{Cl}$ /308/. Înainte de operația de reducere a NO_x , gazele de ardere trebuie supuse unei purificări de particule solide (cenusa) pentru a nu dezactiva catalizatorul.

În reducerea oxizilor de azot din gazele reziduale din industria acidului azotic, ca amestec reducător se utilizează $\text{CO} + \text{H}_2 + \text{CH}_4$, în proporții variabile, cercetările tîinând cont, în acest caz, de compozitia amestecului existent pe platformă industrială, beneficiară a cercetării. Se utilizează atât catalizatori platinici, cît și cei neplatinici. Rezultate bune s-au obținut cu următorii catalizatori : Pt/ Al_2O_3 /309,310/, MgO-CoO₂/ Al_2O_3 /311/, oxizi de cobalt sau nichel pe suport de aluminiu /312/, Fe_2O_3 - Cr_2O_3 în raport echimolecular /313/, sau un amestec, în aferite proporții, de oxizi de Fe, Ni și Cu /314/.

În funcție de compozitia și diluția amestecului reducător, precum și în funcție de natura catalizatorului, reducerea oxizi-

lor de azot se poate realiza în următoarele condiții: viteze volumare $5.000\text{--}20.000 \text{ h}^{-1}$, temperaturi de lucru de $400\text{--}600^\circ\text{C}$, obținându-se, în general, randamente de 75-90%, iar reducerea făcându-se în două trepte /313,315/.

2.3. Observații și discuții asupra procedeelor prezентate.

Analizând procedeele de eliminare a oxizilor de azot din gaze reziduale, prezentate mai sus, se pot face unele aprecieri asupra eficacității, economicității și oportunității aplicării practice a unora din aceste procedee.

Alegerea unui sau altuia din procedee - ținând cont și de necesitățile și posibilitățile locale ale platformei industriale - trebuie făcută astfel, ca în final, să fie atins scopul principal, acela de depoluare a atmosferei înconjurătoare, prin micșorarea emisiei de noxe, sub limită admisă de normele sanitare.

Procedeele de recuperare și valORIZARE a oxizilor de azot (prin absorbție sau adsorbție), desăduse la producții suplimentare de diferiți produși, nu rezolvă efectiv purificarea gazelor evacuate. Conținutul minim de oxizi de azot din aceste gaze, chiar în cazul utilizării celor mai eficiente metode de absorbție sau adsorbție, este de 0,04-0,02% vol. de NO_x . În afară de acest fapt, în condițiile actuale, cînd capacitatele de producție industrială a sechului azotic sunt tot mai mari, procedeele de absorbție sau adsorbție ale oxizilor de azot reziduali devin foarte costisitoare. Ele necesită instalării de mare gabarit, de multe ori în linii tehnologice duble - pentru asigurarea continuității procesului - ceea ce reprezintă cheltuieli de investiție și exploatare mari și puțin eficiente.

Reducerea termică a oxizilor de azot se poate aplica numai în cazul gazelor de ardere, injectându-se agentul reducător într-un loc - pe traseul acestor gaze - unde ele mai au o temperatură suficientă pentru a avea loc reacția de reducere. O refincărire ulterioară a gazelor este total neeconomică.

Utilizarea metodelor de decompunere catalitică a oxizilor

de azot reziduali, este limitată din cauza condițiilor tehnologice. Pentru obținerea unor randamente bune este nevoie fie de temperaturi ridicate, fie de presiuni înalte. În același timp, din cauza vitezelor de reacție relativ reduse, este nevoie de spații de reacție de mari dimensiuni.

Judecând după amploarea pe care a luat-o, pe plan mondial, aplicarea industrială a procedeeelor de reducere catalitică a oxizilor de azot reziduali, se pot trage concluzii favorabile asupra eficienței acestor procedee. Aplicarea lor a început în SUA, în anul 1957, iar din 1963 ele se aplică tot mai intens și în Europa /18/.

Procesele de reducere catalitică a oxizilor de azot, pot fi împărțite în două mari grupe, și anume :

- procese ce au loc, la temperaturi de inițiere a reacției scăzute, $150\text{--}300^{\circ}\text{C}$ (în cazul reducerii cu H_2 , CO sau NH_3), și
- procese ce au loc, la temperaturi de inițiere a reacției ridicăte, $400\text{--}600^{\circ}\text{C}$ (în cazul reducerii cu metan sau amestecuri de hidrocarburi).

Pentru sigurarea unui înalt grad de reducere, la început s-au utilizat catalizatori pe bază de metale platinice (Pt, Id, Rh). În ultimul timp, tendința generală este de a înlocui acești catalizatori cu alții mai ieftini, fără a diminua, în mare măsură, randamentul de reducere.

O problemă de mare importanță, în elaborarea tehnologiei de reducere catalitică a oxizilor de azot, o constituie prezența oxigenului în gazele reziduale. Exceptând procesul de reducere cu NH_3 , care decurge selectiv, fără participarea oxigenului în reacția cu gazul reducător, în celelalte procese de reducere oxigenul reacționează cu gazul reducător, ceea ce duce la o creștere a temperaturii în patul catalitic. Astfel, pentru fiecare procent de oxigen, intrat în reacție, temperatura în interiorul de catalizator, crește cu $130\text{--}160^{\circ}\text{C}$. În acest fel, în cazul unor temperaturi inițiale de reacție de $350\text{--}400^{\circ}\text{C}$, conținutul de oxigen, în amestecul reactant, nu trebuie să depășească 3%, pentru a nu supraîncălzi catalizatorul peste 800°C . La această temperatură, catalizatorii, indiferent de natură lor, încep să se dezactiveze. Acest fapt este foarte important, în special pentru

casul reducerii oxizilor de azot din gazele reziduale, de la instalațiile ce funcționează la presiunea atmosferică, și în care, concentrația oxigenului ajunge la 5-7%. Într-o astfel de situație reducerea trebuie făcută fie în două trepte, cu răcirea intermediară a gazelor, fie prin reintroducerea, în circuit, a unei părți din gazele purificate, cu scopul mășorării conținutului de oxigen.

Deoarece reducerea oxizilor de azot cu H_2 , CO sau NH_3 se face la temperaturi relativ joase, s-ar putea trage concluzia că aceste procedee sunt și cele mai utilizate. În realitate însă, sunt și alte considerente care limitează aplicarea industrială a acestor procedee.

Utilizarea hidrogenului ca și gaz reducător este neeconomică prin costul său. Se poate aplica, industrial, reducerea oxizilor de azot cu hidrogen, doar în cazul cînd în gazele reziduale conținutul de oxigen este, relativ, mic (pe cît posibil sub 3%) și pe platforma industrială respectivă există suficiente cantități de hidrogen, fără posibilități de a fi folosit în alte scopuri.

Reducerea oxizilor de azot cu CO, deși se poate face prin folosirea directă a gazului de sinteză din industria amoniacului, iar temperatura de inițiere a reacției poate fi coborită chiar pînă la $250^{\circ}C$, acest procedeu nu este aplicat pe scară largă în industrie. Aceasta se datorează faptului că prezența oxigenului în gazele reziduale, diminuează gradul de reducere a oxizilor de azot cu oxidul de carbon. De aici au spărut și preocupările de a găsi noi tehnologii sau catalizatori selectivi, care să permită desfășurarea reacției și în prezența oxigenului, dar care încă nu și-au găsit aplicabilitate practică.

Folosirea amoniacului ca agent reducător, prezintă o serie de avantaje remarcabile : temperatura de lucru scăzută ($200-280^{\circ}C$), iar reacția are loc numai cu oxizi de azot, fără a reacționa cu oxigenul din gazele reziduale. Dezavantajul procedeului constă în faptul că amoniacul este un gaz deficitar, iar catalizatorii utilizati (și care asigură randamente bune), sunt foarte scumpi : Pt, Pd sau oxizi de V, Mo, W. Retinerea aplicării pe scară largă a acestui procedeu nu se datorează însă, atât de mult, dezavantajelor de mai sus, ci în special, inconveniente-

lor ridicate de formarea, în reactor, a azotitilor și azotațiilor de amoniu. Acestia, pe de o parte se depun pe catalizator dezactivinu-l, iar pe de altă parte, prezintă pericolul exploziei. De asemenea, așa cum s-a mai arătat, un alt inconvenient constă în faptul că nu s-a găsit încă un catalizator, care să roată fi utilizat un timp îndelungat, fără a se dezactiva și distruge.

În fine, procesul de reducere a oxizilor de azot cu hidrocarburi, deși are loc la temperaturi ridicate (peste 400°C), se pare că are oca mai largă utilizare industrială. Aceasta se datorează, în primul rînd, faptului că agentul de reducere poate fi nu numai metanul, care este mai ieftin decât amoniacul, dar și diferite amestecuri de hidrocarburi, inclusiv gazul de faclă, care nu au o utilizare în alte proceze tehnologice. Posibilitatea utilizării unor amestecuri de hidrocarburi, care pot constitui rezidii de fabricație, duce deja la o primă, și foarte importantă, scădere a costurilor de exploatare. De asemenea găsirea modalităților de recuperare a căldurii rezultate din reacție, și în primul rînd pentru preîncălzirea gazelor înainte de reactor, măreste foarte mult economicitatea procesului. În sfîrșit, preocupările tot mai intense de înlocuire a catalizatorilor platinici cu catalizatori neplatinici, mult mai ieftini, fac ca procedeul de reducere a oxizilor de azot cu hidrocarburi, să fie tot mai competitiv.

Desigur, este cazul să subliniem aci faptul, că în industria chimică azotică, există preocupări pe plan mondial, precum și la noi în țară, de a optimiza procezele tehnologice prin modificarea regimurilor de lucru, sau a instalațiilor de absorbție, astfel că, de la bun început, gazele reziduale să contină cantități minime de oxizi de azot. Există deja multe instalații în funcțiune, la care gazele reziduale conțin doar 300-500 ppm din oxizii de azot. Dar sunt și instalații mai vechi, care poluează, încă, putcnic atmosfera (gazele reziduale conținând 2000-3000 ppm oxizi de azot), și a căror înlocuire imediată ar fi neeconomică.

În ceea ce privește industria termo-energetică, aci nu se poate vorbi de o optimizare a procesului tehnologic cu scopul, expres, al reducerii emisiilor de oxizi de azot din gazele de ardere. Această reducere se poate face numai prin coborârea tem-

peraturilor de luor din instalațiile respective, dar, implicit, aceasta scade mult și randamentele termice și energetice, ceea ce, din punct de vedere economic, este inaceptabil.

Astfel, problemei depoluării atmosferei de oxizi de azot, prin diferite procedee trebuie să i se acorde, și în continuare, o atenție deosebită, cu scopul protejării și păstrării mediului ambient.

De altfel, pe plan mondial, acestor preocupări li se dă o mare importanță, de unde și numărul ridicat de comunicări și, mai ales, de brevete înregistrate. Orice realizare în acest domeniu, este un bun cîștigător pentru spărarea sistemului ecologic natural.

P A R T E A II

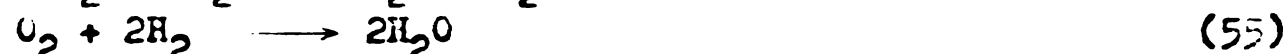
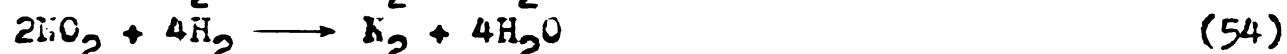
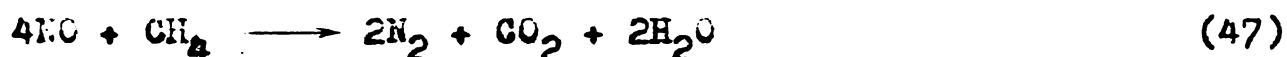
Capitolul 3.

INSTALAȚII EXPERIMENTALE

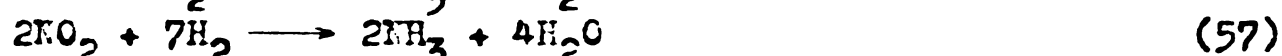
3.1. Instalații pentru reducerea catalitică a NO_x .

In funcție de cerințele și condițiile beneficiarilor cerătorilor (C.I.Tîrgu-Mureș și C.I.Ch.Mișra-Nemț), în experimentările privind elaborarea unei tehnologii de reducere catalitică a oxizilor de azot din gazele reziduale de la fabricarea acidului azotic, drept agenți de reducere s-au utilizat : gazul metan, hidrogenul, respectiv un amestec de gaze reducătoare format din CO - în ceea mai mare proporție - CH_4 și H_2 (fracția oxicarbonică provenită de la fabricarea amoniacului).

Componentele reductibile din gazele nitroase reziduale sunt: NO , NO_2 și O_2 . Reacțiile ce su loc între acestea și gazele reducătoare (CH_4 , CO și H_2) sunt următoarele :



La reducerea oxizilor de azot cu H_2 , în funcție de natura catalizatorului și condițiile de lucru, mai pot avea loc și următoarele reacții :



De asemenea, la reducerea cu hidrogen, se mai pot forma, în anumite condiții și în cantități foarte mici, N_2O , respectiv NH_2OH , prezența căroră însă nu influențează, într-o măsură sensibilă, rezultatele experimentelor.

Din reacțiile prezentate mai sus, se poate observa că, exceptând reacțiile (47) și (49) care au loc la volum constant și reacția (48) care are loc cu creșterea volumului, toate celelalte reacții se desfășoară cu micșorarea volumului. Deacă, printr-o metodă oarecare, se elimină apa din sistem, pentru toate reacțiile în care se formează apa, micșorarea volumului este și mai accentuată, inclusiv și reacțiile (47-49) se vor desfășura cu micșorarea volumului total. Pe baza acestor considerente a fost concepută o primă variantă a instalației experimentale de laborator.

3.1.1. Instalație de laborator cu funcționare discontinuă.

3.1.1.1. Descrierea instalației și a principalelor componente. Instalația (fig.6) funcționează în sistem închis, prin recirculare, cu o viteză constantă, a amestecului reactant peste masă catalitică, cu ajutorul unei pompe, ieșită în circuit.

Instalație se compune în următoarele părți principale :

1.- Recipient cilindric pentru prepararea amestecului reactant.

2.- Indicator optic pentru observarea circulației gazului.

3.- Pompa de recirculație (debitul pompei fiind de $400 \text{ cm}^3/\text{min}$).

4.- Manometru cu dioctilftalat.

5.- Reactor catalitic.

6.- Vas cilindric, conținând clorură de calciu pentru reținerea apei formate în reacție.

7.- Vas intermediar pentru introducerea azotului.

8.- Vas intermediar pentru introducerea gazului reducător.

9.- Volumul util al întregii instalații este de aproximativ 1020 cm^3 .

Încălzirea reactorului se face într-un cuptor electric tubular. Reglarea și înregistrarea temperaturii se realizează automat, cu ajutorul unei instalații electrice anexe. Măsurarea temperaturii de reacție se execută directă în patul catalitic, cu un termocoulu fier-constantan.

Prepararea oxizilor de azot se face într-o instalație anexă, prin reacția dintre acid sulfuric și un azotit alcalin.

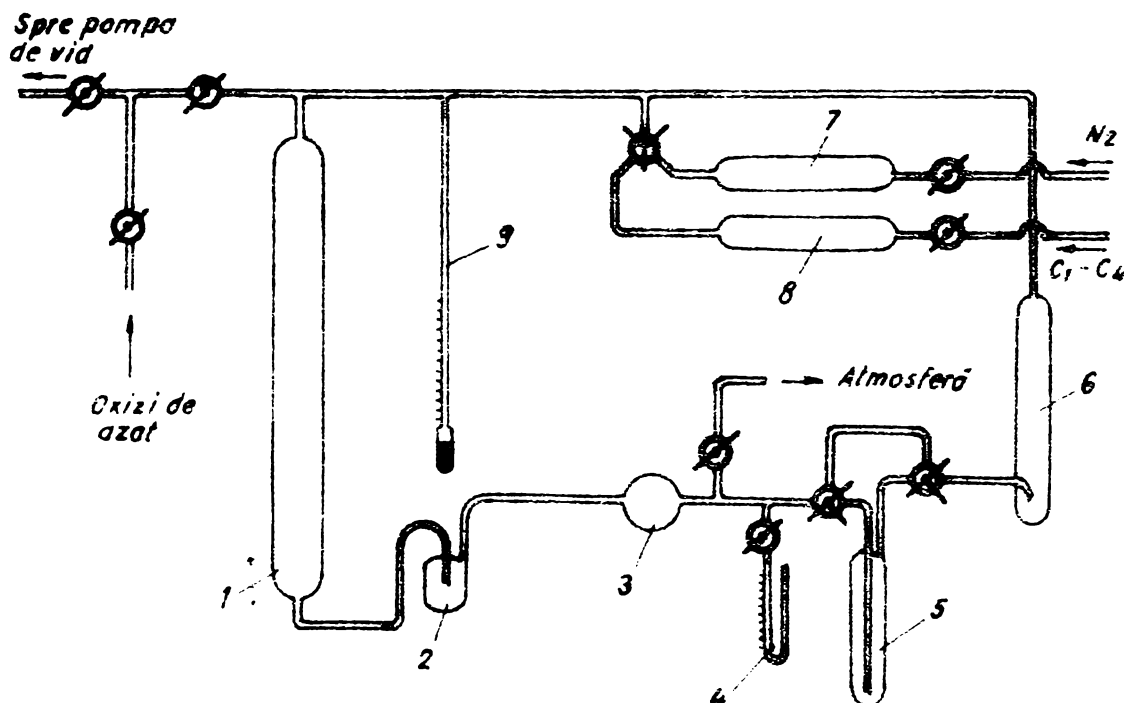


Fig.5.- Schema instalației de laborator.

Instalația (fig.7) este formată ^{viz} într-un sferic (de 500 cm³), în care se introduce o soluție saturată de azotit alcalin, și o pîlnie picurătoare, în care se introduce ecuul sulfuric. Instalația funcționează pe principiul aparatului Kipp. Menținerea presiunii constante în instalație se face prin reglarea înălțimii "h".

Reactorul catalitic (fig.8) este format din două tuburi concentrice. Amestecul reactant intră în reactor prin tubul exterior (1), preîncălzindu-se pînă la temperatura de inițiere a reacției. Apoi, prin partea inferioară, trece în tubul interior (2), traversând catalizatorul care este așezat pe frita (4). Temperatura în patul catalitic este măsurată prin intermediul unui termocuplu introdus în teaca (3).

Întreaga instalație experimentală, cu excepția pompelor de recirculare, este construită din sticlă termo-rezistentă. Legăturile între componentele instalației sunt realizate, în majoritate

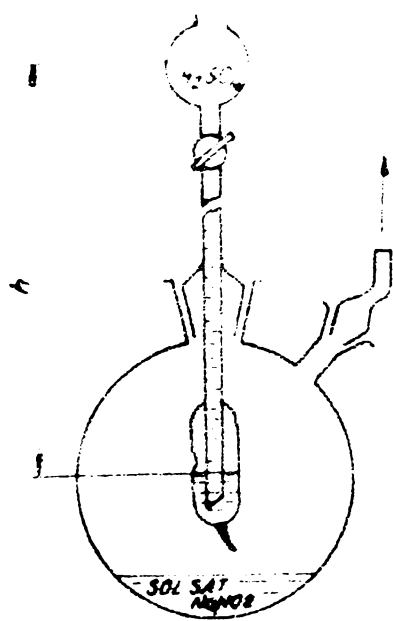


Fig.7. Schema instalației pentru prepararea oxizilor de azot.

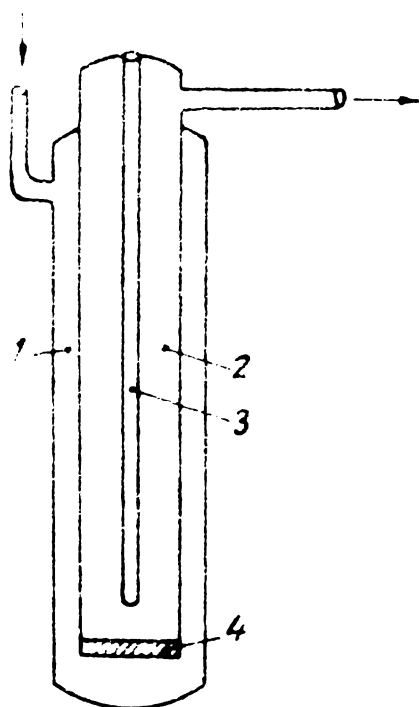


Fig.8. Schema reactorului statitic.

ritatea lor, director prin sudură. Acolo unde acest lucru nu s-a putut realiza, legarea s-a făcut cu ajutorul tuburilor din PVC.

3.1.1.2. Modul de lucru al instalației experimentale. Înainte de fiecare experimentare, prin întreaga instalație se vehiculează azotul (cca. 10 minute), pentru spălarea instalației, și ceea ce rămâne apoi în instalație ca și gaz diluant al amestecului reactant. În experimentări s-a utilizat azot cu un conținut de 3-3,5% origen. Această lucru a permis să se lucreze, întotdeauna, cu un amestec gazos identic, ca și compoziție chimică, cu cel industrial.

După operațiunea de spălare și umplere a instalației cu azot, cu ajutorul unei pompe de vid se crează un vacuum în instalație de 10-15 mm.col.Hg. Se introduc apoi oxizii de azot în recipientul (1), în cantitatea necesară experimentării. Prin intermediul vasului (8) se adaugă gazul reducător, într-un raport, față de oxizii de azot, lăsându-se stabilit. Egalearea presiunii cu cea atmosferică se face adăugându-se azot prin intermediul vasului (7). În acest mod se realizează dozarea reactanților, la varierea presiunii în sistem. Presiunea este urmărită cu ajutorul manometrelor (9) și (4).

După introducerea, în instalație, a amestecului reactant, acesta se omogenizează prin recircularea lui cu ajutorul pompei (3). Recircularea se face pe traseul (1) - (2) - (3) - (6) - (1), eliminându-se astfel, din circuit, reactorul (5). După omogenizare, gazele se circulă pe fluxul (1) - (2) - (3) - (5) - (6) - (1), care include și reactorul (5). Când intră reactorul în circuit, începe reacția. Prin adsorbția apelor rezultate în reacție, cu ajutorul cloruri de calciu din vasul (6), se produce micșorarea volumului total al gazelor, respectiv scăderea presiunii în sistem. Citirea, pe manometrul (4), la intervale egale de timp, a scăderii presiunii, permite urmărirea de sfârșurării și terminării reacției. Astfel, rezultatele experimentărilor pot fi redată grafic pe un grafic $\Delta P = f(t)$, trăsindu-se cîte o curbă pentru temperaturi și rapoarte NO_x/gaz reducător diferite.

Avind în vedere că debitul pompei de recirculare este de $400 \text{ cm}^3/\text{min}$, iar instalația are un volum util de aprox. 1.020 cm^3 , întreaga cantitate de gaze este recirculată, practic total, în

2,5 minute.

Manipularea, ușoară și rapidă a instalației descrise, a permis efectuarea unui număr suficient de determinări într-un timp relativ scurt. Utilizând clorura de calciu (dar același lucru s-ar fi întâmplat și cu alti adsorbanți), pentru reținerea apelor formate în reacție, ea adsorbă și o cantitate infinită de oxizi de azot, mai ales spre sfîrșitul ciclului de experimentări, cind este deja umectată, rezultatele obținute su o valoare relativă, dar suficientă pentru compararea activității diferitelor sisteme și compozitiei de catalizatori. Astfel instalația s-a dovedit foarte utilă, în special la începutul experimentărilor, în vederea preselecției unui mare număr de catalizatori și reținerii acelora cu o activitate, potențial, bună.

Pentru obținerea unor rezultate precise și reproducibile, în testarea catalizatorilor, s-a operat, în continuare, unele modificări la instalație, pornind de la altele considerente și fenomene ce au loc în desfășurarea reacțiilor de reducere a oxizilor de azot.

3.1.1.3. Varianta modificată a instalației. Reacțiile chimice ce au loc în timpul reducerii oxizilor de azot (47-57), prezintă anterior, în totalitatea lor – aşa cum se va vedea mai departe, în capitolul 4 – sunt exotermice. Ca urmare a acestui fapt, în timpul desfășurării reacțiilor, în stratul de catalizator, crește o creștere a temperaturii, față de temperatura inițială și care, înainte de începerea experimentărilor este aceeași cu cea din cupor (în exteriorul reactorului).

Existența acestui efect termic permite, ca măsurîndu-se diferențe dintre temperatura din stratul catalitic și cea din cupor și reportîndu-o la timp să se poată urmări desfășurarea reacției, pe parcursul unei experimentări.

Pentru a putea efectua această măsurători, s-au făcut o serie de modificări la prima variantă a instalației. Astfel, cuporul inițial a fost înlocuit cu altul (fig.9), prevăzut cu o serpentină tubulară metalică, prin care circulă apă de răcire în scopul preluării căldurii deosebite din reactor în timpul reacției.

Printr-o reglare a debitului de apă de răcire, cît și a

tensiunii (stabilizate) de alimentare a cuptorului, se poate menține în cuptor, o temperatură în limite foarte restrinse ($\pm 1^{\circ}\text{C}$). •

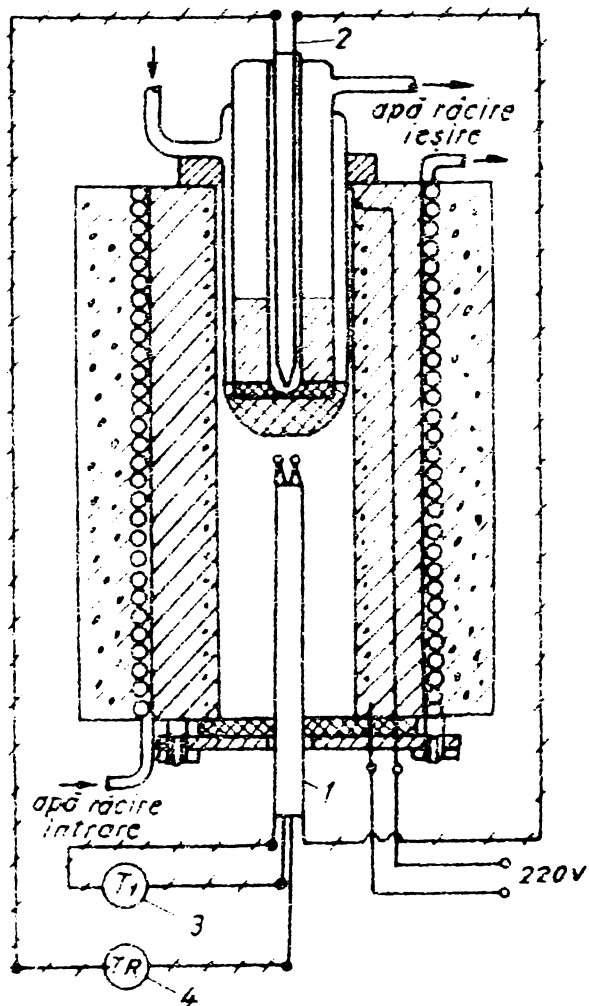


FIG.9. Schema cuptorului.

După cum se vede din figură, în cuptor a fost introdus un termocuplu dublu (1). Unul din termocopluri a fost legat la un indicator de temperatură (3), tip MR 192, și indică temperatura din cuptor, iar celălalt a fost legat cu termocuplul (2) montat în reactor, obținindu-se astfel un termocuplu diferențial, care a permis măsurarea diferenței dintre temperatura din reactor și cea din cuptor, fiind înregistrată cu ajutorul unui potențiometru cu compensare (4), tip MKV cu două scale și douăspăzece puncte înregistratoare. Această diferență de temperatură (Δt) raportată la intervalul de timp în care se obține Δt_{\max} și corelarea acestui raport $\Delta t/\Delta \tau$ ($^{\circ}\text{C}/\text{min}$) cu temperatura de preîncălzire a reacționilor, respectiv cu raportul $\text{NO}_x/\text{reducător și transpunind}$

du-se pe grafie această corelare, a permis să se stabilească în ce condiții reacția se desfășoară mai rapid sau mai lent.(Jatale concrete vor fi prezentate în capitolul 4).

În figura 10 se prezintă schema instalației modificate, din care se mai observă că vasul cu clorură de calciu a fost eliminat

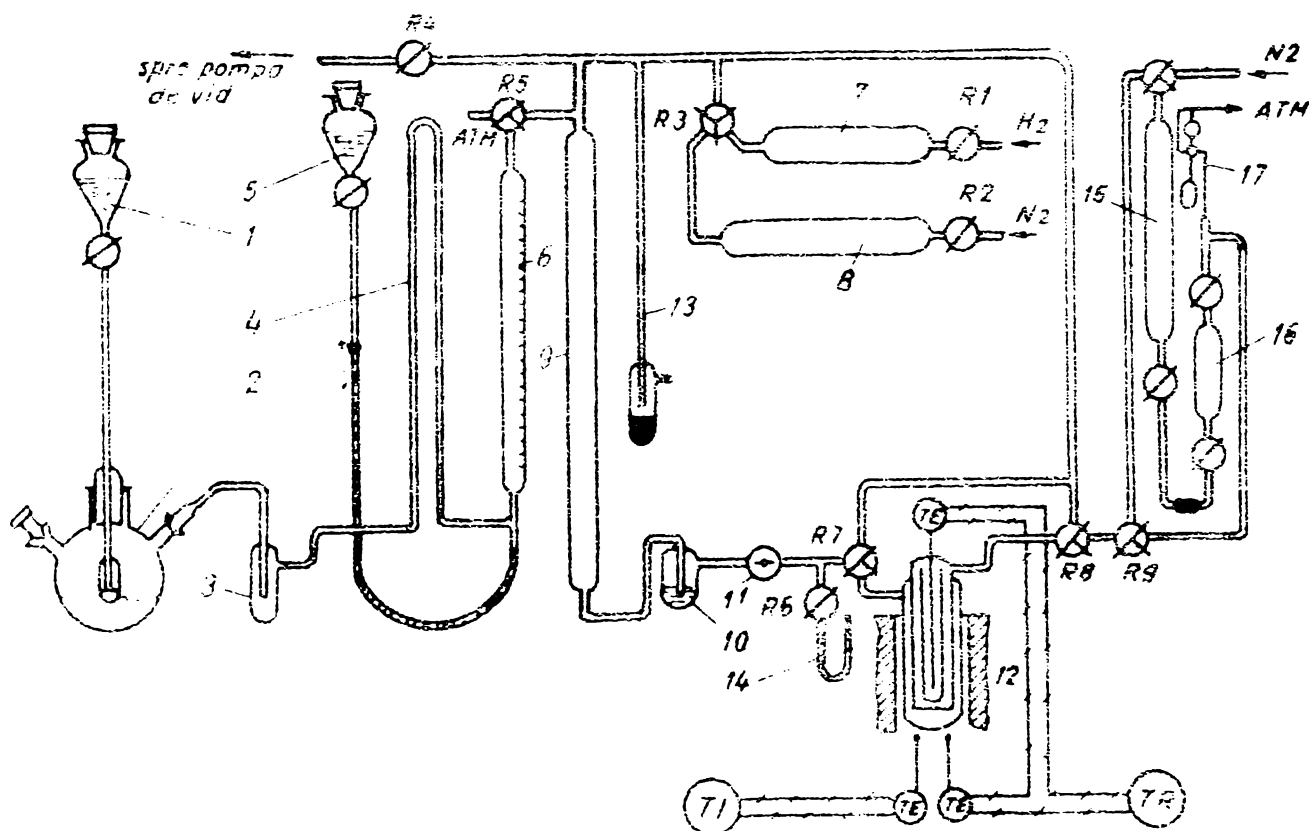


Fig.10. Schema instalației modificate.

din instalație. Instalația prin manipularea robinetului (R8), poate lucra fie în circuit închis, ca în cazul primei variante a instalației, fie să permită trecerea gazelor spre robinetul (R9), care leagă de instalație un sistem de vase calibrate (15) și (16), pentru preluarea probelor în vederea dozării NO_x nereduși, respectiv a NH_3 care, în anumite condiții se formează la reducerea oxizilor de azot cu hidrogenul. De aici amestecul gazos este eliminat în atmosferă.

În cazul funcționării instalației în varianta circuitului "neschis", vehicularea amestecului reactant prin reactor nu se mai face cu pompa (11), ci cu ajutorul azotului, prin manipularea adecuată a robinetelor (R2, R3, R7, R8 și R9). Pentru a obține rezultate exacte și reproductibile, debitul azotului la toate

experimentările s-a menținut constant, fiind măsurat cu reometrul (17). Prin oprirea circulației gazului, după un timp determinant experimental și suficient și menținut același pentru toate determinările, vasele calibrate (15 și 16), conținând amestecul gazos trecut prin reactor, se izolează prin robinetele proprii, de restul instalației. Vasul (16) se scoate din instalație și se trage la o altă instalație (ce va fi descrisă în capitolul privind metodele de analiză), în vederea dozării NO_x . Gazul din vasul (15), cu ajutorul azotului (prin manipularea robinetului R10) se trage, prin berbotare, printr-o soluție de acid sulfuric, în vederea reținerii amoniacului și dozării lui ulterioare.

În ceea ce privește apa care se formează în timpul reacției de reducere, aceasta nu a deranjat și nici nu a influențat rezultatele experimentale, deoarece concentrația ei în amestecul gazos, datorită cantităților foarte mici de reactanți, a fost în totdeauna sub concentrația de conișcare, considerată pentru temperatură mediului ambiant (din laborator), și care a fost menținută la $20-25^{\circ}\text{C}$. În această situație, temperatura celor mai reci părți ale instalației nu s-a coborât sub temperatură mediului.

Umplerea instalației cu amestecul gazos și dozarea reactanților s-a efectuat în același mod și același condiții ca și pentru instalația din prima variantă.

3.1.2. Instalație de laborator cu funcționare continuă.

Instalațiile de laborator cu funcționare discontinuă, prezентate mai înainte, s-au dovedit suficient de bune pentru preselecțarea și testarea finală a catalizatorilor. Cu aceste instalații s-a putut stabili și anumite condiții tehnologice ale procesului de reducere catalitică a oxizilor de azot. De altfel pe baza datelor obținute cu aceste instalații a fost proiectată și instalația pilot care a funcționat, în condiții foarte bune, pe platforma Combinatului de Ingrășăminte Chimice de la Tîrgu-Mureș.

Reducerea catalitică a oxizilor de azot cu hidrogen, a impus o situație deosebită de cercetare. La C.I.Ch.Tîrgu-Mureș, nu există o sursă suficientă de hidrogen pentru experimentări în instalația pilot. În această situație, pentru determinarea, oît mai precisă a condițiilor tehnologice de lucru, a fondamentelor

de reducere a oxizilor de azot și a suratei de lucru a catalizatorului, a devenit necesar să se realizeze o instalație de laborator cu regim continuu de funcționare.

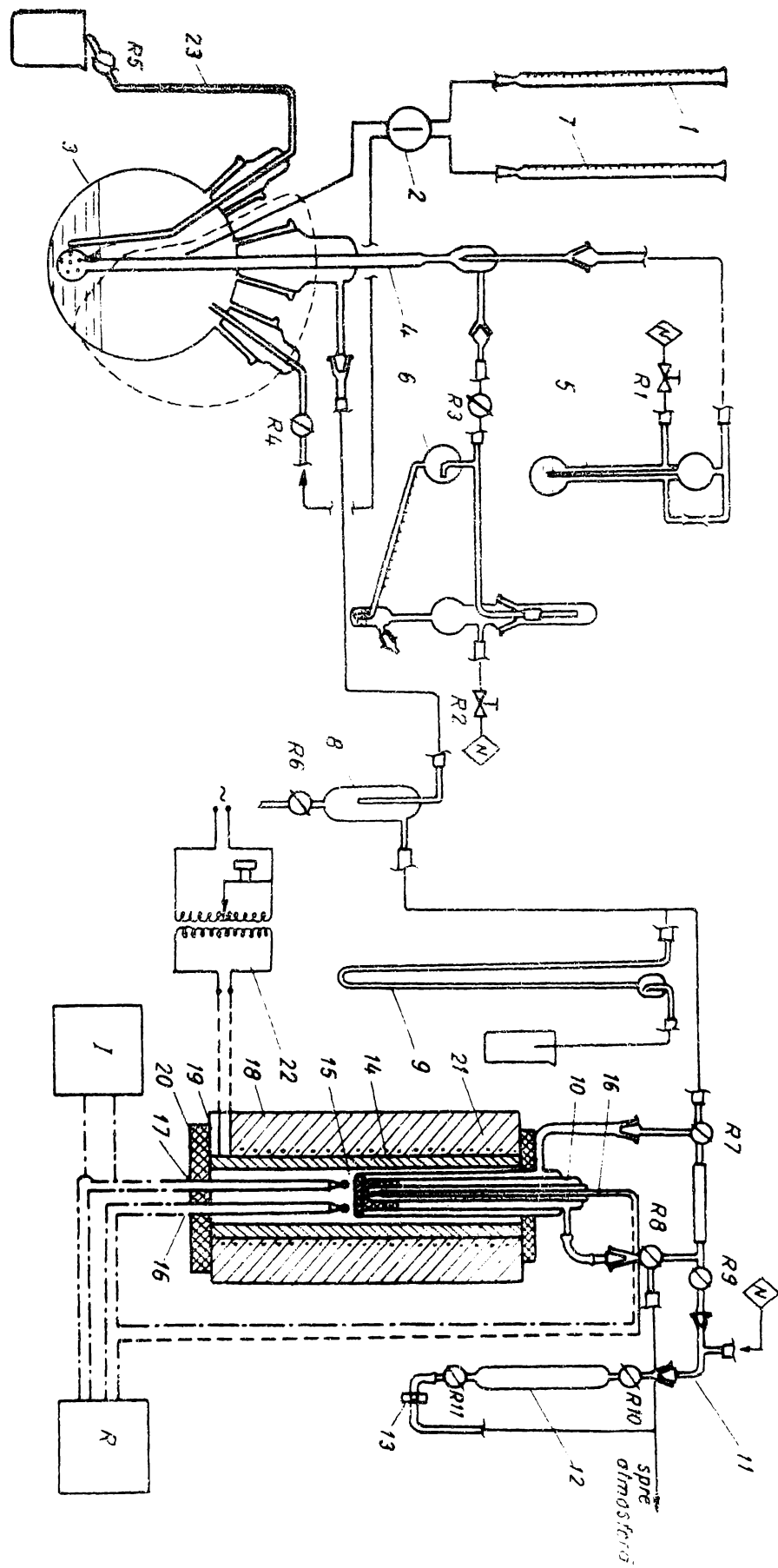
Cea mai importantă parte a unei astfel de instalații o constituie cea de preparare și introducere continuă a oxizilor de azot în amestecul reactant, într-o cantitate constantă, impusă de condițiile și scopul urmărit.

Pentru a obține rezultate cît mai reale și reproductibile, instalația realizată a fost de dimensiuni mai mari decât primele două instalații, putându-se astfel opera cu debite de gaz și cantități de catalizator mult mărite.

3.1.2.1. Descrierea instalației și a principalelor componente. În figura 11 este prezentată schema generală a instalației de laborator cu regim de funcționare continuu. Trebuie remarcat că principiul de reglare, supraveghere și înregistrare a temperaturii din cupor, a rămas același ca și în cazul celei de a doua variante a instalației cu funcționarea discontinuă. Spre deosebire de această variantă a fost schimbat cuporul, cu un alt cupor de dimensiuni mai mari, în interior avind, în locul tubului ceramic, un tub-block de aluminiu (cu pereti groși de 6 cm), pentru a micsora astfel, cît mai mult, inertia te mică a acestuia.

Instalația se compune din următoarele părți principale :

- 1.- Biuretă pentru soluție de NaNO_2 .
- 2.- Pompă peristaltică.
- 3.- Balon cu 4 orificii, de 1000 ml, pentru prepararea oxizilor de azot.
- 4.- Ejector cu cap distribuitor.
- 5.- Reometru pentru azot.
- 6.- Reometru pentru hidrogen.
- 7.- Biuretă pentru soluție de H_2SO_4 .
- 8.- Separator de picături.
- 9.- Manometrul diferențial cu dioctilftalat.
- 10.- Reactor.
- 11.- Fieșă de legătură.
- 12.- Vas calibrat pentru preluat probe.
- 13.- Clemă.
- 14.- Strat de catalizator.



H - Butelie cu hidrogen.

I - Indicator de temperatură.

R - Înregistrator de temperatură.

3.1.2.2. Maiu de funcționare a instalației. Componenta de bază a instalației este balonul cu 4 orificii în care se prepară oxidul de azot, dintr-o soluție de acid sulfuric și de azotit de sodiu.

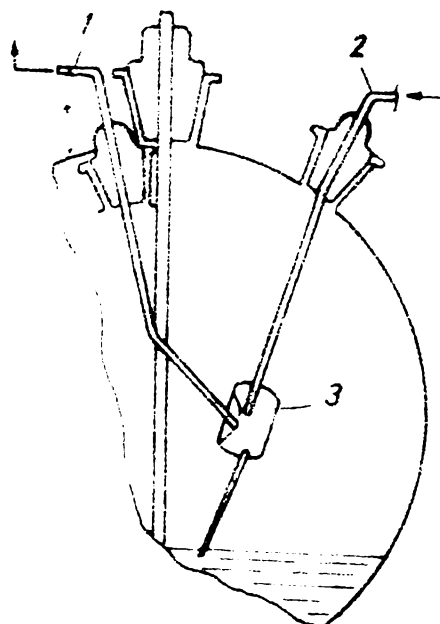


Fig.12. Schema parțială a balonului pentru prepararea oxidului de azot.

Așa cum se vede din fig.12, care reprezintă o schemă parțială a balonului cu accesorii sale principale, prin tubul (1) se introduce soluția de azotit de sodiu, prin tubul (2), sudat de o pîlnie sferică (3), se introduce soluția de acid sulfuric. Capetele celor două tuburi se întîlnesc în interiorul pîlniei. Reacționând, transportați de una și aceeași pompă peristaltică, ejung în același timp, în picături, la capătul tuburilor (1) respectiv (2), reacționează, degajîndu-se oxidul de azot în spațiul balonului. Această mod de a face să reacționeze reacționării, permite să se obțină oxidul de azot la concentrații constante ale reacționărilor, spre deosebire de cazul primelor instalații descrise, cind reacția dintre soluțiile de acidi sulfuric și azotit de so-

diu a avut loc în masa soluției de azotit de sodiu, aceasta din urmă diluindu-se continuu. Pentru a menține în interiorul balonului un volum relativ constant, soluția colectată în balon este permanent scoasă din aceasta prin sifonul (2-3), așa cum se vede în schema din fig.11.

Prin reglarea debitelor reactenților și alegerea unei concentrații convenabile a soluției de azotit de sodiu, se poate asigura un debit dorit de oxizi de azot, pe tot parcursul experimentării. În ceea ce privește concentrația soluției de acid sulfuric, aceasta se menține constantă și anume de 68-69%, deoarece solubilitatea oxidului de azot într-o astfel de soluție de acid sulfuric, este minimă /316/.

Experimentările demarează prin încălzirea cuptorului pînă la o temperatură prestabilită, după care începe producerea oxizilor de azot. Imediat, în continuare, se deschide butelia cu azot, acesta cu un debit controlat, prin intermediul tubului (4), pătrunde în balonul cu oxizii de azot, întrenîndu-i spre reactor. După cca 10-15 minute, în interiorul balonului se realizează un amestec omogen de azot-oxizi de azot cu un conținut de NO_x impus.

După aceste operațiuni se deschide și butelia cu hidrogen. Hidrogenul trece, tot prin intermediul tubului (4), în balonul pentru prepararea oxizilor de azot, realizîndu-se astfel amestecul reactant. Debitul de hidrogen se fixează în funcție de raportul NO_x/H_2 necesar. După trecerea amestecului gazos prin reactor, unde are loc reacția, acesta trece în atmosferă.

Controlul desfășurării reacției se face prin urmărirea continuă a temperaturilor din cuptor și reactor. Întrucît stabilirea randamentelor de reducere a oxizilor de azot, la diferite intervale dintrîntre stabilite, se preleveză probe de gaz pentru dozarea NO_x , situație similară și după trecerea gazului prin reactor.

3.1.3. Instalația pilot

Instalația pilot a fost proiectată de un colectiv de la Institutul de Inginerie Tehnologică și Proiectare pentru Industria "Chimică", București, pe baza datelor obținute în laboratoarele de la Centrul de Chimie din Timișoara. Construcția și echiparea instalației cu aparatula de automatizare și control s-au realizat la Combinatul de Îngrășăminte Chimice din Fîrgu-Mureș.

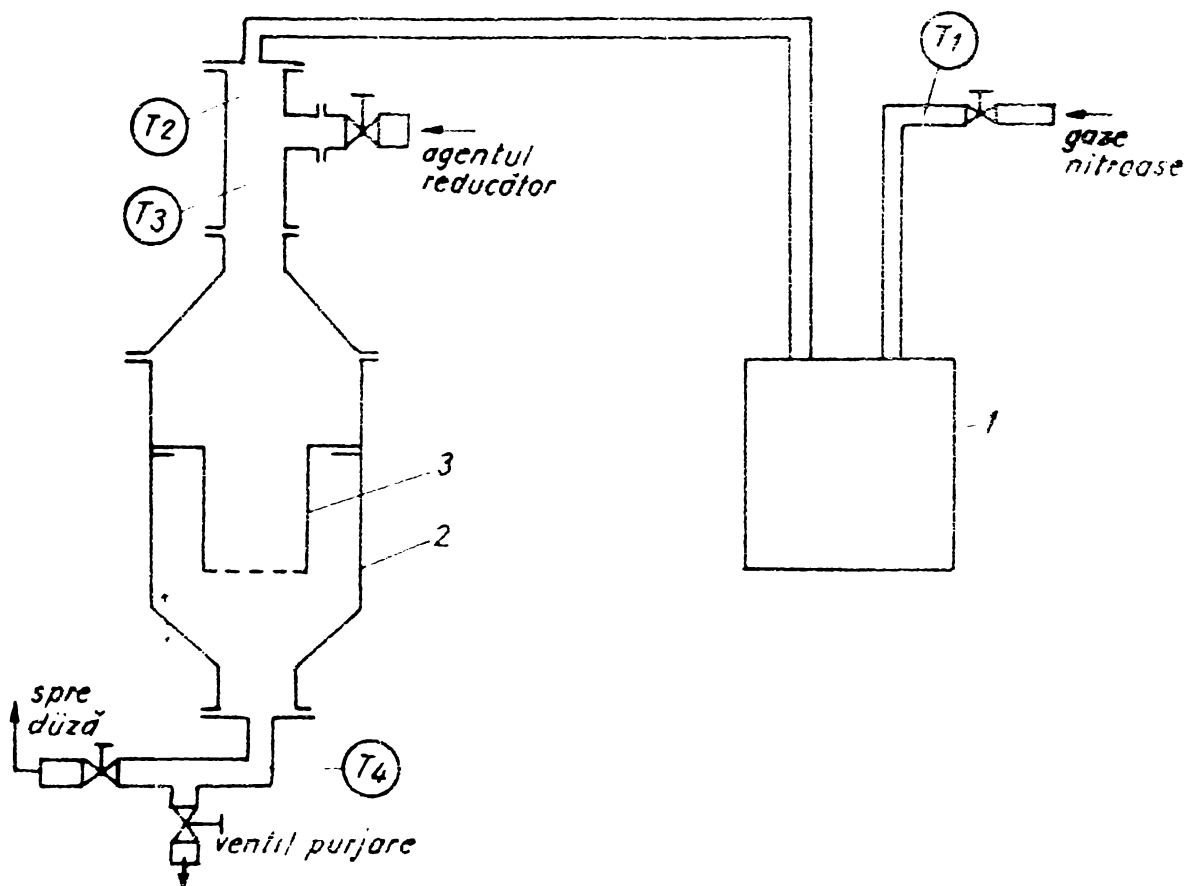


Fig.13. Schema generală a instalației pilot.

In fig.13 este prezentată schema generală a instalației pilot, compusă dintr-un încălzitor pentru gazele nitroase (1) și un reactor catalitic (2), prevăzut în interior cu un coș (3), pentru suportarea catalizatorului. Fotăiiile T_1 , T_2 , T_3 și T_4 localizează punctele de măsurare a temperaturilor: înainte de încălzirea gazelor nitroase (T_1), după încălzirea lor (T_2), după amestecarea gazelor nitroase cu agentul reducător (T_3) și la ieșirea gazelor din reactor (T_4).

Încălzitorul pentru gazele nitroase fi constituie, de fapt, un schimbător de căldură cu seppentină (din oțel V2A), încălzită direct cu flacăra de gaz metan, totul fiind închis într-o zidărie din cărămida refractoră, acoperită, în exterior, cu tablă de fier.

Reactorul, a cărui schemă cu principalele dimensiuni constructive este redată în fig.14, a fost construit din tablă de

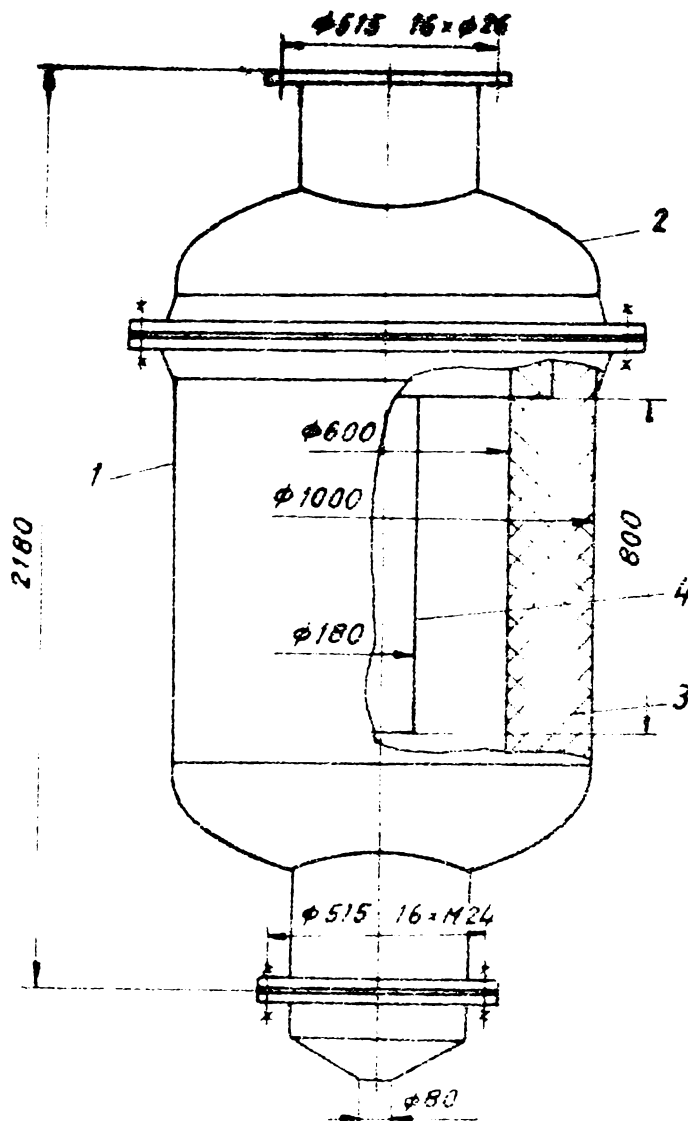


Fig.14. Schema reactorului.

otel (OLG 60) de 8 mm grosime. Fărtile componente ale reactorului sunt : corpul reactorului (1), capacul (2), ambele fiind căptușite cu cărămidă refractară antiscidă (3). Coșul pentru catalizator (4) este un recipient cilindric prevăzut, la partea superioară cu o flanșă de susținere și având un fund plat găurit (dimensiunea găurilor \varnothing 5 mm). Coșul este confectionat din tablă de oțel inoxabil (V2A), având grosimea de 6 mm.

Pentru a urmări influența vitezei liniare a gazelor nitroase, atât asupra randamentelor de conversie, dar, în special, asupra posibilităților de evacuare a căldurii din stratul catalitic, s-au construit patru coșuri de aferite dimensiuni și s-a numit :



Fig.15. Vedere generală a instalației pilot.

I.- h = 800 mm, d = 180 mm

II.- h = 400 mm, d = 250 mm

III.- h = 200 mm, d = 360 mm

IV.- d = 100 mm, d = 500 mm

Simensiunile de mai sus au fost astfel alese, încât volumul interior al fiecărui coș să fie același și suficient pentru o cantitate de 100 kg de catalizator.

Conducta de aducere a gazelor nitroase de la incălzitor la reactor, cît și partea superioară a reactorului, unde are loc amestecarea gazelor nitroase cu agentul reducător, sunt din oțel inoxidabil și sunt izolate cu vată de sticlă.

In fig.15 este prezentată vedere generală a instalației pilot, în prim-plan fiind reactorul prevăzut cu o platformă de deservire.

Debitul gazelor nitrosose se măsoară cu un debitmetru cu diafragmă, iar cel al gazului reducător cu un rotometru. Măsurarea temperaturilor se face cu termocouple fier-constantan, iar înregistrarea lor se face cu un potențiometru.

Presiunea de lucru din instalația pilot este cea a gazelor la ieșirea din coloanele de absorbție și atinge de 2,5 at. Reactorul a fost proiectat pentru prelucrarea unui debit maxim de 200 Nm^3/h de gaze nitrosose.

3.2. Instalație de laborator pentru reducerea termică a NO_x .

S-a precizat, în cadrul capitolului 2, că reducerea termică a NO_x , ca procedeu de depoluare a gazelor reziduale cu conținut de oxizi de azot, este rentabil, din punct de vedere economic, numai în cadrul centralelor termo-electrice și în special a celor cu generator magneto-hidrodinamic, care prezintă posibilități ca pe traseul gazelor de ardere fierbinți ($\text{min. } 800^\circ\text{C}$), să se introducă agentul reductor. În alte cazuri, cînd este necesară o preîncălzire, pînă la cel puțin 800°C , a unei mari cantități de gaze, procedeul devine total nerentabil.

Pentru determinarea condițiilor de reducere termică a oxizilor de azot, a fost proiectat și executat, la Centrul de Chimie din Timișoara /317/, un cuptor electric pentru încălzirea gazelor, a cărui schemă de principiu este prezentată în figura 16.

Ca și componente principale cuptorul are un tub din oțel inoxidabil (V2A), lung de 1000 mm și cu diametrul interior de 30 mm (1), care constituie reactorul propriu-zis. Tubul este înfășurat cu trei rezistențe de încălzire, fiecare avînd puterea de 450 W. Peste rezistențele tubului central, începînd din partea superioară a acestuia, sunt înfășurate trei tuburi (2), tot din oțel inoxidabil, de \varnothing 6 mm care, în partea inferioară a cuptorului, la rîndul lor, sunt înfășurate cu cîte o rezistență (3), fiecare avînd o putere de 1400 W. Lungimea totală a fiecărui tub de \varnothing 6 mm, este de 12 m. Tuburile subțiri fac legătură etanșă cu

reactorul la partea inferioară a acestuia. Rezistențele sînt din fire de kenthal, de ϕ 0,6 mm, respectiv de ϕ 1,0 mm. Cup-

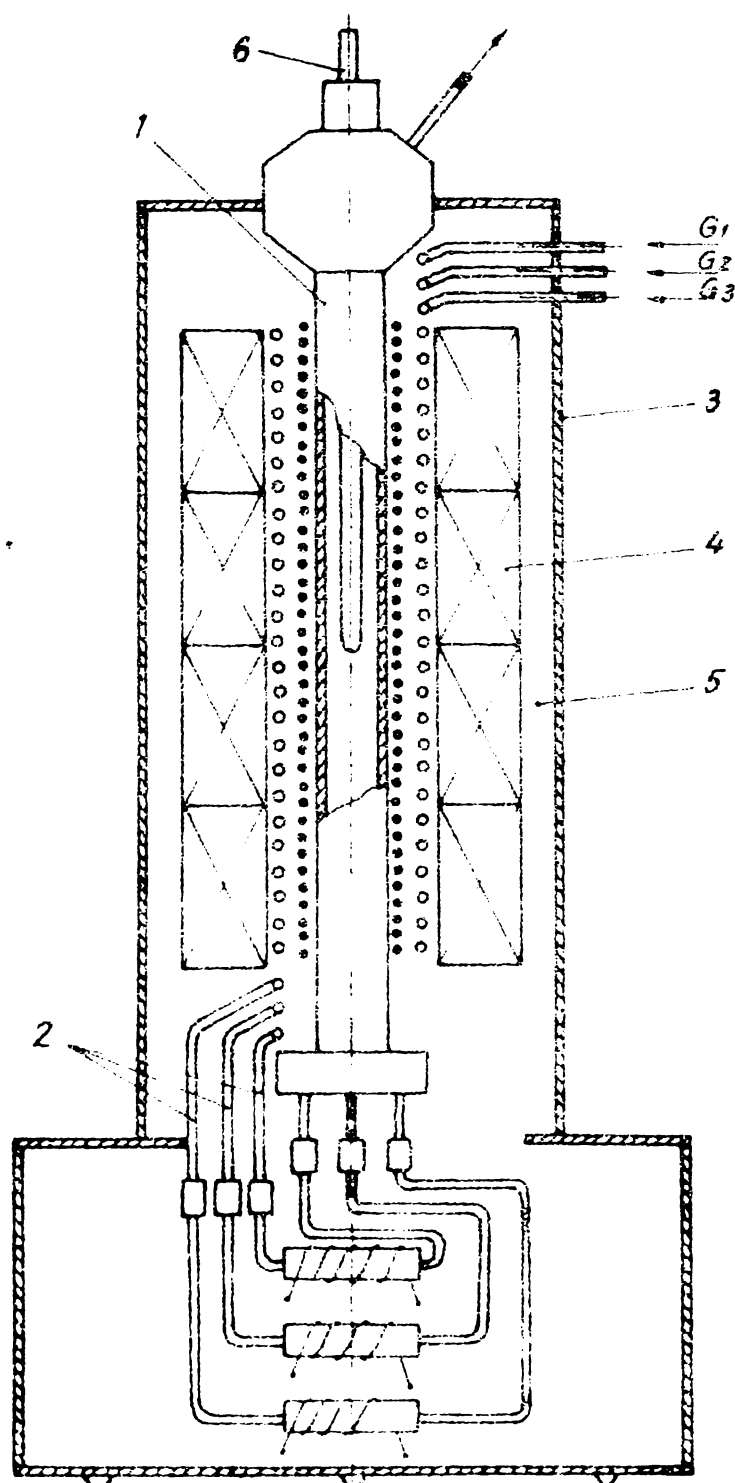


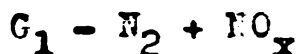
Fig. 16. Instalație de laborator pt. reducerea termică a NO_x .

torul, în exterior, are o manta metalică (4), care protejează izolația din interior, formată din blocuri refractare (5) și spărțuri de șemotă (6).

In interiorul reactorului s-au introdus inele ceramice tip Rassing, care au ca scop să omogenizeze anestocul reactant și în

aceeași timp joacă și rol de masă termică pentru menținerea temperaturii. Reactorul este prevăzut cu un termocuplu Pt - PtRh (7). În reactor temperatura poate atinge 1100°C .

Gazele, în cantitățile necesare, se introduc pe la partea superioară a cuptorului, în tuburile de $\varnothing 6\text{ mm}$, prin :



$G_2 = \text{CO}_2 + \text{ser}$ (necesar asigurării, în amestecul gazos a unei cantități de 0,5% O_2).

G_3 - agentul reducător (CH_4 , respectiv NH_3).

Gazele, în traseul lor, se preîncălzesc mai întâi de la rezistențele de încălzire a reactorului, apoi de la rezistențele aflate în partea inferioară a cuptorului, intrând în final în reactor, unde are loc încălzirea la temperatura programată, cît și reacția de reducere. Precizia de menținere a temperaturii programate este de $\pm 10^{\circ}\text{C}$.

A fost aleasă varianta amestecării reactanților în reactor și nu însântă de încălzire, pentru a evita eventualele reacții între NO_x , CH_4 (sau NH_3) și O_2 , catalizate și de peretii tuburilor de preîncălzire, care fiind relativ lungi (12 m), ar asigura suficient timp de contact între reactanți și peretii acestor tuburi.

De menționat este faptul că fiecare din rezistențele de încălzire (3) poate fi conectată, la rețeaua electrică, în mod independent. În condiții experimentale, rezistența tubului de admisie a agentului reducător, (G_3), nu se conectează, pentru a evita o eventuală supraîncălzire a agentului reducător și declansarea reacției de descompunere a acestuia, posibil și catalizată de peretii tubului, mai cu seamă că urmărirea temperaturilor pe traseul gazelor, practic este imposibilă.

Din reactor gazele ieș pe la partea superioară a acestuia, de unde pot fi prelevate și probele pentru analiză.

Întreaga instalație mai este prevăzută, ca utilaje anexe, cu două module de forță de tip MTKFIS 1, fabricate la întreprinderea "Electrotehnica" București, și care conțin tiristoarele de putere și circuitele aferente. Instalația mai are un programator de temperatură și un amplificator de comandă, de fabricație indigenă. Instalația electrică se conectează la rețeaua de 380 V.

Ca surse pentru gazele utilizate s-au folosit : butelii

(pentru N_2 , CO_2 , ser , NH_3), rețesua proprie de laborator (pentru CH_4), iar pentru prepararea și uozarea, în cantități necesare, a oxizilor de azot, s-a utilizat dispozitivul de la instalația pentru reducerea catalitică cu funcționare în regim continuu.

3.3. Instalații pentru recuperarea și valorificarea NO_x .

S-a specificat, la sfîrșitul capitolului 2, că aplicarea practică a unor procedee de absorbție sau adsorbție a oxizilor de azot din gazele reziduale, în vederea depoluării lor, nu duce la rezultate, care să asigure o depoluare corespunzătoare unor norme sanitare exigente, decât cu prețul utilizării unor instalații de gabarite foarte mari și a unor condiții tehnologice extreme. Totuși, dacă se are în vedere că în unele gaze reziduale, concentrația oxizilor de azot atinge valori ridicate, recuperarea lor, cel puțin ca o etapă intermediară a depoluării, și apoi valorificarea lor sub o formă oarecare, poate să devină rentabilă.

În cazul gazelor provenite dintr-o centrală cu generator NHD, sau dintr-o instalație de sinteză organică (ex. caprolactam), concentrația oxizilor de azot poate atinge valori foarte mari, situându-se în limite de 5.000–20.000 ppm /318-323/. Într-o centrală cu generator NHD, care se preconizează să se construiască la noi în țară, se estimează /41/ că în gazele de ardere, concentrația oxizilor de azot va atinge valori de 6.000 ppm. La un debit de 390.000 – 400.000 m^3/h de gaze de ardere, cît va produce această centrală, cantitatea de oxizi de azot emisi în atmosferă, va depăși 100 t/an. În această situație recuperarea și valorificarea oxizilor de azot poate să constituie un mijloc convenabil de reducere a cheltuielilor de exploatare a unei astfel de centre.

Ceroetările ce au fost făcute în vederea valorificării oxizilor de azot, au vizat tocmai aceste gaze. În acest sens s-au efectuat experimentări privind absorbția alcalină, respectiv adsorbția pe turbă, a oxizilor de azot.

3.3.1. Instalație de laborator pentru absorbtia NO_x .

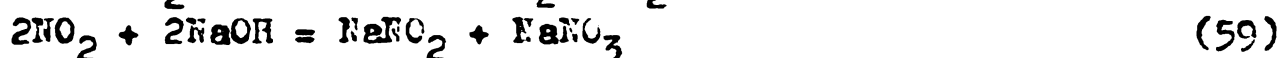
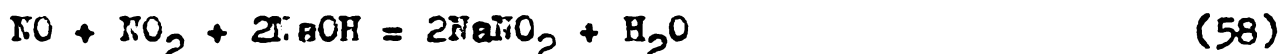
În cadrul ceroetărilor efectuate s-au experimentat două pro-

procedee de absorbție a oxizilor de azot și anume : absorbția NO_x într-o soluție apăsă de K_2CO_3 , KOH și K_2SO_4 , respectiv, absorbția NO_x , la temperaturi de $350-500^\circ\text{C}$, într-o soluție de NaOH .

În condiții reale, gazele de ardere de la centrala cu generator MHD conțin săruri de potasiu, provenite din K_2CO_3 , introduse ca agent de ionizare, și anume : K_2O (în cantitate preponderentă), K_2SO_4 (format datorită prezenței sulfului din combustibil), precum și unele cantități foarte mici de K_2CO_3 . Înainte de purificarea gazelor de aceste săruri, conținutul lor total, în gaze, este de cca. 18 g/Nm^3 .

Experimentarea în laborator a primului procedeu, amintit mai înainte, s-a făcut având în vedere un singur fapt și anume: în cazul în care, în final, s-ar constata că singurul procedeu eficace și economic de eliminare a sărurilor de potasiu din gazele evacuate, ar fi cel de spălare, în scrubere, a acestor gaze cu apă, să se urmărească dacă sunt posibilități și condiții pentru eliminarea, simultană, și a NO_x sub formă de azotit sau azotați de potasiu.

Experimentarea celui de al doilea procedeu a fost sugerată de faptul că, în situația contactării oxizilor de azot cu soluții de hidroxid de sodiu, are loc formarea unui amestec de azotit și azotat de sodiu, conform reacțiilor :



În funcție de gradul de oxidare a NO la NO_2 , respectiv în funcție de cantitățile de NO și NO_2 pe care le conțin gazele, la absorbție se obțin amestecuri de azotat și azotit, în proporții corespunzătoare. Prin reglarea gradului de oxidare a NO la NO_2 se poate varia și raportul dintre acești doi compuși.

Oxidarea oxidului de azot la dioxid de azot are loc conform reacției :



Reacția este reversibilă. La 25°C echilibrul este, practic, complet deplasat spre dreapta. La 150°C începe disocierea NO_2 în NO și O_2 , iar la 620°C disocierea este completă.

Prin experimentarea unui procedeu de absorbție a oxizilor de azot, la temperaturi ridicate, s-a urmărit tot mai obținerea

unui amestec de azotit și azotat de sodiu, în care raportul între szotit și azotat să fie preponderent, în favoarea primului, produs auxiliar foarte important în industria chimică pentru diazotări și care este mult mai scump decât azotatul de sodiu.

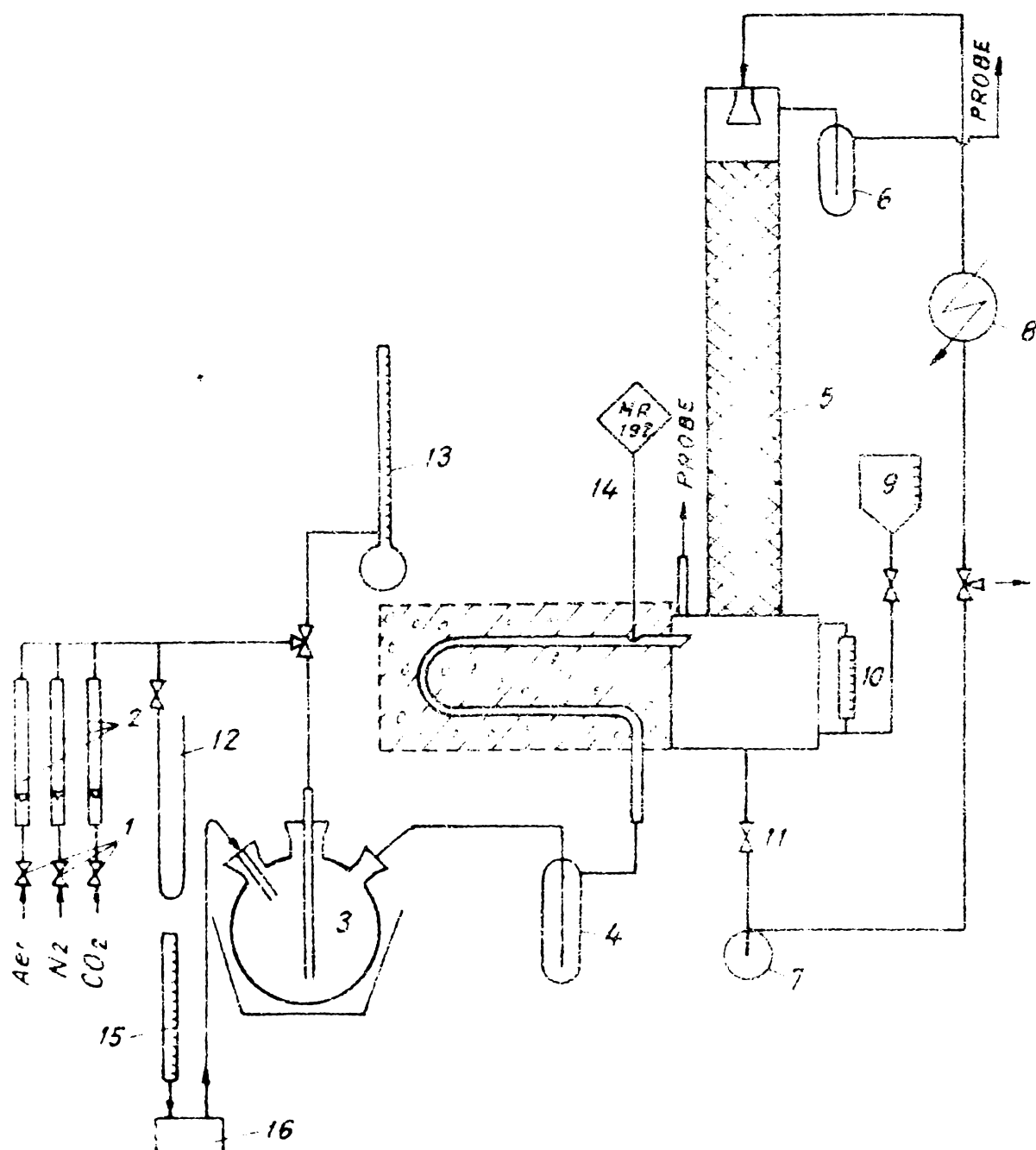


Fig.17. Schema generală a instalației de absorbtie.

Pentru experimentarea celor două procedee s-a folosit aceeași instalație, modificindu-se doar condițiile de lucru. Schema generală a instalației de laborator este redată în figura 17.

ursele de gaze au fost : pentru aer, o suflantă de laborator, pentru azot și dioxid de carbon, butelii, iar pentru oxidii de azot aceeași dispozitiv de la instalația pentru reducerea

catalitică cu funcționare continuă.

Debitul de aer, azot și dioxid de carbon se reglează cu ajutorul unor robinete cu ac (1) și se măsoară cu rotametrele (2). Aerul de gaze intră în aparatul de preparare a oxizilor de azot (3), de unde antrenează oxizii de azot formați, apoi trece prin separatorul de picături (4) bucla de încălzire (17) păsată într-un cupor (18) și intră la baza coloanei de absorbție (5). La vîrful coloanei, gazele trec prin separatorul (6), care permite observarea regimului normal sau învecinat al coloanei, după care este evacuat în atmosferă. Lichidul de stropire este recirculat cu pompa centrifugă (7), prin intermediul răcitorului (8).

Umplerea blezului coloanei, cu lichid de absorbție, se face din vasul de măsură (9), nivelul lichidului din blas observându-se la sticla de nivel (10). Debitul de stropire se reglează cu robinetul (11).

Presiunea gazului, înainte de coloană, se măsoară cu manometrul (12), iar verificarea debitelor spațiale și a celui total, se poate face cu ajutorul debitmetrului cu peliculă (13).

Temperatura gazului înainte de intrarea în coloană se determină cu un termocuplu fier-constantan (14), legat la un regulator tip MR 192 (4EM).

Sistemul de încălzire a gazelor, constă într-un tub inox (V2A), avind $\varnothing = 10$ mm și $L = 400$ mm, sudat de brațul coloanei, îndoit în formă de U, pe care s-a infășurat sîrmă de Kanthal, izolată cu mărgele ceramice. Totul a fost izolet cu praf de șamotă, apoi azbest și o îmbrăcăminte de tablă. Sîrma de Kanthal disponibilă a avut $\varnothing = 0,5$ mm, pentru care se permite o temperatură maximă de lucru de 1100°C , la o putere specifică $\alpha_{sp} = 31 \text{ W/cm}^2$. Pentru temperatura în centrul fluxului gazos s-a ales valoarea maximă de 600°C . Reglarea și controlul puterii cuporului s-a realizat prin intercalarea unei autotransformator ATR-18 și a unui ampermeter în circuitul de alimentare. Teaca termocoplului a fost sudată în interiorul buclei de încălzire, la 15 mm depărtare de intrarea în blasul coloanei.

Pompa centrifugă (7) de recirculare, asigură un debit maxim de 51,8 l/h la o înălțime de 1,5 m. Debitul de stropire se reglează cu ventilul (11) și se determină prin scădere, reportată la timp, a nivelului de lichid în blas (10), începînd din momentul pornirii pompei, pînă la atingerea unui nivel constant.

Materialul de construcție al coloanei este un tub de inox (V2A), în lungime de 1300 mm. și un diametru interior de 30 mm. Umplutura este din inele Raschig de sticlă cu dimensiunile $7 \times 15 \times 0,5$ mm. Pentru a evita spargerea inelelor Rasching, în zona de fierbere la contactul gazelor fierbinți cu soluția absorbantă rece, la baza umpluturii de sticlă s-a introdus un strat de 10 cm înălțime, format din spirale de sârmă inox de dimensiuni 5×5 mm, diametrul sârmei fiind $\varnothing = 1,5$ mm.

3.3.2. Instalația de laborator pentru adsorbție EO_x.

In studiul bibliografic al prezentei lucrări s-a arătat că procedeele de adsorbție a oxizilor de azot, în scopul purificării unor gaze reziduale, sunt cele mai ineficiente, exceptând, poate, adsorbția pe site moleculare, căreia, în ultimul timp, i se acordă o atenție mare. În afara de acest fapt, adsorbția este doar o fază a unui proces de valorificare a oxizilor de azot, urmarea fiind o desorbție, captarea și abia apoi valorificarea, într-un mod oricare, a oxizilor desorbiți. Prin urmare o astfel de tehnologie, pe lîngă că nu este de o mare eficiență, este și foarte costisitoare.

In această situație, experimentarea unui procedeu de adsorbție a oxizilor de azot, nu a fost dictată de vreo posibilitate reală de a obține o depoluare avansată a unor gaze nitroase reziduale, ci de o cerință insistentă a beneficiarului contractului privind depoluarea gazelor de ardere de la centrala cu generator MHL, de a găsi o soluție de recuperare și valorificare a oxizilor de azot și pe o "cale uscată".

S-a optat pentru un procedeu de adsorbție a oxizilor de azot pe, turbă, îmbibată cu Ca(OH)₂, recomandată, de altfel cu insistență, și de unele lucrări de specialitate /97,98/. Odată cu depoluarea gazelor reziduale, într-o măsură mai mică sau mai mare, se obține și un îngrășămînt chimic ce conține Ca(HO)₃²⁻, putându-se ajunge la un conținut total de azot legat de 8%. În același timp, produsul este foarte bun amendament pentru solurile acide.

Avînd în vedere că în gazele reziduale de la centrala cu generator MHL, la evacuare, există încă și cantități însemnante de săruri de potasiu, care se rețin pe turbă, stratul adsorbant jucând și un rol de filtru, valoarea produsului rezultat ca îngre-

sămint, poate crește și mai mult.

Pentru experimentări de adsorbție a fost utilizată aceeași instalație ca la absorbția oxizilor de azot, în care însă coloane de absorbție a fost înlocuită cu o coloană de adsorbție, schematic prezentată în figura 18.

Din figură se observă că, constructiv coloana are forma unui refrigerent, tubul interior (1) constituind coloana propriu-zisă în care se introduce adsorbantul (2), iar mantaua exterioară (3) servește pentru circulația apei termostate. În partea su-

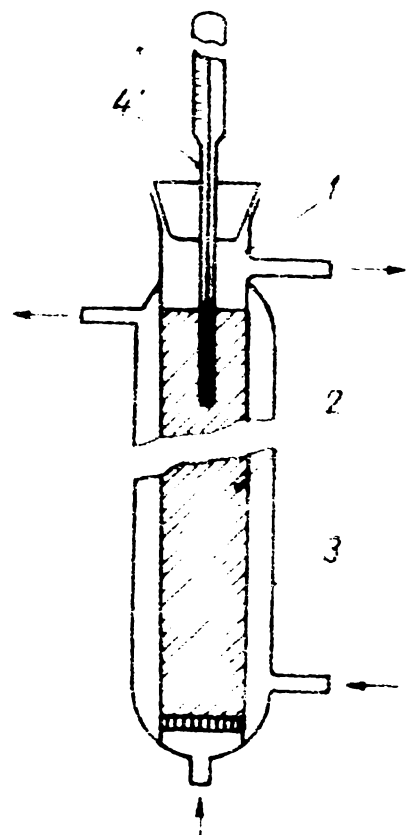


Fig.18, Schema coloanei de adsorbție.

superioară a coloanei este montat un termometru cu tijă (4), care pătrunde în stratul adsorbant.

Lungimea tubului interior a fost de 1,3 m, iar diametrul interior 50 mm.

Circulația gazelor nitroase s-a făcut de jos în sus, în partea superioară a coloanei făcindu-se și recoltarea probelor pentru analiză. Circulația apei termostate s-a făcut în același sens cu a gazelor.

Așa cum se va vedea în prezentarea datelor experimentale,

aceeași coloană a fost folosită și pentru controlul stabilității, la diferite temperaturi, a prăjusului obținut în coloană și preconizat să fie folosit ca îngreșămînt chimic.

Capitolul 4.

CERCETARI EXPERIMENTALE CU PRIVIRE LA REDUCEREA CATALITICA A OXIZILOR DE AZOT.

În studiul bibliografic, prezentat în capitolul 2, rezultă că, în cazul reducerii catalitice a oxizilor de azot (indiferent de agentul de reducere utilizat), cele mai bune rezultate, din punct de vedere al randamentelor de conversie, se obțin cu catalizatori pe bază de metale platinice, în special platină și paladiu, depuse pe diverse oxizi, cu precădere, oxizi cu proprietăți refractare (Al_2O_3 , SiO_2 , ZrO_2 , etc.). Utilizarea catalizatorilor platinici prezintă însă, inconvenientul unor costuri ridicate de exploatare.

Scopul principal al cercetărilor efectuate, a fost acela de a stabili condițiile optime de realizare a unui proces de reducere, folosind doar catalizatori neplatinici.

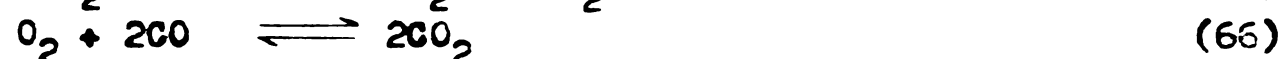
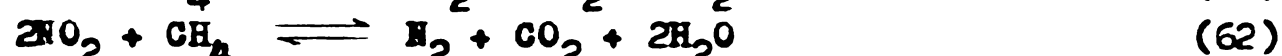
Ca și gaze reducătoare, să cum s-a mai arătat s-au utilizat : metanul, un amestec gazos conținând CO , CH_4 și H_2 (oxidul de carbon fiind preponderent) și hidrogenul.

4.1. Considerații termo-dinamice.

Gazele nitroase, supuse procesului de purificare, conțin :

- oxizi de azot,
- oxigen,
- vaporii de apă (la saturatie pentru temperatura și presiunea ambientă),
- azot.

În acest caz, în procesul de depoluare a acestor gaze, în funcție de agentul de reducere, au loc următoarele reacții :





Datorită marii reactivități a hidrogenului, în cazul reducerii NO_x cu H_2 , în anumite condiții, pot avea loc și următoarele reacții :



În toate cazurile, indiferent de agentul de reducere utilizat, are loc și reacția :



Pentru determinarea naturii efectului termic se însoțește aceste reacții, a sensului de desfășurare a lor, precum și a condițiilor de echilibru, au fost calculate, pentru diferite temperaturi, funcțiile termodinamice H_p^0 și G_T^0 , precum și $\lg K_p$. Calculul acestora s-a făcut cu ajutorul relațiilor /324/ :

$$\Delta H_T^0 = H_T^0 - H_{298}^0 + \int_{298}^T C_p dt \quad (73)$$

$$\Delta C_p + \Delta a + \Delta b \cdot T + \Delta c \cdot T^2 + \frac{\Delta s^0}{T^2} \quad (74)$$

$$G_T^0 = \Delta H_T^0 - T \Delta S_p^0 \quad (75)$$

$$\Delta S_T^0 = \Delta S_{298}^0 + \int_{298}^T \frac{\Delta C_p}{T} dT \quad (76)$$

$$\lg K_p = - \frac{\Delta G_T^0}{RT} \quad (77)$$

Valorile astfel calculate, pentru ΔH_T^0 , ΔG_T^0 și $\lg K_p$, sunt prezentate în tabelele VIII, IX, X, XI și XII. Valorile pentru ΔH_T^0 și ΔG_T^0 sunt exprimate în kJ pentru un mol de NO_2 , NO respectiv O_2 .

Tabelă VIII

T, K	F-ecția termod.	Reducere a NO _x cu CH ₄		
		Nr. reacției		
		61	62	63
0	1	2	3	4
298	Δ H _T ^o	- 291,372	- 435,634	- 402,114
	Δ G _T ^o	- 287,295	- 453,001	- 400,962
	lg K _p	50,282	79,283	70,175
400	Δ H _T ^o	- 291,163	- 434,534	- 401,234
	Δ G _T ^o	- 285,904	- 459,140	- 400,773
	lg K _p	37,278	59,866	52,256
500	Δ H _T ^o	- 291,024	- 433,853	- 400,878
	Δ G _T ^o	- 284,605	- 465,341	- 400,689
	lg K _p	29,687	48,540	41,796
700	Δ H _T ^o	- 290,815	- 433,308	- 400,543
	Δ G _T ^o	- 282,112	- 478,120	- 400,731
	lg K _p	21,019	35,623	29,570

Tabelă IX

T, K	F-ecția termod.	Reducere a NO _x cu CO		
		Nr. reacției		
		64	65	66
0	1	2	3	4
298	Δ H _T ^o	- 373,873	- 600,636	- 566,739
	Δ G _T ^o	- 344,292	- 566,980	- 514,951
	lg K _p	60,257	99,233	90,125
400	Δ H _T ^o	- 347,418	- 601,055	- 567,745
	Δ G _T ^o	- 384,068	- 555,468	- 497,101
	lg K _p	43,550	72,426	64,816

0	1	2	3	4
500	ΔH_T^0	- 344,627	- 601,055	- 568,080
	ΔG_T^0	- 323,928	- 543,987	- 467,478
	$\lg K_p$	33,789	56,743	43,763
700	ΔH_T^0	- 374,460	- 600,510	- 567,745
	ΔG_T^0	- 303,691	- 521,770	- 443,888
	$\lg K_p$	22,627	38,839	33,073

Tabela X

T, K	F-ecția termod.	Reducerea NO _x cu H ₂ , cu formare de N ₂		
		Nr. reacției		
		67	68	69
0	1	2	3	4
298	ΔH_T^0	- 332,677	- 522,306	- 484,347
	ΔG_T^0	- 315,770	- 523,861	- 457,866
	$\lg K_p$	55,265	89,930	80,135
400	ΔH_T^0	- 334,768	- 531,916	- 492,031
	ΔG_T^0	- 303,930	- 512,328	- 423,623
	$\lg K_p$	39,530	66,811	56,539
500	ΔH_T^0	- 335,359	- 530,269	- 491,935
	ΔG_T^0	- 271,989	- 499,892	- 372,813
	$\lg K_p$	28,371	52,144	38,888
700	ΔH_T^0	- 336,989	- 511,293	- 495,019
	ΔG_T^0	- 241,936	- 439,204	- 111,634
	$\lg K_p$	10,575	32,724	8,317

Tabelă XI

T, K	F-ctia termod.	Reducerea NO_x cu H_2 , cu formare de NH_3		
		Nr. reacției		
		70	71	
C	1	2	3	
298	ΔH_T^0	- 378,935	- 588,566	
	ΔG_T^0	- 333,264	- 530, 541	
	$\lg K_p$	58,327	92,854	
400	ΔH_T^0	- 383,204	- 580,356	
	ΔG_T^0	- 268,523	- 471,488	
	$\lg K_p$	34,231	61,476	
500	ΔH_T^0	- 385,605	- 580,528	
	ΔG_T^0	- 169,820	- 339,607	
	$\lg K_p$	17,714	35,424	
700	ΔH_T^0	- 411,022	- 564,418	
	ΔG_T^0	+ 339,406	+ 294,527	
	$\lg K_p$	-25,288	-21,944	

Tabelă XII

F-ctii termod.	Reacția : $2\text{NO}_2 \rightleftharpoons 2\text{NO} + \text{O}_2$ (72)				
	Temperatura, K				
	298	400	500	600	700
ΔH_T^0	52,542	48,589	51,063	51,905	52,379
ΔG_T^0	30,440	18,796	13,144	5,828	-1,650
$\lg K_p$	-5,327	-2,450	-1,371	0,0,506	+0,123

Din datele tabelate se observă că la presiunea normală și temperaturi între 298 și 700 K, exceptând reacția 72 (tabelă XII), care este endotermă, toate celelalte reacții sunt exotermă și posibile din punct de vedere termodinamic. Valorile entalpiilor

libere normale, ΔG_f° , atestă că, în condițiile date, echilibrele reacțiilor 61-69 sunt, practic, total deplasate spre dreapta.

In ceea ce privește reacțiile 70 și 71, de reducere a NO_x cu H_2 , cu formarea de NH_3 ca produs final de reacție, din valoările entalpiilor libere se observă că, în condițiile standard,

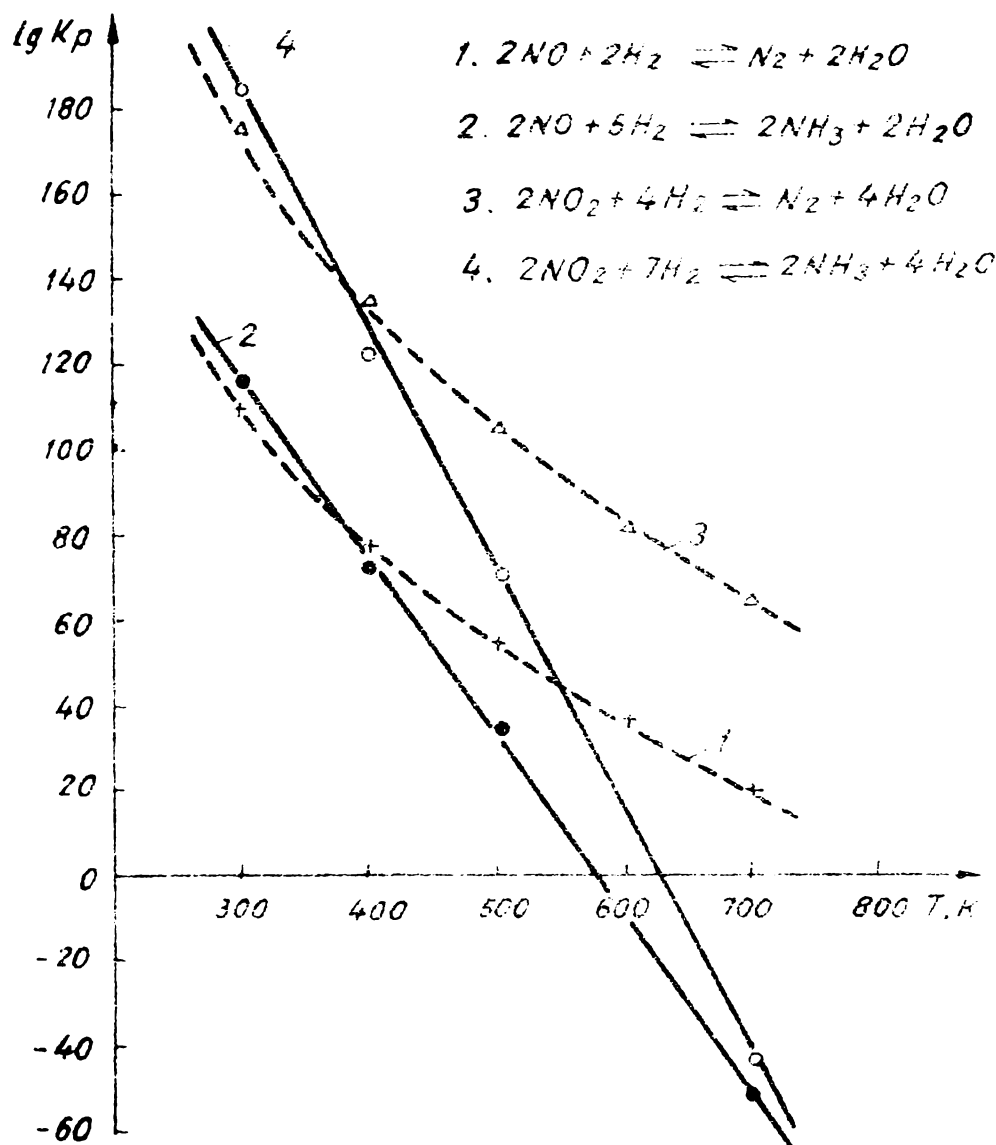


Fig.19. Variatia lui $lg K_p$, cu temperatura (K), pentru reacțiile 67,68 respectiv 70,71.

termodynamică sunt mai favorizate aceste reacții, decât reacțiile 67 și 68, cu formare de N_2 ca produs final. Cu creșterea temperaturii însă, reacțiile 70 și 71 devin tot mai puțin prioritare față de primele (67 și 68), ajungind că, la temperatură de 700 K să fie total defavorizate. Acest lucru se poate observa și din graficul din figura 19, pe care sunt transpuse valorile pentru $lg K_p$ în funcție de temperatură absolută.

Referitor la reacția 72, de descompunere a NO_2 în NO și O_2 , s-a mai semnalat (capitolul 1) că, studiile întreprinse de Lunge și Berl /22/ au demonstrat că, contrar tuturor calculelor, creșterea temperaturii favorizează descompunerea NO_2 , autorii aducând și unele justificări în favoarea acestui fenomen.

Din stoichiometria reacțiilor, așa cum s-a mai subliniat și în capitolul 3, se observă că reacțiile 61 și 63 se desfășoară la volum constant, reacțiile 62 și 72 se desfășoară cu creșterea volumului, iar celelalte au loc cu scădere volumului, cea mai mare scădere având loc în cazul reacțiilor 70 și 71.

Înînd seama de cele de mai sus, se poate arăta că în cazul reacțiilor ce se desfășoară cu micșorarea volumului, și în special reacțiile 70 și 71 la care $\Delta V = -3$, ridicarea presiunii va exercita o influență favorabilă asupra procesului de reducere. Deoarece reacțiile 70 și 71, cu formare, în final, a amoniacului, trebuie evitate, o comprimare a gazelor este total neindicată. În altfel, din punct de vedere economic, nici în cazul celorlalte reacții, comprimarea gazelor nu este avantajoasă, ducând la consumuri de energie surplementare, nejustificate din punct de vedere al rendamentelor de reducere a NO_x .

Tot din stoichiometria reacțiilor de reducere a NO_x cu H_2 , se observă că pentru a evita formarea amoniacului se impune dozarea riguroasă a hidrogenului, excesul acestuia favorizând formarea, în final, a amoniacului și nu a azotului.

Că o concluzie la cele arătate mai înainte trebuie subliniat că temperatura, concentrația agentului reducător, cît și presiunea, sunt parametrii tehnologici impuși, în mare măsură, de natura reacțiilor. Ca urmare, rămîn să fi determinate condițiile cinetice de desfășurare a reacțiilor, respectiv să se ceară unui catalizator, activ și selectiv, pentru ca depoluarea gazelor nitroase reziduale, să fie eficientă.

4.2. Alegerea catalizatorilor.

Prevederea activității catalitice constituie scopul principal al dezvoltării teoriei generale a catalizei heterogene. Rezultatele obținute în acest domeniu nu sunt încă în măsură să dea un răspuns concret asupra a ceea ce este, de fapt, un fenomen catalitic. În situația actuală a teoriei catalizei heterogene, este

posibilă doar o apreciere schematică asupra unui proces catalitic, care, în multe cazuri, permite interpretarea unor rezultate experimentale, dar este încă insuficientă pentru a putea prevedea, într-un caz general, proprietățile catalitice ale unei substanțe, pentru o anumită reacție dată.

In astfel de condiții elaborarea unei tehnologii de preparare a unui catalizator este încă, cu preponderență, empirică. Problema principală constă în a găsi un catalizator cu o mare activitate și selectivitate, astfel încât cu acest catalizator să se realizeze nu numai o creștere a vitezei de transformare a reacțanților, dar și o orientare a acțiunii sale asupra desfășurării unui sistem chimic, doar într-o anumită direcție, dacă, în condițiile date, termodinamico sînt posibile mai multe reacții. În afară de aceasta, un catalizator trebuie să aibă o mare durată de funcționare, fără ca proprietățile sale inițiale să se modifice, în exploatare, într-un timp determinat.

In alegerea unor catalizatori, eficiență pentru reacțiile ce au loc la reducerea catalitică a oxizilor de azot, prezintate anterior, s-au avut în vedere unele considerente privind natura reacțanților, specificul reacțiilor ce au loc, diluția mare a reacțanților, posibilitățile tehnologice și economice de preparare a catalizatorilor :

1.- Așa cum s-a arătat, toate reacțiile de reducere sunt exotermice. Prezența oxigenului, în cantități de cîteva ori mai mari decît cantitatea totală a oxizilor de azot, duce, în timpul reacției de combustie, la degajarea unor mari cantități de căldură, ceea ce ridică temperatura din stratul catalitic, cu cîteva sute de grade. In aceste condiții un bun catalizator trebuie să aibă o rezistență termică ridicată, atît la acțiunea îndelungată a unor temperaturi înalte, cît și la surorii termici, posibile datorită unor variații brusce în compozitia gazelor nitroase. In același timp, catalizatorul trebuie să fie capabil să acioneze și ca un bun conductor termic, facilitând evacuarea cît mai rapidă a căldurii din reactor, odată cu gazele ce părăsesc reactorul.

2.- Realizarea unor reacții la diluții mari ale reacțanților, cu rândamente acceptabile, presupune utilizarea unor catalizatori cu o suprafață specifică mare, care să asigure un contact cît mai eficient al reacțanților cu suprafața catalitică. In același timp însă, reacțiile de oxidare a CH_4 și CC la CO_2 , pre-

zente și ele în procesul de reducere a NO_x cu CH_4 sau CO, sunt favorizate de limitări ale difuziunii asupra vitezei de evacuare a produsului de reacție de pe catalizator, iar ca o consecință a acestui fapt, catalizatorul trebuie să aibă o suprafață specifică mare și cu pori mari /325/.

3.- În alegerea catalizatorului s-a ținut cont că, în general, reacțiile catalitice de reducere a oxizilor de azot, se desfășoară la viteze volumare mici și medii, ceea ce implică utilizarea unor cantități apreciabile de catalizatori, în vederea prelucrării ușor debite cît mai mari de gaze nitroase. În această situație rezistența mecanică a catalizatorului trebuie să fie suficient de mare, pentru a nu se distrugă sub propria sa greutate.

4.- luind în considerare specificul reacțiilor ce pot avea loc în reactorul catalitic, s-a considerat că cei mai buni catalizatori, pentru aceste reacții, trebuie să fie aceia care favorizează, pe une o parte, reacțiile de descompunere a oxizilor de azot, iar pe de altă parte, pe cele de cracare, hidrogenare, oxidare. Aceasta presupune utilizarea unor catalizatori multicomponenți.

5.- În sfîrșit, din motive economice, de la început s-a urmat utilizarea unor catalizatori neplatinici și anume oxidici, care să aibă o mare stabilitate chimică față de reacțanti.

Fornind de la aceste consideratii, s-au preparat mai multe serii de sisteme binare si ternare ai oxizilor metalelor tranzi-tionale, care au fost supuse郢oi testării. Rezultatele testă-riilor au fost corecte, atit intre ele, pentru liferite sisteme catalitice, cît și cu performanțele obtinute cu un catalizator industrial (de import), de paladiu depus pe un suport de γ - Al_2O_3 .

4.3. Reducerea NO_x cu CH_4 .

4.1.1. Rezultatele experimentale obtinute cu instalatia de laborator.

Cercetările esuțre reducerii catalitice a NO_x cu CF_4 , au fost efectuate pe prima variantă a instalației de laborator, cu funcționare discontinuă, în circuit închis, prezentată anterior (fig.6). Urmărindu-se desfășurării reacției s-a făcut înregistrându-se scăderea presiunii în instalație, datorită eliminării, din sistem, a apei formate în reacție.

Prin experimentările efectuate s-a urmărit :

- stabilirea raportului optim dintre reacțenți,
- determinarea temperaturii optime de preîncălzire a gazelor nitroase

- testarea catalizatorilor, în vederea aprecierii celor mai bune performanțe ale acestora.

Stabilirea vitezei volumare optime, în laborator nu s-a putut face în mod corespunzător, datorită debitelor mici de gaze, precum și a cantităților mici de catalizator cu care s-a putut opera. În timpul experimentărilor s-a lucrat, constant, cu o cantitate de 2 g de catalizator, iar viteza volumară, în această situație, s-a putut menține la 9.000 h^{-1} . Stabilirea vitezei volumare optime, s-a putut efectua ulterior, în instalația pilot.

Compoziția gazelor nitroase cu care s-au efectuat experimentările s-a menținut, pe cât a fost posibil aceeași, în limite restrinse și anume :

- $\text{NO}_x = 3500-3800 \text{ ppm}$,
- $\text{O}_2 = 3,0 - 3,2\%$ vol.,
- $\text{N}_2 = \text{rest}$,

astfel ca rezultatele să fie comparabile. De altfel, aceasta este și compozitia medie reală a gazelor nitroase reziduale de la o instalație de acid azotic, de joasă presiune (de ex. instalația GIAF).

Celelalte condiții de lucru au fost :

- Temperaturile de preîncălzire a gazelor : 350, 400, 450 și 500°C .

- Raporturile NO_x/CH_4 , în % vol : 1/0,75, 1/1, 1/1,5, 1/2, 1/2,5 și 1/3.

- Raportul O_2/CH_4 , în % vol.: stoichiometric (cu un exces max. de 10% CH_4).

În ceea ce privește raportul $\text{NO}_x/\text{CH}_4 = 1/0,75$, el corespunde, aproximativ, cu cel stoichiometric, admitând că, inițial, în gazele nitroase raportul $\text{NO}/\text{NO}_2 \approx 1$.

La stabilirea temperaturilor de lucru, cît și a raporturilor de reacțenți, s-au luate în considerare și unele recomandări din literatura consultată.

Catalizatorii testați au fost din sistemele :

- $\text{Fe}_2\text{O}_3 - \text{Cr}_2\text{O}_3$,
- $\text{Fe}_2\text{O}_3 - \text{ZnO}$,

- $\text{Fe}_2\text{O}_3 - \text{Cr}_2\text{O}_3 - \text{ZnO}$,
- $\text{Cr}_2\text{O}_3 - \text{CuO}$,

în care componentii au fost luati în riferite proporții.

În reacția de reducere a NO_x sau CH_4 , cele mai bune rezultate s-au obținut cu un catalizator din sistemul $\text{Fe}_2\text{O}_3 - \text{Cr}_2\text{O}_3$, cei doi oxizi fiind într-un raport echimolecular. Despre prepararea și caracterizarea acestui catalizator se va relata în paragraful 4.3.3.

Cele mai bune randamente de reducere a oxizilor de azot (94-97%, ceea ce corespunde unei micsorări sub 150 ppm de NO_4 din gazele nitroase) s-au obținut în următoarele condiții :

- Temperatura de preîncălzire a gazelor : 450°C .
- Raportul NO_x/CH_4 , în % vol : 1/2.
- Raportul O_2/CH_4 , în % vol, stoichiometric.
- Viteza volumară, în toate cazurile s-a menținut aceeași și anume : 9.000 h^{-1} .

Desfășurarea reacției, așa cum s-a amintit, s-a urmat prin sondarea presiunii în instalație, în unitatea de timp. La stabilizarea presiunii, s-a considerat că reacția este terminată. Randamentele de reducere a oxizilor de azot s-au stabilit, prin dozarea oxizilor de azot nereduși și raportarea lor la cantitatea introdusă inițial, în instalație.

Pe grafiole din figurile 20 și 21, se poste urmări desfășurarea reacției, la diferite temperaturi și același raport (optimal) de NO_x/CH_4 (fig.20), precum și la aceeași temperatură (optimală), la diferite raporturi de NO_x/CH_4 (fig.21.).

Variatia presiunii în instalație, ΔP , este exprimată în cm col. de dioctilftalat (DOF).

Astfel, la temperaturi sub 450°C , (curbele 1 și 2, fig.20) nici după 60 minute de recirculare a gazelor prin reactor nu s-a obținut o stabilizare a presiunii, deci terminarea reacției, în timp ce la 450°C , (curba 3), aceasta, practic, era deja încheiată după numai 3 minute, timp corespunzător tracării, o singură dată, a mestecului reactant peste catalizator. Ridicarea temperaturii la 500°C (curba 4), determină o scădere atât a randamentelor (fapt ce a fost confirmat și analitic), cât și a vitezei de desfășurare a reacției.

În mod similar se poste urmări desfășurarea reacțiilor la

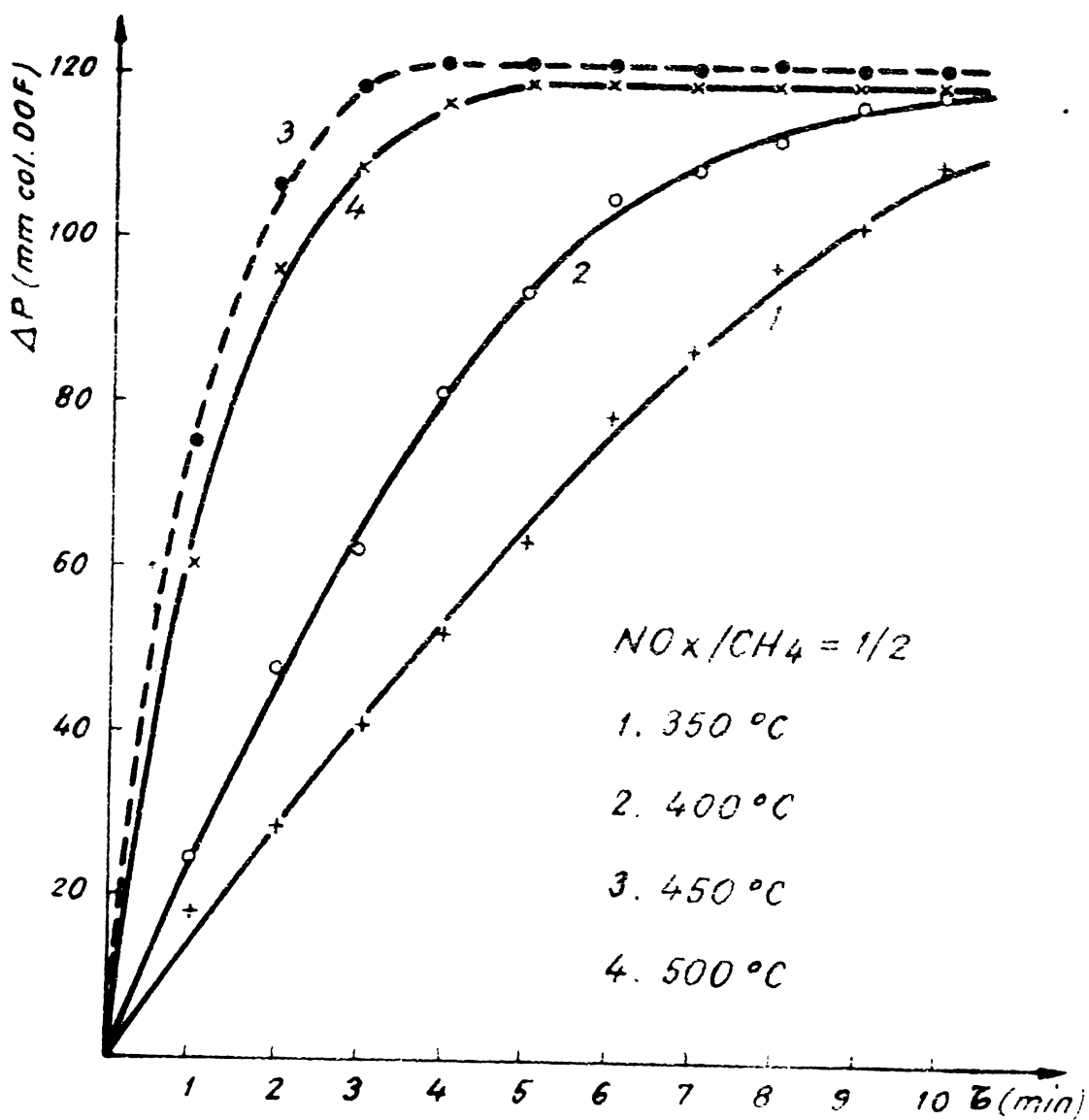


Fig.20. Desfășurarea reacției la raport NO_x/CH_4 constant și diferite temperaturi.

temperaturi de 450°C , pentru diferite raporturi de NO_x/CH_4 (fig. 21.). Se observă că rezultate optime se obțin pentru un raport $\text{NO}_x/\text{CH}_4 = 1/2$ (curbe 4). Creșterea excesului de CH_4 , în amestecul reactant (curbele 5 și 6), de asemenea duce la scăderea, stătătă, a rendamentelor, cît și a vitezei de desfășurare a reacției.

Considerind drept 100%, performanțele obținute după 3 minute de circulare a amestecului reactant peste catalizator, la $t^{\circ} = 450^{\circ}\text{C}$ și $\text{NO}_x/\text{CH}_4 = 1/2$, s-au traseat graficele din figură 22, care, în mod sugestiv, reflectă variația rendamentelor în funcție de temperatură (A) și de raporturile NO_x/CH_4 (B).

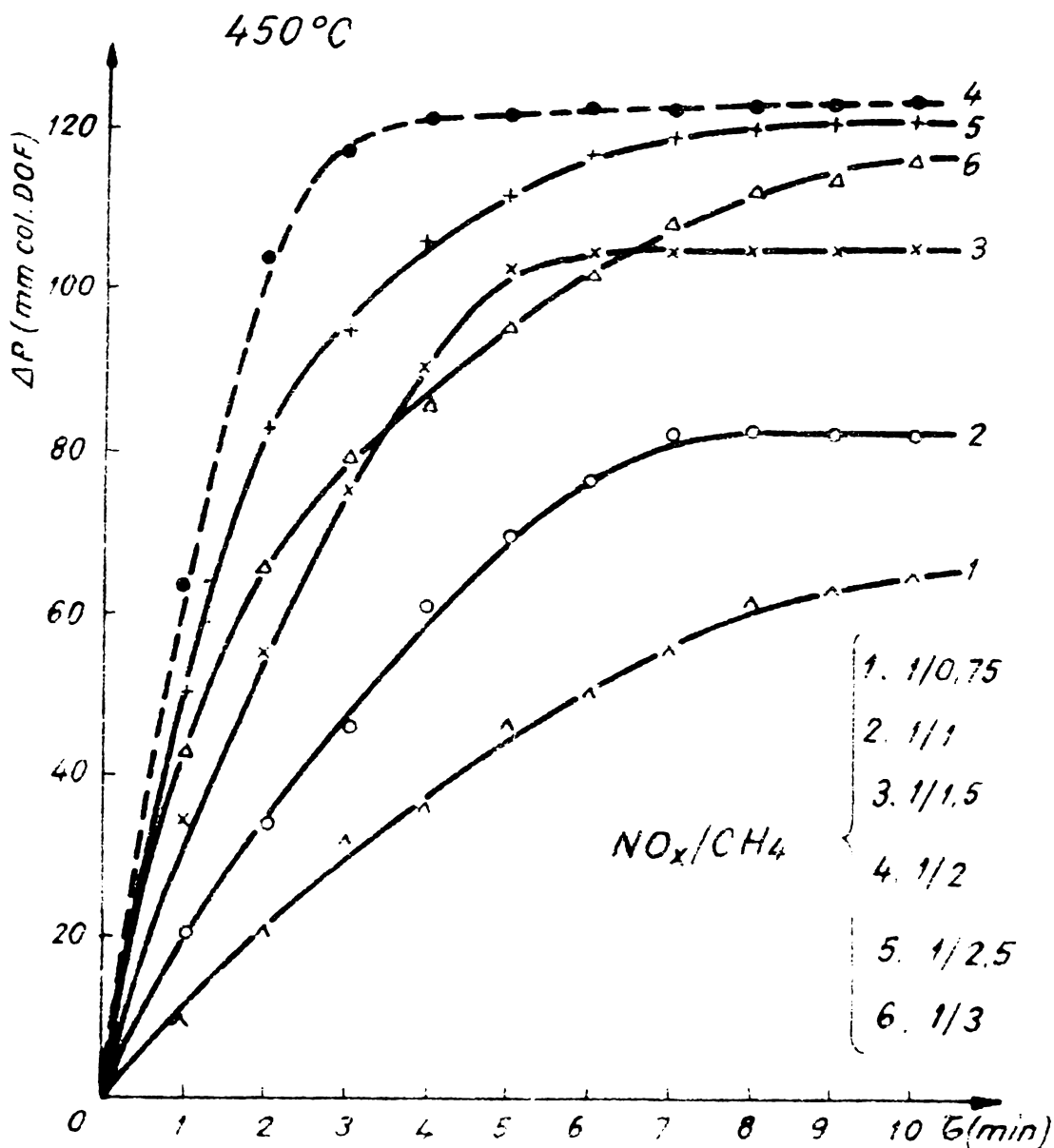


Fig.21. Desfășurarea reacției la temperatură constantă și diferite raporturi de NO_x/CH_4 .

Această variație a randamentelor, și în special scăderea lor, prin creșterea temperaturii peste 450°C , cît și a măririi excesului de CH_4 peste cel optim, nu a putut fi explicată în mod plauzibil, în condițiile experimentelor de laborator, ci abia în timpul experimentărilor în instalația pilot.

În cadrul studiului bibliografic (capitolul 2), s-a arătat că în cazul utilizării, ca agent reductor, a hidrocarburilor, creșterea numărului de atomi de carbon ai hidrocarburii, cît și gradul de neșaturare al hidrocarburii, determină micșorarea temperaturii de reacție, necesară atingerii unui randament optim.

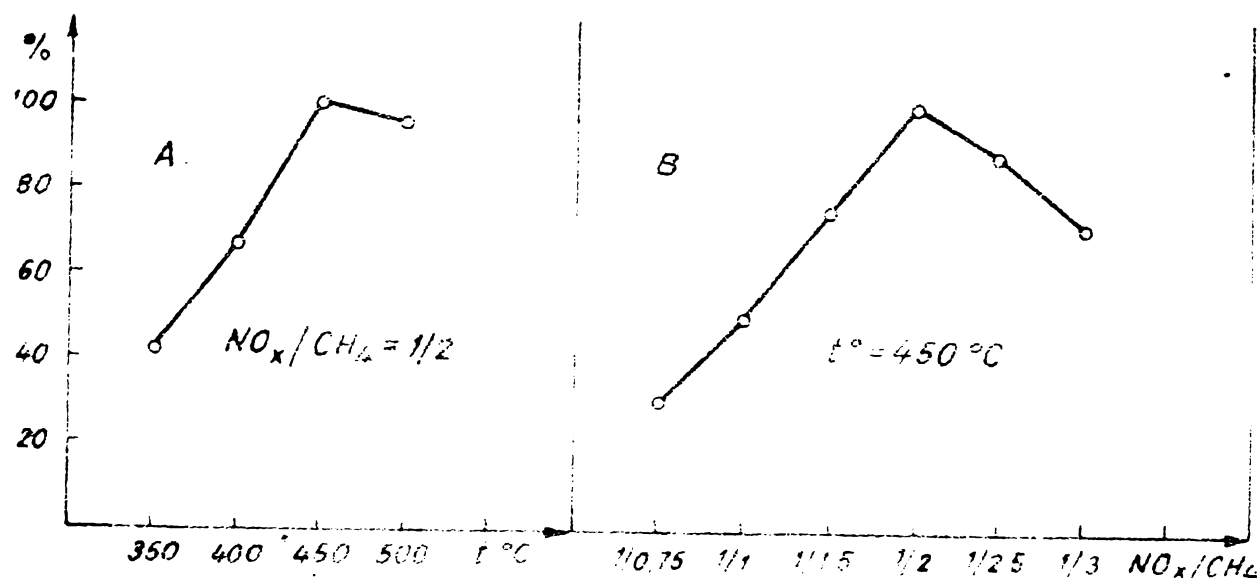


Fig.22. Variația rendamentelor în funcție de temperatură (A) și de reporturile NO_x/CH_4 (B).

Pentru confirmare, s-au efectuat experimentări utilizând, drept agent de reducere, un amestec de hidrocarburi (HC), corespunzător gazelor combustibile lichefiate românești (aragaz).

Realizând experiențele în condiții identice de lucru, cu amestecul de hidrocarburi s-au obținut aceleasi rendamente, dar la temperaturi mai scăzute.

În figura 23, se prezintă un grafic din care rezultă că la $400^{\circ}C$, reacția oxizilor de azot cu amestecul de hidrocarburi (curba 1) este, practic, încheiată după 3 minute de recirculare a reacțanților, în timp ce reacția cu gazul metan (curba 2) continuă să se desfășoare încă și după 10 minute.

S-a arătat de asemenea (capitolul 2), că, în general catalizatorii platinici sunt mult mai eficienți decât cei neplatinici (din punct de vedere al rendamentelor), dar condițiile de lucru, cu acești catalizatori, sunt mai grele în sensul că sunt necesare temperaturi de lucru mult mai ridicate. O confirmare în acest sens s-a obținut realizându-se experimentări pe un catalizator industrial de paladiu, depus pe aluminiu.

Graficul din figura 24, redă, comparativ, rezultatele acestor experimentări.

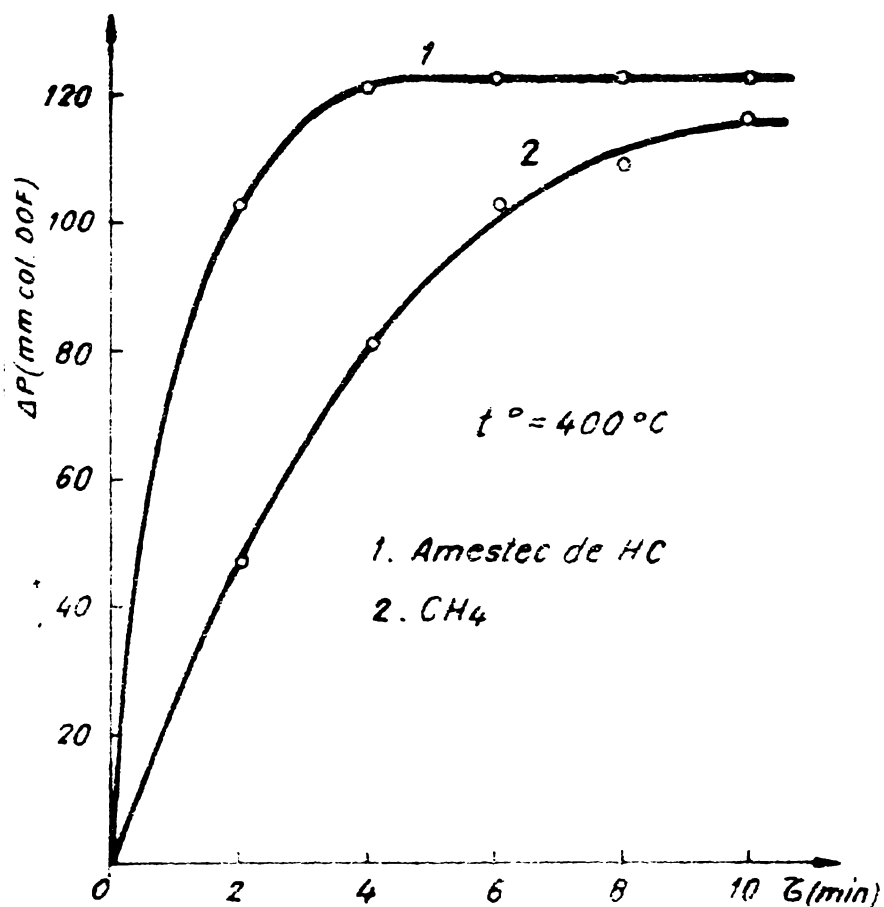


Fig.23. Desfășurarea reacției, la 400°C având ca agent de reducere un amestec HC (1), respectiv CH_4 (2)

Astfel, la 450°C și $\text{NO}_x/\text{CH}_4 = 1/2$, pe catalizatorul oxidic ($\text{Fe}_2\text{O}_3 - \text{Cr}_2\text{O}_3$) se obțin rezultate foarte bune (curba 1), în timp ce pe paladiu, ele sunt nesatisfăcătoare (curba 2). Abia la 600°C , și pe paladiu s-a obținut cele mai bune rezultate (curba 3).

Jin alura curbelor 2 și 3, se poate constata că atât viteza de reacție, cât și rendamentele pe catalizatorul de paladiu sunt superioare celor pe catalizatorul oxidic, dar și temperatura de lucru este mult mai ridicată, ceea ce implica existența unor condiții de exploatare a instalației, mult mai grele. Rendamentele pe catalizatorul de paladiu, determinate analitic, au fost de 97-99%.

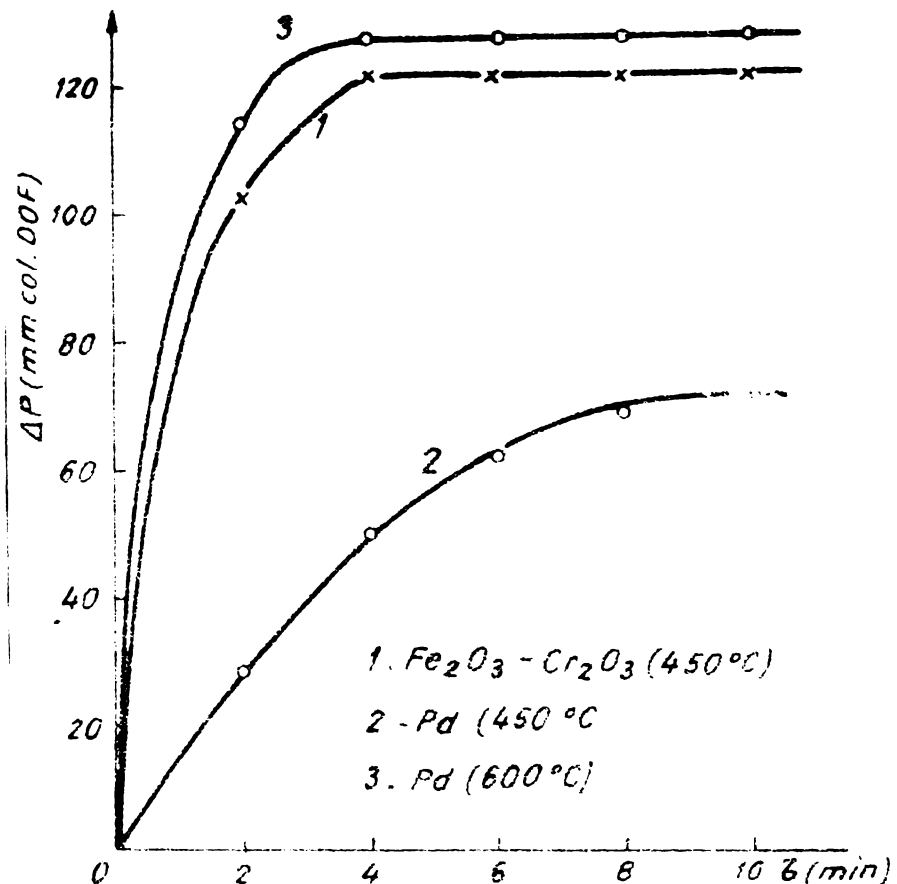


Fig.24. Variatia rendementelor pe catalizatorii de palcaiu, respectiv $Fe_2O_3 - Cr_2O_3$.

4.3.2. Experimentări în instalația pilot.

Experimentările în instalația pilot au avut ca scop :

- determinarea condițiilor optime de desfășurare a unui proces de reducere catalitică a oxizilor de azot,
- stabilirea vitezei volumare optime,
- precizarea unor noi parametri tehnologici, necesari proiectării unei instalații industriale, ce :
 - a) influența înălțimii stratului catalitic,
 - b) raportul optim dintre diametrul funcțional al reactorului și diametrul granulei de catalizator,
 - c) posibilitatea tehnologică de evacuare a căldurii din reactor.

Catalizatorul necesar experimentărilor în instalație pilot, a fost preparat la Institutul de Cercetări pentru Produse Auxilia-

re Organice (ICPAO) din Mediaș, într-o instalație semiindustrială, în șarje unitare de 100 Kg. Catalizatorul a fost preparat sub formă de tablete cilindrice, în două dimensiuni diferite și anume : $h = 12 \text{ mm}$, $\varnothing = 12 \text{ mm}$, respectiv $h = 8 \text{ mm}$, $\varnothing = 8 \text{ mm}$. Compoziția catalizatorului a fost ceea stabilită în laborator și anume : sistemul $\text{Fe}_2\text{O}_3 - \text{Cr}_2\text{O}_3$, în care cei doi oxizi sunt în raport echimolecular. Tabletarea s-a făcut la o presiune de 2.500 kgf/cm^2 , ca liant utilizându-se grafit în proporție de 2%.

In cadrul experimentărilor în instalația pilot, s-au reluat toate condițiile de operare realizate și în cadrul experimentelor de laborator.

4.3.2.1. Studiul parametrilor de curgere a gazelor prin stratul catalitic. Dimensionarea coșului /327/ pentru catalizator, s-a făcut la un volum de 20 litri. Pentru a putea studia influența geometriei stratului catalitic asupra conversiei și eliminării căldurii de reacție, s-au realizat patru coșuri, cu rapoartele H/D cuprinse între 0,2 și 4,5. Coșurile au avut următoarele dimensiuni:

Coșul	I	II	III	IV
$H(\text{mm})$	100	200	400	800
$D(\text{mm})$	500	360	250	180

Vitezele liniare, timpii spațiali și vitezele volumare fictive (coșurile fără catalizator), calculate pentru debitele de 50, 100, 150 și 200 Nm^3/h gaze nitroase, sunt prezentate în tabelele XIII și XIV. Calculele s-au făcut după reacțiile :

- viteză liniară fictivă :

$$v_f = \frac{1}{3600} \cdot \frac{Q}{S}, \text{ în m/s} \quad (78)$$

unde Q este debitul de gaze nitroase, în m^3/h și S este secțiunea coșului în m^2 .

- timpul spațial fictiv :

$$\delta_f = \frac{H}{v_f}, \text{ în s.} \quad (79)$$

unde H este înălțimea coșului în m.

- viteză volumică fictivă :

$$v_f = \frac{Q}{V}, \text{ în } \text{h}^{-1}. \quad (8)$$

unde V este volumul coșului în m^3 .

Tabelă XIII

Vitezele liniare fictive funcție de debitul gazelor nitroase și de geometria coșului.

Coșul	debitul			
	50	100	150	200
I	0,071	0,142	0,213	0,284
II	0,136	0,272	0,408	0,554
III	0,278	0,556	0,834	1,135
IV	0,556	1,111	1,667	2,220

Tabelă XIV

Timpii spațiali și vitezele volumare fictive, funcție de debitul gazelor nitroase.

debitul	50	100	150	200
\bar{t}_p	1,4	0,7	0,5	0,35
v_p	2500	5000	7500	10000

În laborator s-a determinat volumul liber, în m^3/m^3 , al umpluturii de tablete ($h = 12$ mm, $\varnothing = 12$ mm) de catalizator (numeric egal cu secțiunea liberă, în m^2/m^2) :

$$V_1 = S_1 = 0,5 \quad (81)$$

de care trebuie să se țină seama în calcularea vitezelor liniare, timpilor spațiali și vitezelor volumare reale conform relațiilor:

- viteza liniară reală :

$$v_p = \frac{1}{3600} \cdot \frac{S_1 \cdot S}{S_1 + S}, \text{ în } m/s, \quad (81a)$$

unde $S_1 \cdot S$ este efectivă a umpluturii, în m^2 .

- timpul spațial real :

$$\bar{t}_p = \frac{H}{v_p}, \text{ în } s, \quad (82)$$

- viteza volumară reală :

$$v_p = \frac{Q}{V_1 \cdot V}, \text{ în } h^{-1} \quad (83)$$

unde $V_1 \cdot V$ este volumul efectiv ocupat de tablete de catalizator în m^3 .

Rezultatele calculelor sunt redate în tabelele XV și XVI.

Tabela XV

Vitezele liniare reale, funcție de debitul gazelor nitroase și de geometria coșului.

Coșul	Debitul			
	50	100	150	200
I	0,142	0,284	0,428	0,568
II	0,272	0,544	0,816	1,090
III	0,556	1,112	1,666	2,270
IV	1,112	2,222	3,334	4,440

Tabela XVI

Timpii spațiali și vitezele volumare reale, funcție de debitul gazelor nitroase.

Debitul	50	100	15	200
τ_p	0,70	0,35	0,25	0,17
v_p	5.000	10.000	15.000	20.000

Din datele prezentate mai sus, rezultă că diferențele dintre valorile reale și cele fictive ale parametrilor de curgere a gazelor, sunt foarte mari. Aceasta însemnă că, în cazul degradării tabletelor de catalizator, deci a schimbării geometriei lor, în timpul exploatarii reactorului, înrăutățirea conversiei și eliminării căldurii, poate fi pusă și pe seama schimbării parametrilor de curgere. De asemenea, în cazul schimbării catalizatorului cu unul nou, având tabletă de alte dimensiuni, este necesar să se recalculeze acești parametri, pentru a putea asigura condițiile optime de exploatare.

Unele date din literatură /328, 329/, indică dependența turbulentei curgerii în apropierea peretelui și deci a transferului de căldură prin peretele tubului (coșului) reactorului, de raportul $D_{tub}/D_{tabletă}$. Deoarece, în cazul experimentelor ce s-au efectuat, datorită prezentei, în gazele nitroase, a unei mase mari de gaz inert (aprox. 95% vol.), căldura de reacție se elimină prin preluarea ei de către acesta și nu prin transfer ra-

diesel, s-a presupus că raportul $D_{tub}/D_{tabletă}$, nu ar avea o influență hotărîtoare asupra desfășurării reacției. Presupunerea a fost confirmată de încercările făcute cu catalizatori tabletati la dimensiuni de $h = 12$ mm, $\varnothing = 12$ mm, respectiv $h = 8$ mm, $\varnothing = 8$ mm. Asigurîndu-se aceeași parametri de curgere a gazelor, rezultatele obținute au lîberit nesemnificative.

4.3.2.2. Influența efectului termic de reacție, asupra desfășurării procesului de reducere. Așa cum s-a mai subliniat, în timpul reducerii catalitice a NO_x cu CH_4 , se degajă însemnate cantități de căldură. Un astfel de efect termic, se consideră /330/, că poate avea o influență nefavorabilă, în unele cazuri, asupra gradientului de temperatură în lungul stratului de catalizator și implicit asupra gradului de transformare a reactantilor. Această influență nefavorabilă poate fi eliminată, fie prin creșterea vitezei curentului gazos, fie prin micșorarea înălțimii stratului de catalizator, dar care să nu coboare sub de 5 ori diametrul tabletei de catalizator.

Referindu-se direct la reducerea catalitică a oxizilor de azot cu CH_4 , CO sau H_2 și subliniind existența unui puternic efect termic datorat reactiilor de reducere, J. Hatfield, în lucrarea sa /331/, preconizează realizarea procesului de reducere, în două trepte, cu răcirea intermedieră a gazelor nitroase. Bazat pe date concrete obținute în instalații semiindustriale, sau chiar industriale, autorul arată că un proces de reducere catalitică într-o singură treaptă, cu randamente bune de conversie, poate fi aplicat numai în cazul purificării unor gaze cu un conținut maxim de 1500 ppm de NO_x . La concentrații de NO_x crescînd, randamentele vor scădea continuu, datorită influenței nefavorabile a efectului termic, tot mai puternic, asupra gradului de reducere.

De asemenea autorul subliniază că, pentru a avea în final (după treapta a II-a de reducere), randamente superioare (97-99%), procesul tehnologic trebuie astfel condus, încît conținutul de oxizi de azot din gazele nitroase, după treapta I-a de reducere, să scadă cu mult puțin 65%.

Pentru a avea certitudinea obținerii unor rezultate bune într-o instalație industrială, remarcă același autor, experimentarea procesului tehnologic de reducere, într-o instalație pilot, este suficient să fie făcută într-o singură treaptă, dar și în

acest caz trebuie să se realizeze toate condițiile pentru obținerea unor răndamente de reducere de minimum 65%.

Aceștor considerente, cît și celor privind parametrii de curgere a gazelor, s-a dat o deosebită importanță, atât la proiectarea și execuția instalației pilot, cît și în timpul realizării experimentărilor în această instalație.

4.3.2.3. Rezultate experimentale. Primele experimentări în instalația pilot au constat în reproducerea condițiilor în care, în instalația de laborator, s-au obținut cele mai bune rezultate și anume :

- Temperatura de preîncălzire a amestecului reactant : 450°C
- Raportul NO_x/CH_4 , în % vol: 1/2
- Raportul O_2/CH_4 , în % vol: stoichiometric.
- Viteza volumică : 10.000 h^{-1} .
- Debitul de gaze nitroase : $100 \text{ m}^3/\text{h}$.

Având în vedere că volumul tuturor coșurilor pentru catalizator a fost același (20 l), și ca urmare s-a putut încărca aceeași cantitate de catalizator (100 kg), schimbarea vitezei volumice s-a făcut doar prin varierea debitului de gaze nitroase.

Primele experimentări s-au efectuat utilizând coșul cu dimensiunile : $\text{D} = 360 \text{ mm}$ și $\text{H} = 200 \text{ mm}$.

Pentru amorsarea reacției de reducere, a fost necesar ca, în prima etapă, amestecul reactant să fie preîncălzit la $550-560^{\circ}\text{C}$, în vederea depășirii temperaturii de aprindere a gazului metan, de $537-540^{\circ}\text{C}$ /332-334/, după care temperatura de preîncălzire a fost coborită la 450°C .

Controlul reducerii oxizilor de azot s-a făcut prin determinarea concentrațiilor acestora înainte și după reactor.

Răndamentul de reducere a oxizilor de azot, imediat după amorsarea reacției a fost foarte mic (6,5%), el crescând continuu, în timp, stabilizându-se, după aproximativ 7 ore de funcționare a reactorului, la 85-87%. Graficul din figura 25, redă creșterea răndamentului în funcție de timp.

Jin grafic se observă că, în primele 4 ore creșterea răndamentului a fost mai lentă, ca apoi să crească mult mai rapid, ajungând să se stabilizeze după 7 ore. În aceste condiții, reactorul a funcționat continuu timp de 100 ore, răndamentele, pe parcurs, variind în limite foarte apropiate (84-87,5%). După cum

se vede, în condițiile date, s-au obținut răndamente mult superioare celor considerate, ca minime, de W.R.Hatfield în lucrarea sa.

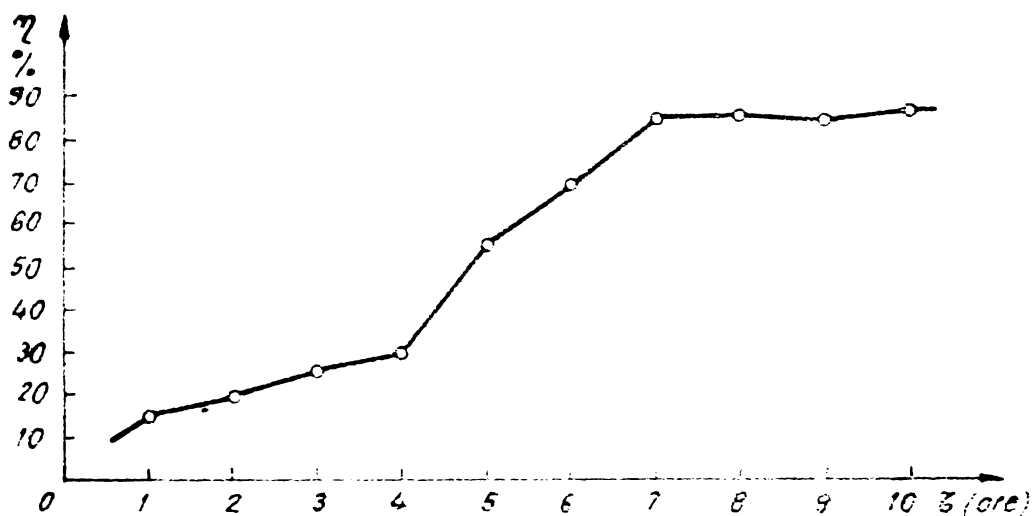


Fig.25. Varietăția răndamentului în timp la pornirea instalației pilot.

In continuarea experimentărilor, s-a procedat la modificarea condițiilor de lucru, cu scopul stabilirii influenței ce o pot avea, asupra răndamentelor, temperatura de preîncălzire, raportul NO_x/CH_4 , forma coșului pentru catalizator (respectiv felul de dispunere, în spățiu, a stratului catalitic). În final a fost stabilită și viteza volumică optimă.

1.- Influența temperaturii asupra răndamentului. Menținându-se același raport $\text{NO}_x/\text{CH}_4 = 1/2$, s-au efectuat experimentări la diferite temperaturi și anume : 350, 400, 500, 550 și 600°C . Pentru fiecare temperatură, regimul de lucru s-a menținut la 60-70 ore, făcindu-se în acest timp, minimum 20 determinări de răndamente de reducere. Rezultatele sunt prezentate în graficul din figura 26. Vălarea răndamentului de pe grafic, reprezintă media tuturor determinărilor, pentru temperatură dată.

De remarcat este faptul că, pentru diferite temperaturi, variațiile răndamentelor, în timp, au fost în limite diferite. Astfel, dacă pentru $t^0 = 450^{\circ}\text{C}$, așa cum s-a mai arătat, răndamentele s-au situat în limite strânse de 84-87,5%, pentru $t^0 = 600^{\circ}\text{C}$ acestea au fost de 56-63%, iar pentru $t^0 = 350^{\circ}\text{C}$, 21-52%.

Pentru acest din urmă caz, valorile mici ale limitei inferioare

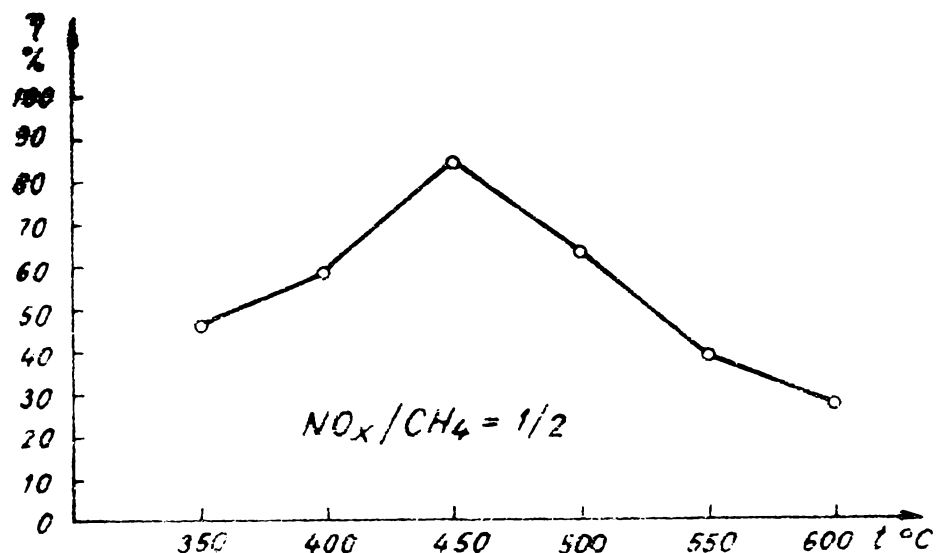


Fig.26. Variatia randamentelor in functie de temperatura.

(inregistrată numai de 2 ori, din totalul de 34 determinări efectuate), să se fi putut datora și unor dezavantajuri (de scurtă durată) a reacției, dar care în timpul experimentărilor nu au putut fi sesizate. În sprijinul acestei presupunerii, se poate aduce faptul că, nușorind temperatura de preîncălzire a anestecoului reactant, numai cu 25°C , respectiv la 325°C , reacția de reducere nu încă are loc. Deoarece timp de jumătate de oră se lasă reactorul în această situație, perioada în care și temperatura din stratul catalitic scade mult, reamorsarea reacției se poate face numai prin reîncălzirea gazelor pînă la 550°C .

2.- Influența raportului $\frac{NO_x}{CH_4}$ asupra randamentului. Aceeași metodologiei de experimentare de mai înainte, de data aceasta s-a menținut constantă temperatura (la 450°C) și s-au modificat rapoartele $\frac{NO_x}{CH_4}$, acestea fiind aceleasi ca și în cazul experimentelor de laborator. În ceea ce privește durata unei experimentări pentru un anumit raport $\frac{NO_x}{CH_4}$, cît și numărul de determinări de randamente, s-au păstrat aceleasi ca și în primul caz, și anume : 60-70 ore, respectiv minimum 20 determinări, pentru un ciclu de experimentări. Rezultatele obținute sunt prezente pe graficul din figura 27.

Din grafic se observă că, și în acest caz, rezultatele ob-

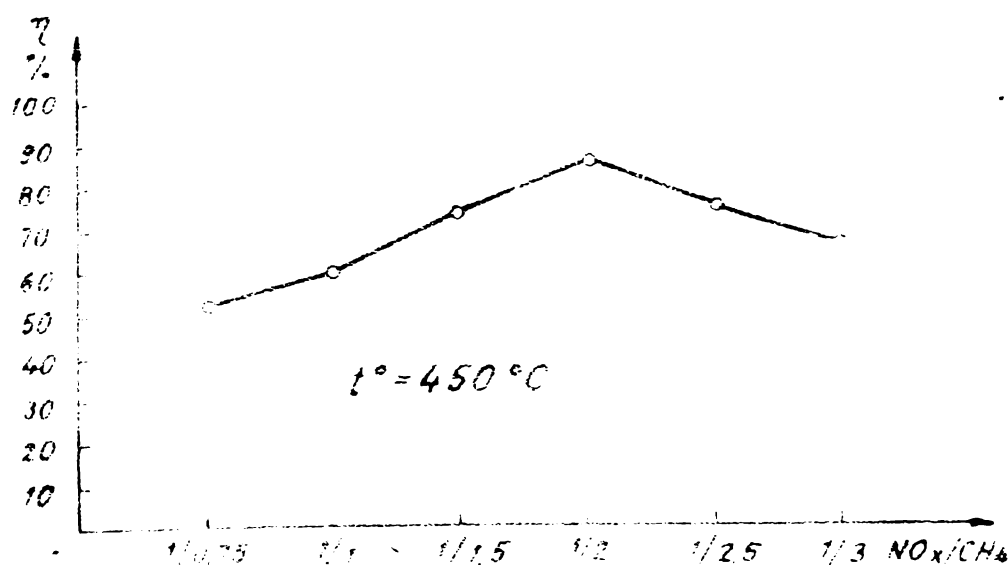


Fig.27. Varietăția randamentului în funcție de raportul NO_x/CH_4 .

tingăte în instalația pilot, concordă, într-o foarte mare măsură, cu cele de laborator. În privința limitelor de variație a randamentelor, pentru fiecare din raporturile NO_x/CH_4 încercate, ele au fost relativ mici, și practic aceleși pentru toate cazurile, și anume de 4-6%.

Din compararea graficelor din figurile 26 și 27, se poate observa, ca și în cazul experimentărilor de laborator, că ridicarea temperaturii peste cea optimă, cît și mărirea concentrației de CH_4 în raport cu NO_x , de asemenea față de cea optimă, duce la scăderea randamentelor de reducere. Temperaturile ridicate influențează negativ, mult mai puternic randamentele, decât excesul mare de CH_4 . Astfel, dacă un raport $\text{NO}_x/\text{CH}_4 = 1/3$, randamentul de reducere este încă acceptabil ($\sim 65\%$), ridicarea temperaturii doar cu 50°C (respectiv la 500°C), coboară randamentul de la 85% la 62%, iar la 600°C , acesta devine de numai 27%.

Încercând să explică această situație, s-a recurs la studierea posibilității de existență a unor condiții care, în cazul dat, să faciliteze să zibe loc și alte reacții ce ar putea deranja desfășurarea reacțiilor principale. De asemenea s-a recurs și la efectuarea unor analize chimice mai detaliate asupra produșilor de reacție.

Datele din literatură /335/ menționează că la temperaturi de $400\text{--}650^{\circ}\text{C}$, oxizii de azot prezintă un puțernic efect catalitic asupra procesului de formare a formaldehidei, conform reacției :



cu atât mai mult, cu cît se lucrează și cu un exces de CH_4 . De altfel pe această reacție se bazează și un procedeu industrial.

Efectuind analizele chimice la produșii de reacție, s-a confirmat prezența formaldehidei în acești produși.

Datele termodinamice cu privire la această reacție, prezente în tabela XVII, (unde ΔH_T° și ΔG_T° , sunt exprimate în KJ), arată că în limitele de temperaturi la care s-a lucrat, termodynamic reacția este posibilă, iar din valorile lui G_T° reiese că, ridicarea temperaturii depășește echilibrul spre dreapta.

Comparând aceste date termodinamice cu cele pentru reacția 63, de oxidare totală a CH_4 la CO_2 (tabela VIII, coloana 4), se constată că reacția 63 este favorizată termodynamic, fără de ceea de formare a formaldehidei. Această din urmă însă, are loc înainte

Tabelă XVII

$T, ^\circ\text{C}$	Reacția : $\text{O}_2 + \text{CH}_4 \xrightleftharpoons[\text{NO}_x]{\text{K}} \text{CH}_2\text{O} + \text{H}_2\text{O}$		
	ΔH_T°	ΔG_T°	$\lg K_p$
400	- 282,908	- 289,906	37,800
600	- 282,657	- 293,425	25,506
800	- 282,950	- 296,987	19,561
1000	- 283,663	- 300,464	15,670

de stratul catalitic, și la rîndul său, este catalizat, în fază omogenă, de oxizii de azot, astfel încît ea are și condiții cinetice favorabile desfășurării sale.

Deși, constatăriile făcute atât în laborator, cît și pe instalația pilot, sunt în perfectă concordanță cu condițiile termodinamice și cinetice urătate mai sus.

Deoarece creșterea proporției de formaldehidă, în ceea ce este cel reacțant, are ca efect reducerea proporției de NO_x reacțională, procesul trebuie astfel conținut, încât formarea a formaldehidei să fie inhibată într-o proporție cît mai mare.

Practic, prin micșorarea cantității de oxigen din gazele nitroase, acest deziderat s-ar fi putut realiza cu ușurință, dar concentrația de oxigen în gazele nitroase este fixată în procesul tehnologic anterior, astfel că acest parametru nu poate fi modificat. Se poate actiona deci, exclusiv asupra concentrației metanului și a temperaturii de preîncălzire a gazelor nitroase.

Ca urmare s-au impus, ca norme restrictive, următoarele condiții de lucru :

- Temperatura de preîncălzire a amestecului reacțant : $435 - 450^{\circ}\text{C}$.
- Raportul NO_x/CH_4 , în % vol : 1/2 (cu posibilitatea varierii concentrației de CH_4 , de $\pm 10\%$).
- Raportul O_2/CH_4 , în % vol: stoichiometric (excesul de CH_4 neputind depăși 10%).

3.- În ceea ce privește forma coșurilor pentru catalizator, aceasta, practic, a avut o influență nefinsemnată asupra rendementelor de reducere. S-a constatat însă că, înălțimea stratului de catalizator are o influență, destul de mare, asupra posibilităților de eliminare a căldurii de reacție din reactor. Astfel, cele mai bune rezultate, din acest punct de vedere, s-au obținut cu coșul I cu înălțimea de 100 mm (respectiv $\delta = 500$ mm). Stabilirea acestor influențe s-a făcut prin urmărirea și compararea temperaturilor gazelor, la intrarea și ieșirea în și din reactor (punktele T_3 și T_4 , de pe schema din fig.13).

Astfel, menținându-se același raport $\text{NO}_x/\text{CH}_4 = 1/2$ și temperatura gazelor la intrare în reactor, la 450°C , temperatura gazelor la ieșire din reactor, pentru fiecare coș în parte a avut valorile arătate în tabela XVIII.

Tabelă XVIII

Coșul	I	II	III	IV
Dimensiunile coșului, mm	$h = 100$ $\delta = 500$	$h = 200$ $\delta = 360$	$h = 400$ $\delta = 250$	$h = 800$ $\delta = 180$
$t^{\circ}\text{C}$ ieșire	685	645	608	580

De remarcat că temperaturile de ieșire sunt valori medii (pentru 10 ore de funcționare a reactorului). Având în vedere faptul că, conducta de evacuare a gazelor din reactor, în locul

de măsurare a temperaturii nu a fost izolată, aşa că temperatura gazelor, din interiorul conductei a fost influențată și de temperatura aerului din afară. Pentru a putea avea rezultate comparabile, urmărirea temperaturilor, pentru fiecare coș în parte, s-a făcut, pe cît a fost posibil, în aceleasi condiții de temperatură a mediului exterior.

Din datele din tabelă se observă că cea mai ridicată temperatură a gazelor, la ieșire din reactor, a fost în cazul utilizării coșului I, în care stratul de catalizator a avut cea mai mică înălțime și desfășurat pe cea mai mare suprafață. Nivelul cel mai ridicat al temperaturii denotă, că în acest caz, evacuarea căldurii de reacție de pe stratul de catalizator, se poate face cu ușurință, evitînd astfel o eventuală suprîncălzire locală a catalizatorului. De altfel, dispunerea catalizatorului într-un strat cît mai subînă, permite așezarea lui cît mai uniformă pe întreaga suprafață, ceea ce, implicit, asigură și condiții hidrodinamice favorabile pentru trecerea gazului prin stratul catalitic.

4.- Avînd determinată ca optimă temperatură, raportul NO_x/CH_4 și modul de așezare a catalizatorului, s-a trecut la stabilirea vitezei volumare maxime, în condițiile păstrării unor renunțări bune.

Așa cum s-a mai amintit, la prezentarea procedeelor de reducere a oxizilor de azot (capitolul 2), exceptînd cîteva procedee de reducere a NO_x cu NH_3 , care permite desfășurarea procesului la viteze volumare mari, $80.000-100.000 \text{ h}^{-1}$, în general toate celelalte procese au loc la viteze volumare medii ($20.000-30.000 \text{ h}^{-1}$), iar unele la viteze volumare chiar foarte mici ($5.000-7.500 \text{ h}^{-1}$).

Experimentările pentru stabilirea vitezei volumare optimă, s-au realizat în condițiile păstrării celorlalți parametri optimi: temperatură, raportul NO_x/CH_4 , etc. Rândamentele de reducere, pentru diferite viteze volumare, s-au situate în limitele prezentate în tabela XIX.

Tabelă XIX

viteză vol. h^{-1}	5.000	10.000	15.000	20.000
, %	68-70	85-87	82-86	72-75

Din datele prezentate se observă că cele mai bune răndamente s-au obținut la o viteză volumică de 10.000 h^{-1} . Scăderea răndamentului odată cu creșterea vitezei volumice este în totală concordanță cu condițiile de desfășurare ale unei reacții catalitice în fază heterogenă. În schimb, răndamentele mici, obținute la viteză volumică mică (5.000 h^{-1}), sunt contrare tuturor aşteptărilor. Făcindu-se însă, în acest condiții, analiza gazelor după reactor, s-au găsit cantități apreciabile de formaldehidă ($0,1\text{--}0,2\%$ vol.), în timp ce la viteză volumică de 20.000 h^{-1} , formaldehida abia a fost detectabilă. Înseamnă că, viteză volumică mică, respectiv și viteză liniară mică a amestecului reacțant, favorizează, prin creșterea duratei de contact a reacților, formarea formaldehidei, mai cu seamă că, în spațiul de amestecare a reacților (înainte de catalizator) sunt și celelalte condiții favorabile, respectiv temperatură suficientă și un exces de CH_4 , nereacționat încă, cu oxiziile de azot.

Prin urmare, și în situația unor viteză volumice mici, sunt create condiții favorabile pentru formarea formaldehidei, fapt ce duce la scăderea răndamentelor de reducere a oxizilor de azot.

Prin realizarea și acestor experimentări, s-a precizat și ultimul parametru pentru desfășurarea procesului de reducere a NO_x cu CH_4 , stabilindu-se că o viteză volumică de 20.000 h^{-1} este întru totul satisfăcătoare.

Experiențele efectuate în instalația pilot au demonstrat, că se pot obține rezultate la nivelul performanțelor realizate și în alte țări, utilizând chiar și un catalizator neplatinic.

Încheind prima etapă de experimentări în instalația pilot, în cadrul căreia s-au stabilit condițiile optime de desfășurare a procesului tehnologic, experimentările au continuat în vederea determinării "vieții" catalizatorului. Aceste experimentări au durat continuu (cu o singură întrerupere de 24 ore), timp de este 8 luni (respectiv 5920 ore). La încheierea acestor experimentări, catalizatorul nu a prezentat nici un semn de dezactivare, răndamentele de reducere menținându-se la valori de 70-75%, la o viteză volumică de 20.000 h^{-1} .

Se remarcă că acestași catalizator, săcă cum se vede mai departe, a fost folosit încă 4 luni și la reducerea NO_x cu amestecul de CO , CH_4 și H_2 , fără a se dezactiva. Prin urmare, se

poate afirma că, prin performanțele sale, catalizatorul poate fi situat printre cei de calitate superioară.

4.3.3. Prepararea și caracterizarea fizico-chimică a catalizatorului.

Așa cum s-a arătat (4.3.1.), cele mai bune rezultate de reducere a NO_x cu CH_4 , s-au obținut cu următorul din sistemul $\text{Fe}_2\text{O}_3 - \text{Cr}_2\text{O}_3$, raportul dintre cei doi oxizi fiind echimolecular.

În urma următoarei elaborării unei tehnologii de obținere a unui catalizator cu eficiență maximă, s-au experimentat mai multe metode de lucru utilizând diferite materii prime, cît și diverse tehnici de preparare. Aceste metode de lucru au constat în :

1.- Coprecipitarea hidroxizilor de fier și de crom din soluțiile azotașilor respectivi, cu soluții de NaOH sau NH_4OH , utilizate fie separat fiecare, fie folosind, la începutul coprecipitării, o soluție de Na_2CO_3 și continuându-se apoi precipitarea cu urmărirea soluției.

2.- Coprecipitarea hidroxizilor de fier și de crom din soluții de sulfati de fier (II) sau (III) și sulfat de crom, cu aceleși alcalii și în aceleși conciții.

În cazul ambelor metode, s-a procedat în continuare la filtrarea și spălarea precipitatelor, uscarea și calcinarea lor, măcinarea, amestecarea cu liant (grafit) și tabletarea lor.

3.- Precipitarea separată a hidroxidului de fier din soluție de sulfat de fier (II) cu soluție de carbonat de sodiu, filtrarea și spălarea precipitatului, uscarea lui, urmată de amestecarea cu amhidridă cromică, adăugându-se apă pînă la obținerea unei paste de o consistență ușor omogenizabilă prin malaxare, uscarea pastei, calcinarea ei, măcinarea și amestecarea cu grafit ca liant și, în final, tabletarea catalizatorului.

Prin aceste trei metode s-au preparat catalizatori, în care proporțiile de Fe_2O_3 și Cr_2O_3 au variat în limitele de 10-90%, (din 10 în 10 procente).

Un alt parametru care a fost schimbat, în timpul preparării catalizatorilor, a fost temperatura de calcinare, care s-a variat în limitele de $450-600^\circ\text{C}$, (temperatura de precipitare menținindu-se aceeași, în toate cazurile, la $50-55^\circ\text{C}$).

La determinarea activității catalizatorilor s-a constatat că aceasta este diferită, nu numai datorită compoziției chimice, respectiv a raportului dintre Fe_2O_3 și Cr_2O_3 , dar și datorită felului materiilor prime utilizate, cît și, în special, a modului de preparare a catalizatorilor.

Cei mai buni catalizatori, atît din punct de vedere al activității lor, dar și din punct de vedere al proprietăților fizico-mecanice, s-au obținut prin cea de a treia metodă de preparare. De altfel această metodă este și cea mai simplă, și înrind cu destulă ușurință, reproducibilitatea tuturor parametrilor necesari unui catalizator de calitate.

In cazul primelor două metode se utilizează coprecipitarea hidroxizilor de fier și de crom. Aceasta este una din cele mai pretențioase și greoale operații, avind în vedere că precipitarea celor doi hidroxizi se realizează în condiții diferite de pH. Nerespectarea acestora poate duce la dozarea necorespunzătoare a celor două elemente în produsul final, care este catalizatorul. În afară de aceasta, precipitatul de $Cr(OH)_3$ este gelatinos, fapt ce îngreunează desfășurarea următorelor operațiuni, spălarea și filtrarea lor.

Pe baza testării de laborator a tuturor catalizatorilor, preparați după diferite metode, s-a stabilit tehnologia optimă de preparare și anume :

- Precipitarea $Fe(OH)_3$ din soluție 2 n de sulfat feros cu o soluție 2 n de carbonat de sodiu, la $50-55^{\circ}C$.

- Spălarea și decantarea precipitatului. (În condiții de laborator, spălarea precipitatului s-a făcut pe filtru).

- Usocarea precipitatului, timp de 15 ore la $110^{\circ}C$.

- Amestecarea precipitatului cu anhidridă cromică, cu adăugare treptată a unor cantități de apă, pînă la obținerea unei paste omogene.

- Usocarea pastei, la aer, timp de 24 ore, urmată de calcinare ei la $560-565^{\circ}C$, timp de 6 ore.

- Măcinarea, urmată de amestecarea pulberii obținute cu 2% grafit.

- Tabletarea amestecului la o presiune de 2.500 kgf/cm^2 .

In cazul catalizatorilor testați în laborator, au fost folosite pentru prepararea lor substanțe "chimic pure", iar pentru catalizatorii utilizati în instalația pilot, puritatea mate-

milor prime a fost "tehnică", conform prevederilor STAS-urilor în vigoare.

Pentru a putea compara influența calității materiilor prime asupra eficienței catalizatorului, s-au făcut încercări în laborator, în aceleși condiții, cu catalizatorii preparați în ambele feluri de materii prime. Practic, din punct de vedere al activității, catalizatorii nu au prezentat deosebiri.

Inainte de prepararea cantității necesare de 100 kg. de catalizator, pentru instalația pilot, s-au preparat, în condiții specifice mai sus, 10 serje a către 1 kg. de catalizator, în vederea verificării reproductibilității metodei de preparare. Această verificare s-a făcut prin determinarea suprafetei specifice a catalizatorului, care pentru cele zece probe s-a situat în limitele de $19,81-20,42 \text{ m}^2/\text{g}$.

După efectuarea testărilor și verificărilor, s-a preparat o cantitate de 100 kg de catalizator, care a fost utilizat la experimentările în instalația pilot.

Caracteristicile principale ale acestui catalizator au fost:

- Suprafața specifică : $20,29 \text{ m}^2/\text{g}$.
- Densitatea reală : $3,25 \text{ g/cm}^3$.
- Densitatea aparentă : $2,34 \text{ g/cm}^3$.
- Volumul total al porilor : $3,65 \text{ cm}^3/\text{g}$.
- Raza medie a porilor : 1020 Å .
- Rezistența mecanică la despicate : 6.25 kgf/cm .

Din valorile suprafetei specifice, a volumului total al porilor și a razei medii a porilor, catalizatorul are o suprafață specifică medie, iar dimensiunea porilor este mare, în special dacă se ia în considerare faptul că din calculul distribuției procentuale a volumului porilor, în funcție de dimensiunea razei, porii cu raza de $1000-5000 \text{ Å}$, reprezintă 57%. Aceste caracteristici corespund, în bună măsură, pentru cazul catalizatorilor pentru reducerea NO_x cu CH_4 , cu satisfacerea condițiilor specificate în paragraful privind alegerea catalizatorilor (4.2.).

Determinarea suprafetei specifice s-a făcut prin adsorbția de azot, la temperatură azotului lichid, utilizând metoda BET, pe un sorptometru Perkin-Elmer. Determinarea dimensiunii porilor s-a efectuat din datele obținute cu un porozimetr cu mercur (de aceeași fabricație ca și primul aparat), cu posibilitatea de ri-

dicare a presiunii pînă la 2.000 at., respectiv înregistrarea posilor cu reza de 37,5 Ω .

Determinarea rezistenței mecanice la despicate, s-a făcut cu un aparat realizat în atelierele Centrului de Chimie din Timișoara, pe baza schitei și a unor date constructive prezentate de I. Ioffe și L. Pismen în cartea lor /336/. Valoarea de 6,25 kgf/cm a rezistenței mecanice la despicate, a catalizatorului, este superioară valorii de 5 kgf/cm, cît spreciază autorii cităti mai sus, ca foarte bună, pentru catalizatorii tabletati, fără suport. De altfel, la terminarea experiențelor în instalația pilot, tabletile de catalizator și-au păstrat geometria inițială, fără a suferi degradări.

Pentru o caracterizare mai detaliată a catalizatorului s-au mai determinat conductibilitatea electrică și susceptibilitatea magnetică, făcindu-se în același timp și analize roentgenostructurale și termogravimetrice asupra catalizatorului.

Conductibilitatea electrică a fost determinată măsurînd rezistența electrică prin intermediul a doi electrozi plani de platină, cu ajutorul echipamentului universal TESLA EM-983. Cunoscînd dimensiunile tabletelor s-a calculat conductibilitatea cu formula /337/ :

$$\tilde{\sigma} = \frac{1}{R} \cdot \frac{h}{S}, \quad (85)$$

unde :

$\tilde{\sigma}$ = conductibilitatea electrică (în $\Omega^{-1} \cdot \text{cm}^{-1}$)

R = rezistența electrică măsurată (în Ω).

h = înlătûrarea tabletelor (în cm).

S = secțiunea tabletelor (în cm^2).

Pentru o caracterizare mai completă, s-a determinat variația conductibilității electrice cu temperatură, introducînd celula de măsurare, împreună cu proba, într-un cupor termoreglat. Domeniul de variație a temperaturii a fost între 200 și 400°C . Făcind determinările în aer, urmate de determinări în curent de hidrogen, s-a putut stabili natura purtătorilor majoritari de sarcină electrică, adică tipul conductibilității. Experiențele au demonstrat că, în toate cazurile, conductibilitatea electrică în curent de hidrogen a fost cu mult mai mare decât cea în aer. Astfel, pentru temperatura de 400°C s-au obținut valori de $0,357 \Omega^{-1} \cdot \text{cm}^{-1}$ (în aer) și $2,04 \Omega^{-1} \cdot \text{cm}^{-1}$ (în hidrogen). Hidrogenul fiind donor de electroni, iar conductibilitatea electrică fiind

mai mare în hidrogen decât în aer, înseamnă că această conductibilitate este de tipul "n", adică purtătorii majoritari se sarcină electrică sănt electronii.

Susceptibilitatea magnetică (χ) s-a determinat cu ajutorul unei balanțe de torsiușe de tipul Curie-Chénéveau cu fir de quart, în domeniul de temperatură de $20-400^{\circ}\text{C}$ și respectiv în cîmpul magnetic de $350-4500$ Oe. Măsurările efectuate au fost relative, folosindu-se ca substanță etalon sarea Mohr, a cărei susceptibilitate (în u.e.m) pe gram, este :

$$\chi_g = \frac{9500}{T + 1} \cdot 10^{-6} \quad (86)$$

unde T este temperatura absolută.

Analiza termomagnetică a arătat că, catalizatorul are o comportare asemănătoare substanțelor ferromagnetice, iar din valorile mari ale diferențelor susceptibilității magnetice, față de etalon, (peste 350 u.e.m.), a rezultat, corelându-se aceaste și cu tipul "n" al conductibilității electrice, că structura catalizatorului trebuie să prezinte o fază omogenă, fie de tip spinelic, fie o soluție solidă /338/.

Analiza roentgenostructurală a demonstrat, că din punct de vedere structural catalizatorul este o soluție solidă de $\text{Fe}_2\text{O}_3 - \text{Cr}_2\text{O}_3$, în care se disting urme de CrO_3 , rămas neredus de la faza de calcinare. Efectuindu-se aceeași analiză și la probe de catalizator după utilizarea lui în instalație pilot, s-a găsit că în masa sa este prezentă magnetita (Fe_3O_4), ceea ce înseamnă că a început, în timpul explorației catalizatorului, o reducere a Fe_2O_3 la FeO . Analiza roentgenostructurală s-a făcut cu un aparat tip DRON-2.

Analiza termogravimetrică efectuată asupra probelor de catalizator proaspăt și utilizat, a confirmat în ceea mai mare măsură rezultatele analizei roentgenografice.

In figura 28, este prezentată termograma probei din catalizator nou preparat. Se observă că în intervalul de temperaturi $280^{\circ}-720^{\circ}\text{C}$ are loc reducerea CrO_3 rămas neredus la calcinare, la Cr_2O_3 , însotită de un efect endoterm. În continuare se evidențiază doar o transformare a Fe_2O_3 la forma α -hematitei, care se încheie la 860°C . La această temperatură să se putea să aibă loc și transformări texturale ale soluției solide /339/.

In figura 29, este prezentată termograma catalizatorului

utilizat. Din această termogramă se observă că în compoziția catalizatorului lipsește CrO_3 , în schimb de la 400°C , cind începe

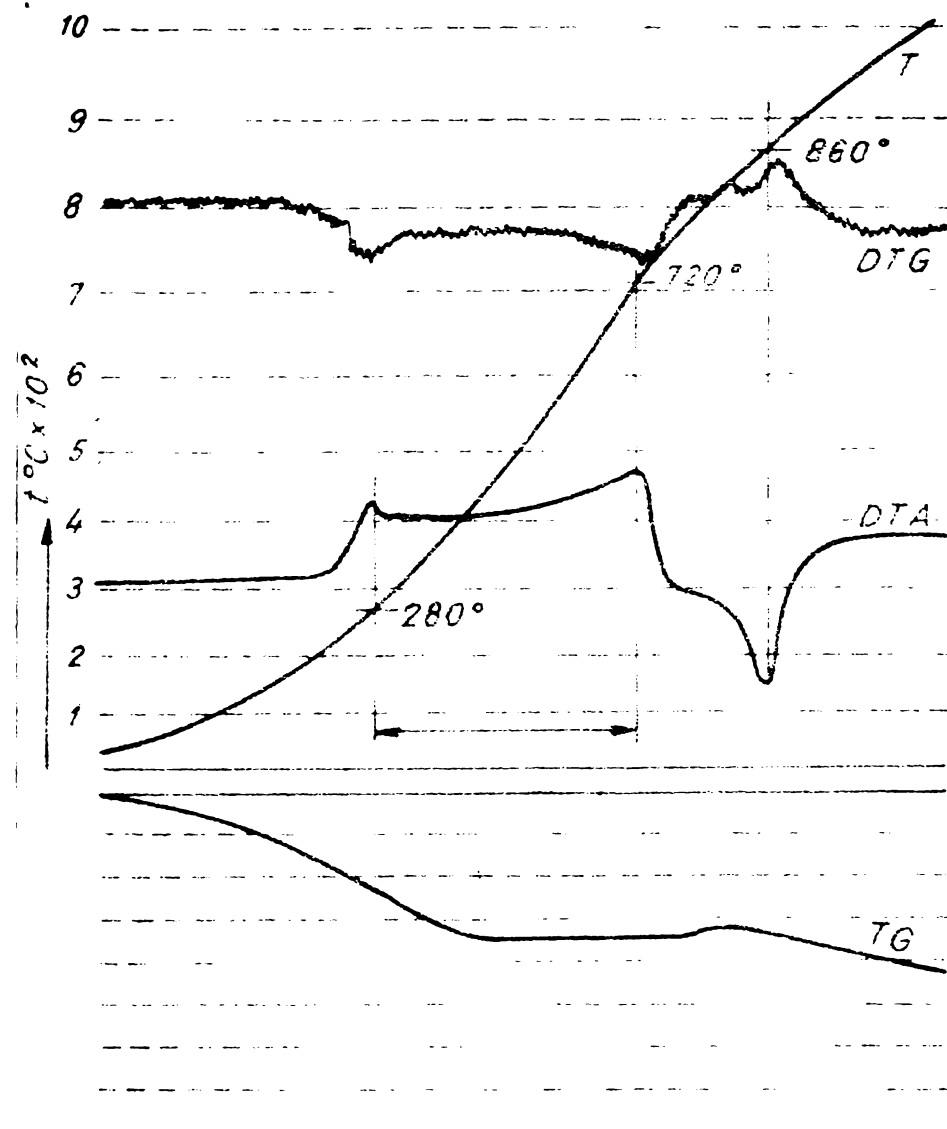


Fig.28. Termograma esantionului de catalizator proaspăt preparat.

și creșterea în greutate a probei are loc o oxidare a FeO la Fe_2O_3 , în paralel cu transformarea Fe_2O_3 la forma α a hematitei /339/.

Cum transformarea Fe_2O_3 în α -hematită este însotită de un efect endoterm foarte puternic, acesta acoperă efectul exoterm, al oxidării FeO la Fe_2O_3 .

Determinările termogravimetrice s-au efectuat pe un derivatograf tip MOM.

La încheierea experimentărilor în instalație pilot, catalizatorul prezenta următoarele caracteristici :

- Suprafața specifică : $19,87 \text{ m}^2/\text{g}$.
- Volumul total al porilor : $3,52 \text{ cm}^3/\text{g}$.
- Raza medie a porilor : $1095 \text{ } \mu$.
- Rezistența mecanică la despicate : $6,11 \text{ kgf/cm}^2$.

Din aceste date se observă că, deși supus, la începutul experimentărilor în instalație pilot, la condiții extreme de lucru, catalizatorul, la terminarea experimentărilor, practic nu a prezentat degradări, fapt ce-i conferă, în plus, calități superioare.

Transformările structurale evidențiate pe eșantioanele din catalizatorul utilizat, deși la sfîrșitul experimentărilor, să cum să arătă, nu au influențat negativ răntimentul de reducere a NO_x , dezvoltate însă în continuare, într-o proporție mai mare, ar putea, în final, să constituie o cauză importantă a dezactivării catalizatorului.

Astăzi tehnologie de reducere, cît și catalizatorul, au fost brevetate /340/.

În vederea întocmirii unui studiu tehnico-economic, pe baza datelor obținute în instalație pilot, Institutul de Inginerie Tehnologică și Proiectări pentru Industria Chimică din București, a elaborat un proiect pentru o instalație industrială, cu un debit de $20,000 \text{ m}^3/\text{h}$ de gaze nitroase. Reactorul catalitic a fost prevăzut să funcționeze în două trepte de reducere. Din proiectul realizat, a rezultat că în cazul unei instalații pentru un astfel de debit de gaze nitroase, datorită exotermicității reacțiilor de reducere, se poate recupera, pentru diferite scopuri, o cantitate de energie calorică de 18.500 Gcal/an. O parte din această energie este utilizată pentru preîncălzirea gazelor nitroase, după amorsarea reacției.

4.4. Reducerea NO_x cu un amestec reducător, conținând CO , CH_4 și F_2 .

Cu ocazia omologării tehnologiei de reducere catalitică a NO_x cu CH_4 , ce a avut loc la C.I.Ch. Tîrgu-Mureș, la care au participat reprezentanți ai combinaților producătoare de acid ozotic,

ai Centralei Industriale pentru Ingrășăminte Chimice Craiova și Ministerului Industriei Chimice, s-a hotărât continuarea cercetărilor de reducere catalitică a oxizilor de azot, utilizând ca reducător, gazul rezidual combustibil, rezultat la fabricarea amoniului (gazul de parjă), care conține pe lângă N_2 și H_2 , CO și CH_4 . Această hotărrire s-a luat cu scopul de a înlătui, total sau parțial, gazul metan drept agent reducător, în vederea micșorării costurilor de exploatare.

Cercetările au fost efectuate atât în condiții de laborator, cât și în instalația pilot, utilizând atât catalizatorul experimentat la reducerea NO_x cu CH_4 , cât și un catalizator terner pe baza de $Fe_2O_3 - Cr_2O_3 - MnO_2$. Introducerea în compozitia catalizatorului a MnO_2 , s-a făcut avându-se în vedere atât unele recomandări din literatura de specialitate /341,342/, conform cărora MnO_2 prezintă o deosebită activitate pentru reacția :



cî și, în special, posibilitatea unei eventuale valorificări a nămolului cu conținut de oxizi de fier și mangen, rezultate la deferizare și demanganizare apei de adâncime, la Uzina de apă potabilă Nr.1 din Timișoara.

Compoziția gazului rezidual combustibil, existent pe platforma industrială la C.I.Ch. Tîrgu-Mureș, prezintă foarte mari, variații, între următoarele limite (în % vol.) :

CO - 10 - 20%

H_2 - 1,5 - 5,5%

CH_4 - 1,5 - 5 %

N_2 - rest

cu frecvență maximă de :

CO - 15 - 17%

H_2 - 2,5 - 3%

CH_4 - 2 - 3,5%

N_2 - rest

Avînd în vedere că oxidul de carbon este principala componentă reducătoare, în cea mai mare proporție, testarea catalizatorilor în instalația de laborator s-a făcut utilizând, în reacția de reducere a oxizilor de azot, numai oxidul de carbon, ca agent de reducere. Oxidul de carbon s-a obținut prin reacția acidului formic cu acid sulfuric, într-o instalație identică cu cea

prezentată la prepararea oxizilor de azot.

4.4.1. Rezultatele experimentale obtinute cu instalatia de laborator.

Cercetările privind reducerea catalitică a NO_x cu CO, au fost efectuate în prima variantă a instalației de laborator, cu funcționare discontinuă, în circuit închis (fig.6). Urmărirea desfășurării reacției s-a făcut prin înregistrarea scăderii presiunii în instalație, datorate faptului că atât reacțiile de reducere a NO_x cu CO, cât și cea dintre CO și O_2 , su loc cu micșorarea de volum.

Ca și în cazul reducerii NO_x cu CH_4 , prin experimentările efectuate, în laborator, s-a urmărit :

- stabilirea raportului optim între reactanță,
- determinarea temperaturii optime de preîncălzire a gazelor nitroase,
- testarea catalizatorilor, în vederea aprecierii celor mai bune performanțe ale acestora.

Compoziția gazelor nitroase cu care s-au efectuat experimentările, s-a menținut în aceleasi limite ca și în cazul reducerii NO_x cu CH_4 , și anume :

$$\begin{aligned}\text{NO}_x &= 3500 - 3800 \text{ ppm} \\ \text{CO} &= 3,0 - 3,2 \text{ vol.} \\ \text{N}_2 &= \text{rest}\end{aligned}$$

Celelalte condiții de lucru, luând în considerare și recomandările din literatura de specialitate consultată, au fost :

- Temperaturile de preîncălzire a gazelor : 200, 250, 300, 350, 400°C.
- Raporturile NO_x/CO , în % vol: 1/1, 1/1,5, 1/2, 1/2,5, 1/3.
- Raportul O_2/CO , în % vol: stoichiometric (cu exces maxim de 10% CO).
- Viteza volumică, în toate cazurile, s-a menținut aceeași, și anume : 9.000 h^{-1} .

Catalizatorii testați au fost :

- a) Catalizatorul binar $\text{Fe}_2\text{O}_3 - \text{Cr}_2\text{O}_3$, (aceeași catalizator cu care s-au efectuat experimentările în instalația pilot, la reducerea NO_x cu CH_4).
- b) Catalizatorul ternar $\text{Fe}_2\text{O}_3 - \text{Cr}_2\text{O}_3 - \text{MnO}_2$. Acesta a fost

astfel preparat, încât în compoziția sa, raportul $\text{Fe}_2\text{O}_3/\text{Cr}_2\text{O}_3$ să fie echimolecular, iar MnO_2 reprezinta, în jur de 4% față de greutatea totală, această proporție rezultând din cantitatea medie de mangan existentă în mămolul oxidic. Prepararea și caracterizarea catalizatorului vor fi prezentate în paragraful 4.4.3.

Ambii catalizatori au prezentat o activitate foarte bună, rândamentele de reducere, utilizând catalizatorul ternar, fiind cu 3-5% superioare celor obținute cu catalizatorul binar.

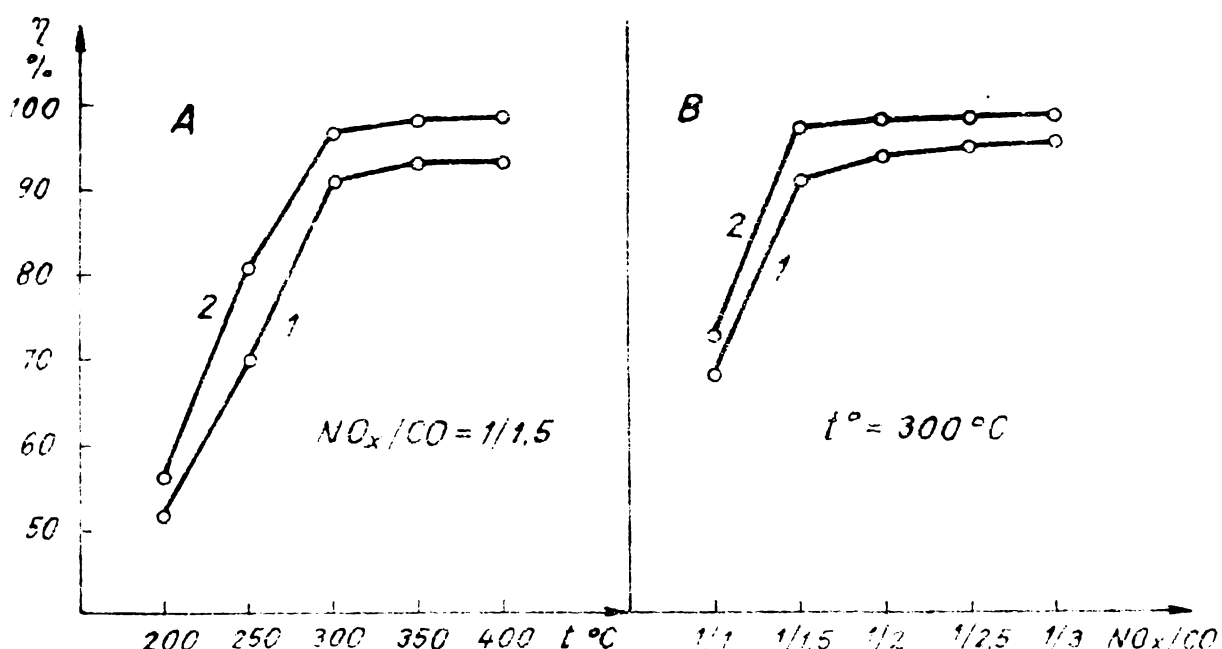


Fig.30.- Rândamentele de reducere în funcție de temperatură (A) și de raportul NO_x/CO (B).

In figura 30 este redată, grafic, variația rândamentelor în funcție de temperatură, pentru același raport NO_x/CO (A) și în funcție de raportul NO_x/CO , pentru aceeași temperatură (B). Curbele (1) se referă la catalizatorul binar, iar curbele (2) la cel ternar. Din grafice se observă că la un raport $\text{NO}_x/\text{CO} = 1/1,5$ și o temperatură de 300°C , pe ambi catalizatori se obțin rândamente de reducere de peste 90%. Ridicarea temperaturii, cît și a proporției de CO în continuare, are o influență foarte mică asupra creșterii rândamentelor de reducere.

4.4.2. Rezultatele experimentale obținute în instalația pilotă

Rezultatele obținute în instalația de laborator, au consti-

tuit doar date orientative asupra posibilităților de reducere a oxizilor de azot cu un amestec de gaze reducătoare, deoarece condițiile de lucru în instalația pilot, au fost cu mult diferite față de aceeaice să-a putut asigura în laborator. Ele, totuși, au permis restrîngerea numărului de experimentări în instalația pilot, fiind în același timp și date de comparație pentru rezultatele obținute cu această instalație.

La efectuarea experiențelor cu instalația pilot, de la început, au apărut două situații de care a trebuit să se țină cont pe tot parcursul experimentărilor, și anume :

1.- Componentele reducătoare (CO , H_2 și CH_4) din gazul combustibil, așa cum s-a arătat, prezintă variații, în limite largi, a proporțiilor în care se aflau în acest gaz, ceea ce îngreuna dozarea lor corectă pentru desfășurarea reacției, fapt ce se resfingea și asupra rendamentelor. Pentru a avea rezultate edificate și comparabile privind rendamentele de reducere, a fost necesar să se efectueze permanente analize asupra gazului combustibil și să se corecteze dozajul reactanților, pe cît a fost posibil, în cel necesar.

2.- Din prezentarea compozitiei gazului combustibil, se observă că, în total, componentele reducătoare reprezintă, maximum 30,5%, restul fiind gazul inert, azotul. Pentru a putea obține rapoarte necesare între oxizii de azot și componente reducătoare, lucrând la capacitatea maximă a instalației pilot ($200 \text{ Nm}^3/\text{h}$), a fost necesar ca, în funcție de compozitie gazului combustibil și a raportului dorit între reactanți, să se utilizeze un debit de gaz combustibil de $30\text{--}90 \text{ Nm}^3/\text{h}$. Această fapt ducea la o diluție și mai mare a reactanților în amestecul gazos, supus reducerii. Astfel, dacă în cazul reducerii NO_x cu CH_4 , totalul componentelor reactante ($\text{NO}_x + \text{O}_2 + \text{CH}_4$) din amestecul gazos, reprezinta o proporție de 7-8%, în cazul reducerii oxizilor de azot cu gazul combustibil, această proporție era de numai 2-4%. Această diluare a reactanților a avut o influență directă atât asupra desfășurării procesului de reducere, cît și asupra rendimentului.

Graficul din figura 31 redă variația rendamentelor de reducere în funcție de cantitatea totală a componentelor reducătoare, pentru următoarele condiții de lucru :

- temperatură de preincălzire a amestecului reactant: 300°C ,

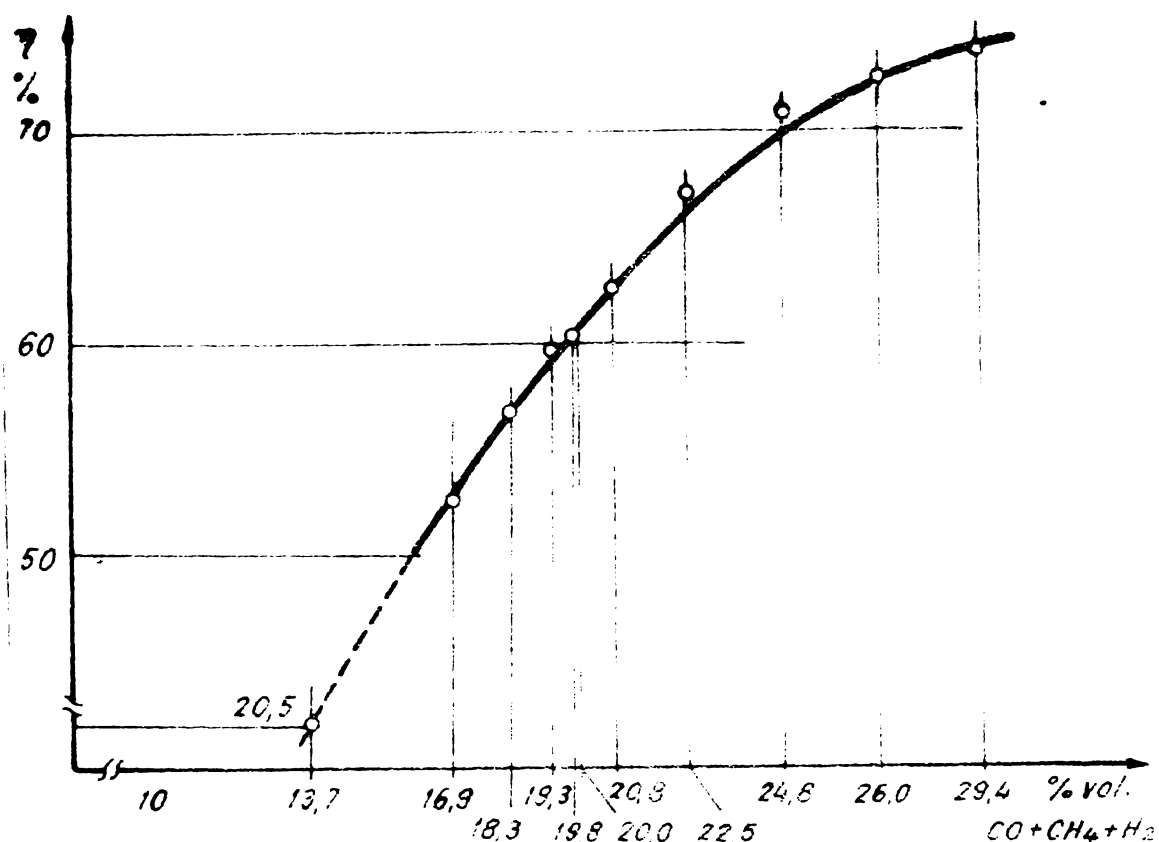


Fig.31. Variatia randamentului in functie de cantitatea totala a componentelor reducatoare.

- viteza volumară : 20.000 h^{-1} ,
- raportul $\text{NO}_x/\text{CO} + \text{H}_2 + \text{CH}_4$, % vol : $1/2$
- raportul $\text{O}_2/\text{CO} + \text{H}_2 + \text{CH}_4$, in % vol : $5-10\%$

exces de componente reducatoare, fata de stoichiometric.

Din grafic se observă că la o concentrație totală a componentelor reducatoare, mai mică de 20%, randamentele se situează sub 60%. Pentru a obține randamente peste această valoare, a fost necesar fie să se măsoareze viteza volumară, fie să se ridice temperatura de preincălzire a amestecului reactant, această din urmă măsură având însă o eficiență mică. Modificând raportul $\text{NO}_x/\text{CO} + \text{H}_2 + \text{CH}_4 = 1/2$, în sensul creșterii cantității de componente reducatoare, nu a dus, ca și în cazul experimentelor de laborator, la o creștere a randamentelor. Din contra, modificarea raportului, ceea ce cum s-a arătat mai sus, însemna mărirea de-

bitului de gaz combustibil și micșorarea celui de gaze nitroase, pentru a menține un debit total de $20 \text{ m}^3/\text{h}$. Această operațiune determină, implicit, o diluare și mai mare a componentelor reacțante, ducând la scăderea răndamentelor.

Pe baza rezultatelor experimentale obținute în instalația pilot, s-au putut stabili, în situația existenței unei cantități totale de 25-30% componente reducătoare în gazul combustibil, următoarele condiții de lucru :

- Temperatura de preîncălzire a amestecului reactant :
 $300 - 350^\circ\text{C}$.
- Raportul $\text{NO}_x/\text{CO} + \text{H}_2 + \text{CH}_4$, în % vol: $1/1,5 - 1/2$.
- Raportul $\text{O}_2/\text{CO} + \text{H}_2 + \text{CH}_4$, în % vol: stoichiometric (cu exces maxim de 10% de componente reducătoare).
- Viteza volumică : 20.000 h^{-1} .

În aceste condiții s-au obținut și răndamente bune de reducere a oxizilor de azot de 72-77%.

Experiențele în instalația pilot, au demonstrat că există posibilități reale de a utiliza gazul combustibil drept agent de reducere a oxizilor de azot. Deși, însă, variației foarte mari a compoziției acestui gaz, conducedrea, cu rezultate eficiente, a unui astfel de proces tehnologic, reclamă atât o supraveghere continuă a desfășurării sale, cît și un înalt grad de automatizare a instalației, pentru a putea asigura o corelare rapidă a unor parametri de lucru (temperatura, viteza volumică) cu variația concentrației de componente reducătoare din gazul combustibil.

Pentru a diminua aceste greutăți în desfășurarea procesului tehnologic, experiențele au continuat să răndamentă concentrarea componentelor reducătoare, din gazul combustibil, prin adăugarea suplimentară de gaz metan. Creșterea conținutului de metan în compoziția gazului combustibil, a tras după sine însă, necesitatea ridicării temperaturii de preîncălzire a amestecului reactant. Astfel, dacă la un conținut de 10% CH_4 , temperatura de preîncălzire putea fi menținută la $300-350^\circ\text{C}$, pentru un conținut de 50% CH_4 , temperatura a trebuit să fie ridicată la $400-450^\circ\text{C}$, pentru a obține un răndament de reducere a oxizilor de azot de peste 70%.

Ridicind conținutul de metan în gazul combustibil la 50%, concentrația componentelor reducătoare a crescut de la 30% la 75-80%, ceea ce a creat condiții mult mai ușoare pentru desfășu-

rarea procesului tehnologic, în primul rînd prin asigurarea posibilității de dozare mai precisă a reacționilor, variația concentrațiilor de CO și H₂ din gazul combustibil ne mai avînd o influență decisivă asupra rendamentului de reducere.

Astfel, în final, prin cercetările efectuate s-a putut preciza că cel mai rational este să se utilizeze gazul combustibil în amestec cu metan, realizîndu-se prin aceasta atît valorificarea superioară a gazului combustibil (care în mod obișnuit se arde la faclă) cît și o reducere a consumului de gaz metan, față de cazul că acesta s-ar utiliza singur, ca agent de reducere a oxizilor de azot.

Toate experiențele privind reducerea oxizilor de azot cu gazul combustibil, s-au efectuat pe catalizatorul binar (Fe₂O₃-Cr₂O₃), care, aşa cum s-a mai precizat, a mai fost exploarat timp de peste 8 luni de zile, la reducerea NO_x cu CH₄.

Să la sfîrșitul acestor lîn urmă experimentări, care au durat aproape 4 luni de zile, catalizatorul nu a prezentat, încă, semne de dezactivare, rendamentul de reducere menținîndu-se 70-75%.

In etapa următoare a cercetărilor s-a trecut la experimentarea noului catalizator ternar (Fe₂O₃ - Cr₂O₃ - MnO₂), preparat aşa cum s-a mai precizat, utilizînd nămulul rezultat la deferizare și demanganizarea apei.

Însurînd condiții optime de experimentare, primele rezultate obținute cu noul catalizator, au fost superioare celor obținute pe catalizatorul binar.

Astfel, luînd în următoarele condiții :

- temperatura de preîncălzire a amestecului reactant : 400-450°C,
- raportul NO_x/CO + H₂ + CH₄ (unde conținutul cu CH₄ a fost ridicat la 50%), în % vol: 1/1,5 - 1/2,
- raportul O₂/CO + H₂ + CH₄, în % vol: stoichiometric,
- viteza volumică : 20.000 h⁻¹,

rendamentul de reducere a oxizilor de azot, s-a situat la valori de 82-85%.

Continuînd însă experimentările, după cca. 800 ore de exploatare a noului catalizator acesta a început să se dezactiveze, rendamentele de reducere scăzînd continuu astfel că după încă 200 de ore de exploatare, ele să ajungă la valori de 30-35%. Orice

schimbare a condițiilor de luor, prin modificarea vitezelor, volumare a temperaturilor și preîncălzire, sau a rapoartelor între reactanți, nu a avut un efect pozitiv asupra rendementelor.

In această situație, experiențele au fost opriite, s-au scos probe de catalizator din reactor și s-au supus unui studiu pentru elucidarea dezactivării sale.

4.4.3. Prepararea și caracterizarea fizico-chimică a catalizatorului ternar.

Pentru prepararea catalizatorului ternar, în vederea experiențelor în instalație pilot, ca materii prime s-au folosit :

- anhidrida cromică, de puritate "tehnică",

- nămolul oxidic de fier și mangan, rezultat, așa cum s-a mai precizat, la defeinizarea și demanganizarea apei subterane, la uzina de apă Nr.1 din Timișoara.

Colectarea acestui nămol oxidic, la uzina de apă, se face cu ocazia spălării filtrelor cu coes și a celor cu nisip, depozitarea lui făcindu-se spoi în aer liber, în haldă.

Inainte de a-l utiliza la prepararea catalizatorului, nămolul a fost supus unei uscări, timp de 10 ore la 110°C , măcinări și spoi sitări pe o sită cu ochiuri de 0,5 mm. După aceste operații, s-a efectuat analiza chimică, stabilindu-se, pe 10 probe, următoarea compoziție medie (în % masă) :

Fe - 37%

Mn - 7,2%

SiO_2 - 2,6%

Coes - 1,8%

Ultile două componente provin din filtrele de nisip și coes, antrenate cu apa de spălare.

In continuare, după amestecarea nămolului oxidic cu anhidrida cromică, s-au efectuat aceleși operații și în aceleși condiții, ca și la prepararea catalizatorului binar.

Catalizatorul ternar, înainte de a fi amestecat cu grafit (ca liant) și tabletat, a fost din nou supus unei analize chimice, în vederea verificării finale a compoziției sale. S-au stabilit următoarele :

- $\text{Fe}_2\text{O}_3/\text{Cr}_2\text{O}_3$: aproximativ echimolecular (0,93/1).
- MnO_2 : 3,95% (fără de greutatea totală a probei).

- $\text{SiC}_2 + \text{Coes}$: 3,2% (de asemenea față de greutatea totală a probei).

După tabletare, catalizatorul ternar a avut următoarele caracteristici :

- Suprafața specifică : 24,74 m^2/g .
- Densitatea reală : 3,02 g/cm^3 .
- Densitatea aparentă : 1,97 g/cm^3 .
- Volumul total de pori : 4,25 cm^3/g .
- Raza medie a porilor : 3160 Å.
- Rezistența mecanică la despicate : 5,1 kgf/cm .

Analiza roentgenografică a arătat că structural, catalizatorul este o soluție solidă de $\text{Fe}_2\text{O}_3 - \text{Cr}_2\text{O}_3$, alături de care se disting CrO_3 neredus, MnO_2 și α - quart. S-a mai stabilit că, în structura catalizatorului, alături de faze cristaline, există și o fază amorfă. Conform părerii lui J.-E. Germain /343/, acest fapt poate influența activitatea catalizatorului în două moduri :

- fiecare fază are centri activi proprii, iar prin această "eterogenitate" a naturii centrilor activi, favorizează mai multe reacții paralele, sau successive,
- fază amorfă constituie suport pentru ceea cristalină și prin dispersia mai înaintată a acesteia favorizează reacția principală (în cazul de față ar putea fi reacția de reducere a oxidului de azot).

Caracteristicile catalizatorului ternar, și în special suprafața specifică mai mare, decât la catalizatorul binar, prezența MnO_2 și a fazelor amorse în structură catalizatorului, cît și unele diferențe de textură (porozitatea și raza medie a porilor mai mari decât la catalizatorul binar), constituie tot atâta argumente pentru activitatea mai bună a catalizatorului ternar, față de celui binar.

Ceroetând cauzele dezactivării catalizatorului ternar, la deschiderea reactorului s-a observat, ca o prima constatare, degradarea mecanică înaintată a catalizatorului, o parte însemnată a acestuia pierzindu-se prin antrenarea, de către gaze, a profului rezultat din sfârșirea tabletelor.

Măsurindu-se rezistența mecanică la despicate la tabletetele la care s-a mai putut face aceasta, s-a constatat o scădere foarte mare a rezistenței mecanice de la o medie de 5,1 kgf/cm , la maximum 1,5 kgf/cm .

Suprafața specifică, aşa cum era de așteptat, a crescut (de la $24,74 \text{ m}^2/\text{g}$ la $35-37 \text{ m}^2/\text{g}$), datorită sfârșimării tabletelor. Din cauza ocluziunii golurilor dintre tablete de către aceste sfârșimări și praful format, s-au creat, în același timp, "găuri" în stratul catalitic, prin care gazele circulau în mod preferențial cu viteză multă marită, condițiile hidrodinamice de trecere a gazului prin stratul de catalizator, devenind astfel totul nefavorabile pentru buna desfășurare a reacției de reducere.

Analiza roentgenografică a catalizatorului dezactivat a arătat că în structura acestuia nu s-au produs schimbări deosebite. Ca și în cazul catalizatorului binar, în structura catalizatorului ternar a apărut o fază nouă și anume magnetita, $\text{FeO} \cdot \text{Fe}_2\text{O}_3$, formată prin reducerea unei părți din Fe_2O_3 la FeO). În structura catalizatorului nu s-a mai putut evidenția prezența CrO_3 .

De asemenea, analiza termogravimetrică efectuată asupra catalizatorului ternar, nu a putut explica vreodată cauză a dezactivării catalizatorului.

În figura 32 se prezintă termoograma unei probe din catalizatorul dezactivat, din care se observă existența unui efect endoterm la 540°C și care se doboarează unei transformări reversibile de polimorfism (enantiotropă) a fazei inactive :



care are loc la $537-575^\circ\text{C}$, în funcție de granulația acestuia /339-344/.

Efectul termic de la 880°C să ar putea datora unei transformări texturale a soluției solide, sau a formării formei a hematitei. Deoarece la această temperatură are loc și o creștere în greutate a probei (curba TG), aceasta să ar putea datora reoxidării FeO la Fe_2O_3 .

Că urmare a celor prezentate se poate conchide că dezactivarea catalizatorului nu s-a datorat unor transformări structurale sau a schimbării compoziției chimice, ci doar unei degradări mecanice înaintate. Experiențele efectuate, cu catalizatorul ternar, au dovedit, totuși, că nămolurile, oxidice pot constitui materiala primă pentru fabricarea catalizatorului, cu condiția găsirii unor posibilități adecvate de liere a pulberii de catalizator, pentru a obține tablete care să nu se degradaze la solicitări termice.

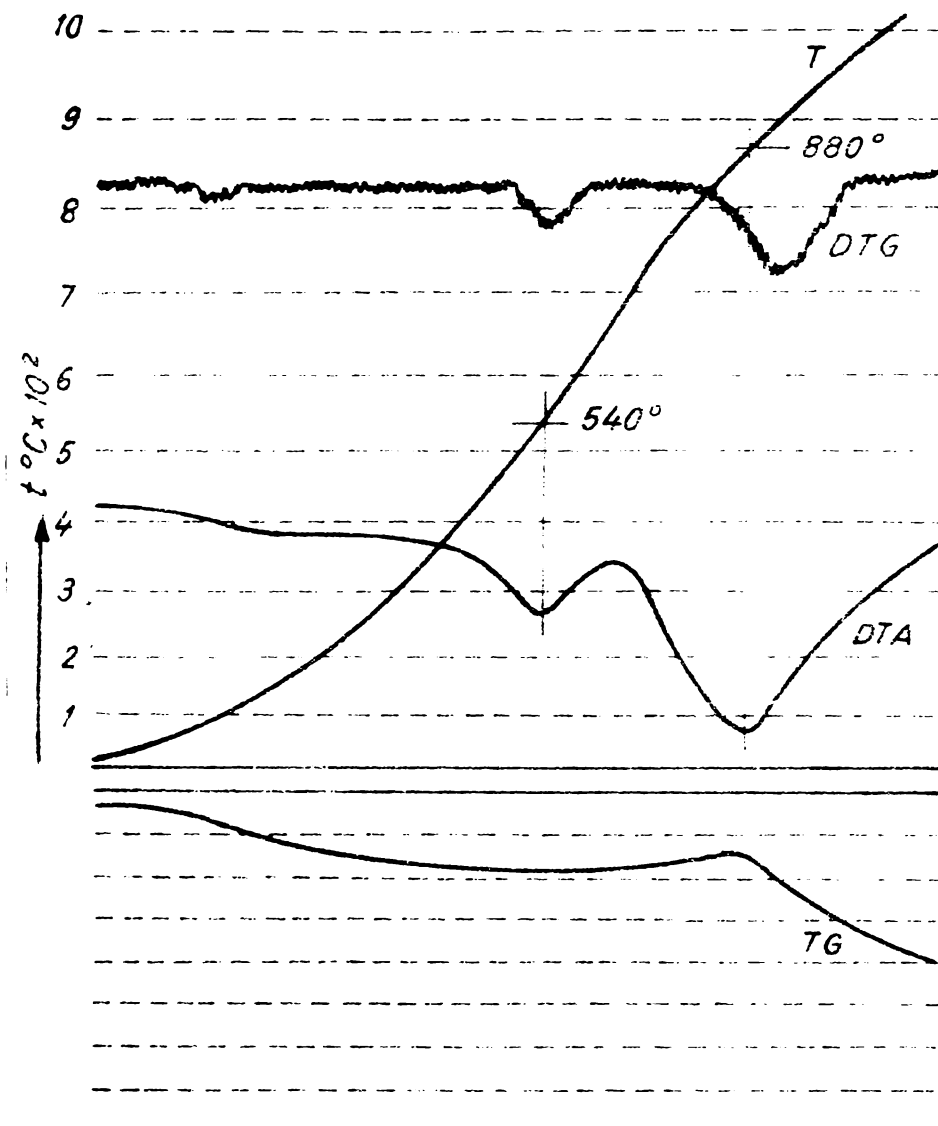
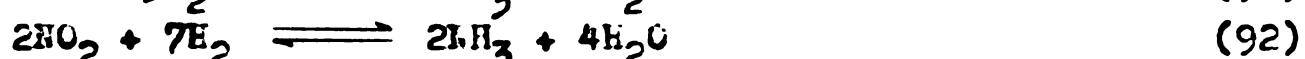
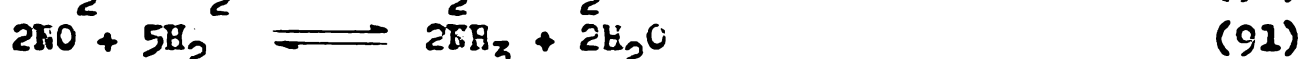
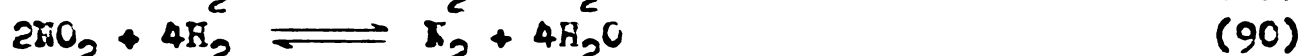


Fig.32. Termogramă a unei probe din catalizatorul dezactivat.

4.5. Reducerea NO_x cu H_2 .

In paragraful 4.1., privind consideratiile termodinamice asupra reacțiilor de reducere a oxizilor de azot, s-a arătat că la reducerea NO_x cu H_2 , pot avea loc următoarele reacții :



Din studiul condițiilor de desfășurare a celor 4 reacții de mai sus, s-a dedus, în același paragraf, că primele două reacții (89,

90) - cele utile - sunt favorizate de temperaturi ridicate, presiuni joase și de concentrații de hidrogen mai mici. În cercetările efectuate s-a pus problema stabilirii condițiilor cinetice, și își primul rînd a găsirii unui catalizator selectiv, astfel ca reacțiile 89 și 90 să zibe loc cu preponderență față de reacțiile 91 și 92, asigurîndu-se, prin aceasta, o rezoluare eficientă a gazelor nitroase.

șă cum s-a arătat (cap.2), literatura de specialitate prezintă o gamă largă de catalizatori (metale platinice, aliaje metalice, oxizi metaliici, în special, ai metalelor tranziționale), care pot fi utilizati la reducerea NO_x cu H_2 . De la bun început, din motive economice, s-a renunțat la utilizarea unor catalizatori platinici, sau pe bază de aliaje metalice (care sunt materiale energointensive), orientîndu-se cercetările spre găsirea unui catalizator oxidic de are eficiență /345/.

Avînd, însă, la dispozitie și un catalizator platinic industrial, ($\text{Pd}/\gamma - \text{Al}_2\text{O}_3$), și pe care literatura de specialitate îl prezintă ca unul din cei mai buni catalizatori pentru reducerea NO_x cu H_2 , au fost efectuate experiențe și cu acest catalizator, pentru a avea date cu care să se compare rezultatele obținute pe catalizatori oxidici și să se poată aprecia eficiența acestor catalizatori.

4.5.1. Rezultatele experimentale obținute cu instalația de laborator cu funcționare discontinuă (varianta modificată).

Descrierea și modul de funcționare al instalației au fost prezentate în paragraful 3.1.1.3. Instalația (fig.1c), poate să funcționeze atât în circuit închis, cât și în circuit deschis cînd produsii de reacție pot fi eliminate în exterior. Urmărirea desfășurării reacției se poate face, fie prin înregistrarea variației temperaturii în reactor, în fumotie de timp (circuit închis), fie prin prelevarea probelor, analiza lor și determinarea rendemntului de reducere (circuit deschis).

În figura 33 se prezintă grafic modul de desfășurare a reacției, în prima variantă de mai sus, pentru 3 cazuri concrete și anume :

- Curba 1 : reducerea NO_x la 350°C , pe cromit de cupru.
- Curba 2 : reducerea NO_x la 250°C , pe același catalizator.

- Curba 3 : reducerea NO_x la 350°C , pe $\text{Cr}_2\text{O}_3 - \text{ZnO}$.

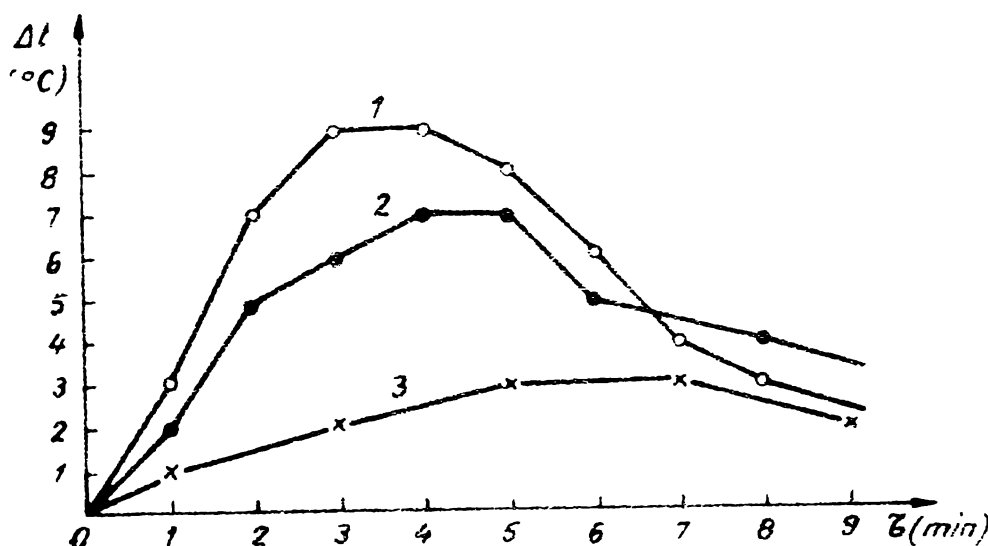


Fig.33. Varietățile temperaturii în reacțor, la reducerea NO_x pe diversi catalizatori.

Din acest grafic, se poate observa că activitatea catalizatorului de oromit de cupru este superioară celui pe bază de $\text{Cr}_2\text{O}_3 - \text{ZnO}$. În același timp, dacă se face raportul între diferența maximă de temperatură stinsă în reacțor (Δt) și interbelul de timp (Δt) în care s-a obținut această diferență, atunci din valoarea acestui raport $\Delta t/\Delta t$ ($^\circ\text{C}/\text{min}$), corelată cu temperatura de preîncălzire, respectiv cu raportul NO_x/H_2 , se poate stabili în ce condiții, reacția se petrece mai rapid sau mai lent. Pentru cazul de mai sus, se poate arăta că, la $\Delta t/\Delta t = 9/3 = 3^\circ\text{C}/\text{min}$ (curba 1) și $\Delta t/\Delta t = 7/4 = 1,75^\circ\text{C}/\text{min}$ (curba 2), pentru același raport NO_x/H_2 , reacția de reducere, pe catalizatorul de oromit de cupru, se desfășoară mai repede la 350°C decât la 250°C . Acest sistem de urmărire a desfășurării reacției, a permis o pretestare rapidă a catalizatorilor preparați.

4.5.1.1. Reducerea NO_x cu H_2 pe catalizatorul de $\text{Fd}/\text{Al}_2\text{O}_3$ Experiențele de reducere a NO_x cu H_2 pe catalizatorul de $\text{Fd}/\text{Al}_2\text{O}_3$, s-au efectuat, lucrindu-se cu instalație care asigură un proces în circuit deschis, pentru a putea urmări, prin analiza produsilor de reacție, atât a rendementului de conversie a NO_x , cât și a proporției de NO_x reduși pînă la amoniac.

Condițiile de lucru au fost următoarele :

- Temperatura de preîncălzire : 150, 250 și 350°C .
- Raportul NO_x/H_2 , în % vol: 1/1,25, 1/1,5, 1/2, 1/2,5 și 1/3,5.
- Raportul O_2/H_2 , în % vol, stoichiometric.
- Viteza volumară : 10.000 h^{-1}
- Compoziția gazelor nitrocase :
 - $\text{NO}_x = 35.0 - 3800 \text{ ppm}$.
 - $\text{O}_2 = 3 - 3,2 \% \text{ vol}$.
 - $\text{H}_2 = \text{rest}$.

Diagrama din figura 34, reprezintă sugestiv rezultatele obținute. Se observă că atât temperatura cît și raportul NO_x/H_2 au

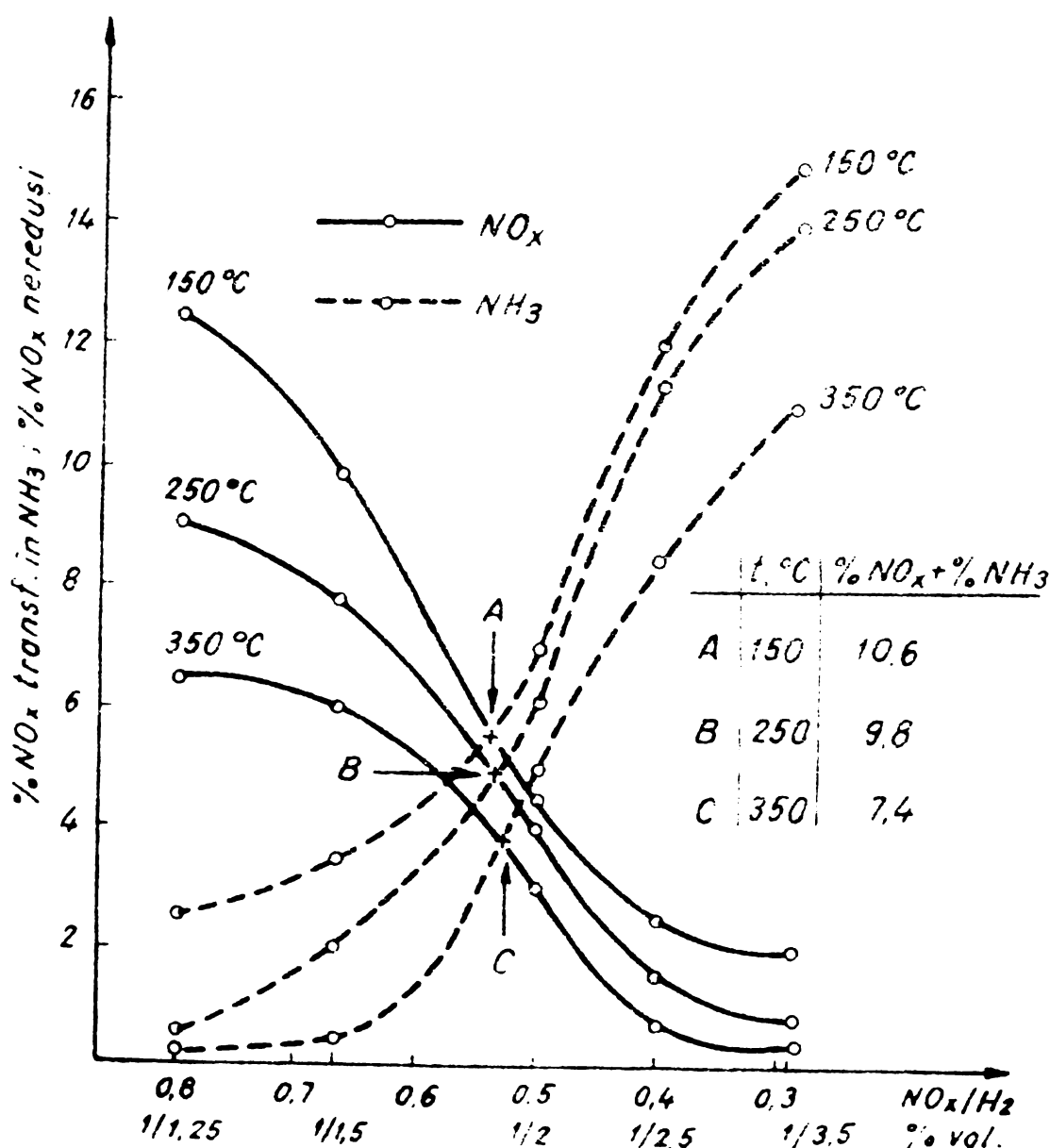


Fig. 34. Reducerea NO_x cu H_2 , în funcție de t° și rap. NO_x/H_2 .

o influență pregnantă asupra desfășurării reacției de reducere, cei doi parametri fiind într-o strinsă interdependență. Astfel, odată cu creșterea concentrației de hidrogen, rendementul global de reducere a NO_x crește (proporția de NO_x nereduși micșorină-se continuu), crescând totodată și cantitatea de NH_3 format la reducere. În ceea ce privește temperatura, creșterea acesteia influențează pozitiv rendamentul global, micșorind, în același timp, cantitatea de NH_3 ce se formează.

Jin diagramă se observă, ca și la un report de NO_x/H_2 aflat între 1/1,5 și 1/2, pentru fiecare din cele trei temperaturi, există un grad minim de poluare, acesta fiind exprimat prin suma procentelor de NO_x nereduși și NH_3 format. Optimal se obține în punctul "C" (fig. 54) și anume pentru temperatură de 350°C și un report NO_x/H_2 foarte apropiat de 1/2, său suma $\% \text{NO}_x + \% \text{NH}_3$ reprezintă 7,4% vol. În condițiile menționate, așa cum tot din diagramă se poate observa, rendamentul de reducere a NO_x se situează la peste 96%.

Mărimind viteza volumară de la 10.000 h^{-1} la 15.000 h^{-1} s-a observat o scădere a cantității de NH_3 format, în același timp însă scăd și rendamentul total de conversie a NO_x . Concret pentru temperatură de 350°C și raportul $\text{NO}_x/\text{H}_2 = 1/2$, cantitatea de amoniac formată s-a căzut cu 25-30%, iar rendamentul a căzut de la 96% la 90-92%.

Datele obținute au confirmat experimental, atât cele cîteva considerente teoretice, făcute la începutul acestui capitol, cât și unele date din literatură.

4.5.1.2. Reducerea NO_x cu H_2 pe catalizatori oxidici. Pe baza recomandărilor din literatură, cât și pe baza considerențelor prezentate în paragraful privind alegera catalizatorilor (4.2) au fost testați un număr de 26 catalizatori potențiali. Sistemele oxidice din care s-au preparat catalizatorii sunt prezentate în tabelă XX.

Tabelă XX

Nr. art.	Sistemul oxidic	Nr. cataliz. preparări
0	1	2
1	$\text{Cr}_2\text{O}_3 - \text{CuO}$	9

0	1	2
2 Cr_2O_3 - CuO activat cu 2,4,6,8 și 10% ZnO		5
3 Cr_2O_3 - $\text{CuO} - \text{ZnO}$		1
4 Cr_2O_3 - NiO		1
5 Cr_2O_3 - Fe_2O_3		3
6 Cr_2O_3 - MnO_2		1
7 Cr_2O_3 - ZnO		1
8 Cr_2O_3 - Fe_2O_3 - ZnO		1
9 Cr_2O_3 - Fe_2O_3 - MnO_2		1
10 $(\text{CuCr}_2\text{O}_4)$		2
11 Magnetita ($\text{FeO} \cdot \text{Fe}_2\text{O}_3$)		1

Supă cum se vede din tabela de mai sus, în afară de un singur sistem oxidic (magnetita), celelalte sisteme au, toate, în compoziția lor trioxidul de dicrom (Cr_2O_3). Această alegere s-a făcut în mod liberat, având în vedere că Cr_2O_3 este o componentă a multor catalizatori de hidrogenare.

Catalizatorii preparați în moduri mai lăre, din aceleși sistem oxidic, și feră între ei prin tehnologia de preparare, materiale prime de la care s-a pornit și, în unele cazuri, prin compoziția lor chimică cantitativă. Acești catalizatori au fost supuși unor preșteri, în condițiile în care, pe catalizatorul $\text{Al}/\text{Al}_2\text{O}_3$, s-au obținut cele mai bune rezultate. Pe baza acestor preșteri au fost reținuți, în vederea încercărilor ulterioare, un număr de 10 catalizatori, din sistemele oxidice prezентate în tabelă XVI.

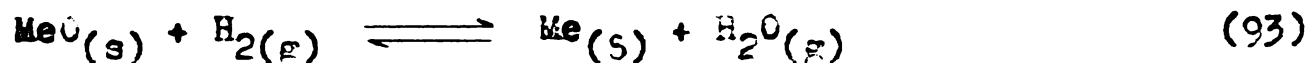
Având în vedere reactivitatea mare a hidrogenului față de oxiziile metalici, ei constituind, de altfel, principiul agent de reducere a acestora la metale pure, s-a considerat necesar să se

Tabela XXI

Nr. crt.	Sistemul oxidic	Nr. cataliz. reținuti
0	1	2
1	$\text{Cr}_2\text{O}_3 - \text{CuO}$	5
2	$\text{Cr}_2\text{O}_3 - \text{CuO}$, activat cu BaO	3
3	CuCr_2O_4	1
4	$\text{Cr}_2\text{O}_3 - \text{Fe}_2\text{O}_3$	1

efectueze un studiu privind stabilitatea, față de hidrogen, a catalizatorilor oxidici reținuti după prima pretestare. În acest studiu se urmărit, în principal, să se determine temperaturile de început de reducere a oxizilor metalici, într-o atmosferă de hidrogen.

Reducerea oxizilor metalici cu hidrogenul are loc conform reacției generale :



Valorile constantei de echilibru K_p , la reducerea cu hidrogen a unor oxizi metalici /346/, sunt date în tabela XXII.

Tabela XXII

Nr. crt.	Oxidul	$K_p = \frac{\text{pH}_2\text{O}}{\text{p}_{\text{H}_2}^2}$ echil.
0	1	2
1	FeO	$1 \cdot 10^{-1}$
2	Fe_2O_3	$7 \cdot 10^{-1}$
3	Cu_2O	$2 \cdot 10^5$
4	CuO	$2 \cdot 10^8$
5	Cr_2O_3	$3 \cdot 10^{-3}$

Examinând valorile lui K_p , se observă că cei mai ușor reducibili oxizi metalici, prezenți în tabelă, sunt oxizii de

cupru. Acest fapt s-a considerat de mare importanță, avind în vedere că oxidul de cupru (CuO), este una din componentele majorității catalizatorilor preparați.

Urmărirea stabilității catalizatorilor oxidiici în atmosferă de hidrogen, s-a făcut cu ajutorul unei termobalanțe tip "Eyrand", prevăzută cu un înregistrător automat de tipul "Ugine-Eyrand" și un programator de creștere liniară a temperaturii. Ca temperatură de început de reducere, s-a considerat temperatura la care începe scăderea în greutate a probei studiate.

Paralel cu acest mod de urmărire a stabilității catalizatorilor au fost efectuate, în același scop, experiențe într-o instalație de laborator /347, 348/, care funcționează astfel: într-un reactor încălzit electric, se introduce proba de catalizator, peste care se trece un curent de hidrogen cu un debit controlat, cu două reometre, la intrarea și ieșirea acestuia în și din instalație. Intermediar, între reactor și reometrul de la ieșire, se găsește un refrigerent prevăzut cu un colector, pentru condensarea și colectarea spei formate la reducere. Cresterea temperaturii în reactor este asigurată automat, cu o viteză de $3^{\circ}C/min$. Ca temperatură de început de reducere, s-a considerat temperatura la care începe consumul de hidrogen evidențiat de scăderea debitului acestuia, la reometrul de la ieșirea din instalație.

Temperaturile de început de reducere, determinate prin cele două metode, de mai sus, au prezentat o foarte bună concordanță, diferențele sitându-se în limite foarte mici și anume de $3-5^{\circ}C$.

În tabela XXII sunt prezentate valorile minime ale acestor temperaturi de reducere.

Tabelă XXII

Nr. ord.	Sistemul oxidic	Temperat. de început de reducere $^{\circ}C$
1	$Cr_2O_3 - CuO$	220
2	$Cr_2O_3 - CuO$, activat cu BeO	275
3	$CuCr_2O_4$	pînă la $400^{\circ}C$, nu se reduce.
4	$Cr_2O_3 - Fe_2O_3$	375

Jupă cum se observă din tabelă, ceea mai bună stabilitate o are cromitul de cupru, urmat de catalizatorul pe baza de Cr_2O_3 - Fe_2O_3 . Acești doi catalizatori au fost reținuți pentru testări finale.

Experiențele ulterioare de testare, s-au efectuat în aceleși condiții de lucru ca și în cazul catalizatorului Pd/γ - Al_2O_3 , adăugindu-se la acestea și testări la trepte intermedie de temperatură de preîncălzire a amestecului reactant, și anume 200 și 300°C .

Cei doi catalizatori s-au dovedit a avea o activitate foarte bună în ceea ce privește randamentul de reducere a NO_x (92-96%), în schimb selectivitatea lor a fost diferită. În catalizatorul de Cr_2O_3 - Fe_2O_3 s-a format de 4-5 ori mai mult amoniac, decât pe catalizatorul de cromit. În afară de aceasta, pentru a avea aceleși randament de reducere, temperatura de preîncălzire a amestecului reactant, în cazul catalizatorului de Cr_2O_3 - Fe_2O_3 , trebuia să fie cu cel puțin 50°C mai mare, decât în cazul catalizatorului cromit de cupru. Aceasta din urmă observație este foarte bine redată de diagrame din figura 35, unde este reprezentată variația creșterii temperaturii, în reactor, în unitatea de timp (Δt , $^\circ\text{C}/\text{min}$), în funcție de timpul de desfășurare a reacției (t , min).

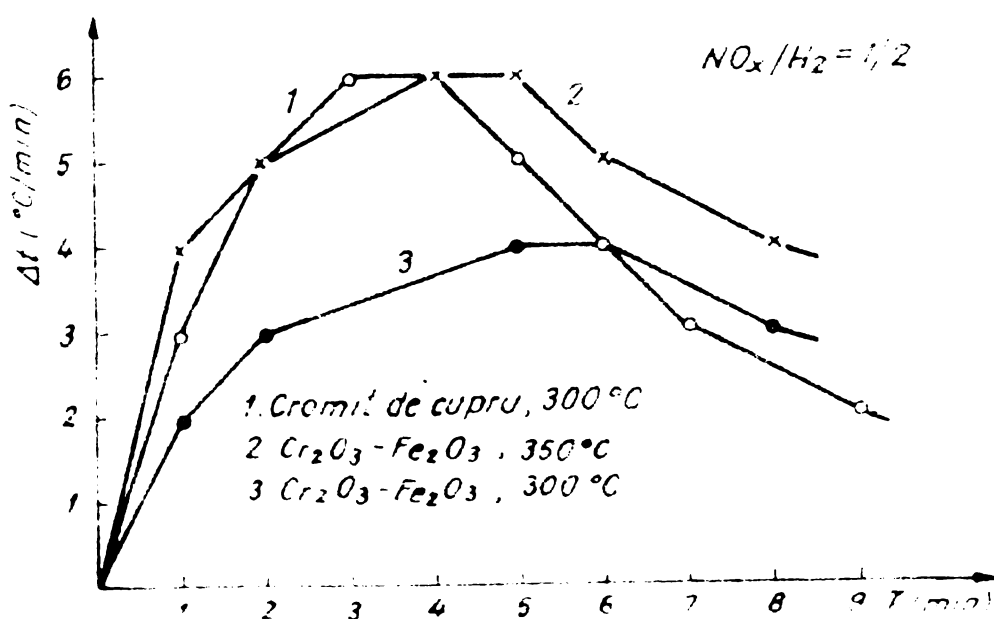


Fig.35. Variația creșterii temperaturii în reactor, în unitatea de timp, la reducerea NO_x pe catalizatorii de Cr_2O_3 - Fe_2O_3 respectiv pe cromit de cupru.

În diagramă, curba (1) corespunde reacției de reducere a NO_x pe catalizatorul de cromit de cupru, la 300°C , curba (2) pentru catalizatorul $\text{Cr}_2\text{O}_3 - \text{Fe}_2\text{O}_3$, la 350°C , iar curba (3) pentru același catalizator la 300°C . În toate cazurile raportul NO_x/H_2 a fost egal cu $1/2$.

Pe baza acestor rezultate, a fost reținut doar catalizatorul de cromit de cupru, cu care au continuat experimentările în instalația de laborator cu funcționare continuă.

4.5.2. Rezultatele experimentale obținute cu instalația de laborator, cu funcționare continuă.

Neavînd posibilitatea efectuării experimentelor de reducere a NO_x cu H_2 într-o instalație pilot, a fost concepută și realizată o instalație de laborator cu funcționare continuă, de gabarit mai mare, cu care s-a putut opera cu debite mai mari de gaze, asigurîndu-se prin aceasta și viteze volumare pînă la 20.000 h^{-1} . Descrierea instalației a fost prezentată la paragraful 3.1.2 (Fig.11).

Problema principală care trebuia rezolvată cu această instalație, constă în stabilirea parametrilor optimi de desfășurare a procesului de reducere a NO_x cu H_2 , cu condiția obținerii unor cantități minime de amoniac și unor randamente de reducere a NO_x care să asigure o depoluare eficientă a gazelor nitrosose. După stabilirea acestor condiții optime, experimentările au continuat pentru a determina, în final, în fază de laborator, durata de activitate a catalizatorului.

În cele prezentate anterior, s-a arătat că formarea amoniacului, în reacția de reducere a NO_x cu H_2 , este favorizată de un exces de hidrogen, se temperaturi joase și presiuni ridicate. În urîndu-se lă presiunea atmosferică, s-au modificat ceilalți doi parametri, temperatura și concentrația hidrogenului. În tabela XXIV sunt prezentate rezultatele obținute, privind randamentele globale de reducere a NO_x și procente de amoniac format, în funcție de temperatură de preincălzire și raportul NO_x/H_2 .

În datele tabelate se observă că la un raport $\text{NO}_x/\text{H}_2 = 1/2$ și la temperatura de 250°C se obține un randament de reducere foarte bun de 97%, dar cu formare de 9% amoniac. Ridicarea temperaturii la 350°C , duce, la o creștere minimă a randamentului de reducere (doar 1%), în schimb se formează încă o cantitate apre-

Tabela XXIV

$\frac{NO_x}{H_2}$ % vol.	$t^{\circ}=150^{\circ}C$		$t^{\circ}=250^{\circ}C$		$t^{\circ}=350^{\circ}C$	
	% NO_x red.	% NH_3 form.	% NO_x red.	% NH_3 form.	% NO_x red.	% NH form.
1/1,25	42	6	65	2	72	-
1/1,5	59	11	85	4	89	2
1/2	72	13	97	9	98	5
1/2,5	75,3	16,5	97,5	11,5	98,2	6,3
1/3,5	74,8	18	96,5	14	97,8	8

ciabilă de amoniac (5%). În consecință, ridicarea temperaturii peste $250^{\circ}C$ s-a dovedit a fi neratională, din punct de vedere economic, consumându-se energie în plus, fără a obține rezultate cu mult mai bune. S-au continuat totuși cercetările privind optimizarea procesului de reducere a NO_x , acționând asupra condițiilor cinetice de desfășurare a reacției, prin modificări aduse texturii catalizatorului.

In general mărimea suprafetei specifice a unui catalizator, alături de alte condiții, determină, într-o bună măsură, o anumită activitate a acestuia. Pornind de la acest considerent, s-a presupus că, în cazul concret al reducerii NO_x cu H_2 , prin micșorarea suprafetei specifice a catalizatorului se va putea asigura desfășurarea reacției de reducere, în condiții mai "blînde", fără formarea amoniacului.

Mărimea suprafetei specifice a unui catalizator este condiționată de natura chimică a componentelor sale, granulația particulelor, natura liantului, precum și, într-o mare măsură, de presiunea de tabletare /349/.

Catalizatorul cu care s-au efectuat experimentele, a fost tabletat cu ajutorul unei prese manuale, prevăzută cu un dispozitiv dinamometric pentru înregistrarea presiunii, și cu care s-a putut obține o presiune maximă de 1000 kgf/cm^2 . Tabletat în aceste condiții, catalizatorul a avut o suprafată specifică de $28,65 \text{ m}^2/\text{g}$. Granulația pulberii a fost de $0,03 - 0,5 \text{ mm}$, iar ca liant s-a folosit grafitul în proporție de 3%.

Pentru a putea urmări influența presiunii de tabletare a-

supra activității catalizatorului, drept dispozitiv de presare, s-a folosit un aparat Brinell (pentru determinarea durității metalelor), la care s-au adaptat o matrită și un poanson, speciale /350%. Cunoscând performanțele aparatului Brinell și alegind dimensiunile convenabile pentru matrită și poanson, s-au putut efectua presări din 200 în 200 kgf/cm^2 . În aceste condiții s-au obținut tablete, preseate la 10 presiuni diferite, între 1000 și 2400 kgf/cm^2 . Suprafetele specifice obținute la respectivele presiuni sunt redate în tabelă XXV.

Tabelă XXV

Presă de tabletare kgf/cm^2	Supr. spec. m^2/g
1.000	27,95
1.200	25,36
1.400	22,70
1.600	20,55
1.800	19,10
2.000	17,62
2.200	16,85
2.400	16,05

Se observă că la început, odată cu creșterea presiunii de tabletare, crește și randamentul, probabil favorizat de micșorarea cantității de amoniac format, atinge un maxim pentru catalizatorul tabletat la 2.000 kgf/cm^2 , după care, conform așteptărilor, scade. Experiențele au fost efectuate la o viteză volumică de 20.000 h^{-1} .

Pe baza datelor astfel obținute s-au stabilit condițiile optime de lucru :

- Temperatura de preincălzire : $225-250^\circ\text{C}$.
- Raportul NO_x/H_2 , în % vol : 1/2

În figura 36, sunt redate, grafic, rezultatele testării catalizatorului la diferite presiuni de tabletare. Din grafic se poate observa că odată cu creșterea presiunii de tabletare a catalizatorului, cantitatea de amoniac format scade (curbe B), ajungând ca, pe catalizatorul tabletat la 2.000 kgf/cm^2 , practic nici să nu se mai formeze. În ceea ce privește randamentul de reducere a NO_x (curbe A),

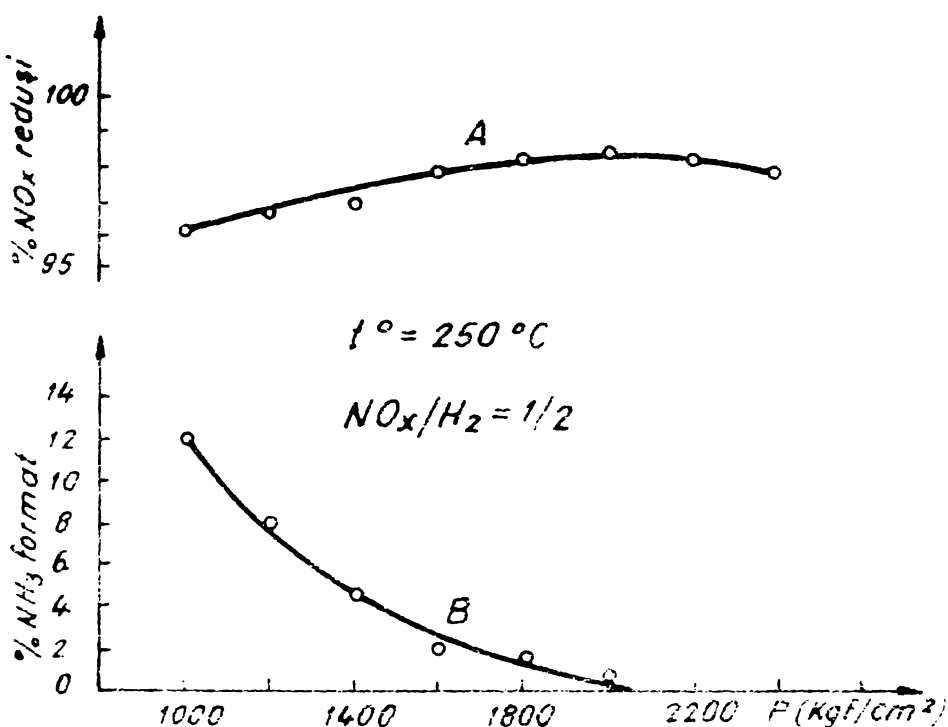


Fig.36. Rendamentele de reducere a NO_x și % de NH_3 format, în funcție de presiunea de tabletare a catalizatorului.

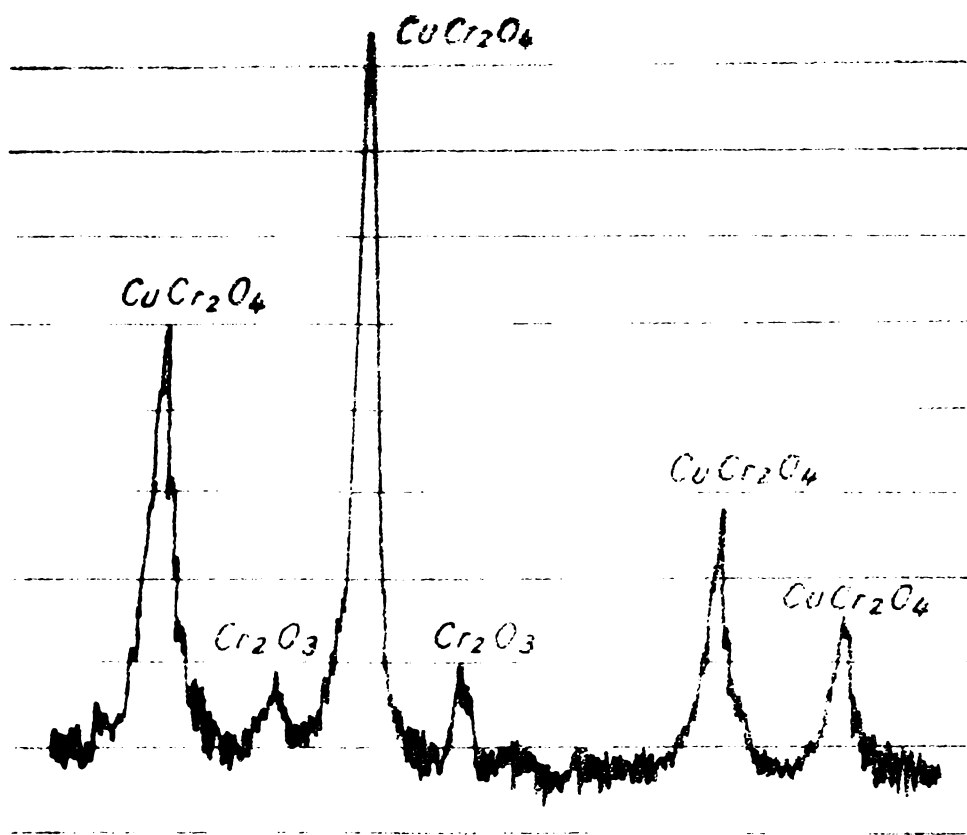
- Raportul O_2/H_2 : stoichiometric.
- Viteza volumară : 20.000 h^{-1} .
- Presiunea de tabletare a catalizatorului : $2.000 - 2.200 \text{ kgf/cm}^2$.

In aceste condiții catalizatorul a fost testat în continuare, în vederea determinării duratei de activitate a acestuia. La sfîrșitul a cca. 240 ore de testare catalizatorul nu a prezentat nici un indiciu de dezactivare.

4.5.3. Prepararea și caracterisarea fizico-chimică a catalizatorului CuCr_2O_4

La prepararea catalizatorului cromit de cupru, se pornește de la două soluții 2n de $\text{Cu}(\text{NO}_3)_2 \cdot 3\text{H}_2\text{O}$, respectiv $\text{Cr}(\text{NO}_3)_3 \cdot 9\text{H}_2\text{O}$. Cele două soluții se amestecă într-o astfel de proporție, ca raportul Cu/Cr să fie 1/2. Amestecul de soluții se aduce la sec

pe o baie de apă. Urmează o calcinare în 2 trepte, una la 250°C pentru decompunerea azotașilor, iar oxiziile rezultați se calcină la 600°C , timp de 4 ore. Produsul obținut se tratează cu HCl lîn, agitând puternic și încălzind ușor la 50°C , pentru îndepărarea eventualului CuO rămas liber. În cazul cînd CuO este prezent, se obține o soluție verde de oxichlorură de cupru și un precipitat negru de cromit de cupru. Precipitatul se separă, prin filtrare, se spală și se calcină, în continuare, la 800°C timp de 7 ore. După mojarare se separă granulația de 0,03-0,5 mm (conform recomandărilor din literatură /351/, privind catalizatorii pentru hidrogenări), se amestecă cu grafit (3%) și se tablează la o presiune de $2000-2200 \text{ kgf/cm}^2$.



Dig.37. O parte din roentgenograma realizată cu catalizatorul CuCr_2O_4 .

După tabletare la 2000 kgf/cm^2 , catalizatorul preparat ca mai sus și care s-a făcut testări de durată, a avut următoarele caracteristici :

- Suprafață specifică : $17,58 \text{ m}^2/\text{g}$.
- Densitatea reală : $2,91 \text{ g/cm}^3$.

- Densitatea aparentă : $1,73 \text{ g/cm}^3$.
- Volumul total de pori : $3,17 \text{ cm}^3/\text{g}$.
- Raza medie a porilor : 735 Å.
- Rezistența mecanică la despicare : 6,75 kgf/cm.

Analiza roentgenografică a arătat că structural catalizatorul este spinelul de CuCr_2O_4 , alături de care se disting urme de Cr_2O_3 . În figura 37 este prezentată o portiune din roentgenogramă unde apare evidențiat și Cr_2O_3 .

Analiza termogravimetrică a demonstrat o stabilitate termică excepțională a catalizatorului, acesta, în intervalul de 25– 1000°C , reprezentând nici o modificare structurală sau texturală (fig.38).

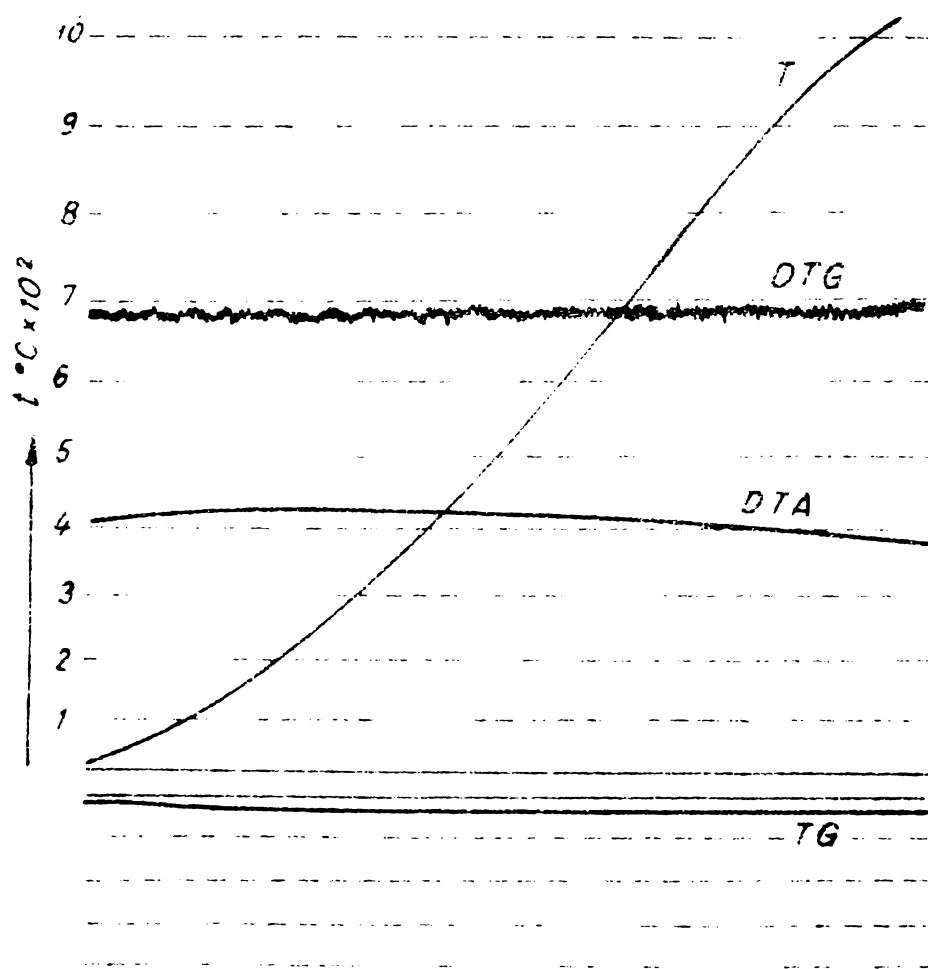


Fig.38. Termograma catalizatorului cromit de cupru.

Jupă o funcționare de peste 2400 ore, caracteristicile inițiale ale catalizatorului au rămas, practic, neschimbate, suprafața specifică fiind de $17,83 \text{ m}^2/\text{g}$, iar rezistența mecanică la

despicioare de 6,62 kgf/cm. De asemenea, structural, catalizatorul nu a suferit nici o modificare.

Prin caracteristicile sale, avind în același timp o activitate foarte bună și o deosebită selectivitate, catalizatorul preparat, corespunde întru totul pentru reacția de reducere a oxizilor de azot cu hidrogenul, rivalizând prin selectivitatea sa, cu cel de paladiu depus pe aluminiu.

Capitolul 5.

CERCETARI EXPERIMENTALE CU PRIVIRE LA REDUCEREA TERMICA A OXIZILOR DE AZOT.

Reducerea termică a oxizilor de azot, ca procedeu de denozișire a gazelor industriale, și cum s-a arătat la capitolul 2, se aplică, în special, la eliminarea NO_x din gazele de ardere de la termocentrale, unde, pe traseul acestor gaze se pot asigura temperaturi de minimum 750°C . Acest procedeu poate avea o aplicabilitate în cazul gazelor de ardere, provenite de la o centrală cu generator magneto-hidrodinamic, la care gazele de ardere au o temperatură mult mai ridicată.

Scopul cercetărilor efectuate a fost de a determina de la gazele, provenite de la o astfel de surse - în cadrul unui contract încheiat cu CNST, am urmărit investigarea unor procedee de reducere termică a NO_x cu CH_4 , respectiv cu NH_3 , în condițiile măsurării concentrației de NO_x , din aceste gaze, de lacca. 6.000 ppm la sub 100 ppm.

Instalația experimentală cu care s-au făcut încercările (fig. 16), cît și modul de lucru cu această instalație au fost prezentate în capitolul 3.

5.1. Considerații termo-dinamice.

Gazele de ardere, provenind de la o centrală cu generator M.H.D. conțin, în principal, următoarele componente gazoase :

- $\text{CO}_2 = 20 - 30\%$
- $\text{O}_2 = 0,3 - 0,6\%$
- $\text{NO}_x = 5.000 - 6.000 \text{ ppm.}$
- $\text{N}_2 = \text{rest.}$

Gazele mai conțin vaporii de apă, particole fine (de dimensiuni submicronice) de cenușă și săruri de potasiu. În laborator, astfel de condiții nu au putut fi reproduse în totalitate, lipsind din compozitia gazelor particulele solide.

În funcție de natura agentului de reducere, în procesul de depoluare, pot avea loc următoarele reacții :



respectiv :



sau, în condițiile unei insuficiente cantități de amoniac, au loc și reacțiile :



De asemenea, mai sunt posibile și următoarele reacții :



Produsii acestor reacții însă, conțin, în majoritatea lor, componente reducătoare, care la rîndul lor pot contribui la depoluarea gazelor de NO, respectiv să reacționeze cu oxigenul.

Lucrindu-se la temperaturi peste 650°C , s-a avut în vedere că în compoziția gazelor nitroase este prezent doar NO, deoarece NO_2 este descompus în NO și O_2 .

Pentru primele șase reacții (94-99), au fost calculate funcțiile termodinamice ΔH_f° și ΔG_f° , exprimate în KJ/mol de reducător (CH_4 respectiv NH_3). Valorile calculated pentru temperaturile 800, 900 și 1,000 K, sunt prezentate în tabelele XXVII, XXVIII și XXIX.

Tabelă XXVII

T, K	F-ctia termod.	Reacție	
		94	95
0	1	2	3
800	ΔH_f°	- 1.168,728	- 801,210
	ΔG_f°	- 1.123,420	- 801,462
900	ΔH_f°	- 1.164,148	- 801,462
	ΔG_f°	- 1.118,428	- 801,504

	0	1	2	3
1000	ΔH_T°	- 1,164,652	- 801,966	
	ΔG_T°	- 1,115,660	- 803,934	

TABELA XXVIII

T, K	Fecția termod.	Reacția		
		96	97	
0	1	2	3	
800	ΔH_T°	- 678,030	- 316,743	
	ΔG_T°	- 698,137	- 344,690	
900	ΔH_T°	- 678,641	- 317,015	
	ΔG_T°	- 700,557	- 348,189	
1.000	ΔH_T°	- 680,098	- 317,241	
	ΔG_T°	- 702,275	- 351,608	

TABELA XXIX

T, K	Fecția termod.	Reacția		
		98	99	
0	1	2	3	
800	ΔH_T°	- 275,702	- 225,903	
	ΔG_T°	- 274,005	- 254,200	
900	ΔH_T°	- 275,764	- 226,385	
	ΔG_T°	- 273,705	- 267,030	
1.000	ΔH_T°	- 275,660	- 226,470	
	ΔG_T°	- 278,781	- 273,874	

Din datele tabelate se observă că la presiunea normală și temperaturi de 800 – 1.000 K, reacțiile 94 – 99 sunt exoterme și posibile din punct de vedere termodinamic. Valorile entalpiilor libere normale, ΔG_f° , astăzi că, în condițiile date, echilibrele acestor reacții sunt, practic, total deplasate spre dreapta. Tot din valorile entalpiilor libere, se observă că în primul rând sunt favorizate reacțiile de reducere a NO (94 și 96) față de reacțiile de combustie cu oxigenul (95, 97, 98 și 99), reacțiile 98 și 99 fiind cel mai puțin favorizate.

In ceea ce privește influența presiunii asupra desfășurării reacțiilor, din stoichiometria acestora se observă că o creștere a presiunii în sistem, poate influența negativ desfășurarea procesului, având în vedere că reacțiile se desfășoară fie la volum constant (94, 95 și 98, 99), fie cu creșterea volumului (95, 97).

5.2. Rezultatele experimentale.

In ambele cazuri de reducere termică a NO, cu CH_4 respectiv cu NH_3 , s-au folosit gaze nitroase având aceeași compozitie și anume :

- $\text{CO}_2 = 25\%$
- $\text{O}_2 = 0,5\%$
- $\text{NO}_x = 6.000 \text{ ppm}$
- $\text{N}_2 = \text{rest.}$

Precizia dozărilor a fost în limita erorilor de $\pm 1\%$.

5.2.1. Reducerea termică a NO_x cu CH_4 .

Pentru urmărirea rendimentului de reducere a NO_x cu CH_4 și determinarea condițiilor optime de reducere, experimentările au fost efectuate în următoarele condiții :

- debit total de gaze nitroase : 5 l/min
- temperatură de reducere : 800, 900 și 1000°C.
- raportul CH_4/NO_x (în % vol.) : 3/1, 2/1, 1,5/1, 1/1, 0,5/1 și 0,25/1.
- raportul CH_4/O_2 : stoichiometric (1/2).

Pentru a realiza un număr redus de determinări, experimen-

tările au fost efectuate în condiții analoge cu cele de la reducerea catalitică, având ca variabile temperatură și raportul CH_4/NO_x .

Rezultatele experimentărilor sunt prezentate în tabela XXX, unde sunt relați oxizii de azot rămasi după reducere și exprimate în ppm, în funcție de temperatură de lucru și raportul CH_4/NO_x .

Tabelă XXX

Temp. °C	NO_x reziduali (în ppm)					
	CH_4/NO (% vol.).					
	3/1	2/1	1,5/1	1/1	0,5/1	0,25/1
800	380-450	380-460	410-470	440-500	480-560	520-600
900	105-160	110-160	120-140	170-210	200-230	240-280
1.000	30-50	30-60	60-80	70-90	120-140	180-220

Valorile concentrațiilor NO_x reziduali reprezintă limitele (inferioară și superioară) a unui număr de minimum 25 de determinări.

După cum se observă din tabelă, deja la 900°C și la un raport CH_4/NO de numai 0,5/1 se pot obține rezultate bune, acoperitoare din punct de vedere al normelor sanitare. De asemenea se observă că raportul CH_4/NO stoichiometric (0,25/1) este cel mai nefavorabil pentru reducere. Aceasta înseamnă că pentru a obține rezultate cît mai bune, trebuie menținută o atmosferă redutoare. Gaze cu NO_x sub 100 ppm, cu consum minim, de metan, se pot obține cînd reducerea se desfășoară la 1.000°C și la un raport $\text{CH}_4/\text{NO} = 1/1$.

5.2.2. Reducerea termică a NO_x cu NH_3 .

Din desfășurarea reacțiilor 94 și 96 se observă că, stoichiometric, la reducerea NO este nevoie de o cantitate mai mare de amoniac decît de metan. Astfel :

- 1 mol NH_3 reduce 1,5 moli NO;
- 1 mol CH_4 reduce 4 moli NO.

De acest lucru s-a ținut cont și în experimentările efectuate.

Condițiile de lucru impuse :

- debit total de gaze nitroase : 5 l/min
- temperatură de reducere : 800, 900 și 1.000 °C.
- raportul NH_3/NO_x (în % vol.) : 5/1, 4/1, 3/1, 2/1, 1/1 și 2/3 (stoechiometric).
- raportul NH_3/O_2 : stoechiometric (4/3, conform reacției 97).

Rezultatele experimentărilor sunt prezentate în tabela XXXI. Valorile tabelate sunt redate în același mod ca și în cazul reducerii cu metan.

Tabelă XXXI

Temp. °C	NO_x reziduali (în ppm)					
	NH_3/NO (în % vol.)					
	5/1	4/1	3/1	2/1	1/1	2/3
800	480-540	485-540	490-560	540-580	600-680	800-890
900	340-380	380-410	460-500	490-530	580-640	710-780
1.000	70-85	80-100	110-125	150-180	200-240	400-460

Din datele de mai sus rezultă că reducerea NO cu amoniac are loc în condiții mult mai grele decât cu metan. Astfel, pentru a reduce oxizii de azot sub 100 ppm este nevoie de o temperatură de 1000°C și un raport NH_3/NO de 4/1.

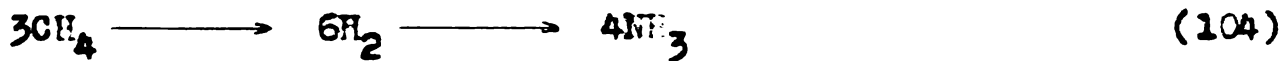
5.3. Unele considerații cu privire la reducerea termică a NO_x .

Jin rezultatele obținute și prezentate mai înainte, o primă concluzie se impune și anume : la reducerea oxizilor de azot, atât cu metan cât și cu amoniac, se poate realiza o depoluare foarte înaintată, corespunzătoare celor mai exigeante norme sanitare.

Se impune însă o discuție asupra rentabilității celor două procedee. În acest sens trebuie pornit de la reacțiile ce au loc la reducere. Conform acestor reacții (94, respectiv 96), rezultă

că raporturile stoichiometrice sunt : $\text{CH}_4/\text{NO} = 1/4$, respectiv $\text{NH}_3/\text{NO} = 4/6 = 1/1,5$.

La fabricarea amoniacului însă, se pornește tot de la metan care eliberează hidrogenul necesar reacției conform schemei:



Deci, în final, dintr-un mol de CH_4 consumat, se obțin 1,33 moli NH_3 . Cum un mol NH_3 reduce 1,5 moli NO, 1,33 moli NH_3 vor reduce aproximativ 2 moli NO. Deci, indirect, rezultă că la 1 mol de CH_4 consumat pentru producerea amoniacului, revin 2 moli NO reduși cu NH_3 , fără de 4 moli reduși direct cu CH_4 .

Practic, din datele experimentale, s-a stabilit că la reducerea NO sunt necesare următoarele rapoarte între reactanți : $\text{CH}_4/\text{NO} = 1/1$, respectiv $\text{NH}_3/\text{NO} = 4/1$. Din aceste rapoarte rezultă că fără de necesarul stoichiometric, pentru reducerea aceleiași cantități de NO, este nevoie de 4 ori mai mult CH_4 ($1/1 : 1/4 = 4$), respectiv de 6 ori mai mult NH_3 ($4/1 : 1/1,5 = 6$), de unde consumurile de CH_4 și NH_3 vor fi :

- 1 mol CH_4 pentru 1 mol NO
- 6 moli NH_3 pentru 1,5 moli NO, respectiv
- 4 moli NH_3 pentru 1 mol NO ($6/1,5 = 4$).

Dar, aşa cum s-a arătat, din 1 mol CH_4 se obțin 1,33 moli NH_3 , ceea ce înseamnă că pentru 4 moli NH_3 vor fi necesari aproximativ 3 moli CH_4 ($4:1,33 \approx 3$). Sintetizând cele de mai sus rezultă:

a.- La reducerea NO cu CH_4 , consumul de CH_4 va fi de 1 mol CH_4 peștră 1 mol NO.

b.- La reducerea NO cu NH_3 , consumul indirect de CH_4 va fi de 3 moli CH_4 pentru 1 mol NO.

Este evident că în primul caz, consumul de metan este de 3 ori mai mic decât în al doilea caz. Înțind seama că la fabricarea amoniacului consumul tehnologic de metan este mai mare decât cel stoichiometric, luat în calcul aici, rezultă că reducerea termică a oxizilor de azot cu metan este mai rentabilă decât reducerea cu amoniac și asta fără a lua în considerare și costurile de fabricație ale amoniacului.

În toate acestea trebuie adăugat și un alt inconvenient al reducerii cu amoniac. Pe traseul gazelor, în punctele reci ale acestuia, prezența concomitentă a NO_x și NH_3 duce la formarea de azotiti și azotati de amoniu, care acumulindu-se în timp, pot provoca explozii /352, 353/.

Capitolul 6.

CERSEIARI EXPERIMENTALE CU PRIVIRE LA VALORIZAREA OXIZILOR DE AZOT.

Justificarea experimentărilor privind recuperarea și apoi valorificarea, sub o formă sau căre, a NO_x din gazele industriale reziduale, a fost prezentată în capitolul 3, descriindu-se în același timp și instalațiile de laborator folosite (fig.17 și 18). În capitolul de față vor fi prezentate rezultatele obținute, experimentând două procedee de absorbție alcalină și un procedeu de adsorbție a oxizilor de azot.

Ca și în cazul reducerii termice a NO_x rezultatele experimentărilor, ce vor fi prezentate în acest capitol, se referă la gazele de ardere provenite de la o centrală cu generator M.H.D.

6.1. Valorificarea NO_x prin procedee de absorbție.

Deoarece coloana de absorbție este aparatul principal al unei emisone a instalației, performanțele ei influențând direct asupra parametrilor tehnico-economici ai procesului de recuperare a NO_x , s-a efectuat un calcul de dimensionare tehnologică a coloanei, ținând seama de concentrația NO_x la intrare și un răndament de absorbție impus. S-a studiat experimental și s-a precizat influența unor parametri constructivi și de operare asupra răndamentului de absorbție.

6.1.1. Calculul de dimensiune tehnologică a coloanei de absorbție.

Coloana de absorbție, așa cum s-a arătat în capitolul 3, a fost confectionată dintr-un tub din oțel inoxidabil cu diametrul interior $d_0 = 30$ mm și înălțimea $H = 1.300$ mm. Ca umplutură s-au utilizat inele de sticlă de $7 \times 15 \times 0,5$ mm, caracterizate prin suprafața specifică $G = 632 \text{ m}^2/\text{m}^3$ și volumul liber $V_1 = 0,8 \text{ m}^3/\text{m}^3$.

Pentru o concentrație în NO_x a gazului la intrare în coloană de $0,006 \text{ mol}/\text{mol}$ și un răndament de absorbție impus (de 85%), la un debit de gaz vehiculat $V_E = 90 \text{ l/h} = 4,02 \cdot 10^{-3} \text{ mol/h}$

și o cantitate de 0,5 l soluție 2% NaOH recirculată, după o oră de funcționare a rezultat o concentrație în azotit de sodiu a soluției de $x_b = 0,00067 \text{ kmol/kmol}$, la un debit minim de stropire $L = 3,06 \cdot 10^{-2} \text{ kmol/h} = 0,55 \text{ l/h}$, mult sub debitul maxim al pompei, care a fost de 51,8 l/h (capitolul 3).

In continuare s-au calculat coeficienții parțiali de transfer de masă k_g și k_l (pentru gaz, respectiv lichid), folosind relațiile criteriale propuse de van Krevelen și Korteszer /354/, obținindu-se valorile :

$$k_g = 0,0337 \frac{\text{kmol}}{\text{m}^2 \cdot \text{h} \cdot \frac{\text{kmol}}{\text{kmol}}} . \quad (105)$$

$$k_l = 0,0167 \frac{\text{kmol}}{\text{m}^2 \cdot \text{h} \cdot \frac{\text{kmol}}{\text{kmol}}} . \quad (106)$$

Cu aceste valori s-a calculat coeficientul total de transfer, reportindu-se la fază gazoasă și s-a obținut valoarea :

$$k_t = 0,0213 \frac{\text{kmol}}{\text{m}^2 \cdot \text{h} \cdot \frac{\text{kmol}}{\text{kmol}}} \quad (107)$$

Forța motoare medie a procesului s-a calculat folosind ecuația medicii logaritmice :

$$\Delta Y_m = \frac{\Delta Y_b - \Delta Y_v}{\ln \frac{\Delta Y_b}{\Delta Y_v}} \quad (108)$$

în care :

$$\Delta Y_b = Y_b - Y_b^\circ \quad (109)$$

$$\Delta Y_v = Y_v - Y_v^\circ \quad (110)$$

Y_b° și Y_v° fiind concentrațiile de echilibru ale gazului la baza și la vîrful coloanei determinate cu relația lui Henry $Y^\circ = 0,287 \cdot x$. /355/.

A rezultat :

$$\Delta Y_m = 2,46 \cdot 10^{-3} \text{ Kmoli/Kmol} \quad (111)$$

Înălțimea necesară a stratului de umplutură s-a calculat prin metoda suprafeței de transfer /355/, exprimată din ecuația:

$$m_{abs} = K_g \cdot A_{tp} \cdot Y_m \quad (112)$$

în care:

m_{abs} – cantitatea de gaz absorbită, Kmoli/h,

K_g – coeficientul total de transfer de masă,

$$\frac{\text{Kmol}}{\text{m}^2 \cdot \text{h} \cdot \frac{\text{Kmol}}{\text{Kmol}}},$$

A_{tp} – suprafața de transfer de masă, m^2 ,

ΔY_m – forță motoare medie a absorbției, Kmoli/Kmol,

rezultă astfel:

$$A_{tp} = 0,364 \text{ m}^2 \quad (113)$$

Dacă, conform /355/:

$$A_{tp} = H_n \cdot a_{col} \cdot \tilde{r} \cdot \varphi \quad (114)$$

în care :

H_n – înălțimea stratului de umplutură, m

a_{col} – secțiunea transversală a coloanei ($7,005 \cdot 10^{-4} \text{ m}^2$),

\tilde{r} – suprafața specifică a umpluturii ($632 \text{ m}^2/\text{m}^3$),

φ – coeficientul de udare (admisibil = 99) rezultă :

$$H_n = 0,905 \text{ m} \quad (115).$$

Din raportul vitezelor fictive s-a verificat în continuare limita de încarcare a coloanei :

$$R = \frac{w_2}{w_1} = \frac{0,0353}{0,000218} = 162 \quad (116)$$

vitezele fictive ale gazului w_2 și lichidului w_1 , fiind calculate din debitele de gaz și lichid raportate la secțiunea coloanei fără umplutură.

Aplicând în continuare metoda Horing-Lockhart /354/, se exprimă funcția $f(R)$ prin relație :

$$f(R) = 3,89 \cdot 10^{-5} \frac{w_1 \cdot p_i^{0,1} \cdot p_g^{0,22} \cdot \gamma_l^{0,1} \cdot \gamma_g^{0,08}}{w_g^{0,2} \cdot \Delta P^{0,5}} \cdot \left(\frac{\tilde{r}}{V_l^{1,2}} \right)^{0,67} \quad (117)$$

unde semnificația unor notații este cea utilizată pînă aici, în plus :

$\rho_{g,l}$ - densitățile lichidului și a gazului, g/cm^3 ,

$\Delta\rho$ - diferența dintre densitatea lichidului și a gazului g/cm^3 ,

$\eta_{g,l}$ - viscozitățile gazului și lichidului, CP.

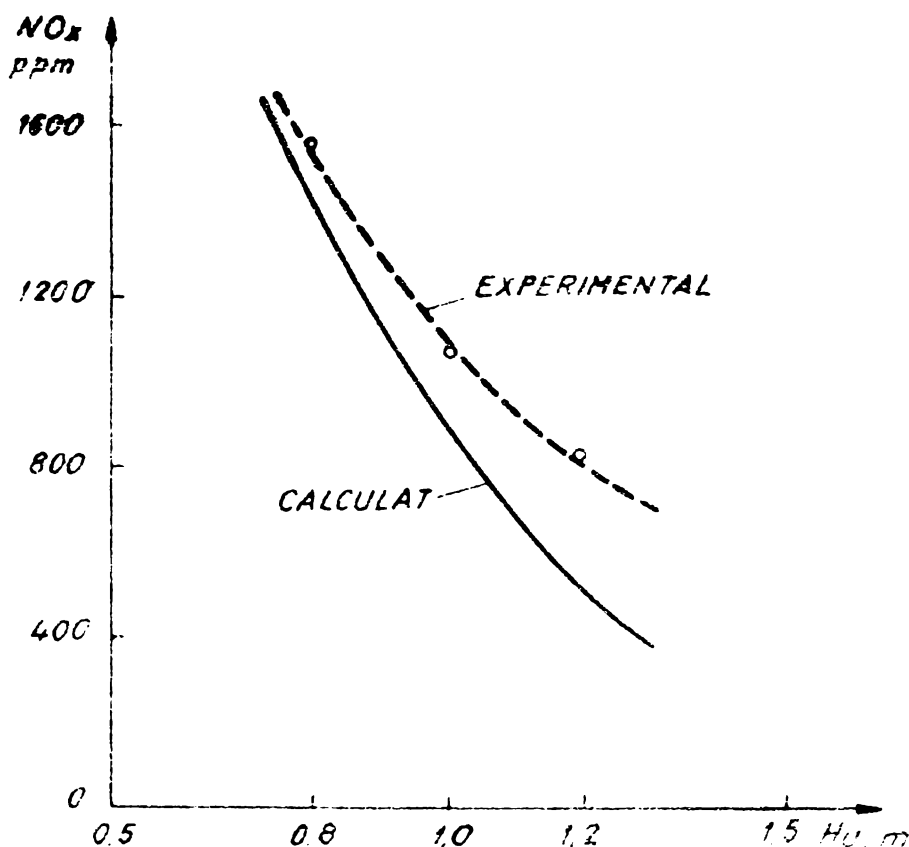


Fig.39. Concentrațiile NO_x la vîrful coloanei, în funcție de înălțimea umpluturii, determinate experimental și prin calcul.

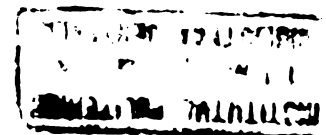
Inlocuind cu valorile numerice semnificațile notațiilor din relație de mai sus, a rezultat :

$$f(R) = 1,76 \cdot 10^{-4} \quad (118)$$

Pentru această valoare a $f(R)$, raportul R_{\lim} (la încercare), conform /354/, este :

$$R_{\lim} = 1000, \quad (119)$$

dacă coloana (având $R = 162$), prezintă rezerve în privința densității de stropire.



Pentru condițiile standard de lucru ale coloanei :

- timp de lucru : 1 oră
- concentrația NO_x la baza coloanei: 0,6% vol.,
- concentrația soluției NaOH : 2% masă,
- debitul de stropire : 5 l/h,
- debitul de gaz : 90 l/h,

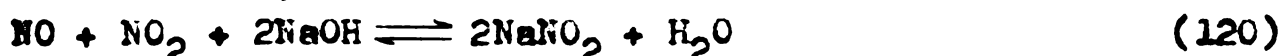
s-a comparat concentrația oxizilor de azot în faze gazoasă la vîrful coloanei, determinată experimental pentru înălțimi de umplutură de 0,8, 1,0 și 1,2 m, cu valorile calculate conform relațiilor de dimensionare. Rezultatele sunt prezentate în figura 39.

Coloana cu care s-au efectuat experimentările în continuare a avut $H_4 = 1,0$ m și a permis realizarea, în medie, a unei concentrații de oxizi de azot, la vîrful coloanei, de 1060 ppm, adică a unui rendament de 82,5%, ^{ceea} față de un rendament de 85% impus în calculul dimensional ce reprezintă o corelare foarte bună.

6.1.2. Rezultatele experimentale.

In lucrările efectuate au fost experimentate două procedee de absorbție a NO_x și anume : absorbția NO_x în soluții de NaOH la temperaturi ridicate și absorbția NO_x în soluții mixte de KOH, K_2SO_4 și K_2CO_3 .

6.1.2.1. Absorbția NO_x în soluție de NaOH (2% masă), la temperaturi ridicate. Așa cum s-a mai arătat la capitolul 3, dacă gazele cu conținut de oxizi de azot reacționează cu soluții de hidroxid de sodiu, are loc formarea unui amestec de azotit și azotat de sodiu, conform reacțiilor :



In funcție de cantitățile de NO și NO_2 pe care le conțin gazele, la absorbție se obțin amestecuri de azotat și azotit în proporții cursăunătoare. Creșterea proporției de azotit presupune o creștere a proporției de NO în gazele introduse în coloană de absorbție. Deoarece echilibrul :



este deplasat spre dreapta odată cu creșterea temperaturii și luând în considerare oxigenul existent în gazele de ardere, re-

zultă cîteva condiții practice pentru a obține o proporție ridicată de azotit în soluția de absorbție :

- ridicarea temperaturii gazelor ce intră la baza coloanei,
- contactarea rapidă a gazelor fierbinți cu soluția de absorbție,
- răcirea continuă și intensă a soluției de absorbție în timpul recirculării.

In ceea ce privește compozitia gazelor nitravase, la primele experimentări, ea a fost puțin diferită față de situația reală și avem :

- $\text{CO}_2 = 25\%$ vol.,
- $\text{NO}_x = 6000 \text{ ppm}$,
- $\text{O}_2 = 2 - 5\%$ vol.,
- $\text{N}_2 = \text{rest}$.

Față de 0,5% vol. oxigen cît există în realitate în gazele de ardere provenite de la o centrală cu generator M.P.J., s-a operat cu gaze cu un conținut ridicat de oxigen (2-5%), pentru a putea urmări mai bine influența oxigenului asupra raportului azotit/azotat, obținut în soluția de absorbție.

Deoarece raportul azotit/azotat în soluția de absorbție este condiționat în primul rînd de raportul NO/NO_2 în gazele ce intră în coloană, s-a trecut la determinarea concentrațiilor NO și NO_2 în aceste gaze, funcție de conținutul în oxigen și de temperatura de încălzire a gazelor. Rezultatele sunt prezentate în tabela XXXII, iar variația fracției molare a NO, raportată la totalul oxizilor de azot, este redată în figura 40.

Tabelă XXXII

Temp. °	350	400	450	500				
Cone. O_2	Concentrații NO și NO_2 (% vol.)							
% vol.	NO	NO_2	NO	NO_2	NO	NO_2	NO	NO_2
0	1	2	3	4	5	6	7	8
2	0,4365	0,1635	0,5229	0,0771	0,5623	0,0377	0,5814	0,0186
3	0,4113	0,1887	0,5082	0,0918	0,5545	0,0455	0,5774	0,0226
4	0,3922	0,2078	0,4965	0,1035	0,5481	0,0519	0,5740	0,0260
5	0,3769	0,2231	0,4866	0,1134	0,5425	0,0575	0,5712	0,0288

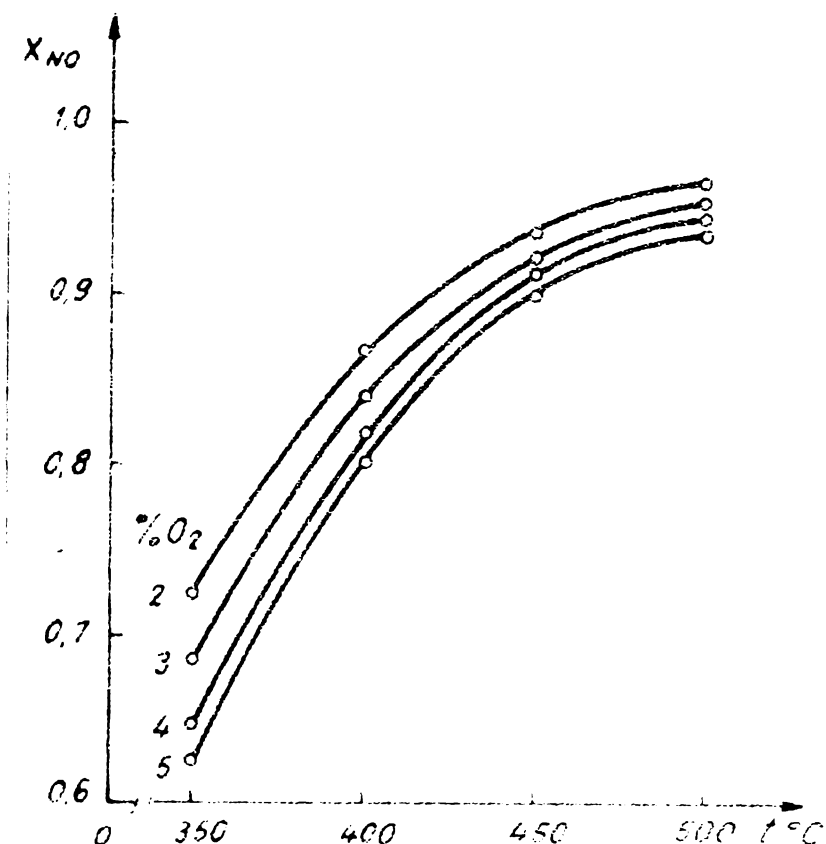


Fig.40. Variatia fractiei molare a NO, raportata la totalul oxizilor de azot, in functie de temperatura.

Atit din datele tabelate cît și din diagrame (Fig.40), se observă că influența nefavorabilă a temperaturii scăzute asupra raportului NO/NO_x , este mult mai puternică decit influența conținutului de oxigen.

Concentrațiile de azotit și azotat în soluțiile de absorbie, pentru uiferite temperaturi și conținut diferit de oxigen, sunt prezentate în tabela XIII.

Așa cum se poate observa, din datele tabelate, la un conținut scăzut de oxigen, influența temperaturii este mult mai accentuată. Astfel la $450-500^\circ\text{C}$ se depășește reportul azotit/azotat de 80:20 cînd devine optimă /356/ separarea azotitului mai puțin solubil.

Deoarece este importantă cantitatea relativă de azotit față de azotat, în figura 41 s-a reprezentat reportul :

Tabela XXXIII

Temp. °C	350	400	450	500
Cone. O ₂ % vol.	Concentrațiile NaNO ₂ și NaNO ₃ (în mol/l)			
	NaNO ₂	NaNO ₃	NaNO ₂	NaNO ₃
0	1	2	3	4
2	20,38	19,22	28,86	10,78
3	20,07	19,44	26,54	13,01
4	19,68	19,68	22,91	16,45
5	19,18	19,78	21,19	17,83
	5	6	7	8
	32,04	7,18	32,63	6,97
	28,43	10,84	29,15	10,69
	25,61	13,61	26,63	12,25
	23,89	15,47	25,44	14,16

$$R_f = \frac{C_{\text{NaNO}_2}}{C_{\text{NaNO}_3}} \quad (123)$$

în funcție de temperatură și de conținutul în oxigen.

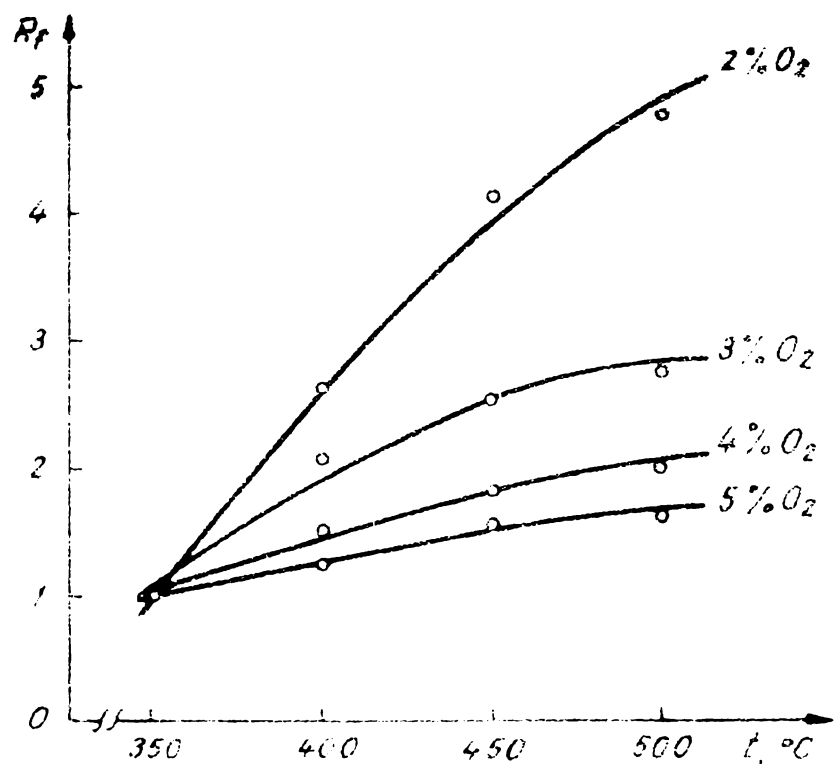


Fig.41. Variatia raportului NaNO₂/NaNO₃ în funcție de temperatură și conținutul în oxigen.

Influența temperaturii și a concentrației oxigenului rezultă și mai clar, decât se urmărește diferența dintre raportul NO/NO₂ din gazele ce intră în coloană și raportul NaNO₂/NaNO₃ din soluția de absorbție. Acea se definește :

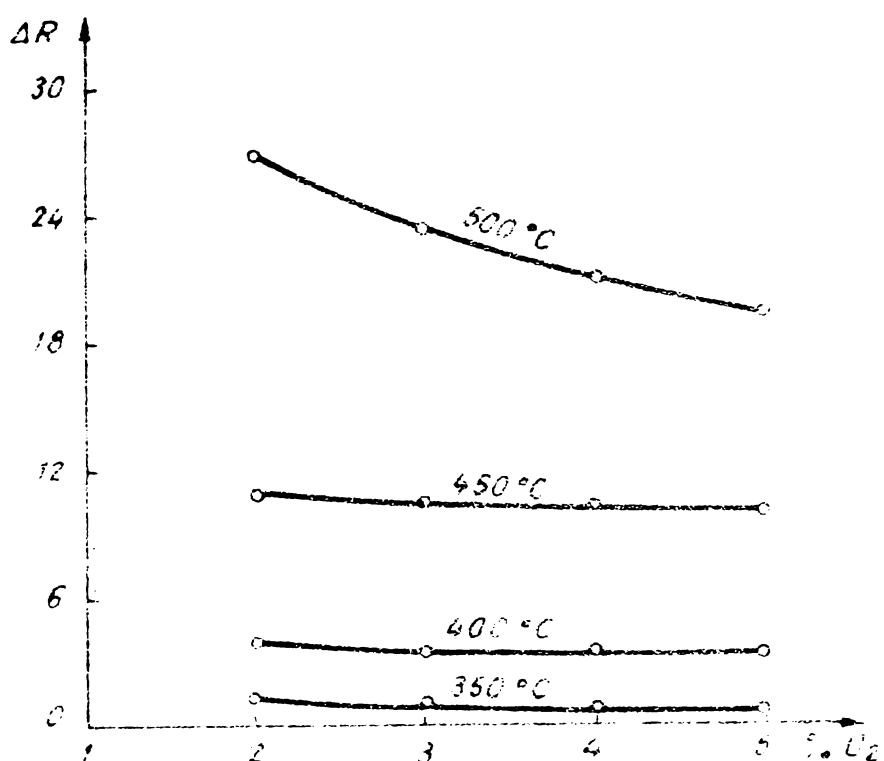


Fig.42. Variatia lui ΔR functie de concentratie a oxigenului, pentru diferite temperaturi ale gazului.

$$R_i = \frac{c_{\text{NO}}}{c_{\text{NO}_2}} \quad (124)$$

și

$$R_f = \frac{c_{\text{NaNO}_2}}{c_{\text{NaNO}_3}}, \quad (125)$$

atunci:

$$\Delta R = R_i - R_f \quad (126)$$

Calculind valorile pentru R_i și R_f și transpunindu-le grafic, se obține diagramea din figura 42.

Din această diagramă rezultă următoarele :

1.- Ca urmare a stropirii cu soluție rece, gazele introduse pe la baza umpluturii se răcesc rapid, astfel că pe cea mai mare parte a coloanei, contactul gaz/soluție se face la temperaturi joase ($< 100^{\circ}\text{C}$), situație în care crește concentrația de

NO_2 și implicit, proporția de azotat.

2.- Prezența oxigenului în gaze, mai ales la temperaturile scăzute din partea mijlocie și superioară a coloanei, favorizează formarea azotatului în cursul absorbției.

Efectuindu-se experimentările cu gaze nitroase cu un conținut de 0,5% vol.oxigen (cel real), s-au obținut, în soluția de absorbtie raporturile azotit/azotat prezentate în tabela XXXIV.

Tabela XXXIV

Temp. °C	350	400	450	500
R _f azotit/azotat	72:28	82:18	86:14	87,3:12,7

ACESTE DATE AU FOST TRANSPUSE PE DIAGRAMA DIN FIGURA 43, ÎN CARE ESTE TRASATĂ ȘI CURBA RAPORTURILOR AZOTIT/AZOTAT PENTRU

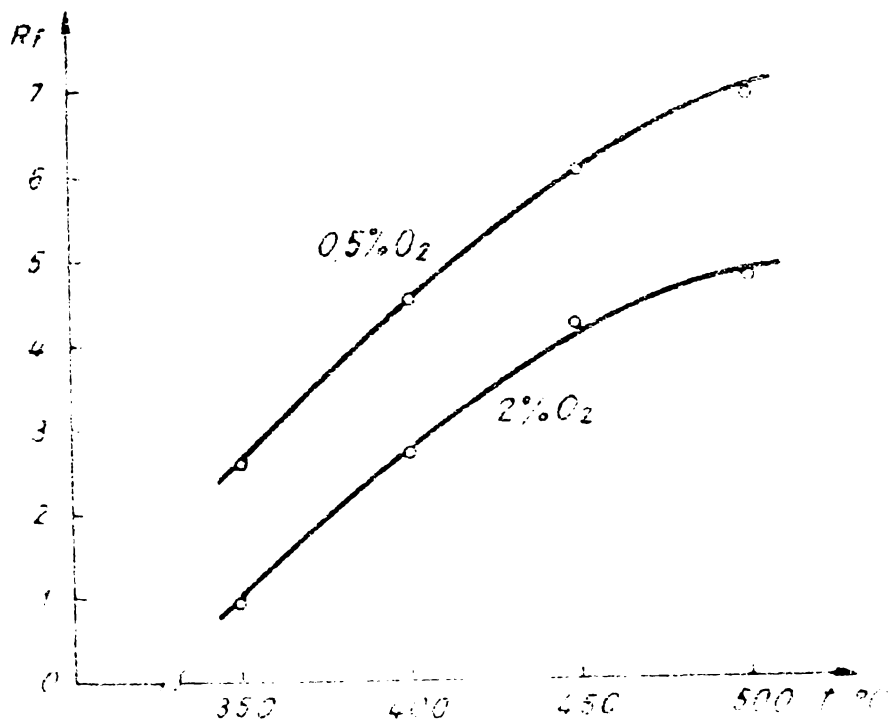


Fig.43. Variatia raportului azotit/azotat cu temperatura, pentru gazele nitroase cu 0,5 respectiv 2% vol.oxigen.

casul gazelor cu un conținut de 2% vol.O₂. În diagramă se ob-

servă, foarte clar, că în cazul gazelor nitroase provenite de la o centrală cu generator M.H.D. (având 0,5% vol. O_2), prin absorbția lor în soluție de NaOH, se pot obține cantități mult sporite de azotit comparativ cu cantitățile de azotat. Chiar la o temperatură a gazelor de $40^{\circ}C$, se obține, în soluție, un report azotit/azotat mai mare de 4/1 care, așa cum s-a arătat /356/, este convenabil din punct de vedere economic în ceea ce privește separarea azotitului.

Final, în soluția de absorbție, alături de azotit și azotat de sodiu, există și $NaHCO_3$ în concentrație de pînă la 0,5 moli/l, rezultat din reacția CO_2 din gaze cu $NaOH$. Aceasta, avind o solubilitate mult diferită (inferioră) de cea a azotitului și azotatului, se poate separa prin cristalizare.

6.1.2.2. Absorbția NO_x într-o soluție continând K_2CO_3 , K_2SO_4 și KOH . Experimentarea, în laborator, a acestui procedeu de eliminare a NO_x din gazele nitroase, așa cum s-a mai amintit în capitolul 3, a fost dictată de stabilirea existenței unor posibilități de eliminare concomitentă a NO_x (sub formă de azotiti și azotați) cu particulele de compuși de potasiu, prin spălarea cu apă a gazelor de ardere ce ar proveni de la o centrală cu generator M.H.D. În experimentările de laborator nu s-au putut asigura condițiile similare unei situații reale (gaze conținând particule de compuși de potasiu, scrubere pentru spălarea gazelor, etc.). Totuși, rezultatele obținute, în condițiile ce vor fi prezente în cele ce urmăscă, permit evidențierea unor concluzii asupra posibilităților de reținere și a NO_x , în cazul spălării gazelor pentru reținerea compușilor de potasiu.

Condițiile experimentale :

a) Compoziția gazelor :

- CO_2 = 25% vol.,
- NO_x = 6.000 ppm,
- O_2 = 0,5% vol.,
- N_2 = rest

b) Ca instalație de lucru s-a folosită cea de la absorbția NO_x la temperaturi ridicate, experimentele efectuindu-se la două înălțimi diferite a umpluturii în coloana de absorbție (H_u = 750 și 1.200 mm).

- c) debitul de stropire al soluției de absorbție: 5 l/h.
- d) debitul gazelor nitroase: 90 l/h
- e) Temperatura soluției de absorbție: 20–25°C, respectiv 50–55 °C.
- f) S-a luat cu trei soluții de absorbție de concentrații diferite. Mai întâi s-a preparat un amestec format din 5% K_2CO_3 , 5% K_2SO_4 și 90% KOH. Din acest amestec, în continuare, s-au preparat soluții apoase de 3, 5 și 10%.

Determinarea rendamentului de absorbție s-a făcut prin dozarea NO_x în gazele la ieșirea lor din coloana de absorbție.

Rezultatele obținute sunt prezentate în tabela XXXV. Valoările rendamentelor obținute reprezintă mediile aritmetice a minimelor 20 de determinări.

Tabelă XXXV

Cone. sol. abs. %	Temp. = 20–25°C		Temp. = 50–55°C	
	Rend.abs. la $H_u=750$ mm %	Rend.abs. la $H_u=1.200$ mm %	Rend.abs. la $H_u=750$ mm %	Rend.abs. la $H_u=1.200$ mm %
3	61,5	69,5	52,0	56,8
5	84,0	91,5	68,7	71,5
10	87,3	94,0	71,5	77,5

Din datele tabelate se observă că, în condițiile experimentale date, se poate reține că însemnată cantitate de NO_x din gazele nitroase. Unele referiri din literatura de specialitate /357, 358/, cu privire la absorbția NO_x în soluții de alcalii, precizează că eficiența absorbției NO_x este în funcție de natura alcaliilor și crește în următoarea ordine a absorbantilor:



Prezența KOH (în cantitate preponderentă) în soluțiile de absorbție cu care s-au efectuat experimentele, explică, într-o mare măsură, rendamentele bune de absorbție care, în anumite condiții, s-au obținut.

Fără a lua drept bază de compozitie rendamentele obținute în laborator, se poate considera totuși, că și în condiții reale, la spălarea gazelor nitroase de la o centrală cu generator N.H.D.,

asigurind un contact cît mai bun între gaze și soluție, temperaturi cît mai coborite și recirculind soluția de absorbție cît mai îndelungat pentru concentrarea ei în săruri de potasiu, există posibilități de a obține un anumit grad de depoluare de NO_x a gazelor nitroase, însă fără a se obține rezultate care să satisfacă normele sanitare existente și fără a putea valorifica NO_x în condiții eficiente.

6.2. Valorificarea NO_x prin procedeul de adsorbție pe turbă.

Așa cum s-a arătat în capitolul 3, pentru adsorbția oxizilor de azot s-a optat pentru turbă ca material adsorbant. În experiențele efectuate a fost utilizată turba spălată de Covasna, având următoarele caracteristici :

- Greutatea specifică aparentă : 0,8 g/cm³.
- Suprafața specifică : 90 m²/g
- Continutul în cenusa : 26% masă.
- Substanțe solubile în EG1 : 3% masă.
- Umiditatea ramanentă după menținerea probei timp de 1 oră la 105°C : 2% masă.
- Continutul de azot anorganic : 0% masă.

Mărimea granulelor cu care s-au făcut experimentările a fost de 2-3 mm, astfel ca raportul dintre diametrul interior al coloanei de adsorbție și diametrul mediu al granulelor să fie, conform recomandărilor /359/, de :

$$\frac{D_0}{D_g} = 10-15 \quad (128)$$

6.2.1. Prepararea turbei ca adsorbant

Turba granulată și sortată la mărimea arătată mai sus, a fost menținută timp de 1 oră în apă de var, iar în continuare încă 1/2 oră, sub agitare, într-o suspensie de $\text{Ca}(\text{OH})_2$, rămasă după decantare timp de 1/2 oră, dintr-o suspensie inițială în care s-au introdus în 100 cm³ de apă, 30 g var stins și uscat. Granulele astfel imbibate au fost uscate timp de 5 ore la 105°C. Umiditatea ramanentă (determinată la derivatograf), după această

uscare a fost de 3% masă. Astfel preparată, turba a fost introdusă în coloană de adsorbție (fig.18), al cărei mod de funcționare a fost prezentat la capitolul 3.

6.2.2. Rezultatele experimentale.

S-a operat cu un amestec gazos de aceeași componitie ca și în alte experimentări și anume :

- $\text{CO}_2 = 25\%$ vol.
- $\text{O}_2 = 0,5\%$ vol.
- $\text{NO}_x = 6.000 \text{ ppm}$
- $\text{N}_2 = \text{rest.}$

Temperaturile de lucru au fost : 20, 30, 40 și 50°C . Temperatură în coloană s-a menținut cu ajutorul apelor termostatare.

Vitezele volumare experimentate au fost : 5.000 h^{-1} , 10.000 h^{-1} , 15.000 h^{-1} și 20.000 h^{-1} . Variatia vitezelor volumare s-a realizat prin variația înălțimii stratului adsorbant.

Controlul rendamentului de adsorbție s-a făcut prin dozarea NO_x la ieșirea gazelor din coloană.

Rezultatele obținute sunt redate în tabela XXXVI. Pentru a avea rezultate comparabile, pentru fiecare condiție de experimentare impusă, adsorbția a durat timp de 2 ore. De asemenea pentru fiecare nouă determinare s-a utilizat turba proaspăt preparată.

Tabelă XXXVI

Temp. $^\circ\text{C}$	NO _x reziduali (în ppm)			
	5.000 h^{-1}	10.000 h^{-1}	15.000 h^{-1}	20.000 h^{-1}
20	400 - 480	520 - 580	650 - 700	900 - 960
30	420 - 480	550 - 600	710 - 780	970 - 1050
40	510 - 600	620 - 700	770 - 830	1080 - 1200
50	700 - 780	820 - 970	960 - 1100	1360 - 1410

În datele prezentate reiese că rezultate acceptabile se pot obține și la adsorbția oxizilor de azot pe tură, la temperaturi de $20 - 30^\circ\text{C}$, dar la viteză volumare foarte mici. Aceasta înseamnă că în practică trebuie utilizate volume specifice de adsorbție, respectiv adsorbante de dimensiuni foarte mari. În ca-

zul real, pentru o centrală cu generator M.H.J. de 50 MW, care produce aproape $400.000 \text{Nm}^3/\text{h}$ gaze de ardere, pentru depoluarea lor ar fi nevoie de un volum de adsorbant de cel puțin 80m^3 .

Produsul obținut după adsorbție (respectiv turba cu NO_x adsorbiți), la saturatie a conținut 6,5-7% azot anorganic legat, ceea ce din punct de vedere al caracteristicilor de îngrășămînt corespunde cu datele din literatură care prevăd o cantitate de azot legat de 4-8%.

Pentru a verifica stabilitatea produsului obținut, în funcție de temperatură s-a procedat în felul următor: adsorbantul menținut în coloană a fost înălțit cu apă din mantaua exterioară coloanei, cu o viteză de $3-4^\circ\text{C}/\text{min}$. Prin coloană a fost trecut un curent de aer (cu un debit de 90l/h), care la ieșire din coloană a fost barbotat într-o soluție de clorhidrat de l-naftilamină, care se colorează în roz în prezența unor infime cantități de NO_2 . S-a constatat că desorbția a inceput la 70°C , ceea ce (de asemenea conform datelor din literatura citată) demonstrează că îngrășămîntul obținut are o bună stabilitate termică.

In continuare s-a ridicat temperatura la 90°C și s-a continuat desorbția timp de 5 ore. În acest timp procesul de desorbție s-a încheiat complet. Produsul analizat după desorbție a mai conținut încă 1,5% azot anorganic legat, ceea ce înseamnă că o parte din NO_x s-au adsorbit chimic, iar cea mai mare parte din NO_x s-au adsorbit fizic.

6.3. Observații și discuții privind procedeele de valorificare a NO_x , experimentate.

Comparând rezultatele obținute la absorbția și adsorbția NO_x cu cele din literatura citată, se poate conchide că ele sunt comparaabile, iar printr-o proiectare tehnologică corespunzătoare se poate realiza valorificarea unei însemnante cantități de NO_x sub forma unor produse utile ca azotit de soiu sau un îngrășămînt-amendament agricol. Realizarea însă a scopului principal și anume acela de depoluare de NO_x a gazelor nitroase, corespunzător normelor sanitare, prin aceste procedee nu se poate face,

decit cu prețul unor cheltuieli de investiții și exploatare foarte mari, care ar putea influența direct rentabilitatea procedeeelor. Totuși, având în vedere că în cazul gazelor de ardere provenite de la o centrală cu generator M.H.D., cantitatea de NO_x este mare (6.000 - 20.000 ppm) cuplarea unei instalații de absorbție sau adsorbție cu una de reducere catalitică, ar putea să fiabilizeze procesul de depoluare, realizându-se atât o valorificare parțială a oxizilor de azot, cît și o depoluare înaintată a gazelor nitroane.

În sfîrșit, coplindu-se de exemplu, o instalație de adsorbție a NO_x pe turbă, (realizată la dimensiuni mici, respectiv pentru viteze volumare mari, de cel puțin $15.000 - 20.000 \text{ h}^{-1}$), cu o instalație de reducere catalitică a NO_x cu CH_4 , se ar putea obține :

- eliminarea parțială a NO_x din gaze și valorificarea lor,
- reținerea resturilor de săruri de potasiu pe turbă (stratul de turbă îndeplinind și rolul de filtru) și prin aceasta creșterea valorii turbei ca îngrășămînt,
- eliminarea totală, în final, a oxizilor de azot prin reducerea lor catalitică cu CH_4 , care fiind o reacție exotermă, se obține și o cantitate mare de căldură care poate fi utilizată în alte procese tehnologice.

Capitolul 7.

CONTROUL DEPOLUARII DE OXIZI DE AZOT A GAZELOR REZIDUALE.

Paralel cu efectuarea experimentărilor privind elaborarea unui procedeu pentru eliminarea oxizilor de azot din gazele reziduale nitroase, a apărut și necesitatea găsirii unei metode expeditive și precise pentru determinarea oxizilor de azot, rămași în gaze după procesul de purificare (domeniul de concentrații : 25 - 100 ppm).

Necesitățile de control și combatere a poluării atmosferei cu oxizi de azot, au determinat intense preocupări, pe plan mondial, pentru elaborarea unor metode de analiză chimică și instrumentală, adecvate scopului.

Metoda standard cu acid fenoldisulfonic /360/, permite determinări reproductibile și precise, având însă dezavantajul unui consum mare de manoperă și de timp și determinându-se doar oxizii de azot totali. Pentru a stabili rapid concentrația oxidului de azot în aer, s-a pus la punct o metodă fotocolorimetrică /361/ bazată pe absorbția NO într-o soluție de FeCl_2 ; relația dintre transparență și concentrație fiind liniară în concentrații de NO sub 0,4%.

O metodă mult utilizată și având numeroase variante, constă în absorbția NO_2 într-o soluție ce conține o amindă aromatică diazotabilă și o componentă de cuplare, concentrația coloranțului azoic format determinându-se fotometric. Reactivul clasic (Griess), este un extract de acid sulfanilic și α -naftilamină în acid acetic /362/. O variantă a metodei /363/, utilizează o soluție alcoolină pentru absorbția NO_2 . O altă variantă, mult utilizată, este metoda Saltzman /364/, care folosește drept componentă de cuplare clorhidratul de N-1-naftiletilen-diamină.

Deoarece prin fotometria coloranților azoici se determină doar concentrația în NO_2 , se poate folosi oxidarea NO la NO_2 , determinându-se astfel concentrația totală în oxizi de azot. Ca oxidanți se pot folosi KMnO_4 în acid sulfuric, Cr_2O_7 pe suprafețe uscate, sau ozonizat /365/-

Determinarea oxizilor de azot prin cromatografie în fază gazoasă se loveste de multe greutăți; de aceea, o serie de autori /366, 367/, au încercat punerea la punct a unor metode de analiză, bazate pe relații între componentele fazei gazoase mo-

bile și faza lichidă staționară, sau conversia oxizilor de azot într-un amestec de gaze mai ușor de analizat /368-372/.

O atenție deosebită se acordă metodelor instrumentale de analiză a gazelor cu conținut de oxizi de azot. În general aparatura se bazează pe : coulometrie în soluții de bromură /373/, fotometria coloranților azoici /374/, sau pe măsurarea creșterii temperaturii unui catalizator selectiv la decompunerea oxizilor de azot /375/. Alte metode sau variante ale celor de mai sus sunt prezentate într-o serie de alte lucrări /376-383/.

Dintre metodele indicate de literatură s-a optat pentru o metodă fotocolorimetrică, care permite determinări rapide, precise, reproductibile și cu mijloace relativ simple.

Paralel s-a experimentat, cu rezultate foarte bune, și o metodă gaz-cromatografică.

7.1. Metoda fotocolorimetrică de dozare a NO_x .

Rată de proceful descris de C.J.Halstaad și alții, în revista "Analyst" /384/, a fost realizată o instalație mai simplă, care nu necesită pompe pentru gaze și debitmetre speciale, permitând o manevrare ușoară și fără să afecteze precizia și reproducibilitatea determinărilor. De asemenea a fost înlocuit și reactivul principal din soluția de absorbție, utilizând unul mai ușual și deci mai ușor de procurat /385/. Metoda permite dozarea oxizilor de azot totali și separat a NO_2 , iar prin diferență a NO .

Instalația, a cărei schemă este prezentată în figura 44, constă din următoarele :

- 1.- filtru cu silicagel,

2.- vas de umidificarea aerului; este un vas Drechsel cu frită nr."0", conținând un amestec de H_2SO_4 conc. și apă în raport 1/2,5.

3.- separator de stropi, umplut cu vată de sticlă,

4.- robinet de by-pass cu trei căi, pentru oclosirea umidificatorului, în cazul dozării numai a NO_2 ,

5.- biuretă de gaze (100 ml) umplută cu dioctilftalat,

6.- robinet cu trei căi,

7.- robinet cu trei căi, pentru trecerea alternativă a aerului și gazelor nitroase,

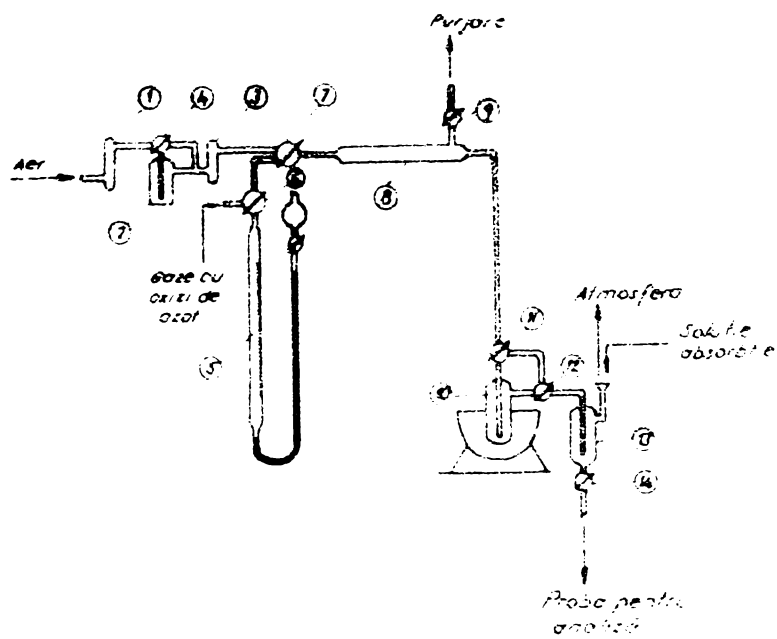


Fig.44. Schema instalației.

8.- vas tampon (volum cca. 250 cm³),

9.- robinet pentru purjare,

10.- reactor catalitic de oxidare a NO la NO₂, încălzit la 65-70°C, într-o baie de apă.

11 și 12.- robinete de by-pass pentru izolare reactorului (în cadrul detaliului mai sus a NO₂).

13.- vas de absorbție de tip bălmășor cu frită nr.1, conținând soluția de absorbție,

14.- robinet de evacuare.

Catalizatorul de oxidare : Se dizolvă 5 g bicromat de sodiu într-un amestec de 1 ml acid sulfuric conc. și 2 ml. apă, se adaugă 150 g bile de sticlă de 1 mm diametru și se amestecă bine cu soluția, pînă întreaga suprafață a bilelor a fost umectată. Se usucă la 110°C, timp de o oră și în final se rup aglomerările finante de utilizare.

Soluția de absorbție : Se dizolvă 5 g acid sulfanilic în aproximativ 500 ml de apă liberă de azotă și se adaugă 50 ml acid acetic glacial. Se dizolvă 0,05 g de clorhidrat de 1-naf-

tilamină în puțină apă, soluția se filtrează în prima soluție și se diluează totul la 1 litru.

1.- Determinarea oxizilor de azot totali. Se introduce 25 cm³ din soluție de absorbție în vasul (13). Gazele nitroase se captează în biurete (5). Se deschide robinetul (9), iar prin menevrarea corespunzătoare a robinetelor (6) și (7) se introduce volumul dorit de gaz în vasul tampon (8). Se închid în ordine robinetele (6), (7) și (9). În continuare se menevrează robinetele (12), (11), (7) și (4), pentru a realiza următorul traseu : 1-4-2-3-7-8-11-10-12-13- atmosferă. Pe acest traseu se incuflă aer care poate fi : aer tehnologic, aer AMC sau de la o suflantă de laborator. Vârful umidificat (la temperatură ambientă) antrenează gazele din (8) spre reactorul 10 unde are loc oxidarea totală a NO la NO₂ și în continuare spre barbotorul (13), unde NO₂ se absoarbe. După 10 minute, timp necesar pentru dezvoltarea culorii, vasul (13) se golește prin robinetul (14). Se măsoară densitatea optică a soluției la un fotocolorimetru la $\lambda = 525$ nm, folosind o cuvă de 2 cm³. Ca soluție de referință se folosește apa distilată.

2.- Determinarea dioxidului de azot. Se procedează ca mai înainte, cu singura deosebire că robinetele (4), (11) și (12) bypass-ează umidificatorul (2), respectiv reactorul (10).

În continuare se efectuează calculele. De pe un grafic de calibrare se citează cantitatea de NO₂, în microlitri, corespunzătoare densității optice determinate. Concentrația de oxizi de azot din gaze se calculează astfel :

a.- Oxizii de azot totali, după ecuația :

$$C = \frac{V \cdot 10^3}{V} \quad (129)$$

unde : C = concentrația oxizilor de azot în ppm.

V = volumul de NO₂ determinat grafic în μl .

V = volumul de gaze nitroase luate în analiză, în ml.

b.- Dioxidul de azot. În ecuația anterioră se introduce valorile obținute după metoda 2.

c.- Oxiiul de azot se calculează din relația :

$$C_{NO} = C_{total} - C_{NO_2} \quad (130)$$

Observație : În timpul de determinări se fac corecțiile

pentru temperatură și presiunea ambientă.

Pentru stabilirea echivalenței dintre densitatea optică a soluției și cantitatea de NO_2 absorbit, s-a efectuat o calibrare prin adăugarea unei soluții, de concentrație cunoscută, de azotit de sodiu la soluția de absorbție.

Soluția standard de azotit de sodiu se prepară prin dizolvarea a 0,203 g azotit de sodiu în apă și diluarea la 1 litru. 10 ml din această soluție se adaugă la 100 ml, cu apă. Datele din literatură /386/ recomandă un factor de echivalență între azotatul de sodiu și NO_2 de 0,72. Soluția standard astfel preparată va avea echivalență: 1 ml soluție echivalent cu $10 \mu\text{l}$ de NO_2 (la 25°C și 760 mm col.Hg).

Cu o pipetă se iau 0,25, 0,50, 0,75 și 1,0 ml de soluție standard și se aduce la semn într-un balon cotat de 25 ml, cu soluție de absorbție. După cca. 10 minute, se măsoară densitatea optică într-o cuvă de 1 sau 2 cm³, la $\lambda = 525 \text{ nm}$. Se trasează graficul densității optice funcție de volumul (în μl) de NO_2 . În figurile 45 și 46 sunt traseate asemenea grafice pentru două soluții diferite de absorbție.

Metoda de analiză are la bază determinarea fotometrică a concentrației coloranților azoici.

Dioxidul de azot este mai întâi absorbit ca azotit și în prezența unei componente de diazotare se formează o sare de diazoniu. Dacă este prezentă și o componentă de cuplare, se formează și colorant azoic, și căruia concentrație se determină fotochrometric. Reactivul clasic Griess folosește acidul sulfanilic drept componentă de diazotare și α -naftilemină drept componentă de cuplare.

În rețeta originală a lui C.J. Halstead /384/, drept componentă de cuplare se folosește diolohidratul de N-1-naftilet-lendiemină, un reactiv foarte scump și greu de procurat. În această situație s-au înlocuit alte amine, ținând cont atât de reactivul original, cât și de reactivul clasic Griess.

Au fost preparate două soluții de absorbție, prima conținând clorhidratul de 1-naftilemină, iar a doua N-etyl-1-naftilemină, drept componente de cuplare. Spre deosebire de colorantul din soluția 1, cel din soluția 2 s-a dovedit a fi instabil, în timp, la concentrații mai mari de $6 \mu\text{l}$ de NO_2 .

Din comparația graficelor de pe figurile 45 și 46, se poate

urmări instabilitatea colorantului dezvoltat în soluția de absorbție, preparată cu N-etyl-1-naftilamină, drept componentă de cuplare.

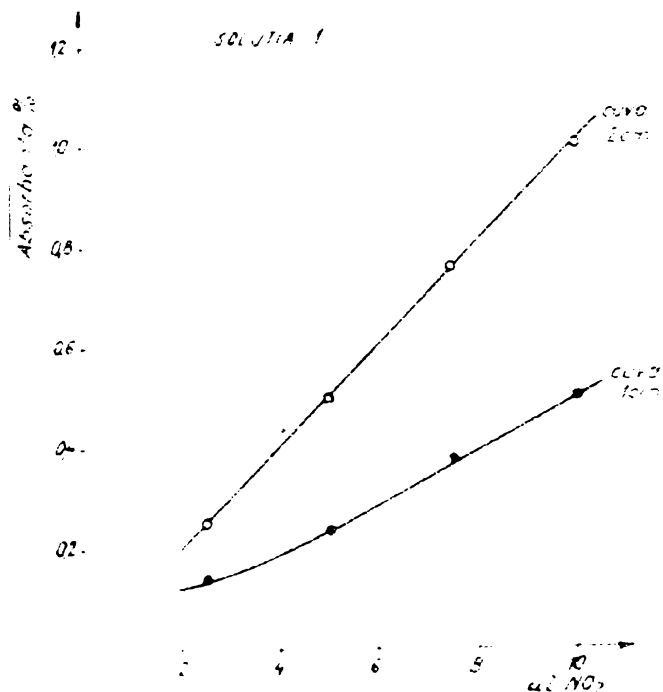


Fig.45. Densitatea optică în funcție de volumul de NO_2 (soluția 1)

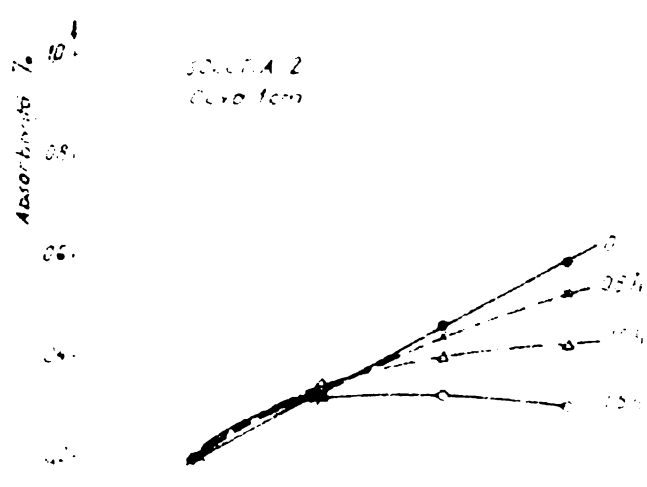


Fig.46. Densitatea optică în funcție de volumul de NO_2 (soluția 2).

Stabilitatea colorantului dezvoltat în soluția 1, se observă și mai bine din spectograma prezentată în figura 47.

Reluind determinările la spectrofotometru din jumătate în jumătate de oră, pentru aceleși probe densitatea optică (absorbență) a rămas constantă și după trecerea unui timp de 1,5 ore.

Determinările spectrometrice, prezentate în figura 47, au fost efectuate cu un spectrofotometru tip PYE-UNICAM SP 800.

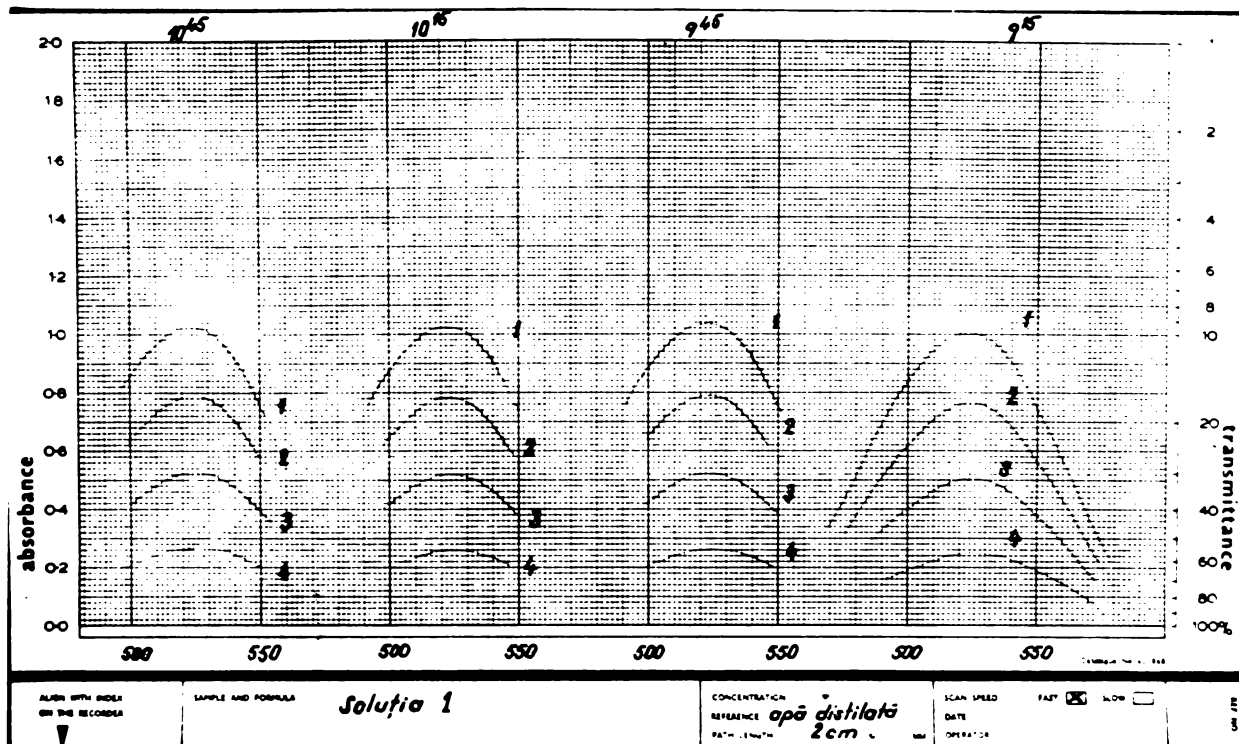


Fig.47. Spectrograme reprezentând densitățile optice, la intervale de 0,5 ore, pentru diferite concentrații de NO_2 (soluție 1).

În concluzie, s-a optat pentru soluția cu absorție preparată cu clorhidrat de 1-naftilamină, care asigură o mare stabilitate colorantului în timp, ceea ce este foarte important pentru o situație cînd, din motive fortuite nu se poate face fotometrarea imediat după dezvoltarea colorantului în soluție de absorție.

În cursul determinărilor trebuie avut în vedere că relația dintre cantitatea de NO_2 și densitatea optică, este liniară doar în domeniul de $2,5 - 10 \mu\text{l}$ de NO_2 . De aceea, în funcție de concentrația aproximativă în oxizi de azot din gazele nitroase de analizat, trebuie preluat un volum corespunzător acestor condiții.

7.2. Metoda gaz-cromatografică de dosare a NO_x .

O metodă rapidă și de mare precizie pentru dosarea oxizi-

lor de oxot este cea gas-cromatografică /387,388/.

Avindu-se în vedere faptul că oxizii de azot sunt gaze corozive, este nevoie de a luce măsuri speciale de protecție a cromatografului. Astfel, toate elementele aparaturii care vin în contact cu proba (dispozitivul de introducere a probei, coloana, conductele de legătură, garniturile de etansare, etc.), trebuie să fie confectionate din materiale anticorozive (inox, sticlă, quart, teflon).

Detectorul universal pentru analiza oxizilor de azot (în domeniul de concentrații de 0,01%) este catarometrul. Mult mai sensibil, dar și mai pretențios, este detectorul de ionizare în heliu.

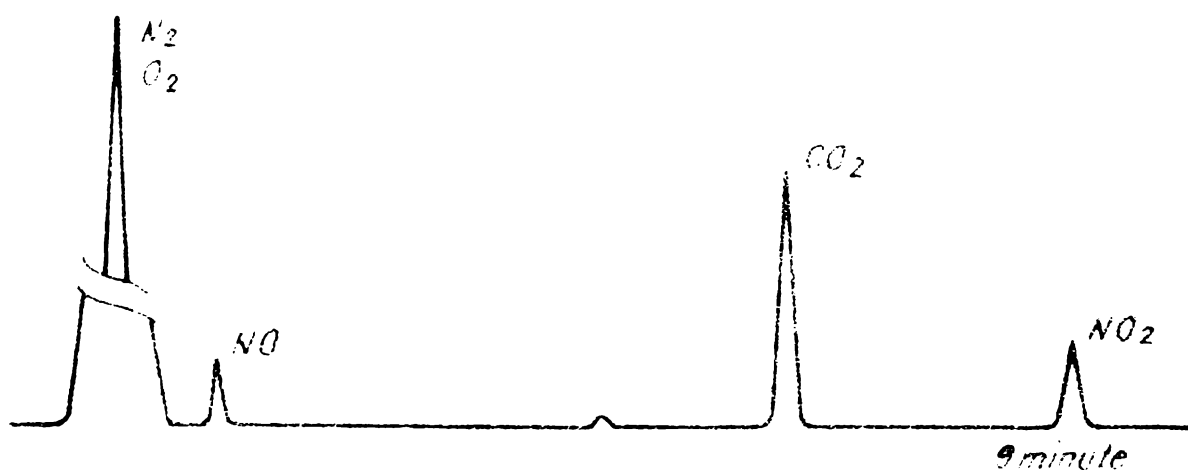


Fig.48. Cromatogramă reprezentând dozarea NO și NO_2 .

Pentru dozarea oxizilor de azot din gazele depoluante, s-a folosit o coloană de $3,5 \times 6$ mm. Ca umplutură – avind în vedere că oxizii de azot sunt gaze puternice polare – se pot utiliza polimeri aromatici. Resultate foarte bune s-au obținut cu porapak-Q. Drept gaz purtător s-a utilizat heliul, la un debit de 50 ml/min . Temperatura de lucru a fost de 27°C . În aceste condiții s-au separat în ordine : NO_2 , CO_2 , NO și, în final, N_2+O_2 . În figura 48, este prezentată o chromatogramă (micșorată la scara $1/2$) a unei determinări realizate la C.I.Ch.Tîrgu-Mureș /389/.

Prin posibilitatea dozării și a CO_2 , se poate urmări, indirect, și consumul de CH_4 sau CO (în cazul reducerii catalitice

a NO_x cu acești reducători), ceea ce este foarte util, pentru conducerea, în bune condițiuni a procesului tehnologic.

Drept cromatograf poate fi folosit și un aparat cu o rezoluție mai slabă, de exemplu de tipul GCFF 18.3.

Deși metoda gas-cromatografică este rapidă și precisă, din cauza că este nevoie de heliu drept gaz purtător (scump și procurabil din import), practic este mai puțin operantă.

P A R T E A III

Capitolul 8.

CONTRIBUTII PRIVIND UNELE
ASPECTE CINETICE, ENERGETICE
SI DE MECANISM AL REACTIILOR
LA DILUTII MARI.

Particularitatea esențială, sub aspect cinetic, a reacțiilor de depoluare este diluția mare a reactantilor, care participă la acestea.

Pentru o reacție generală avem :

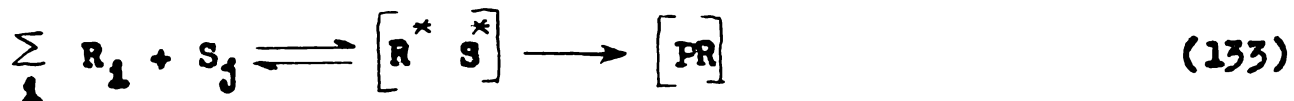


(unde i indică nr. de molecule de reactant ce intră în alcătuirea complexului activat R^*), iar viteză de reacție (pentru o reacție omogenă) va fi :

$$v_{om} = k_{om} \sqrt{\sum_i c_{R_i}} \quad (132)$$

La diluții mari, factorul $\sqrt{\sum_i c_{R_i}}$ are valori foarte mici, deci și viteză de reacție va fi mică.

O posibilitate de mărire a vitezei de reacție ar fi utilizarea unui catalizator, situația în care reacția generală se poate scrie :



(unde j indică numărul de centri superficiale S ce participă la reacție), iar viteză de reacție, în acest caz, va fi :

$$v_{et} = k_{et} \cdot c_{S_j} \cdot \sqrt{\sum_i c_{R_i}} \quad (134)$$

dar apare din nou efectul negativ al valorilor mici $\sqrt{\sum_i c_{R_i}}$, care, în general, nu poate fi compensat de creșterea valorii k_{et} .

Decăsese rezultatele presentate în capitolele anterioare au dus la concluzie că reacțiile de depoluare se pot desfășura cu viteză convenabilă în cataliza eterogenă, s-a efectuat un studiu teoretic și experimental asupra particularităților reacții-

lor la diluții mari, care să permită explicarea, eventual doar la nivel calitativ, a cauzelor care determină obținerea acestor viteze de reacție, chiar în condițiile unor concentrații mici de reactanți.

Studiul abordează un singur aspect al problemei și anume: influența gazelor de diluție asupra desfășurării reacțiilor.

8.1. Analiza teoretică.

Teoria complexului activat, în formulare termodinamică /390, 391/, permite scrierea ecuațiilor de viteză, împă cum urmăză :

$$v_{om} = \frac{KT}{h} \cdot \prod_i c_{R_i} \cdot \frac{Q_{R_i}^*/V}{\prod_i (Q_{R_i}/V)} \exp \left(- \frac{E_{om}}{RT} \right) \quad (135)$$

respectiv:

$$v_{et} = \frac{KT}{h} \cdot c_{S_j} \cdot \prod_i c_{R_i} \cdot \frac{Q_{R_i}^{*S^*}/\alpha}{(Q_{S_j}/\alpha) \cdot \prod_i (Q_{R_i}/V)} \exp \left(- \frac{E_{et}}{RT} \right) \quad (136)$$

unde :

c_{R_i} - concentrația reactantului i în fază gazoasă,

c_{S_j} - concentrația superficială a centrilor activi (ex.: $j = 2$, dubleti; $j = 6$, sexteti),

Q_{R_i}/V și Q_S/α - funcțiile de partitie ale reactanților, respectiv complexului activat, raportate la unitatea de volum,

$Q_{R_i}^{*S^*}/\alpha$ și Q_S/α - funcțiile de partitie a complexului activat superficial, respectiv multipletului, raportate la unitatea de suprafață,

E_{om} și E_{et} - energiile de activare ale reacțiilor omogenă, respectiv heterogenă.

Considerind complexul activat, format pe suprafața catalizatorului, că este localizat, putem considera $Q_{R_i}^{*S^*}/\alpha = 1$; de asemenea, deoarece atomii din solide pot efectua doar mișcări limitate de vibrație, în condiții normale $Q_S/\alpha = 1$. Cu aceste considerații, făcind raportul între ecuații (136) și (135), rezultă :

$$\frac{v_{et}}{v_{om}} = \frac{s_1}{Q_R^*/V} \exp\left(\frac{\Delta E}{RT}\right), \quad \Delta E = E_{on} - E_{et} \quad (137)$$

Funcția Q_R^*/V conține doar termenul de translație, cu valori între 10^{24} și 10^{30} , în medie 10^{27} cm^{-3} ; pentru concentrația superficială, o valoare rezonabilă este 10^{15} cm^{-2} (de exemplu dubleti pe suprafețele de metale tranziționale). Cu aceste valori ecuația (137) devine :

$$\frac{v_{et}}{v_{om}} = 10^{-12} \exp\left(\frac{\Delta E}{RT}\right) \quad (138)$$

Semnificația ecuației (138) rezultă urmărind un caz concret : pentru ca $v_{et} = v_{om}$, în cazul unui catalizator cu o suprafață specifică de $100 \text{ m}^2/\text{g}$, ΔE trebuie să fie de 7 Kcal/mol (29,3 KJ/mol) la 300 K și 11,5 Kcal/mol (48,2 KJ/mol) la 500 K. Înseamnă că o reacție decurge cu viteză mare, în prezența catalizatorului, numai dacă energia de activare a reacției heterogene este sensibil mai mică decât a reacției omogene.

Admitând că această condiție este ușor de realizat, valoarea foarte mică a $\frac{v_{et}}{v_{om}}$, în cazul reacțiilor la jiluții mari, va măsura foarte mult viteza de reacție. În această situație, posibilitatea de a obține viteză de reacție corespunzătoare va fi legată de o redistribuire favorabilă a energiei de activare, problemă care necesită o analiză a dinamicii schimburilor energetice pe suprafețe catalizatorului.

Procesele energetice care însoțesc reacțiile catalitice cu anumite particularități :

1.- complexul activat, care apare în cataliza heterogenă, implică părți atât din moleculele reactante, cât și din suprafața catalitică;

2.- spectrul energetic al reactantului și al catalizatorului se modifică în timpul interacției lor;

3.- după ce s-a atins starea de transiție și a avut loc reacția, energia stării activate trebuie să se redistribueze între suprafața catalitică și produsii de reacție;

4.- reacția catalitică este favorizată numai de acelle stări energetice pentru care energia de interacțiune nu atinge nivelul necesar formării unei legături stabile reactant-catalizator, dar

este suficient de ridicată pentru a forma intermediari activi.

Pentru ca specia moleculară chemosorbită să devină activă, trebuie ca pe o anumită legătură să se acumuleze o cantitate de energie, care să permită labilizarea și, ulterior, desfaceerea legăturii. Privite din acest punct de vedere, pe suprafața catalizatorului se pot deosebi două stări energetice ale speciilor superficiale :

1.- starea energetică, în care toate legăturile (sau o mare parte din ele) au un nivel energetic mai ridicat, fără să existe acumulații energetice preferențiale, și

2.- starea activă, în care numai anumite legături au un nivel energetic ridicat, această acumulare selectivă (sau redistribuire intramoleculară) determinând labilizarea legăturii.

Conform acestor ipoteze, evoluția sistemului spre formarea produsilor de reacție presupune acumularea și stocarea energiei în speciile chemosorbite, urmată de transferul intramolecular de energie, ceea ce înseamnă că acțiunea catalizatorului poate fi interpretată drept o favorizare a acumulațiilor energetice pe anumite legături.

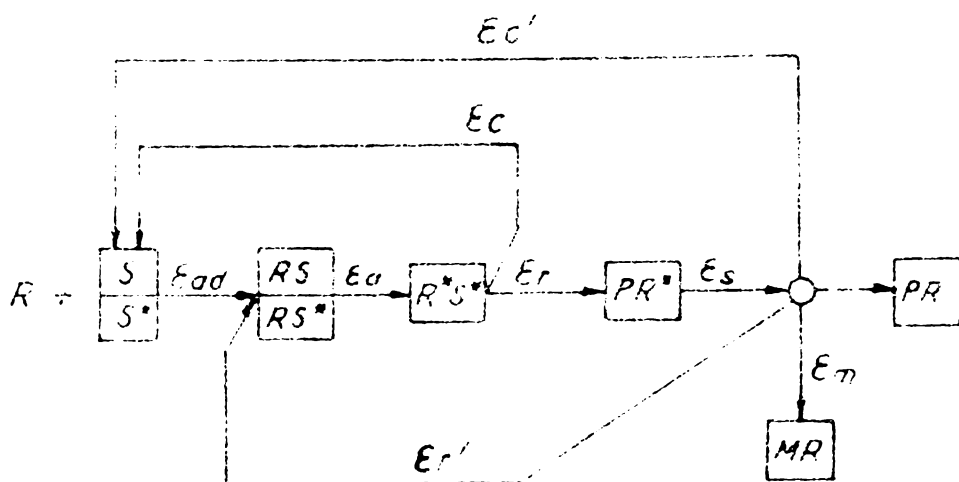


Fig.49. Schema schimburilor energetice.

Schimburile energetice care au loc în timpul unei reacții superficiale, pot fi analizate pe un model fenomenologic /302-395/.

prezentat în figura 49, în care suprafața catalitică este assimilată cu o distribuție de centri activi S^* și inerți S , fiind simbolizată prin $S | S^*$. Reactantul R poate fi fixat pe suprafață, fie în forma adsorbită fizic $RS | S^*$, fie în forma chemosorbită $S | RS^*$, energia de interacție fiind ε_{ad} (energia de adsorbție). Specia superficială este activată (energia de interacție fiind ε_a), rezultând complexul activat $S^* R^*$.

Mecanismul de activare necesită o analiză mai detaliată. Posibilitatea ca activarea să se bazeze pe acumularea preferențială a energiei prin acțiunea directă asupra legăturilor implicate în procesul de labilizare are o probabilitate foarte mică, de ordinul $10^{-4} - 10^{-5}$. De aceea, pentru ca pe suprafața catalitică (respectiv pe multipletul S_j) să zibe loc o nouă seocență de reacție, este necesar ca o mare parte din energia de activare, după formarea complexului activat, să fie stocată și redistribuită după cum urmează: ε_a să fie preluată de suprafața catalitică prin intermediul purtătorilor cuantici, iar o altă parte ε_p să fie preluată de produșii de reacție PR^* aflatî intr-o stare energetică superioară stării fundamentale (sau cele stabile).

Produsul de reacție PR^* (aflat într-o stare energetizată), diferă foarte puțin de complexul activat $S^* R^*$: structural diferențiază prin legăturile formate între speciile moleculare și centrii superficiași, iar energetic doar prin cantitatea de energie ε_p preluată de purtătorii cuantici și suprafeței. Deși probabilitatea că PR^* să refacă $S^* R^*$ (adică evenimentele de pe suprafața catalitică să nu se finalizeze prin formarea unei molecule noi, ceea ce produsului de reacție stabil PR) este destul de mare, deoarece presupune un proces de stabilizare a PR^* , prin cedarea surplusului de energie ε_g .

Cedarea de energie poate degurge prin următoarele procese:

1.- Schimb de energie prin coliziunea lui PR^* cu suprafața catalizatorului (energia de interacție ε_{ad}), care presupune un transfer translational-vibrational, proces cu o probabilitate foarte mică.

2.- Schimb de energie prin coliziune moleculară între PR^* și speciile fixate pe suprafața catalizatorului (energia de interacție ε_p), care de asemenea presupune un transfer translational-vibrational cu o probabilitate mică. Chiar deoarece se admite o adsorbție mobilă pentru RS , durata unei coliziuni intermoleculare

lare (10^{-13} - 10^{-12} sec), permite, ca din punctul de vedere al transferului de energie, să considerăm speciile adsorbite ca imobile.

3.- Schimb de energie prin coliziune moleculară între PR* și moleculele din mediul de reacție MR (energia de interacție ε_m), proces care presupune un transfer translational-rotational prin care la fiecare coliziune este posibil un transfer de energie de translație în mai multe cuante de energie de rotație. Deci acest tip de transfer, foarte eficient, va avea o contribuție majoră la stabilizarea energetică a produsului de reacție.

Cedarea surplusului de energie ε_s se poate realiza pe parcursul mai multor coliziuni. Dacă se notează cu n_1 , n_2 și n_3 numărul de coliziuni necesare pentru a transfera energia ε_s spre suprafața catalitică, moleculele adsorbite sau mediul de reacție, atunci conform modelului descris, rezultă următoarele relații:

$$\varepsilon_s = n_1 \cdot e' \quad (139)$$

$$\varepsilon_s = n_2 \cdot r' \quad (140)$$

$$\varepsilon_s = n_3 \cdot u \quad (141)$$

cu n_1 , n_2 și n_3 numere naturale și :

$$n_3 \ll n_1 + n_2 \quad (142)$$

Timpul de viață al speciei PR* este limitat și dacă ea nu își cedează surplusul de energie într-un timp mai scurt decât acest timp de viață, atunci se aduce foarte mult probabilitatea desfășurării reacției în sensul $R \rightarrow PR$. Deci vor prezenta importanță procesele eficiente de transfer de energie $PR \rightarrow MR$ (ec. 141) cu n_3 cît mai mic.

In cazul reacțiilor de depoluare, concentrația reactenților este foarte mică, astfel că mediul de reacție poate fi assimilat cu gazul (sau gazele) de diluție /396/. Eficiența transferului translational-rotational, respectiv valoarea lui n_3 , depinde de tipul moleculelor care constituie mediul de reacție. Ca exemplu, în tabela XXXVII sunt prezentate /397/ câteva molecule cu numărul corespunzător de coliziuni necesare pentru că diferența de energie rotațională să se reducă la 1/e din valoarea inițială.

In gase grele, transferul este mult mai eficient, astfel că, deși sub aspect termodynamic și de cinetică formelă, efectua-rea reacției de reducere catalitică a NO_x în mediul bogat în bi-

Tabelă XXXVII

Molecule	T, K	n_3
H ₂	298	240 - 270
N ₂	298	14
O ₂	200	4,1
CO ₂	305	10
D ₂	293	10
CH ₄	314	14 - 17

drogen ar fi avantajoasă, considerațiile de dinamică a schimbulor energetice prezintă ca eficientă utilizarea de gaze grele (eventual inerte ca N₂ și CO₂) drept gaze de diluție.

In continuare se prezintă unele observații experimentale în sprijinul acestei concluzii.

8.2. Rezultate experimentale.

Experimentările s-au efectuat pe instalația descrisă la capitolul 3 (cu funcționare discontinuă), în următoarele condiții:

- catalizatori : - paladiu depus pe aluminiu,
- cromit de cupru;
- temperaturile de reacție : 150 - 350°C;
- concentrația NO_x : 0,67% vol.;
- raportul molar NO_x/H₂ = 1/3,5 (justificat de concluziile prezentate la capitolul 4);
- gazul de diluție : H₂, N₂ sau Ar, adăugat pînă la 100%.

Variatia vitezei de reacție (exprimată prin efectul termic $\Delta T/\Delta t$), funcție de temperatura (respectiv 1/T de reacție, este prezentată în figura 50.

Pentru catalizatorul de paladiu se observă o viteză de reacție mai mare în cazul folosirii azotului drept gaz de diluție. Diferența dintre vitezele de reacție în mediu de azot, respectiv de hidrogen, crește cu măsura temperaturii de reacție. La temperatură de 350°C, vitezele de reacție, în cele două cazuri, sunt practic egale.

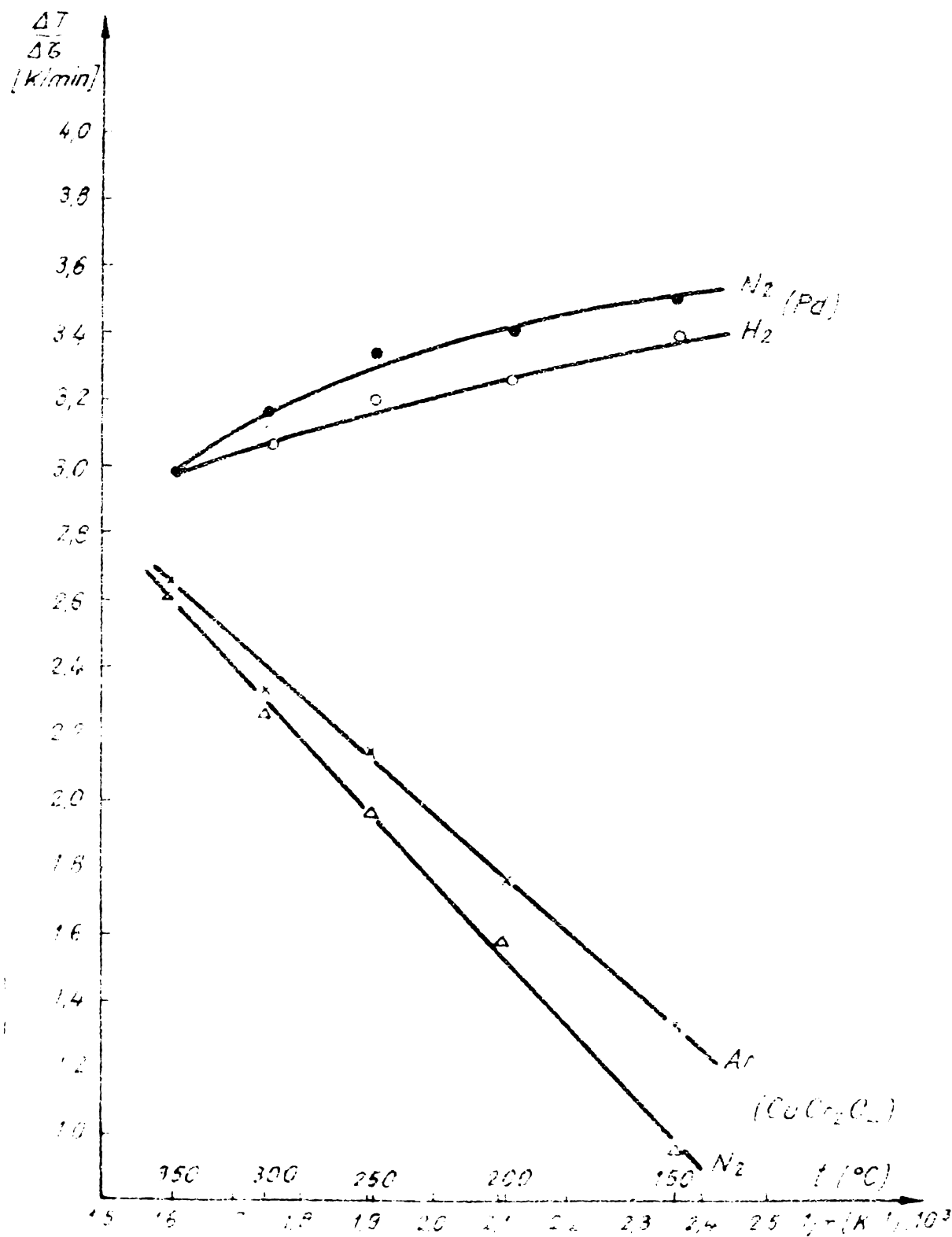


Fig.50. Variatia vitezei de reacție în funcție de T și natura gazului de diluție.

În catalizatorul de Cromit de cupru nu s-au putut efectua experimentări în mediul bogat de hidrogen, datorită tensiunței de reducere parțială a catalizatorului. Folosind argonul și respec-

1970-1971

tiv, azotul drept gaze de diluție, s-a constatat o viteză de reacție mai mare în primul cas (cu argon), iar diferența dintre vitezele de reacție era de asemenea mai mare la temperaturi joase, și foarte mică la 350°C .

In ceea ce privește elura curbelor, deosebirile să se putea datora, pe de o parte naturii catalizatorului /398/, iar pe de altă parte, faptului că reducerea NO_x cu H_2 pe crumit de cupru decurge numai pînă la N_2 , în timp ce pe paladiu se formează, în cantități apreciabile și NH_3 , însotit de alte efecte termice ce influențează desfășurarea reacției.

8.3. Concluzii.

1.- În cazul reacțiilor la diluții mari (catalitice sau ne-catalitice), valoarea foarte mică a concentrațiilor reactenților determină o limitare serioasă a vitezei de reacție. S-a analizat, teoretic, posibilitatea ca, în condiții de diluții mari, schimbările energetice ce însotesc sevențele de reacție (catalizată), să determine o redistribuire și o "recuperare" a energiei de activare.

2.- Modelul fenomenologic pe care s-a făcut analiza calitativă, a fost elaborat pe baza concepțiilor de cinetică și dinamică de reacție general acceptate, ipotezele simplificatoare și particolarizările fiind reduse la minimum.

3.- În urma reacției superficiale, rezultă produsul de reacție în stare energetică superioară stării stabile. Cedarea rapidă a surplusului de energie este o condiție limită pentru evoluția sistemului în sensul coordonatării de reacție.

4.- Cel mai eficient proces de cedare a energiei este transferul translational-rotational între produsul de reacție energetică și moleculele mediului de reacție. Conform modelului analizat și a datelor din literatură, natura gazului de diluție influențează eficiența transferului de energie, moleculele grele fiind mai eficiente decît cele ușoare.

5.- Datele experimentale obținute, confirmă afirmațiile anterioare. Reducerea catalitică a oxizilor de azot decurge cu viteză mai mare în mediul de azot (sau argon), decît în exces mare de hidrogen.

6.- La temperaturi mari (în particular peste 350°C), viteza reacției superficiale (respectiv întreg lanțul de procese, pornind de la formarea complexului activat și terminând cu stabilizarea produsului de reacție) crește suficient de mult pentru ca cinetica să fie controlată de difuziune, situație în care desfășurarea reacției, în mediu de hidrogen, devine avantajoasă.

CONCLузII FINALE

7

Unul din cei mai agresivi și periculoși poluanți ai atmosferei, cu acțiune nocivă asupra ecologiei naturale, asupra construcțiilor și instalațiilor de orice fel, sunt oxiziile de azot. Obiectivul principal al cercetărilor abordate în prezenta teză de doctorat, a fost aceela de a contribui la elaborarea unor tehnologii, privind eliminarea oxiziilor de azot din gazele reziduale de la fabricarea acidului azotic pe de o parte, iar pe de altă parte epurarea sau valorificarea oxiziilor de azot din gazele de ardere, provenite de la o centrală experimental-industrială cu generator magneto-hidro-dinamic (M.H.D.), ce urmează să fie construită la noi în țară.

Cercetările prezentate în această teză cuprind următoarele contribuții proprii :

1.- Conceperea și realizarea unor instalații de laborator, în diferite variante de funcționare, pentru reducerea catalitică a NO_x , absorbție alcalină a NO_x , adsorbție pe turbă a NO_x , precum și a unei instalații micropilot de laborator pentru reducerea termică a NO_x . În baza rezultatelor obținute, în urma cercetărilor de laborator, a fost proiectată și realizată o instalație pilot pentru reducerea catalitică a NO_x .

2.- S-a realizat o instalație pentru prelevarea și prelucrarea gazelor nitromase în vederea dozării NO_x , s-a elaborat o metodă spectrofotometrică de dosare a NO_x .

3.- S-a conceput și realizat un aparat pentru determinarea rezistenței mecanice la despicate a tabletelor de catalizator.

4.- S-a elaborat un dispozitiv adaptabil la un aparat pentru controlul durății metalelor (tip Brinell), cu care s-a efectuat pulberea de catalizator, la presiuni variabile și foarte exacte.

5.- Fornind de la ideea remunțirii folosirii catalizatorilor platinici, în procesele de reducere a NO_x , s-au preparat peste patruzeci de sortimente de catalizatori oxidici (simpli sau multicomponenți) ai unor metale tranziționale din prima perioadă. Pe lîngă testarea acestor catalizatori în reacțiile de reducere, s-a procedat și la caracterizarea fizico-chimică a acestora, utilizând în acest scop metode moderne de investigare ca : analiză termogravimetrică, difracție de raze X, spectroscopie de absorbție atomică, spectrometrie în IR, termo-magnetometrie, conductibilitate electrică, etc. Pentru unii catalizatori s-a urmărit și influența presiunii de tabletare a pulberii, corelată cu granulația acesteia, asupra suprafeței specifice și implicit asupra activității și selectivității catalizatorilor.

6.- S-au stabilit condițiile tehnologice optime de preparare a unui catalizator de tipul $\text{Fe}_2\text{O}_3 - \text{Cr}_2\text{O}_3$ pentru reducerea a NO_x cu CH_4 , respectiv cu un amestec de gaze reducătoare $\text{CO} + \text{CH}_4 + \text{H}_2$, precum și a catalizatorului CuCr_2O_4 pentru reducerea NO_x cu H_2 .

7.- În vederea obținerii unor catalizatori ieftini s-a urmărit valorificarea nămolului oxidic de fier și mangan, rezultat la deferizarea și demanganizarea apei subterane de la uzina de apă nr.1 din Timișoara, stabilindu-se că acest nămol poate fi utilizat, cu rezultate foarte bune, la prepararea unui catalizator pentru reducerea NO_x cu CH_4 .

8.- S-au stabilit condițiile tehnologice optime pentru următoarele procese :

- reducerea catalitică a NO_x cu CH_4 ,
- reducerea catalitică a NO_x cu amestec de $\text{CO} + \text{CH}_4 + \text{H}_2$,
- reducerea catalitică a NO_x cu H_2 ,
- reducerea termică a NO_x cu CH_4 ,
- reducerea termică a NO_x cu NH_3 .

9.- Pentru valorificarea oxizilor de azot din gazele nitroase reziduale, s-a studiat absorbția alcalină a NO_x la temperaturi ridicate, obținindu-se un amestec de azotit și azotat de sodiu, în care azotitul este într-o proporție preponderentă (de 4/1). Separarea celor două săruri, datorită diferenței mari de solubilitate, s-a făcut prin cristalizare. De asemenea s-a stabilit că printr-un procedeu de adsorbție a NO_x pe turbă, se poate obține un îngrășămînt oră, în același timp este și un emen-

dament agricol pentru soluri acide.

10.- Deoarece rezultatele cercetărilor efectuate au demonstrat că în cataliza eterogenă reacțiile se desfășoară cu viteze convenabile, chiar și la concentrații foarte mici de reactanți, s-a efectuat un studiu teoretic și experimental asupra particularităților reacțiilor la diluții mari ale reactanților, abordându-se un singur aspect al problemei și anume : influența gazelor de diluție asupra desfășurării reacțiilor. În acest scop a fost elaborat un model fenomenologic, pentru urmărirea schimburilor energetice ce pot avea loc în timpul unei reacții pe suprafața catalizatorului. În urma analizei teoretice s-a ajuns la concluzia că natura gazului de diluție poate avea o influență importantă asupra vitezei unor reacții în care reactanții sunt la concentrații mici.

În sprijinul acestei concluzii pledează rezultatele obținute la reducerea catalitică a NO_x cu H_2 , utilizând drept gaze de diluție azot, argon, cît și hidrogen, atât ca reactant, cît și ca mediu de reacție.

11.- Cercetările efectuate au demonstrat că o depoluare a atmosferei de oxizi de azot, corespunzătoare unor norme sanitare stricte, se poate obține prin procedee de reducere catalitică sau termică a oxizilor de azot. Utilizarea unor procedee de absorbție sau adsorbție a oxizilor de azot, în condiții economicoase, mădușă la un grad înaintat de depoluare a atmosferei. Totuși, astfel de procedee, în condițiile existenței unor debite foarte mari de gaze nitroase care să concentreze ridicate de oxizi de azot (casul gazelor de ardere de la o centrală cu generator M.H.J.), pot fi luate în considerare, cel puțin ca etape intermediare de depoluare, deoarece prin obținerea unor produse valoioase și de mare utilitate, se poate recupera o însemnată parte din cheltuielile de exploatare a unor instalații de absorbție sau adsorbție.

BIBLIOGRAFIE

- 1.- M.Vintilăescu, s.a., Implicațiile tehnice și economice ale poluării instalațiilor electroenergetice din zonele industriale cu emanații de noxe. (Comunicare la al IV-lea Simpozion privind combaterea poluării mediului. Academia R.S.R., București - aprilie 1972).
- 2.- C.Drăghicescu, s.a., Măsurători pentru aprecierea gradului de poluare a instalațiilor electrice de înaltă tensiune, amplasate în zone poluate. (Comunicare la al IV-lea Simpozion privind combaterea poluării mediului. Academia R.S.R., București - aprilie 1972).
- 3.- Gh.Zamfir, s.a., Cercetări privind influența oxizilor de azot asupra organismului. (Comunicare la al IV-lea Simpozion privind combaterea poluării mediului. Academia R.S.R., București - aprilie 1972).
- 4.- M.Bârnea, s.a., Poluarea aerului și implicațiile ecologice asupra colectivității umane. (Comunicare la al IV-lea Simpozion privind combaterea poluării mediului. Academia R.S.R., București - aprilie 1972).
- 5.- I.Horescu, V.Medelesanu, Distrugerea oxizilor de azot din gazele reziduale, în vederea combatării poluării mediului. (Comunicare la al IV-lea Simpozion privind combaterea poluării mediului. Academia R.S.R., București - aprilie 1972).
- 6.- J.Sahlo, Chem.Teollisuus, 28 (12), pag.901, 1971.
- 7.- H.C.Perkins, Air Pollution, New-York, pag.407, 1974.
- 8.- E.Robinson și R.C.Robbins, J. Air Pollution Control Assoc., pag.303-306, 1970.
- 9.- x x x , Air Quality Criteria for Nitrogen Oxides, Environmental Protection Agency Publication, AP-84, 1971.
- 10.- T.Bartok, s.a., Chem.Engng. Progress, 67, nr.2, pag.64-72, 1971.
- 11.- W.W.Reck, Effects of Oxidant Air Pollutants, J.Occupational Med., nr.3, pag.485-499, 1968.
- 12.- I.Jallo, s.a., Zastosowanie ozonu w technice ochrony atmosfery w celu zmniejszenia emisji tlenku azotu. (Comunicare la Simpozionul privind protecția mediului. Lublin - R.Polonia, 10 febr.1980).

- 13.- R.Ehrlich și H.C.Henry, Chronic Toxicity of Nitrogen Dioxide, Arch. Environ. Health, pag.860-865, 1968.
- 14.- O.I.Kosimov, Metall. i gornorudnaja promistlenosti, nr.3, pag.79-80, 1974.
- 15.- O.Rentz, s.a., Verfahren z. Abscheidung von Stickoxiden, Projektgruppe Technoökonomie, Universität Karlsruhe, pag. 820, 1979.
- 16.- St.Bistrom, Referat prezentat la IX-a ședință a Consiliului Iaupernicilor, pentru problema IV "Protecția atmosferei contre substăncelor nocive", - CAER - Budapeste, noiembrie 1981, (in rusă).
- 17.- x x x , Metode de determinare a poluărilor din aer. Vol.I, pag.93. Editat de Centrul de Calcul și Statistica Sanitară al Ministerului Sănătății, 1972.
- 18.- T.A.Kalughina și V.A.Klevke, Zhur. Vsesoyus.Nim.Obsheh., im. D.I.Mendeleeva, vol.XIV, nr.4, pag.410, (1969)
- 19.- L.Pauling, Die Natur der chemischen Bindung, ed.II, pag.326, Verlag Chemie, Weinheim, 1964.
- 20.- J.E.Williams și J.J.Murrell, J.Amer.Chem.Soc., 93, (26), pag. 7149, 1971.
- 21.- C.D.Nenitescu, Chimie Generală, Ed.Didactică și pedagogică, București, pag.738, 1972.
- 22.- K.Winnecker și I.Klebler, Tehnologie chimică anorganică, vol. 2, pag.245, Editura Tehnică, București, 1962.
- 23.- D.Negoiu, Tratat de Chimie Anorganică, vol.II., pag.661-689, Editura Tehnică, București, 1972.
- 24.- A.Julg, Chimie cuantică, pag.86, Editura Stiintifică, București, 1971.
- 25.- L.Kassel, Kinetics of Homogeneous Gas Reactions. Chemical Catalog, New-York, 1972.
- 26.- A.G.Sykes, Kinetics of Inorganic Reactions, cap.V, Pergamon Press, 1966.
- 27.- J.C.Treacy și F.Janiela, J.Amer.Chem.Soc., 77, pag.2033, 1965.
- 28.- J.D.Graig și P.G.Hall, Trans.Faraday Soc., 60, pag.655, 1964.
- 29.- x x x , Noțiuni de cinetică chimică, pag.132.
- 30.- V.Cocheci s.a., Bazele tehnologice i chimice, vol.III, pag. 218-221, curs editat de Inst.Folit.Timișoara, 1980.
- 31.- R.G.Pearson, Chem.-Eng.News, 48, pag.66, 1970.
- 32.- B.M.Fung, J.Chem.Educ., 49 (1), pag.26, 1972.

- 33.- E.A.Moelwyn - Hughes, Physical Chemistry, pag.989, Editura Pergamon, Londra, 1961.
- 34.- E.R.S. Winter, J.Catal., 22, (2), pag.158-170, 1971.
- 35.- F.Souchay, Chimie Générale. Thermodynamique chimique, pag. 120, Ed.Masson et Cie, Paris, 1964.
- 36.- A.E.Seidlin și a.ă., Ugoli, Nr.3, pag.85, 1960.
- 37.- V.M.Maslenicov și K.A.Gordin, Aspecte ecologice ale utilizării instalațiilor M.H.D., (din : "Materialele confătuirii tehnico-științifice a specialistilor țărilor membre CAER", din 30 oct.-3 noemb.1978, pag.25-37, sub redacția prof.B.Ia. Sumeanschi, în l.rusă).
- 38.- B.Ia.Sumeanschi și M.Petrik, Transformarea MHJ a energiei. Ciclul închis. Ed.Nauka, Moscova, 1979, (în l.rusă).
- 39.- K.A.Gordin și V.M.Maslenicov, Cinetica formării oxizilor de azot pe traseul instalației MHJ. (în același material menționat la poz.obi.37, pag.177-186).
- 40.- V.M.Maslenicov și V.M.Beleaichin, Teplofiz.vîsochih temperatur, 15, (2), pag.443, 1977.
- 41.- x x x , Tematica de cercetare transmisă de CNST, 1970.
- 42.- M.Shidara, Sengyo to kankyo, 7(10), pag.86-87, 1978. (C.A.92(18), 152.132 g, 1980).
- 43.- S.Ohito, Sengyo to kankyo, 7(2), pag.30-34, 1978. (C.A.92(16), 134.252 s, 1980).
- 44.- M.Stochs, Bratisl.Iek.Listy, 72(1), pag.65-69, 1979.
- 45.- Brevet SUA, 3.476.508, 15 iul.1969. (C.A.72(4) 15.558, 1970).
- 46.- Brevet SUA, 3.524.721, 20 aug.1969.(C.A. 73(18), 90.992, 1970).
- 47.- Brevet SUA, 3.567.574, 1 sept.1970. (C.A.74(18), 90.886, 1971).
- 48.- Brevet SUA, 3.599.427, 3 nov.1970.(C.A.75(20), 121.098, 1971).
- 49.- Brevet R.F.G., 1.953.061, 10 ian.1971.
- 50.- W.J.Balgord și Z.Z.Wang, Proc. 2nd Int.Clean Air Congr.1970, Bd.H.U. England, Academic Press, New-York, pag.818, 1971.
- 51.- R.L.Klimisch și G.J.Barnes, Environ.Sci.Tecnol., 6, pag.543, 1972.
- 52.- B.Zeillin și A.L.Walitt, U.S Nat.Tech.Inform.Serv., P.B.Rep. 1969, nr.209.191. (C.A.77(18), 117.788, 1972).
- 53.- Brevet SUA, 3.531.664, 30 sept.1970. (C.A.73(22), 112.660, 1972).
- 54.- Brevet Japones, 7939(198), 26 nov.1979.(C.A.93(6), F.52.940, 1980).

- 55.- Y.Kamino s.a., Kitschi Zosen Goho, 40(4), pag.234, 1979.
(C.A.93(8), 78.673, 1980).
- 56.- Brevet Japonez, 8008(847), 22 ian.1980 (C.A.93(8), 78.801 b, 1980).
- 57.- R.Ivanova, Kim.Ind., 43, pag.124, 1971 (Sofia).
- 58.- Brevet Francez, 1.578.561, 15 sept.1970.
- 59.- V.M.Vesnenko, Kataliticeskaia ocistica gazov, Ed.Tehnika, Kiev, pag.213, 1973.
- 60.- J.Hapenfeld, J.Energy, 2, nr.6, pag.335, 1979.
- 61.- I.Horescu, V.Medelaru, S.Munteanu, Reacțiile catalitice ale oxizilor de azot la concentrații mici ou hidrocarburi inferioare. (Comunicare la a II-a Conf.Nat.de Chimie Fizică Generală și Aplicată, București, 1970).
- 62.- G.Iacoste s.a., J.Chim.Physico-Chim.Biol., 67, nr.4, pag. 736-739, 1970.
- 63.- G.Iacoste s.a. J.Chim.Phys.Physico-Chim.Biol., 72, nr.3, pag. 189-191, 1973.
- 64.- I.M.Usoleeva s.a. Kinetika i kataliz, 14, nr.5, pag.1350-1351, 1973.
- 65.- E.K.Bremin și S.A.Rubtova, J.fiz.him., 1974, 48, nr.5, pag. 1190-1193, 1974.
- 66.- N.B.Sislivieratova s.a., Issledovanie gheteroogenih katalitickih protesov. Ed.Nauka, pag.148, Leningrad, 1978.
- 67.- J.A.Bíkov s.a. Sbornik naucino-tehnicheskikh konferentii Moskovskogo him.-tehn.instituta im.u.I.Mendeleeva, pag. 201. Moskva 1969.
- 68.- Brevet SUA, 3.562.127, 9 febr.1974.
- 69.- H.Yaverbaum Lee, Nitrogen Oxides - control removal, pag. 387, Park Ridge, New-Jersey, SUA, 1979.
- 70.- B.Cristescu și M.Iăcătușu, Coloana de mare rendement pentru absorbția NO_x în procesul de fabricație a acidului azotic. (Comunicare la al II-lea Congres Nat.de Chimie, 7-10 sept.1981, București).
- 71.- V.Medelaru, N.Joan, V.Seson, Ana Ritivoiu, Posibilități de eliminare a oxizilor de azot din gazele reziduale. (Comunicare la al II-lea Congr.Nat.de Chimie, 7-10 sept. 1981, București).
- 72.- Brevet R.F.G. 1.916.271, 10 iul.1969 (C.A. 73(26), 124.825, 1970).

- 73.- E.Cristescu s.a., Purificarea gazelor de oxizi de azot prin chemosorbție în soluții alceline de hipoclorit de sodiu. (Comunicare la al II-lea Congres Național de Chimie, 7-10 sept. 1981, București).
- 74.- R.Rusev s.a., Him.Ind., 39, pag.146, 1969 (Sofia).
- 75.- Brevet RFG, 1.519.973, 5 iul.1968. (C.A.73(26), 124.825, 1970).
- 76.- Brevet SUA, 3.565.573, 1970, (C.A.74(18), 90.885, 1971).
- 77.- Brevet RFG, 2.058.108, 5 mart.1970. (C.A.77(10), 65.933, 1972).
- 78.- Brevet Polonez, 65.292, 6 oct.1970.
- 79.- V.L.Pogrebnaja s.a., Izv.Vissch.Ucheb.Zaved., Him.Him.Tehnol., 14, pag.532, 1971.
- 80.- Brevet Cehoslovac, 142.154, 10 apr.1970. (C.A.77(12), 79.188 1972).
- 81.- Brevet U.R.S.S., 255.911, 1969. (C.A.72(18), 93.164, 1970).
- 82.- Brevet SUA, 3.635.657, 5 sept.1970. (C.A.76(14), 76.146, 1972).
- 83.- Brevet Japonez, 79.128, 5 oct.1979.
- 84.- Brevet URSS, 818.635, 7 apr.1981.
- 85.- M.Constantinescu, Eugenia Tonon, s.Finecovschi, Cl.Mătăsă, Brevet 53.121, 12 nov.1971.
- 86.- Brevet R.F.G. 1.916.269, 1969. (C.A.73(26), 133.822, 1970).
- 87.- Brevet SUA, 3.498.743, 1969. (C.A.72(20), 103.468, 1970).
- 88.- H.Furkert, Chim.Ind. (Messeldorf), nr.22, pag.291, 1970.
- 89.- Brevet Japonez, 7.000 (763), 1969. (C.A.72(16), 82.693, 1970).
- 90.- R.C.Seymour și J.C.Wood, Surf.Sci.nr.27, pag.605, 1971.
- 91.- T.Ioshida s.a., Keuryo Kyokaiski, nr.58, pag.868-874, 1979. (C.A. 93(6), 52738m, 1980).
- 92.- Joitbe, A.T.Bell și S.Lynn, Ind.Eng.Chem.Process.Dev.Develop., 11, pag.434, 1972.
- 93.- Brevet Francez, 1.556.708, 10 aug.1968.
- 94.- Brevet Francez, 1.519.631, 3 iun.1968.
- 95.- F.K.Mirzaev s.a., LF.Fergan.Politehn.Inst., nr.2, pag.57, 1969.
- 96.- Brevet RFG 1.965.560, 1969. (C.A.73(12), 59.068, 1970.)
- 97.- x x x - Himiceeskaja promstalnost Ukraine, Culegere nr.2, pag.32, Kiev, 1967.
- 98.- Brevet Austriac, 248.469, 10 oct.1966.
- 99.- Brevet Japonez, 79.115(673), 8 sept.1979.
- 100.- R.V.Bunina, I.S.Sashnova, React.Kin.Cat.Lett., 2, nr.2, pag. 85, 1975.
- 101.- G.M.'likina s.a., React.Kin.Cat.Lett., 2, nr.7, pag.429, 1975.

- 102.— E.Thornton și P.Harrison, J.Chem.Soc.Faraday Trans., I, nr.3, pag.461, 1975.
- 103.— R.V.Bunina s.a., React.Kin.Cat.lett., 4, nr.2, pag.143-149, 1976.
- 104.— Brevet SUA, 161.482, 28 aug.1981.
- 105.— K.Ikeda s.a. Hokkaido Kaihatsu Shikencho Hokoku, nr.21, pag.4, 1980. (C.A.96(6), 401200, 1982).
- 106.— S.N.Ganz s.a., Izv.V.U.Z. him. i him.tehn., 16, nr.2, pag.267, 1973.
- 107.— R.Germerdenk, Chem.Ing.Technik, 44, nr.5, pag.332, 1972.
- 108.— Brevet Japonez, 7.999 (076), 4 aug.1979. (C.A.92(6), 46.7480, 1980).
- 109.— Brevet Japonez, 7.935(875), 6 nov.1979. (C.A.92(18), F.152.309v, 1980).
- 110.— Brevet Japonez, 7.915(558), 28 nov.1978.
- 111.— Brevet Japonez, 79.131(569), 12 oct.1979. (C.A.92(20), F.168.421, 1980).
- 112.— x x x , Nitrogen, nr.79, pag.39, 1972.
- 113.— M.Shelef, A.Otto și H.Gandhi, Atmosf.Environs., 3, pag. 137, 1969.
- 114.— J.L.Fraser și F.Daniels, J.Phys.Chem., 62, pag.215, 1958.
- 115.— Brevet SUA, 3.459.494, 1968. (C.A.71(14), 84.328, 1969).
- 116.— R.R.Sakaida, s.a., A.I.Ch.E.J., pag.656, dec. 1961.
- 117.— L.L.Mikstrom și K.Nobe, Ind.Eng.Chem.Process.Develop., 4, pag.191, 1965.
- 118.— G.K.Borescov s.a., J.Catal., 60(1), pag.92-99, 1979.
- 119.— K.Tsuchimoto s.a., Nippon Kagaku Kaishi, nr.10, pag.1420, 1979. (C.A.92(18), 155.122d, 1980).
- 120.— H.Candless s.a., Ind.Eng.Chem.Process.Develop., 19, pag.108, 1980.
- 121.— Brevet SUA, 4.021.372, 3 mai 1977.
- 122.— Brevet SUA, 4.228.138, 14 oct.1980. (C.A.94(10), 70565c, 1981).
- 123.— C.Angeletti s.a., J.C.S.Faraday, I., nr.73, pag.1972, 1977.
- 124.— C.Angeletti s.a. React.Kin.Catal.lett., 2, nr.4, pag.353, 1978.
- 125.— V.Lawson, J.Catalysis, 24, pag.297, 1972.
- 126.— G.P.Alhazov s.a., Kin. i Kat., XVI, nr.5, pag.1230, 1975.
- 127.— G.P.Alhazov s.a., Kin.i.Kat., XII, nr.6, pag.1661, 1979.
- 128.— H.J.Feist, Chem.-Makagen Verfahren, 4, pag.49, 1970.

- 129.- A.P.Zasorin, V.I.Astroseenko și O.N.Kulis, *Him.Tehnol.*, (Kiev), 5, pag.8, 1971.
- 130.- C.H.Hinselwood și J.W.Mitchell, *J.Chem.* pag.378, 1936
(după A.G.Sykes, *Kinetics of Inorganic Reactions*, cap.5, Pergamon Press, 1966).
- 131.- J.Gland și Ed.Kollin, *J.Catalysis*, 68, pag.349, 1981.
- 132.- Brevet Francez, 1.574.146, 11 iul.1969.
- 133.- W.Forzel și W.Konnecke, *Chem.Tech.*, (Leipzig), 23, pag. 537, 1971.
- 134.- A.D.Tihonenko, M.K.Nabiev și Iu.I.Ibrahimov, *Uzb.Him.J.*, 14, nr.6, 1970.
- 135.- F.Czengyörgyi, *Rev.Roum.Chim.*, 16, pag.143, 1971.
- 136.- D.Siskov, S.Ivanov și I.Jonbalov, *Him.Rom.*, 48, pag.515, 1972.
- 137.- E.Slugocki, *Przem.Chem.*, 48, pag.85, 1969.
- 138.- R.J.N.Voorhoeve, J.F.Remeika și D.L.Johnson, *Science*, 180, pag.62, 1973.
- 139.- R.J.Gonzales și J.O.Audette, *J.Catalysis*, 17, pag.116, 1970.
- 140.- R.J.Ayan și A.Amirnasmi, *Ind.Eng.Chem.Process.Dev.Develop.*, 9, pag.247, 1970.
- 141.- A.Martinez și F.J.Jiminez, *Rev.Port.Quim.*, 19, (1-4), pag. 126, 1977.
- 142.- A.T.Bell și B.J.Savatsky, *Stud.Surf.Sci.Catal.* nr.7, pag. 1486, 1981.
- 143.- K.C.Taylor și R.L.Klimish, *J.Catalysis*, 30, pag.450, 1973.
- 144.- T.Kobylinski și P.W.Taylor, *J.Catalysis*, 30, pag.478, 1973.
- 145.- R.Ulima și E.Schigoja, *React.Kinet.Catal.lett.* 4, nr.1, pag.61, 1976.
- 146.- K.Utto și M.Shelef, *Z.Iphys.Chem.Neue Folge*, 85, pag.308, 1973.
- 147.- R.Ulima și E.Schigoja, *React.Kinet.Catal.lett.* 4, nr.3, pag.295, 1976.
- 148.- H.Urai și N.Tominaga, *J.Catalysis*, 43, pag.131, 1976.
- 149.- S.Kasaike s.a., *J.Chem.Soc.Jap.*, pag.907, 1977.
- 150.- S.Kasaike s.a., *J.Chem.Soc.Jap.*, pag.874, 1978.
- 151.- K.Tarake, s.a., *React.Kinet.Catal.lett.*, 11, nr.2, pag.149, 1979.
- 152.- A.Gajevski, S.Kupiek și J.Zigadlo, *Przem.Chem.*, 51, pag. 44, 1972.

- 153.— Brevet Japonez, 8.073(331), 3 iun.1980.
- 154.— N.Sommers, Gas-Wasserfach: Gas/Erdgas, 121, nr.2, pag. 65-70, 1980.
155. G.A.Skvortsov, A.P.Zaborin și A.J.Podjarski, Him.Frem., 46, pag.435, 1970.
- 156.— Brevet SUA, 2.975.025, 5 nov.1957.
- 157.— V.I.Atroșenko, O.N.Kulis și V.N.Bilinkin, Him.Tehnol., (Kiev), 4, pag.60, 1971.
- 158.— Brevet Francez, 1.233.712, 3 iun.1959.
- 159.— Brevet Belgian, 877.183, 15 oct.1979, (C.A.92(16) p P 134.574g, 1980).
- 160.— K.Otto, M.Shelef și J.I.Kummer, J.Phys.Chem., 74, pag. 2690, 1970.
- 161.— Ibidem, 75, pag.875, 1971.
- 162.— Brevet Englez, 1.074.794, 14 oct.1964.
- 163.— Brevet SUA, 3.279.884, 18 oct.1966.
- 164.— Brevet Japonez, 8.011(020), 25 ian.1980 (C.A.93(8), 78845n, 1980).
- 165.— Brevet Japonez, 8.008(876), 22 ian.1980 (C.A.93(8), 78805f, 1980).
- 166.— A.Masumi 3.9., Mitsubishi Juko Giho, 17, nr.4, pag.547-554, 1980 (C.A.94(24), 196767, p.1981).
- 167.— Brevet Japonez, 79.124(884), 28 sept.1979.
- 168.— Brevet Japonez, 8018(245), 8 febr.1980 (C.A.93(8) 78806g, 1980).
- 169.— Brevet Japonez, 7990(091), 17 iul.1979.
- 170.— Brevet Japonez, 79.110(971), 30 aug.1979.
- 171.— Brevet Japonez, 79.142(173), 6 nov.1979.
- 172.— Brevet Japonez, 8.013(102), 30 ian.1980, (C.A.93/8, 78.839v, 1980).
- 173.— K.Kafai și I.Kama, Hitechi Zosen Giho, 40, nr.2, pag.72-74, 1979, (C.A.92/6, 46.714p, 1980).
- 174.— Brevet Japonez, 877(183), 30 sept.1978.
- 175.— Brevet Japonez, 8127(286), 11 oct.1977.
- 176.— Brevet SUA, 4.131.643, 26 dec.1978.
- 177.— Brevet Polonez, 91.413, 15 dec.1977.
- 178.— Brevet R.F.G., 3.017, 896, 20 nov.1980.
- 179.— Brevet Japonez, 167(025), 26 dec.1980. (C.A.95/8, 67209e, 1981).

- 180.- Brevet URSS, 793.933, 7 ian.1981.
- 181.- L.Marzo s.a., Inf. univ., 11(129), pag.13-17, 1979.
- 182.- Brevet Japonez, 80.165(132), 23 dec.1980. (C.A.95/4, 2958n, 1981).
- 183.- Brevet Japonez, 8.003(872), 11 ian.1980.(C.A.93/8, 78814a, 1980).
- 184.- Brevet Japonez, 8.115(841), 16 febr.1981. (C.A.95/4, 31110b, 1981).
- 185.- Brevet Japonez, 79.142(174), 6 nov.1979.
- 186.- Brevet Japonez, 73.329(080), 3 iun.1980.(C.A.94/2, 7208y, 1981).
- 187.- Brevet Japonez, 79.115(673), 8 sept.1979.
- 188.- Brevet Japonez, 8.124(031), 7 mai 1981. (C.A.95/12 102501t, 1981).
- 189.- Brevet Japonez, 8.008(875), 22 ian.1980. (C.A.92/20, P 170.023b, 1980).
- 190.- Brevet Japonez, 80.121(835), 19 sept.1980.(C.A.94/22, 179.960d, 1981).
- 191.- Brevet Japonez, 79.119(384), 9 mart.1979.
- 192.- Brevet Japonez, 80.139(832), 1 nov.1980. (C.A.95/2, 12.038t, 1981).
- 193.- Brevet Japonez, 80.142(532), 7 nov.1980. (C.A.94/26, 21365r, 1980).
- 194.- Brevet Japonez, 877(181), 15 oct.1979. (C.A.92/16, P 134.576a, 1980).
- 195.- N.Imanari s.a., Stud.Surf.Sci.Catal., nr.7, pag.841-852, 1981.-
- 196.- Brevet Japonez, 80.134(633), 20 oct.1980. (C.A.94/26, 21365w, 1981).
- 197.- Brevet Japonez, 8.107(636), 26 ian.1981 (C.A.95/4, 29.595a, 1981).
- 198.- A.Kato și Sh.Matsuura, J.Phys.Chem., 85, nr.12, pag.1710-1713, 1981.
- 199.- Brevet Japonez, 80.138(838), 1 nov.1980. (C.A.94/8, 53642h, 1981).
- 200.- Brevet Japonez, 80.167(028), 26 dec.1980. (C.A.95/8, 67.206b, 1981).
- 201.- Brevet Japonez, 7.928(229), 20 sept.1979.
- 202.- V.I.Sosnovski și I.F.Malehotkin, Vassooobmenie rotesii Arpat.Him.Tehnol., nr.29, pag.31, 1980.

- 203.- I.Sato și I.Kubota, Sohōn Hokoku, nr.25, pag.158-62, 1980,
(C.A. 94/22, 179778a, 1981).
- 204.- Brevet Japonez, 8.022(305), 18 febr.1980. (C.A.93/12,
119.566z, 1980).
- 205.- Brevet Japonez, 8.020(641), 14 febr.1980. (C.A.93/12,
119.567a, 1980).
- 206.- Brevet R.F.G., 3.000.383, 31 iul.1980. (C.A.94/6, 35.635d,
1981).
- 207.- Brevet Japonez, 7.995(970), 28 iul.1970.
- 208.- Brevet Japonez, 79.132(592), 25 sept.1979.
- 209.- Brevet Japonez, 79.126(683), 2 oct.1979. (C.A.92/18,
P 152.305r, 1980).
- 210.- Brevet Japonez, 8.013(106), 30 ian.1980 (C.A.93/10,
F.100.816j, 1980).
- 211.- Brevet Japonez, 8.118(247), 27 apr.1981 (C.A.95/18,
174.788q, 1981).
- 212.- J.Maruho și F.Nozaki, Nippon Kagaku Kaishi, nr.11, pag.
1673-8, 1980. (C.A.94/14, 21068j, 1981).
- 213.- Sh.Nanto, J.Chem.Soc., Chem.Commun., nr.23, pag.1101-2, 1979.
- 214.- Fu Chim Min s.a., Ind.Eng.Chem.Prod.Res.Dev., 19, nr.3,
pag.299-304, 1980.
- 215.- S.Bohigoya, Kaisen Gihutsu, B 43- R 32 - 6, pag.19-22,
1980. (C.A.93/10, 100715a, 1980).
- 216.- Brevet Japonez, 8.011(079), 25 ian.1980. (C.A.93/8,
78844t, 1980).
- 217.- M.Yamamoto s.a. Mitsubishi Juko Goho, 16, nr.4, pag.398-
404, 1979. (C.A.92/18, 152.121e, 1980).
- 218.- Brevet Japonez, 79.141(383), 2 nov.1979.
- 219.- N.Mitsubishi s.a., Toshito Kaikibutsu, 10, nr.2, 1980,
(C.A.93/12, 119.438g, 1980).
- 220.- Brevet Japonez, 80.159(842), 12 dec.1980. (C.A.95/4,
29587n, 1981).
- 221.- Brevet Japonez, 79.139(879), 30 oct.1979.
- 222.- Brevet Japonez, 79.151(557), 28 nov.1979.
- 223.- Brevet Japonez, 79.151 (555), 28 nov.1979.
- 224.- Brevet Japonez, 79.134(073), 18 oct.1979. (C.A.92/20,
i 168.423p, 1980).
- 225.- Brevet SUA, 4.246.234, 26 ian.1981. (C.A.94/20, 162.040z,
1981).

- 226 - Brevet Japonez, 80.134(645), 20 oct.1980. (C.A.94/26, 213.653t, 1981).
- 227 - Brevet Japonez, 80.134(644), 20 oct.1980. (C.A.94/26, 213655v, 1981).
- 228 - Brevet Japonez, 79.132(467), 15 oct.1979. (C.A.92/20, P 168.414m, 1980).
- 229 - Brevet Japonez, 79.118(382), 13 sept.1979.
- 230 - Brevet Japonez, 79.143(769), 9 nov.1979. (C.A.92/20, P 168.456b, 1980).
- 231 - A.P.Carley s.a., J.Catalysis, 60, nr.3, pag.385-93, 1979.
- 232 - G.I.Price și B.G.Baker, Surf.Sci., 91, nr.2-3, pag.571-80, 1980.
- 233 - Y.Sakiseka s.a., Surf.Sci., 93, nr.2-3, pag.327-37, 1980.
- 234 - T.Gonzales, M.Fabregat Martinez și J.L.Garcia, Rev.Port. Univ., 19, nr.1-4, pag.116-20, 1977.
- 235 - Van den Blech s.a., J.Chem.Tehnol.Biotechnol., 30, nr.9, pag.467-75, 1980.
- 236 - C.de Soete, Rev.Gen.Therm., 19, nr.222-223, pag.545-54, 1980.
- 237 - R.Baker și Doerr, Ind.Eng.Processes.Develop., 4, pag. 189, 1965.
- 238 - M.Shelef, K.Otto și H.Gandhi, J.Catalysis, 12, pag.361, 1968.
- 239 - Iu.A.Lohov, I.N.Morozov și A.A.Davidov, Kin.i Kat., 21, nr.5, pag.1295-8, 1980.
- 240 - G.Morikawa s.a., Nenoryo Kyokaishi, nr.60, pag.111-116, 1981. (C.A.95/24, 8130d, 1981).
- 241 - M.Shelef și K.Otto, J.Catalysis, 10, pag.408, 1968.
- 242 - Iu.A.Lohov și A.A.Davidov, Kin. i Kat., 20, nr.6, pag.1468, 1979.
- 243 - J.E.London și A.T.Bell, J.Catalysis, 31, pag.95, 1973.
- 244 - E.I.Forre și Z.J.Yen, A.I.Ch.E. Symp.Ser., 68, pag.80, 1972.
- 245 - G.L.Bauerle, G.R.Service și K.Nobe, Ind.Eng.Chem.Fund.Res. Develop., 11, pag.54, 1972.
- 246 - Brevet RFG, 1.937.552, 11 febr.1971.
- 247 - Brevet RFG, 2.023.813, 25 nov.1971.
- 248 - T.G.Albasov s.a., Kin. i Kat., 16, nr.5, pag.1230, 1975.
- 249 - Brevet Japonez, 79.134(072), 18 oct.1979. (C.A.92/26, P 168422u, 1980).

- 250.- Brevet Japones, 79.137(495), 25 oct.1979. (C.A.92/20,
P 168.449b, 1980).
- 251.- C.A.Zdobnova s.a., Ghig.i Sanit., 11, pag.85-6, 1979.
- 252.- Brevet Englez, 1.558.167, 19 dec.1979.
- 253.- R.Nakamura s.a., Bull.Chem.Soc.Jpn., 54, nr.7, pag.1950-53,
1981.-
- 254.- P.Colyomosi s.a., J.Magy.Kem.Polydirst, 87, nr.1, pag.433-
41, 1981.
- 255.- C.T.Campbell, Microfilm. (C.A.92/16, 135861b. 1980).
- 256.- L.H.Dubois s.a., J.Catalysis, 65, nr.2, pag.318-27, 1980.
- 257.- Brevet URSS, 833.306, 30 mai 1981.
- 258.- Brevet Japones, 3.922(234), 25 nov.1975.
- 259.- Brevet Japones, 3.953(363), 27 apr.1976.
- 260.- Carolina Hagiу, C.Calistru și I.Grigoriu, Bul.Inst.Jolit.
Iași, Sect.2, Chim.Ind.Chim., 1979.
- 261.- Carolina Hagiу s.a., Cercetări supră procesului de re-
ducere a oxizilor de azot din gazele reziduale ale insta-
lăriilor de acid azotic. (Communicare la Simpozionul de
inginerie a proceselor chimice, 12-14 oct.1978, Pietra-
Neamț).
- 262.- C.Z.Hassan-Zade, s.a., React.Kinet.Catal.Lett., 12, nr.4,
pag.525-9, 1979.
- 263.- L.W.Roberts și R.S.C.Smart, Surf.Sci., 100, nr.3, pag.
590-604, 1980.
- 264.- D.V.Sokolskii s.a., React.Kinet.Catal.Lett., 6, nr.1,
pag.59, 1977.
- 265.- M.Niwa s.a., Bull.Chem.Soc.Jpn., 54, nr.4, pag.975-79, 1981.
- 266.- F.Nasaki s.a. Chiba Daigaku, nr.4, pag.17-18, 1979,
(C.A.93/2, 119476v, 1980).
- 267.- Brevet Japones, 7.939(825), 30 nov.1979. (C.A.93/6,
52.933w, 1980).
- 268.- I.S.Sazanova s.a., Kin. i Kat., 18, nr.2, pag.441, 1977.
- 269.- G.T.Alhazov, G.Z.Hassan-Zade, M.Iu.Sultanov, Kin.i Kat.,
17, nr.3, pag.699, 1976.
- 270.- M.Sbolef, J.T.Kummer, Chem.Sng.Progr.Symp.Ser., nr.67, pag.
74, 1971.
- 271.- M.Nasaki, Hokkaido Gijutsu Joho, nr.8, pag.18-21, 1981.
(C.A.95/8, 67111s, 1981).

- 272 - Ia.A.Dorfman s.a., React.Kinet.Catal.Lett., 16, nr.1, pag.55-60, 1981.
- 273 - H.C.Andersen, W.J.Green și D.R.Steels, Ind.Eng.Chem., 53, pag.199, 1961.
- 274 - Brevet SUA, 3.454.355, 8 iul.1969.
- 275 - O.J.Adlhart, S.G.Hindin și R.E.Kenson, Chem.Eng.Process, 67, pag.73, 1971.
- 276 - Brevet SUA, 3.467.491, 16 sept.1969.
- 277 - Brevet Cehoslovac, 130.175, 15 dec.1968.
- 278 - Brevet R.F.G., 2.045.487, 25 martie 1971.
- 279 - S.I.Briagina și V.V.Belomiteeva, Him.rom., nr.423, pag. 73-80, 1981.
- 280 - J.V.Mult și R.J.Agen, A.I.Ch.E.J., 17, pag.265, 1971.
- 281 - A.Martinez și J.Blanco, Rev.Port.Quim., 19, nr.1-4, pag. 130-2, 1977.
- 282 - Brevet SUA, 4.233.183., 10 ian.1980. (C.A.94/26, 162.027g, 1981).
- 283 - Z.Uziewiecki și I.Ssapert, Cahr.Powietrza, 14, nr.4, pag. 85-8, 1980.
- 284 - R.A.Baker și R.C.Joerr, Ind.Eng.Chem.Proc.Design.Develop., 4, pag.188, 1965.
- 285 - E.Cristescu, I.Horescu, V.Medeleanu și N.Doca, Reduzierung der Stickstoffoxydmenge aus dem von Herstellung der Salpetersäure stammenden Abgas. (Comunicare la Simpozionul internațional privind protecția mediului. Varsavia, decembrie 1973).
- 286 - V.Medeleanu, N.Doca, M.Stefănescu, Micșorarea noxelor de oxizi de azot din gazele reziduale de la fabricarea acidului azotic, prin reducerea catalitică, pe catalizatori neplatinici. (Comunicare la al V-lea Simpozion privind protecția mediului ambient, Acad.R.S.R., București, 29 nov.1977).
- 287 - V.Medeleanu, N.Doca și M.Stefănescu, Studiul comparativ al reducerii oxizilor de azot cu hidrocarburi pe catalizatori platinici și neplatinici. (Comunicare la a IV-a Conf.Republ.de Ch.Fizică generală și aplicată, București, 2-5 sept.1974).
- 288 - G.K.Alexeeva s.a. Truif Inst.Org.Katal.i Electrochim., A.N. Kas. S.S.R., 13, pag.182-197, 1976.

- 289.— Brevet URSS, 216.644, 3 iul.1970.
 290.— Brevet URSS, 280.456, 3 sept.1970.
 291.— Brevet Japonez, 79.142(190), 6 nov.1979.
 292.— Brevet Japonez, 8067(334), 21 mai 1980. (C.A.94/6,
 35643e, 1981).
 293.— Brevet Japonez, 79.133(482), 17 oct.1979.
 294.— S.I.Breazghina, Him.prom., nr.1, pag.41-42, 1976.
 295.— K.C.Taylor și R.L.Klimisch, J.Catalysis, 30, pag.478, 1973.
 296.— Brevet R.I.G., 2.242.183, 1 mart.1973.
 297.— F.Nozaki și S.Foshiaki, Koukyo Kagaku Kenkyu Hokoku, 4,
 pag.18-21, 1979. (C.A.93/12, 119.478x, 1980).
 298.— Brevet Japonez, 8.110(323), 2 febr.1981. (C.A.95/8,
 67219h, 1981).
 299.— Brevet Japonez, 7.631(691), 17 mai 1976.
 300.— Brevet URSS, 778.752, 5 nov.1980.
 301.— Brevet SUA, 3.674.423, 4 iul.1972.
 302.— Brevet Japonez, 8.086(531), 30 iun.1980. (C.A.94/4,
 19.871x, 1981).
 303.— Brevet Cehoslovac, 130.165, 15 dec.1968.
 304.— Brevet R.F.G., 2.018.518, 4 nov.1971.
 305.— F.Solymosi s.a., Rev.Port.Cuim., 19, nr.1-4, pag.121-5, 1977.
 306.— Brevet Japonez, 8.044(365), 28 mart.1980. (C.A.93/10,
 P 100.859a, 1980).
 307.— E.Echigoya, Sekiyu Gakkaishi, 23, nr.4, 1980. (C.A.
 94/10, 70.429x, 1981).
 308.— Brevet Japonez, 79.132(472), 15 oct.1979.
 309.— I.Mori s.a., Nippon Kihai Gakkai Ronbushu, nr.398, pag.
 1549-56, 1979. (C.A.92/20, 168.251f, 1980).
 310.— A.S.Purmanov s.a. Him.prom., 2, pag.41, 1968.
 311.— Brevet Japonez, 79.135(688), 22 oct.1979. (C.A.92/16,
 P 134.577b, 1980).
 312.— R.Sulima, React.Kinet.Catal.lett., 4, nr.2, pag.235, 1976.
 313.— V.Medaleanu s.a., Contribuții la elaborarea unei tehnologii
 de reducere catalitică a NO_x cu ajutorul de gaze reducă-
 toare. (Comunicare la Simpozionul de Inginerie a procese-
 lor cu emisii, 12-14 oct.1978, Piatra-Neamț).
 314.— K.Tsuji s.a., J.Catalysis, 9, pag.389-98, 1980.

- 315.- V.Medeleanu, N.Doca, Ana Ritivoi. Protocol la contractul de cercetare științifică nr.S-3/1978, încheiat cu C.I.Ch. Tg.Mureș.
- 316.- A.Iovi, Tehnologia îngrășămintelor minerale, Ed.did.ș.i ped. București, pag.208, 1977.
- 317.- V.Medeleanu, N.Doca, Ana Ritivoi, Protocol la contractul de cercetare științifică nr.1-90/1980, încheiat cu ICSIMMR-București.
- 318.- P.F.Junn s.a. Avail-NTIS From Energy Res. Abstr., 6, nr. 11, (C.A.95/20, 172.575n, 1981).
- 319.- A.Y.Sistino, Avail NTIS From Energy Res. Abstr., 6, nr.18, 1981 (C.A.96/2, 11.043z, 1982).
- 320.- F.F.Lewis s.a., Chem.Phys.Processes Combust., nr.11, 1980.
- 321.- Brevet Japonez, 8.020(603), 14 febr.1980. (C.A.93/10, 100.829r, 1980).
- 322.- Brevet Japonez, 8.051(705), 15 apr.1980. (C.A.93/10, 97.844j, 1980).
- 323.- C.Rotaru s.a., Brevet românesc, 64.445, 15 aug.1978.
- 324.- H.H.Karapetianț, Termodinamica chimică, Ed.Tehnică, București, 1956.
- 325.- H.H.Karapetianț, Termodinamica c. imică, Ed.Tehnică, București, 1956.
- 326.- R.L.Burwell, Chem.and Eng.News, 44, nr.34, pag.56-57, 1973.
- 327.- V.Medeleanu s.a., Protocol la contractul de cercetare științifică, nr.S-1934/1975, încheiat cu C.I.Ch.Tîrgu Mureș.
- 328.- xxx, Kataliz i metodi issuchenia katalizatorov, Ed."Nauka", Alma-Ata, pag.135, 1967.
- 329.- xxx, Metodi issledovaniya katalizatorov i kataliticheskikh reacii, Ed."Nauka", Novosibirsk, pag.77, 1971.
- 330.- G.K.Borescov, în culegerea "Problemi kinetiki i kataliza", Ed.AN SSSR, vol.XI, pag.65, 1964.
- 331.- J.R.Hatfield, "The purification of gaseous waste streams from nitric acid plants which contain nitrogen oxides", 1971 (buitet de UIUC, xerocopie în bibl.M.I.Ch.).
- 332.- xxx, Norme de prevenirea și stingerea incendiilor la exploatarea instalațiilor și construcțiilor din industria chimică, Editat M.I.Ch., București, 1972.

- 333.- P.Bălulescu, Cauzele tehnice ale incendiilor și prevenirea lor, Ed.Tehnică, București, pag.195, 1971.
- 334.- Nota documentară No.740-63-71, INRS, Paris, France, Inflammabilité et explosivité des gaz, liquides et solides volatils usuels, 1972.
- 335.- C.D.Nențescu, Chimie Organică, vol.I, Ed.Tehnică, București, pag.597, 1960.
- 336.- I.I.Ioffe și L.M.Pismen, "Cataliza heterogenă în inginerie chimică", Editura Tehnică, București, 1967.
- 337.- C.Gh.Macarovici și D.Macarovici, "Chimia oxizilor dubli și utilizările lor", Editura Academiei R.S.R., București, 1975.
- 338.- A.Michel, "Phénomènes magnétiques et structure", Editura Masson, Paris, 1966.
- 339.- D.N.Todor, "Analiza termică a minereelor", Editura Tehnică, București, 1972.
- 340.- I.Horescu și V.Medaleanu, Brevet nr.57.265, 26 aug.1974.
- 341.- G.Z.Borescov, în culegerea "Kataliticheskie osnovy potbora katalizatorov", vol.XI, pag.52, Editura Nauka, Moscow, 1966.
- 342.- E.M.Nekrici și N.G.Grebinicenco, J.Pract.Phys., 47, nr.12, pag.2756, 1974.
- 343.- J.S.Germain, "Catalyse hétérogène", Editura Dunod, Paris, 1959.
- 344.- Suzana Gădea, M.Protopopescu și J.Drimer, "Metalurgia fizică a materialelor semiconductoare", Editura Academiei R.S.R., București, 1966.
- 345.- V.Medaleanu s.a., "Reducerea catalitică a NO_x cu H_2 pe catalizatori oxidici". Comunicare la al II-lea Congres Național de Chimie, București, 7-10 sept.1981.
- 346.- J.R.Anderson, Structure of Metallic Catalysts, Academic Press, London, 1975.
- 347.- V.Medaleanu s.a., Rev.Chim., 30, nr.8, pag.751-53, 1979.
- 348.- V.Medaleanu s.a., Rev.Chim., 30, nr.9, pag.864-67, 1979.
- 349.- Y.Ogino și S.Nakajima, J.Catal., 9, pag. 251, 1967.
- 350.- V.Medaleanu s.a., Rev.Chim., 30, nr.4, pag.382, 1979.
- 351.- R.L.Morgan s.a., J.Catal., 31, nr.1, pag.140, 1973.
- 352.- x x x , Environ. Sci.and Technol., 11, nr.3, pag.226, 1977.
- 353.- R.K.Lyon și A.K.Tenner, Proc.Annu.Meet. Air Pollut.Control Assoc., 1, nr.71, pag.78, 1978.(C.4.92/20, 1682027, 1980).

- 354.- C.Florea și C.Sugelschi, Calculile de operații și utilaje în industria chimică, cap.III, Ed.Tehnică, București, 1966.
- 355.- V.M.Ramn, Absorbtionie procese în chimicea coi promislenosti, Izd.Goschimizdat, Moskva, pag.203-7, 1951.
- 356.- K.Binnacker și L.Küchler, Tehnologia chimică anorganică, vol.II, pag.271, Ed.Tehnică, București, 1962.
- 357.- A.G.Bolsocov s.a., Kim.prom.nr.8, pag.63v, 1968.
- 358.- V.M.Ramn, Absorbția gazov, Izd."Khimia", Moskva, pag.183, 1976.
- 359.- S.N.Ganz s.a., Izv. V.U.Z. Khim. i him. tehn., 7, nr.3, pag.441, 1964.
- 360.- C.W.Thorpe, Report nr.68 1-33 NTIS, 1968 (C.A.70/9, 83.621b, 1969).
- 361.- N.A.Gogol și G.D.Smirnova, Izv.Akad.Nauk Kaz.S.S.R., Ser. Kim., 22, nr.1, pag.60, 1972.
- 362.- M.Roschbauer, Tonind.-Ztg.nr.103, pag.638-42, 1979. (C.A. 92/16, 134.407w, 1980).
- 363.- M.B.Jacobs și S.Hochmeister, Anal.Chem., 30, pag.426, 1958.
- 364.- B.-S.Saltzman, Anal.Chem., 26, pag.1949, 1954.
- 365.- J.O.Marner, Analysis of Air pollutants, ed.John Wiley & Sons, N.-Y., pag.120-136, 1975.
- 366.- S.A.Greene și H.Frost, Anal.Chem., 30, pag.1039, 1958.
- 367.- C.Woering s.a., Acta Chim.Acad.Sci.Hung., 75, nr.2, pag. 89, 1973.
- 368.- R.F.Muraca s.a., Anal.Chem., 41, pag.295, 1969.
- 369.- E.E.Nekeev s.a., Izv.Akad.Nauk Kaz.S.S.R., Ser.Khim., 22, nr.1, pag.1-5, 1972.
- 370.- A.Lawson și H.G.McAdie, J.Chromatogr.Sci., 8, nr.12, pag. 731, 1970.
- 371.- I.Austinovskaja s.a., Izv.Sib.Otd.Akad.Nauk S.S.S.R., Ser. him.Nauk, 1, nr.103, 1972.
- 372.- C.Woering s.a., Acta Chim.Acad.Sci.Hung., 73, nr.4, pag. 599, 1972.
- 373.- Z.N.Alperin și V.V.Cerniakov, Zavod.lab.38, nr.6, pag.643, 1972.
- 374.- Brevet SUA, 3.512.937, 16 mai 1970.
- 375.- M.Beylin, Chem.Eng.News., 49, pag.78, 1971.

- 376.— Ts.Sawaya și Y.Sato, Kuki Seije, 8, nr.6, pag.1, 1970.
(C.A.74/11, 123.062u, 1970).
- 377.— H.Sickierzynska, Zerz.Nauk Politech.Slaski, Inz.Sanit., nr.15, pag.169, 1970.
- 378.— D.A.Iavaggi s.a., Environ. Sci.Technol., 6, nr.3, pag.250, 1972.
- 379.— B.A.Coulehan și H.W.Lang, Environ.Sci.Technol., 5, nr.2, pag.163, 1971.
- 380.— D.A.Iavaggi s.a., Inst.Environ.Sci.Tech., Meet.Proc., 17, pag.353, 1971.
- 381.— B.F.Rudko și N.L.Vesilova, Spektrosk.Atl.Mol., nr.3, pag. 426-30, 1969.
- 382.— R.Ialenze s.a., Analysis, 7, nr.11, pag.489-93, 1979.
- 383.— E.Rozum, Cehr.Ovzduši, 11, nr.9, pag.129-32, 1979.
- 384.— C.J.Holstved s.a., Analyst, 97,(1150), pag.55, 1972.
- 385.— V.Medeleanu și N.Doca, Rev.Chim., 26, nr.2, pag.159-70, 1975.
- 386.— H.J.Grecoelius și F.Farwerg, Staub, 3, nr.7, pag.294, 1970, (C.A.74/6, 27.724d, 1971).
- 387.— O.Firinger și E.Tătaru, Cromatografie în fază gazoasă, Ed. Tehnică, Bucureşti, pag. 195, 1959.
- 388.— W.Hecker și A.Bell, Anal.Chem., 53, pag.817-20, 1981.
- 389.— V.Medeleanu, N.Doca și N.Stefănescu, Protocol la contrac-
tul de cerere științifică nr.1934/1975, încheiat cu
C.I.Ch.Tg.Mureş.
- 390.— K.J.Laidler, Absolute Rates of Surface Reactions, cap.5, Reinhold Publishing Corp., I-Y, 1954.
- 391.— K.J.Laidler s.s., J.Chem.Phys., 8, pag.667, 1955.
- 392.— V.Medeleanu și N.Doca, Dinamica proceselor energetice pe
suprafețe catalitice. (Comunicare la a V-a Conferință
Republicană de Chimie Fizică, Bucureşti, 1-4 sept.1976).
- 393.— V.Medeleanu, N.Doca, N.Stefănescu și A.Biboloru, Relații
liniare de energie liberă în cataliză heterogenă: per-
spective și limite". (Comunicare la I-ul Congres Națio-
nal de Chimie, Bucureşti, 11-14 sept.1978).
- 394.— V.Medeleanu și N.Doca, Bul.St.Tehn.Inst. olutehnico Timi-
șoara, 22(36), pag.350, 1977.
- 395.— N.Doca, I.Noțoc și V.Medeleanu, ibid., 23(37), pag.50, 1978.

396.- H. Ocea, V. Sacea, V. Medeleașu și A. Ritiwoin, Reacții catalitice la diluții mari. Influența gazelor de diluție în reacția hidrogen-oxizi de azot. (Comunicare la al II-lea Congres Național de Chimie, București, 7-10 sept. 1981).

397.- R. Stevens, Collisional Activation in Gases, Ed. Oxford, London, pag. 130, 1967.

398.- I. Wojnowski și J. Chmiel, React. Kinet. Catal. Lett., 4, nr. 4, pag. 243-9, 1976.

CONTENS

	pag.
INTRODUCERE	1
<u>PARTEA I</u>	
Cap.1. OXIZII DE AZOT - POLUANTI AI ATMOSFEREI	4
1.1. Oxizii de azot din atmosferă - surse de emisie	4
1.2. Acțiunea toxică și corozivă a oxizilor de azot	5
1.3. Structura oxizilor de azot (NO și NO_2) și cinetica formării lor	9
1.3.1. Oxidul de azot	9
1.3.2. Dioxidul de azot	12
1.4. Oxizii de azot din gazele reziduale de la fabricarea acidului azotic	17
1.5. Oxizii de azot din gazele de excreție ^{de la c.c. conturante} a unui generator N_2H_4 .	20
Cap.2. PROCESE DE ELIMINARE A OXIZILOR DE AZOT DIN GAZE REZIDUALE	24
2.1. Procese necatalitice	27
2.1.1. Procese bazate pe absorbtie	27
2.1.2. Procese bazate pe adsorbție	28
2.1.3. Procese de reducere termică	30
2.2. Procese catalitice	30
2.2.1. Procese de decompunere	30
2.2.2. Procese de reducere	34
2.2.2.1. Reducerea NO_x cu H_2	34
2.2.2.2. Reducerea NO_x cu NH_3	36
2.2.2.3. Reducerea NO_x cu CO	40
2.2.2.4. Reducerea NO_x cu hidrocarburi	42
2.2.2.5. Reducerea NO_x cu amestecuri de gaze reductoare	44
2.3. Observații și discuții asupra proceselor prezentate	46

PARTEA II

	pag.	
Cap.3.	INSTALAȚII EXPERIMENTALE	51
3.1.	Instalații pentru reducerea catalitică a NO _x	51
3.1.1.	Instalație de laborator cu funcționare discontinuă	52
3.1.1.1.	Descrierea instalației și a principalelor componente	52
3.1.1.2.	Modul de lucru al instalației experimentale	55
3.1.1.3.	Varianta modificată a instalației	56
3.1.2.	Instalație de laborator cu funcționare continuă	59
3.1.2.1.	Descrierea instalației și a principalelor componente	60
3.1.2.2.	Modul de lucru al instalației	62
3.1.3.	Instalația pilot	63
3.2.	Instalația de laborator pentru reducerea termică a NO _x	67
3.3.	Instalații pentru recuperarea și valori- ficarea NO _x	70
3.3.1.	Instalație de laborator pentru absorbția NO _x	70
3.3.2.	Instalație de laborator pentru adsorbția NO _x	74
Cap.4.	CERERI PARI EXPERIMENTALE CU PRIVIRE LA REU- CEREA CATALITICA A OXIZILOR DE AZOT	77
4.1.	Considerații termodinamice	77
4.2.	Alegerea catalizatorilor	83
4.3.	Reducerea NO _x cu CH ₄	85
4.3.1.	Resultatele experimentale obținute în insta- lația de laborator	85
4.3.2.	Experimentări în instalație pilot	92
4.3.2.1.	Studiul parametrilor de curgere prin stratul catalitic	93
4.3.2.2.	Influența efectului termic de reacție asupra desfășurării procesului de reducere	96
4.3.2.3.	Resultate experimentale	97
4.3.3.	Prepararea și caracterizarea fizico-chimică a catalizatorului	105

	pag.	
4.4.	Reducerea NO_x cu un anestetic de CO_2 , H_2 și CH_4	111
4.4.1.	Rezultatele experimentale obținute cu instalație de laborator	113
4.4.2.	Rezultatele experimentale obținute în instalație pilot	114
4.4.3.	Prepararea și caracterizarea cataliza- torului termic	119
4.5.	Reducerea NO_x cu H_2	122
4.5.1.	Rezultatele experimentale obținute cu instalație de laborator cu funcționare discontinuă (variantă modificată)	123
4.5.1.1.	Reducerea NO_x cu H_2 pe catalizatorul de $\text{Pd}/\text{M}-\text{Al}_2\text{O}_3$	124
4.5.1.2.	Reducerea NO_x cu H_2 pe catalizatori oxidici	126
4.5.2.	Rezultatele experimentale obținute cu in- stalație de laborator cu funcționare con- tinuă	131
4.5.3.	Prepararea și caracterizarea fizico-chimică a catalizatorului CuCr_2O_4	134
Cap.5.	CERCETARI EXPERIMENTALE CU PRIVIRE LA REDUCEREA TERMICĂ A OXIZILOR DE AZOT	138
5.1.	Considerații termodinamice	138
5.2.	Rezultatele experimentale	141
5.2.1.	Reducerea termică a NO cu CH_4	141
5.2.2.	Reducerea termică a NO cu NH_3	142
5.3.	Unele observații și discuții asupra redu- cerii termice a NO	143
Cap.6.	CERCETARI PRIVIND VALORIZAREA OXIZILOR DE AZOT	145
6.1.	Valorificarea NO_x prin procese de absorbție	145
6.1.1.	Calculul de dimensionare tehnologică a coloanei de absorbție	145
6.1.2.	Rezultatele experimentale	149
6.1.2.1.	Absorbția NO_x în soluție de NaOH (2% masă) la temperaturi ridicate	149

6.1.2.2.	Absorbția NO_x într-o soluție conținând K_2CO_3 , K_2SO_4 și KOH	155
6.2.	Valorificarea NO_x prin procedeul de adsorbție	157
6.2.1.	Prepararea turbei ca adsorbant	157
6.2.2.	Resultatele experimentale	158
6.3.	Observații și discuții privind procedeele de valorificare a NO_x , experimentate	159
Cap.7.	CONTROLUL DEPOLUARII DE OXIZI DE AZOT A GAZELOR RESIDUALE	161
7.1.	Metoda fotocolorimetrică de dozare a NO_x	162
7.2.	Metoda gaz-cromatografică de dozare a NO_x	167
<u>PARTea III</u>		
Cap.8.	CONTRIBUIȚII PRIVIND UNELE ASPECTE CINETICE, ENERGETICE SI DE MECANISM ALE REACTIILOR LA DILUTII MARI	170
8.1.	Analiza teoretică	171
8.2.	Resultate experimentale	172
8.3.	Concluzii	178
CONCLUZII FINALE		179
BIBLIOGRAFIE		179